

**MEMÒRIA D'EXCAVACIÓ DE LA COVA DE
L'ARBREDA (SERINYÀ, EL PLA DE L'ESTANY)**

CAMPANYA DE 2010

**DIRECCIÓ
NARCÍS SOLER, JOAQUIM SOLER I ALBA SOLÉS**

**CONFECCIÓ DE LA MEMÒRIA
JOAQUIM SOLER, ALBA SOLÉS, XAVIER NIELL,
NEUS COROMINA, NARCÍS SOLER**

GIRONA, MAIG DE 2013

CONTINGUTS

SITUACIÓ GEOGRÀFICA DEL JACIMENT DE L'ARBREDA	3
EL CONTEXT GEOLÒGIC DE LES COVES DEL RECLAU	4
HISTÒRIA DE LES INTERVENCIONS ANTERIORS	7
DESCRIPCIÓ DELS SECTORS DE L'EXCAVACIÓ	9
DESCRIPCIÓ DE L'ESTRATIGRAFIA	13
MOTIVACIÓ DE LES INTERVENCIONS A LA COVA DE L'ARBREDA	26
TREBALLS REALITZATS DURANT EL 2010	30
ESTUDI DELS MATERIALS FAUNÍSTICS RECUPERATS DURANT EL 2010	38
ESTUDI DELS MATERIALS LÍTICS RECUPERATS DURANT EL 2010	69
ALTRES MATERIALS	75
CONCUSIONS	75
12. BIBLIOGRAFIA	76
13. INVENTARI DELS OBJECTES COORDENATS EN LA CAMPANYA D'EXCAVACIÓ DE L'ANY 2010	81

SITUACIÓ GEOGRÀFICA DEL JACIMENT DE L'ARBREDA

La cova de l'Arbreda es troba situada al poble de Serinyà (comarca del Pla de l'Estany) en un indret conegut com el paratge del Reclau, a 4 km al nord de Banyoles, al cantó est de la carretera C-66 que va de Girona a Besalú (figura 1). El jaciment s'obre en el marge dret del petit riu Serinyadell, a uns 100 m a l'est d'aquesta carretera.

Les seves coordenades en sistema UTM corresponen a $x=479174$ i $y=4667855$ (zona 31 de l'hemisferi nord, datum ED1950). En datum WGS1984 les coordenades són $x=479079$ i $y=4667647$. La seva altitud sobre el nivell del mar és d'entre 200 i 210 metres.



Figura 1: situació de la cova de l'Arbreda sobre el mapa topogràfic a escala 1:50.000 de l'Institut Cartogràfic de Catalunya, Foli 295-7-1 (303-89).

Antigament el seu accés es feia partir del camí que uneix la C-66 des del bar Les Coves fins al nucli principal de Serinyà. Des del 1996 s'hi accedeix des d'un carril de desacceleració que apareix a mà dreta de la C-66 en direcció nord, un quilòmetre abans d'arribar al poble de Serinyà, just després de deixar enrere el bar Les Coves.

Actualment l'indret es reconeix i s'hi accedeix amb facilitat perquè el paratge del Reclau ha esdevingut el nucli principal del Parc de les Coves Prehistòriques de Serinyà, la presència del qual s'indica des de la mateixa carretera.

EL CONTEXT GEOLÒGIC DE LES COVES DEL RECLAU

El paratge del Reclau forma part de la conca lacustre de Banyoles-Besalú, la qual s'ubica en la confluència entre les comarques naturals de la Garrotxa (a l'oest), l'Empordà (a l'est i al sud) i l'Alta Garrotxa (al nord). Aquesta conca lacustre està dividida de nord a sud en tres unitats morfològiques: el glacis de Maià de Montcal, el pla d'Usall i la cubeta lacustre de Banyoles (Julià 1980).



Figura 2: mapa geològic de l'ICC (1:50.000) amb indicació de la ubicació de l'Abreda.

La cova de l'Abreda i la resta de jaciments del paratge del Reclau es troben al límit oest del pla d'Usall (figura 2).

Aquest pla és una estructura formada per calcàries plio-quadernàries d'origen lacustre cobertes per un sòl bru de terra rossa. S'orienta de nord a sud i amida uns 5 km de llarg per uns 3 km d'ample. Al nord limita amb els rius Ser i Fluvià, al sud amb la cubeta lacustre de Banyoles, a l'est amb els materials pliocènics de l'Empordà i a l'oest amb el riu Serinyadell, que el separa dels turons eocènics de la Garrotxa. Aquests relleus estan constituïts essencialment per margues i són elevacions poc importants, suaus i arrodonides.

En aquest context, el paratge del Reclau es ocupa l'extrem oest del pla d'Usall i s'extén al llarg d'una franja de poc més de 200 metres de llargada per uns 5 metres d'ample, constituïda per travertí de cascada o de font que allotja tots els jaciments esmentats.

Es tracta d'un talús petit però relativament abrupte que s'acaba, un xic més a ponent, amb la terrassa del riu Serinyadell (figura 3). El travertí de cascada s'hi va formar per la precipitació del carbonat càlcic que transportaven les aigües superficials que davallaven en forma de cascades, fonts i rierols des del pla d'Usall fins al Serinyadell.

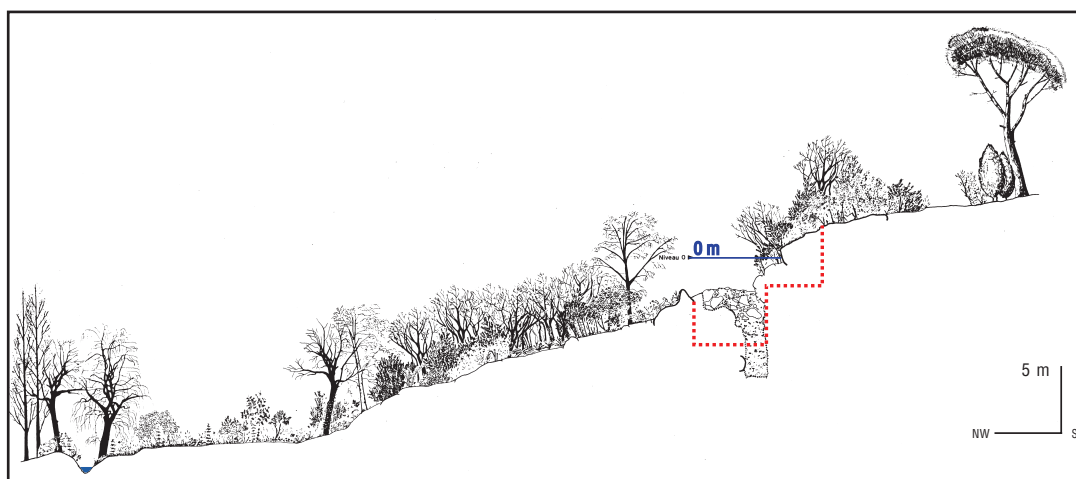


Figura 3: aspecte del talús travertínic que limita per l'oest el pla d'Usall fins al Serinyadell. S'hi indica la ubicació de la cova, colmatada de sediments, en el moment que Josep Maria Corominas va acabar de realitzar el sondatge que anomenem "Sector Alfa".

Aquest primer procés va generar espais paulatinament coberts per capellons de travertí. Al seu torn, la mateixa aigua carregada de carbonat càlcic que devallava per aquests sostres degotava i aixecava murs travertínics a la línia de visera del sostre. És probable que en diversos moments aquest travertí es carstifiqués i apareguessin en la cinglera orificis de diferents mides.

En la gènesi d'aquestes coves domina el primer procés per sobre del segon i per això hauríem de considerar-los més aviat abrics i no pas de coves. Malgrat això parlem sempre de coves ja que aquest és el terme que constantment s'ha utilitzat tant en el llenguatge popular com en la bibliografia acadèmica a l'hora de referir-se a aquests jaciments.

En qualsevol cas hem d'abandonar la idea d'unes cavitats estàtiques sinó que les hem d'entendre com un entorn que canvia al llarg del temps, engrandint o empetitint les cavitats a mesura que es genera travertí i s'erosiona l'existent.

Actualment la majoria de les coves del Reclau estan desdibuixades respecte a la seva morfologia original. Una gran part dels seus sostres s'esfondraren i les zones que encara no s'han excavat es mantenen totalment reomplertes de sediments, essencialment argiles i blocs de travertí, que amaguen les formes i la localització de les parets.

La cova del Reclau Viver, al ser l'única que està totalment excavada i tenir la fortuna de conservar un tros de sostre intacte, és la que millor ens mostra quina podia ser la morfologia habitual d'aquestes coves.

En el cas de l'Arbreda, gràcies a les datacions absolutes que va fer J. Bischoff sobre una capa de travertí en creixement continuat de la cova de l'Arbreda sabem que la formació d'aquestes cavitats s'ha de datar en el plistocè mitjà. Concretament les analítiques van donar uns resultats d'entre 204 i 219 mil anys (Ajaja 1994). No obstant, les datacions que recentment ha efectuat R. Julià, han proporcionat edats més antigues, al voltant dels 250.000 anys.

TITULARITAT DE LA COVA DE L'ARBREDA I DELS RESTANTS JACIMENTS DEL PARATGE DEL RECLAU

El paratge de les coves del Reclau va ser comprat a la família Genover per part de la Diputació de Girona l'any 1974 a instàncies del Centre d'Estudis Comarcals de Banyoles i de l'Associació Arqueològica de Girona, i d'aquesta manera els jaciments passaren a ser de titularitat pública.

La Diputació, al seu torn, en va cedir un terç indivisible de la propietat als ajuntaments de Serinyà i Banyoles. Els dos terços restants continuaren en el seu poder.

L'any 1992 en el marc dels traspassos de competències als consells comarcals, la Diputació de Girona va cedir la seva part de la propietat al Consell Comarcal del Pla de l'Estany.

D'aquesta manera els propietaris actuals són el Consell Comarcal del Pla de l'Estany i els ajuntaments de Banyoles i Serinyà.

Conjuntament totes tres institucions van construir l'any 1996-1997 un parc arqueològic en aquest lloc (el Parc de les Coves Prehistòriques de Serinyà) que explica els jaciments i la vida que hi feien els caçadors-recol·lectors del paleolític, amb la col·laboració del Servei d'Arqueologia de la Generalitat de Catalunya, la Diputació de Girona i el finançament inicial de la Unió Europea (Maroto *et alii* 1997)

El Parc és l'instrument que les administracions locals han desenvolupat, amb la col·laboració de l'equip d'investigadors que desenvolupa les seves recerques en aquests jaciments, per tal de difondre'ls entre la societat i intentar que la gent de la comarca es beneficiï d'alguna manera dels valors patrimonials que resulten de la presència d'aquests jaciments i de les investigacions que s'hi desenvolupen.

La cova de l'Arbreda, a més d'un seguit d'altres jaciments de diferent cronologia prehistòrica tals com la cova del Reclau Viver, la cova d'en Pau, el cau del Roure, les coves de Mollet, Mollet II, Mollet III, Mollet IV i Mollet V, la cova d'en Costa, la cova Estreta, el cau d'en Codony, l'abric Genover i, finalment, l'Arbreda II, confereixen al lloc un gran interès perquè en el seu

conjunt proporcionen una llarga i rica seqüència cronològica d'època prehistòrica molt representativa de l'evolució a l'occident mediterrani.

En motiu d'aquests valors científics i patrimonials l'espai que ocupa el parc, juntament amb una petita zona de protecció adjacent, han estat declarats Bé Cultural d'Interès Nacional per la Generalitat de Catalunya (acord de govern Gov/5/2008 de 22 de gener de 2008). Des del 2010 una nova tanca aprovada per la Comissió de Patrimoni delimita l'espai. No obstant, això no ha impedit que s'intervinguí de manera incontrolada dins l'àrea de protecció arqueològica. A l'estiu de 2010, per exemple, incomprendiblement el mateix Ajuntament de Serinyà va realitzar sense cap control arqueològic ni comunicació al Departament de Cultura un rebaix, anivellament i asfaltat del camí que travessa la zona de protecció arqueològica. Això malgrat que el camí transcorre a menys de 10 metres del jaciment de l'Arbreda i era sabut que l'evacuació de les aigües pluvials en aquest indret havia causat maldecaps amb anterioritat. No obstant tenim l'esperança que, a partir de la situació causada en aquell moment, episodis tan malaurats i incòmodes com aquest no tornin a succeir.

A banda d'aquests jaciments del paratge del Reclau, dins el terme municipal de Serinyà coneixem altres jaciments arqueològics amb una cronologia prehistòrica que han estat estudiats sistemàticament des de finals del segle XIX. Entre els més significatius, que no es troben al paratge del Reclau, cal citar la Bora Gran d'en Carreras i el conjunt de jaciments postpaleolítics de la cinglera travertínica de la Margenera (Cova dels Encantats, Cova Petita dels Encantats, Cau d'en Quintana i Racó d'en Salvador). No tenim coneixement de si aquests indrets gaudeixen de cap règim de protecció patrimonial específica.

Actualment la difusió del Parc de les Coves Prehistòriques de Serinyà còrrer a càrrec de l'empresa Atzagaia S. C. P.

HISTÒRIA DE LES INTERVENCIIONS ANTERIORS

L'etapa de Josep M^a Corominas

La primera referència que coneixem sobre les coves del Reclau és de Pere Alsius, que les cita com a les balmes del Ferrer, però sense pensar que puguin tenir interès arqueològic. Aquest nom probablement està relacionat amb el de la casa pairal de la família Genover, propietària del lloc fins el 1974, que s'anomena Can Ferrer de les Torres.

Josep M^a Corominas va adonar-se del seu valor arqueològic l'any 1943, quan trobà els primers vestigis prehistòrics a la cova del Reclau Viver. En aquell any, mentre Lluís Pericot i Joan Maluquer treballaven a la Bora Gran d'en Carreras, Josep M^a Corominas va descobrir la cova del Reclau Viver i d'aquesta manera va començar les seves investigacions a les coves del Reclau, que excavà de manera interrompuda entre 1943 a 1974. Concretament al Reclau Viver excavà entre 1943 i 1948, a la cova d'en Pau els anys 1943, 1958, 1973 i 1974, a la cova de Mollet el 1947, 1948, 1958 i 1972 i a la cova de Mollet III el 1972. Les excavacions a la cova de l'Arbreda començaren el 1972 i a l'Arbreda II el 1973.

L'etapa de 1975-1987

Una nova etapa va començar el 1975, quan després de protegir el paratge i de cobrir el jaciment de l'Arbreda, el Servei d'Investigacions Arqueològiques de la Diputació de Girona va iniciar les excavacions en aquest jaciment, dirigides per Narcís Soler amb la col·laboració inicial d'Henry de Lumley i Enric Ripoll. A partir d'aquest moment l'Arbreda es va excavar ininterrompudament entre 1975 i 1987 a raó d'un a dos mesos l'any.

El 1975 també es van dibuixar les seccions estratigràfiques dels testimonis de la cova de Pau (sondatge davant Pau) i de Mollet III, així com de l'Arbreda. També es van recollir mostres en aquestes coves i es van iniciar les topografies d'aquests jaciments, treballs que s'acabaren de completar un any més tard. De 1980 a 1984 Josep Tarrús va excavar en els nivells ceràmics de la cova d'en Pau.

L'etapa de 1988-1995

Durant aquests anys, a part d'investigar els materials de les noves excavacions, s'ordenaren i s'estudiaren bona part dels materials de les antigues excavacions. Aquest treballs motivaren una gran quantitat d'investigacions i de col·laboracions en publicacions científiques. Citem, a títol d'exemple, les tesis doctorals d'Estévez (1979), Just (1980), Soler (1986), Rueda (1993), Kabiri (1993), Ajaja (1994) i Maroto (1994).

Des del 1996 fins a l'actualitat

L'actual etapa d'excavacions, repeses des de l'any 1996 ha estat assumida per la Universitat de Girona, amb la col·laboració del Museu d'Arqueologia de Catalunya-Girona i d'altres institucions científiques que contribueixen al projecte. Els treballs es desenvolupen gràcies al suport econòmic predominant del Departament de Cultura de la Generalitat de Catalunya i el recolzament del Consell Comarcal del Pla de l'Estany.

Durant la campanya de 1996 es va intervenir a les coves del Reclau Viver, Mollet I i l'Arbreda amb l'objectiu d'assegurar que les obres d'acondicionament dels jaciments per a les futures visites turístiques del Parc de les Coves no malmetessin el patrimoni arqueològic. A partir d'aquell any la cova de l'Arbreda ha estat excavada ininterrompudament fins a l'actualitat (tret de 1998) al igual que ha prosseguit l'estudi dels materials arqueològics descoberts (Ortega 2000, 2005).

La direcció científica de l'excavació a la cova de l'Arbreda de l'any 2010 ha anat a càrrec de Joaquim Soler, Narcís Soler i Alba Solés i Coll, els quals han rebut l'ajut dels nombrosos col·laboradors que es mencionen en els projectes d'excavació que acompanyen la sol·licitud del permís d'excavació.

DESCRIPCIÓ DELS SECTORS DE L'EXCAVACIÓ

La cova de l'Arbreda és actualment la més important i estudiada del conjunt de cavitats que formen les coves del Reclau. Avui en dia està majoritàriament enfonsada i solament un testimoni de travertí d'uns 3 m d'amplada orientat en sentit oest-est fa palesa l'existència de l'antiga volta que cobria el jaciment (figura 4).



Figura 4: testimoni de l'antiga volta que cobria el jaciment.

Enmig d'aquesta volta de travertí hi ha un conducte càrstic d'uns 1,5 m de diàmetre, que era un dels pocs elements visibles del jaciment quan Josep Maria Corominas va començar a sondejar el jaciment l'any 1972. Aleshores el jaciment es trobava cobert per una abundant vegetació que creixia sobre el sòl argilós i amagava la presència de l'antiga cavitat. Aquest conducte fou el que inicialment va ser batejat com a cova de l'Arbreda.

Actualment, l'aspecte del jaciment ha canviat molt com resultat de dècades d'excavacions.

El Sector Alfa

Fins fa anys quan s'observa el jaciment cridava molt l'atenció una profunda cala situada en el costat nord de la cova que denominem Sector Alfa i que habitualment també és coneguda com a "Pou Corominas". Correspon al sondatge efectuat per Josep M^a Corominas l'any 1972 sota la resta de la volta amb conducte del sostre. El Sector Alfa separa els Sectors Beta i Gamma (figura 5).

Durant l'excavació del Sector Alfa s'atravessaren vora 9 metres de sediments argilosos i blocs travertínics i estalagmítics caiguts. A partir de 4,75 metres de profunditat trobà a la seva cantonada oest un gran bloc que reduí l'àrea d'aquest sondatge. Aquest bloc no és res més que la paret oest de l'abric (o una de les diverses parets del costat oest) en aquesta banda de la cova.

Des d'aquesta profunditat i fins als 6 metres aquest bloc baixa verticalment i això no va impedir la continuïtat dels treballs. A partir dels 8 metres, el bloc envaí progressivament el sondatge pel costat nord i el va anar empentint fins arribar als 8,80 metres de profunditat, moment en que es va considerar que ja no es podia treballar amb seguretat i s'aturà l'excavació de

la cala. Aquest bloc, vora els 8 metres de profunditat, presenta un forat càrstic en part lliure de sediment.

En l'actualitat l'excavació dels quadres que rodegen aquest sondatge, la regularització dels seus límits amb la quadrícula de les excavacions actuals i la construcció d'una torre que ha de servir per prevenir les esllavissades de les seccions ha fet canviar la seva fisonomia (figura 5).



Figura 5: actualment dins el Sector Alfa (o Pou Corominas) s'aixeca una bastida per protegir-lo de les esllavissades.

El Sector Beta

El Sector Beta es troba al sud del Sector Alfa. Els sediments van aparèixer a dos metres per sota de la cota zero. S'escollí aquest lloc per reprendre les excavacions l'any 1975, tot deixant de banda el Sector Gamma, que es troba al nord del Sector Alfa. L'elecció va venir motivada perquè la secció sud del sector alfa estava lliure del gran bloc de l'oest que havia fet aturar les excavacions de Josep Maria Corominas. Per tant es va valorar que en aquest nou sector es podria arribar com a mínim fins a 8,80 metres de profunditat, cosa que no es podia afirmar en el cas del Sector Gamma.

L'any 1979 es va ampliar l'àrea d'excavació del Sector Beta amb una altra àrea més cap a l'est i es van retirar els grans blocs caiguts que hi quedaven. Va restar així visible part de la paret est de la cova. L'excavació d'aquesta ampliació es va aturar als 2 metres per sota de la cota zero.

Al sud del Sector Beta, tot resta encara reomplert de sediment i només es veu la part superior de la cornisa travertínica.

El Sector Gamma, excavat també per Josep M^a Corominas, està situat al nord del sector alfa i constitueix l'extrem septentrional del jaciment. Hi veiem aflorar la cornisa travertínica a l'est i al nord, mentre que a l'oest encara hi ha sediment. Amida aproximadament uns 5 metres de nord a sud i uns 2 metres d'est a oest. No té coberta, no sabem si perquè aquesta està totalment enfonsada o si perquè ja no en tenia quan la cavitat va començar a ser habitada. Josep Maria Corominas excavà fins a dos metres per sota la cota zero. Durant la campanya de 2010 hi hem représ les excavacions, que no hi tenien lloc des de l'etapa de Josep Maria Corominas.

Com es pot apreciar, estem lluny encara de conèixer la morfologia en detall de la cova de l'Arbreda i només les futures excavacions ens permetran aprofundir en el seu coneixement.

Actualment, després de dècades d'excavació, es pot observar com pel nord, l'est i, amb menys claretat, l'oest, les parets de travertí tanquen l'abric, que agafa una orientació allargada en la direcció nord-sud (figura 5). En el lloc on hi ha la cova de l'Arbreda, la cinglera travertínica del Reclau s'interromp i recula molt cap a l'est, deixant espai a la superfície que constitueix el jaciment. Els successius esfondraments de la cavitat són segurament la causa d'aquesta interrupció actual.

Les dimensions de cova són difícils de deduir perquè els sediments que l'han reomplerta amaguen les seves formes, sobretot en el sector meridional. Per la seva morfologia actual suposem que amida uns 18 metres de nord a sud i uns 12 metres d'est a oest (figura 5). El seu terra a la base deu ser per força irregular perquè a la banda nord (sector gamma) sembla aflorar força abans. La seva potència estratigràfica total, tal com la coneixem en aquests moments, és superior als 11 m i abasta dipòsits holocènics i pleistocènics (del paleolític superior i del paleolític mitjà).



Figura 5: límits coneguts de de la cova de l'Arbreda amb indicació dels diferents sectors en què s'ha dividit l'excavació del jaciment.

Durant uns anys es va suposar que l'entrada a la cova estaria ubicada en el lateral oest i s'obriria a la vessant que baixa cap al riu Serinyadell (figura 6). Aquesta hipòtesi es sostenia per la presència d'una volta travertínica a la secció oest fracturada per culpa de les arrels de la vegetació que creixia sobre el talús (figura 3). Però després de la campanya de l'any 1996 vam poder comprovar que aquesta hipòtesi no era correcta perquè la vessant del talús per on s'hauria d'obrir l'entrada estava totalment coberta pel talús travertínic molt compacte, que abans de l'excavació de 1996 no era visible.

Avui dia continuem sense conèixer amb certesa com s'accedia a l'interior de la cavitat.



Figura 6: Secció AZ (secció oest) del sector beta de la cova de l'Arbreda on s'observa l'arc travertínic que havíem confós amb una possible entrada colgada de la cavitat.

El Sector Gamma

El Sector Gamma coincideix amb l'àrea excavada per Josep Maria Corominas l'any 1972 darrera del conducte càrstic. Representa la primera intervenció al jaciment, ja que aleshores encara no havia començat a excavar-se el Sector Alfa. Es tracta d'una petita àrea recollida entre parets de travertí que es va tancant paulatinament a mesura que s'aprofundeix de cota. Josep Maria Corominas va excavar-lo fins a una cota que va esdevenir el pla zero de la seva excavació i de la nostra.

DESCRIPCIÓ DE L'ESTRATIGRAFIA

L'estratigrafia de base de la cova de l'Arbreda la vam publicar a Soler & Maroto (1987a) i partir de llavors aquesta descripció s'ha anat utilitzant en els diversos treballs i gràcies als darrers treballs n'hem pogut detallar la seqüència inferior (Soler *et alii* 2010) (figura 7).

En la interpretació estratigràfica i sedimentològica de la cova de l'Arbreda, així com de la resta de coves del Reclau, partim del problema que no tenim models paral·lelitzables de l'evolució de coves obertes en travertí de cascada. En primer lloc la porositat del travertí genera formes fràgils i erosionables. A més desconeixem en gran mesura la morfologia particular de les coves del paratge. Finalment la situació geomorfològica peculiar del paratge del Reclau, tan propera a una formació superficial argilosa ben desenvolupada com és el pla d'Usall, fa que els reompliments resultants s'apartin molt dels habituals en coves obertes en formacions calcàries més potents i menys poroses o dels abrics clàssics situats en espadats calcaris.

Com ja hem apuntat, una altra gran dificultat en l'estudi estratigràfico-sedimentològic de l'Arbreda rau en el fet que la cova ha estat absolutament reomplerta –àdhuc per sobre del seu volum de cavitat– i pràcticament del tot enfonsada. Les seves morfologies actuals i passades només es van endevinant a mesura que avancen els treballs d'excavació.

Tot plegat provoca que la descripció dels sediments no es pugui fer des d'una òptica o visió de conjunt del jaciment, amb la qual cosa la seva interpretació és limitada.

Una característica de l'estratigrafia de la cova de l'Arbreda és que, com es veurà a continuació, està constituïda per trams sedimentaris de potència considerable i que contenen cadascun d'ells un o més nivells arqueològics, que s'originaren per l'acumulació de restes orgàniques i minerals, majoritàriament productes de l'activitat humana. Diversos criteris, tals com caigudes de blocs o trams estèrils o més pobres, permeten separar-los durant l'excavació malgrat que puguin compartir una mateixa matriu sedimentària. Evidentment la variació cultural que expressen permet també identificar-los. Però en alguns casos on la variació cultural és mínima o inexistent, com per exemple entre els nivells mosterians antics, els criteris geològics acaben primant sobre els culturals a l'hora de separar els nivells.

En els nivells de l'Arbreda no es poden destriar episodis curts d'ocupacions, tal com és habitual en la majoria dels jaciments arqueològics d'aquestes cronologies. Els nivells arqueològics responen doncs a múltiples ocupacions de cronologia similar que es succeïren una darrera l'altre en un lapse de temps de difícil determinació. Per tant cal admetre que en el sí de cada nivell que pugui existir una certa diacronia.

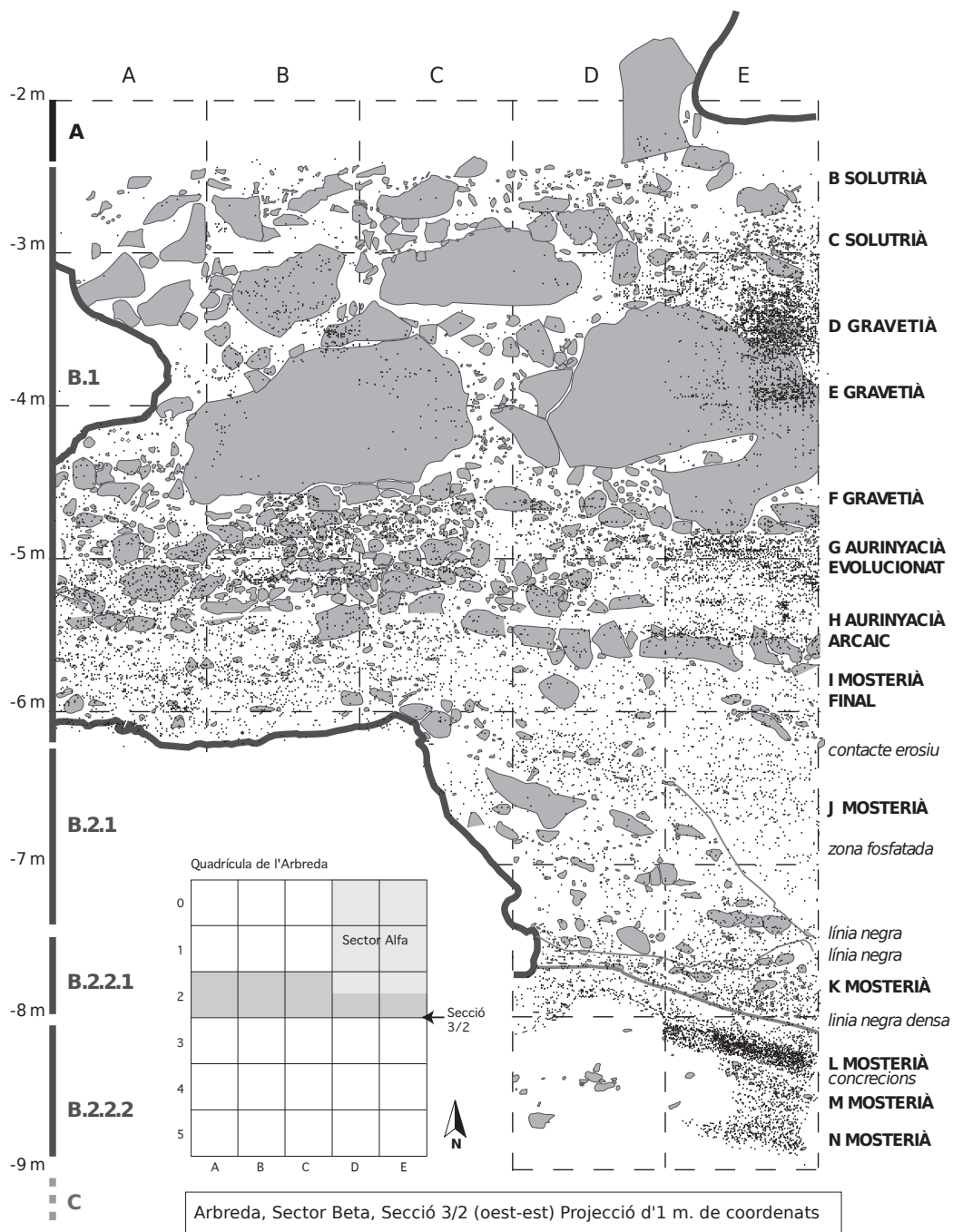


Figura 7: secció 3/2 amb indicació dels nivells arqueològics (a la dreta) i els trams geològics (a l'esquerra)

En els nivells més ben datats radiocarbònicament aquesta diacronia es podria intentar de determinar però sovint l'evolució dels mètodes de datació al llarg del temps fa que els resultats de les datacions que hem anat acumulant

després de dècades d'investigació puguin no arribar a ser totalment comparables i fa poc recomanable aquest exercici.

Finalment cal retenir que, malgrat que teòricament hauríem de contemplar-la, la probable existència d'aquesta diacronia interna en el sí de cada nivell mai no es fa evident i per tant té poc interès arqueològic. De fet, si en base de la cultura material o als paràmetres geològics aquesta diacronia s'hagués fet evident algun moment, això ja hauria comportat la determinació d'un nou nivell durant les tasques d'excavació, cosa que no ha arribat mai a succeir.

En la descripció estratigràfica que ara segueix utilitzarem les dades procedents de tots els sectors on s'ha excavat, encara que la nostra excavació del sector beta lògicament és la que ens aporta més informació. Així i tot les conclusions no tenen perquè ser representatives de la totalitat del jaciment. Podríem dir que segurament constitueixen una representació de la seva àrea central.

La descripció la fem de dalt a baix.

TRAM A– La terra rossa de reompliment superficial

Tot l'estrat superficial que recobreix el jaciment està format per argiles vermelles, *terra rossa*, que procedeixen del sòl fersialític del pla d'Usall, situat a una cota superior a la de les coves. Es tracta d'unes argiles molt pures, de color vermell fosc, ferruginoses, d'estructura poligonal. Dins la cova s'han barrejat amb blocs de travertí, alguns de dimensions superiors al metre, i relativament pocs rocs i grànuls. Els cargols terrestres i les restes de microvertebrats hi són molt abundants. No hi ha fragments d'estalagmita i els travertins mai no apareixen recoberts de concreció. Tot plegat indica que els travertins que recuperem en aquest tram probablement constituïen l'última coberta de la cova de l'Arbreda i que probablement mai no quedaren a l'interior de la cavitat.

Aquest estrat superficial s'acumulà en diversos moments postglacials (holocènics) sobre el reompliment de la cova, ja un xic erosionat. No constitueix cap nivell arqueològic i generalment és estèril. Malgrat això ha proporcionat diversos materials arqueològics en sectors aïllats, sempre de manera dispersa i sense estar normalment *in situ*.

A més de la cova de l'Arbreda en sí, l'estrat A recobreix també tot el talús travertínic i per tant presenta un fort pendent cap a l'oest. Així al sector gamma i a l'extrem oriental el trobem a 2 m per sobre la cota zero, mentre que al costat més occidental del sector beta està a uns 2 m per sota.

Cal suposar, per la seva posició, majoritàriament sense cap protecció travertínica, que bona part de l'estrat A o *terra rossa* ha estat sotmès a la biotorbació forestal i, abans que el vessant quedés del tot estable, ha anat evolucionant de forma paral·lela a ell. Només en els sectors Gamma i part de l'Alfa s'ha mantingut protegit de l'evolució del vessant. Per això considerem que en aquest lloc l'estratigrafia de l'estrat superficial A terra rossa té més validesa.

En època plenament postglacial, el *terra rossa* procedent del pla d'Usall fossilitza tot aquest reompliment mentre es desprenen els últims blocs. Encara el jaciment s'utilitza puntualment per fer-hi enterraments o estades

molt esporàdiques. El lloc perd definitivament l'aspecte de cova i la vegetació que s'hi instal·la el camufla dins del bosc i inicia la formació d'un sòl bru.

El contacte entre la *terra rossa* del tram A i el reompliment infraposat (tram B) sembla correspondre a una superfície d'erosió, que sembla ser deguda a la desprotecció de la cavitat.

TRAM B- El reompliment pleistocènic de la cavitat

Per sota de la *terra rossa* trobem el reompliment més característic de l'Arbreda, que és essencialment pleistocènic, per bé que la seva part més superior podria ser holocena. Hi hem diferenciat dues seqüències principals que hem anomenat seqüència superior (B.1) i seqüència inferior (B.2). Un clar contacte erosiu les separa, el qual és sobretot visible al Sector Alfa, tant a les seves seccions nord i sud deixades pel sondatge de 1972-1973, com a la secció est, reexcavada per nosaltres.

B.1– La seqüència superior

La seqüència superior comprèn des del contacte amb el *terra rossa* del tram A fins als aproximadament 6,30 metres de profunditat, on trobem un altre contacte erosiu.

La seqüència superior està formada per argiles clares més o menys arenoses que contenen quantitats variables, sempre importants, de blocs i rocs. Aquests blocs i rocs a vegades s'agrupen en horitzons breixoides. Alguns destaquen per les seves grans dimensions.

En tota la seqüència superior que descriurem predominen els fenòmens de caigudes de blocs i rocs, caigudes que no ocorregueren amb anterioritat tal com l'estratigrafia de la seqüència inferior permet assegurar.

La sedimentació de la seqüència superior ocorregué majoritàriament per decantació, essent la font de les argiles probablement el pla d'Usall.

Per bé que és molt difícil de subdividir-la en estrats, aquesta seqüència no és homogènia en profunditat, ni tampoc lateralment. Arqueològicament, durant l'excavació hem pogut identificar 9 nivells arqueològics (de l'A a l'I) (figura 7).

S'inicia amb un nivell pobre (nivell A), en alguns punts estèril, que conté nombrosos blocs i rocs de travertí. Com més cap a l'est, menys erosionat està i mostra una major potència (de fet al Sector Beta només es troba de manera clara a la banda dels quadres E). La seva base se situa entre els 2,45 i 2,65 metres de profunditat sota la cota 0 a la secció est (secció E/F), i en el seu sostre hi tenen la base alguns grans blocs que responen a l'últim enfonsament de la coberta travertínica.

Per sota, i amb el mateix context sedimentològic, trobem un nivell arqueològic pobre (nivell B), però no tan dispers com l'anterior, que es caracteritza per la presència de puntes d'escotadura solutrianes. És un nivell prim, normalment d'uns 15 cm. A partir de la banda dels C ja no es troba, per estar erosionat, i a la dels D només hi és de manera escassa.

A continuació, en contacte amb l'anterior, trobem el primer nivell arqueològic ric (nivell C, solutrià nivell superior), amb fauna abundant i amb una indústria del solutrià mitjà caracteritzada per folicacis bifacials, alguns dels quals amb un peduncle desviat (les puntes de Serinyadell).

Sedimentològicament no es diferencia gaire del tram anterior, però ara comencem a trobar fragments de travertins i objectes arqueològics recoberts de concreció. En els llocs on era més dens, en el nord-est, aquest nivell arqueològic tenia un color més fosc degut a les cendres que contenia. Aquest nivell ja s'estén fins la línia dels quadres B i la seva potència varia entre els 20 cm i els 45 cm.

Per sota aquest nivell arqueològic clar, trobem materials gravetians dins d'un context arqueològic més pobre i més dispers (nivell D, abans solutrià nivell inferior), dins del mateix context sedimentològic. Aquest nivell presenta un gruix entre els 20 cm i els 40 cm. Ja que els objectes solutrians només apareixen al capdamunt del nivell D, no hauríem de descartar la possibilitat que fos en part un conjunt d'ocupacions solutrianes i gravetianes.

Més avall, aproximadament entre 3,40 i 4,60 m. i arreu dels sectors alfa i beta, trobem enormes blocs de travertí. La seva presència ha de respondre a un enfonsament important i general de la coberta. En els espais que deixen lliures els blocs hi trobem un nivell arqueològic ric (nivell E, abans gravetià nivell superior). La seva presència és almenys clara cap al nord-est, on les cendres són molt abundants i li donen puntualment un color negra. La seva indústria correspon a un gravetià amb puntes de la Gravette i té una potència entre 15 cm i 55 cm.

Per sota aquest nivell, i seguint en el mateix context sedimentològic, continuem trobant elements gravetians, però ara dins d'un context força més pobre i més dispers (nivell F, abans gravetià nivell inferior). Aquest nivell amida entre 30 i 60 cm de gruix.

Les ocupacions gravetianes (nivells F i E, ara fa entre 20.000 i 25.000 anys) ocuparen els espais que deixaren lliures els grans blocs. Aquests blocs no varen ser totalment ultrapassats pel sediment fins a les ocupacions solutrianes (nivells D, C i B, al voltant dels 18.000-19.000 anys).

Per sota els grans blocs s'hi troba un nou nivell arqueològic, el més ric dels fins ara excavats a la cova de l'Arbreda (nivell G) i que té una potència de 40 cm a 60 cm. En ell hi ha pocs blocs i disminueixen les dimensions dels rocs. Culturalment correspon a l'aurinyacià evolucionat. En el Sector Alfa, en aquest nivell comencen a aparèixer traces de l'alteració, que gradualment s'anirà fent més intensa. Els travertins es presenten alterats, fàcilment erosionables i a voltes amb una acumulació de silici, fosfats i manganès que els recobreix. Cap el sud, l'alteració desapareix.

Després de l'ocupació de l'aurinyacià evolucionat (nivell G) va tenir lloc la més important, aparentment, de les caigudes de blocs, que afectà tant el Sector Alfa com el Beta.

A continuació, en contacte amb l'anterior i aproximadament entre els 5 m i els 5,25 m de profunditat, trobem el nivell H, la indústria del qual correspon a l'aurinyacià arcaic, datat radiomètricament aproximadament entre 35.000 i 38.000 anys. En aquest nivell, l'alteració distingeix el Sector Alfa del Beta. En el primer, gran part dels blocs i rocs desapareixen i el sediment es fa cada vegada més argilós degut a la desaparició dels carbonats; en el Sector Beta, els rocs són molt abundants, el sediment és més granulós i també hi ha grans blocs de travertí. La part superior d'alguns d'ells ja apareixia al nivell suprajacent. El nivell H té un gruix de 20 cm a 45 cm.

Per sota, i sense diferenciació sedimentològica però sí separats en alguns indrets per una línia de petits blocs, es troba el nivell I, ja mosterià, que és ric sobretot en elements lítics, bé que es troben de manera dispersa. Es tracta d'un mosterià final, tal com la presència de puntes de Chatelperron indica. Aquesta cronologia recent és corroborada per les datacions radiomètriques, que el situen vora els 40.000 anys.

Durant el nivell I va tenir lloc la primera caiguda important de blocs, que no afectà el Sector Alfa. El nivell I fou també l'últim que s'extengué per tot el Sector Beta (i probablement també l'Alfa) ja que els que hem esmentat fins ara només n'ocupaven una part. En el nivell I els rocs abunden i la fauna està ben conservada (encara que la d'aportació antròpica està extremadament fragmentada). Malauradament és extremadament complicat de definir la seva base i la seva potència estratigràfica és molt més gran que no pas la dels nivells anteriors (per exemple de 70 centímetres al quadre E3). La manca d'estructures clares i la presència simultània d'eines de pedra i nombroses restes d'úrsids indica que segurament el nivell I és una successió impossible de destriar d'ocupacions mosterianes de molt curta durada que s'alternen amb l'ús que els ossos de les cavernes i altres carnívors feien de la cova de l'Arbreda.

Molt més tard les caigudes es repeteixen al voltant d'ara fa 23.000 anys, en el dipòsit de tota la resta del tram superior que correspon arqueològicament a diferents nivells del paleolític superior i que cal ubicar dins de l'estadi isotòpic 2 i part de l'1.

El canvi estratigràfic que permet donar per acabat el nivell I és un contacte erosiu que també separa la seqüència superior (B1) de la seqüència inferior (B2) del tram pleistocènic. Es troba vora els 6,30 metres de profunditat (figures 8 i 9).

Al Sector Alfa aquesta línia d'erosió es percep molt bé però al Sector Beta la línia no es percep amb tanta nitidesa. En canvi apareixen un conjunt de blocs i lloses estalagmítiques que descansen sobre la mateixa cota. Aquesta coincidència fa pensar que els dos fenòmens han d'estar relacionats.

El contacte erosiu i els elements associats

Durant l'estadi isotòpic 4 part del sediment fins aquell moment dipositat (la seqüència inferior o B2) va ser erosionat fins a la cota de -6,30 i després recobert per noves aportacions també argiloses (la seqüència superior o B1). Un canvi sedimentològic brusc visible a les seccions nord (O/11) i est (E/F), en el seu extrem nord, dóna fe d'aquest episodi (figura 8).

No obstant aquest episodi no s'ha pogut constatar ni al centre, ni al sud ni tampoc a l'oest del Sector Beta, cosa que en algun moment ens ha fet dubtar sobre la seva extensió real i significació.



Figures 8 i 9: aspecte del contacte erosiu que separa la seqüència superior de la inferior. A la figura de superior s'observa representa el nord del Sector Alfa, mentre que la imatge inferior representa la secció E/F i discorre més o menys paral·lela a la cota -6,30 metres.

De tota manera en aquestes zones del Sector Beta on no s'observa a ull nu el contacte erosiu sí s'observen altres evidències que semblen estar-hi relacionades, almenys per la cota on apareixen, que és també la dels -6,30.

La dificultat de visibilitat i de seguir el canvi en extensió s'ha de posar en relació al fet que la humitat permanent que hi ha al Sector Alfa afavoreix l'observació de la diferent coloració del sediment, cosa que no succeeix al Sector Beta. La presència de blocs, que seguidament es comentarà, no facilita d'altra banda l'excavació en extensió.

La primera evidència associada al contacte erosiu la trobem a l'oest del Sector Beta i separat de la banda est del mateix sector per un gran bloc o paret central, una extensa concreció (figura 10) que s'extén des de la secció oest (A/Z) i s'entrega a aquest gran bloc central.



Figura 10: aspecte de la concreció de la banda occidental del Sector Beta.

En segon lloc cal esmentar un conjunt de lloses i blocs estalagmítics que descobrirem a l'est del gran bloc central i que descansen sobre la cota de -6,30 (figura 11)

Creiem que la coincidència de cotes indica que els tres fenòmens (episodi erosiu, episodi de concreció i concentració de blocs i lloses) estan relacionats, per bé que costa oferir una explicació clara de l'ordenació temporal dels tres episodis i una correcta interpretació.

En el moment de descobrir les lloses, per exemple, aparentaven formar part d'una construcció natural *in situ* que s'hauria aixecat sobre la superfície arrasada a -6,30 metres i que, després, hauria catxat lleugerament cap al Sector Alfa.

No obstant, posteriorment Ramon Julià ha datat per les sèries de l'Urani diverses de les lloses i els resultats, molt diferents entre ells (des de 137.000 fins a 235.000 anys) no recolzen aquesta primera hipòtesi. És a dir, perquè aquestes edats fossin compatibles amb una formació *in situ* caldria que durant 100.000 hagués continuat ininterrompudament la formació d'estalagmites, sense interrupcions ni depositacions de sediments d'altra mena. Aquest escenari és difícil d'imaginar.



Figura 11: aspecte, a inicis de la campanya de 2005, del conjunt de lloses i blocs descoberts a la banda est del Sector Beta. Després d'enretirar-los es va comprovar que en general descansaven sobre la cota dels -6,30 metres.

Per això ara sembla més raonable interpretar l'estesa de lloses i blocs com el resultat de la destrucció d'alguna gran estructura estalagmítica de cobertura prèvia (per exemple el bloc central), que s'hagués anat formant amb el pas del temps com la que representa el gran bloc de l'oest del Sector Alfa o bé les successives capes estalagmítiques del bloc del sud-oest. En el moment de desplomar-se aquests blocs i lloses van acabar descansant sobre la preexistent superfície d'erosió dels -6,30. A més en aquell moment hauria estat acabada de formar ja que, de no ser així, no coincidiria la cota de l'erosió amb la cota sobre la qual descansaven els blocs.

Addicionament podem afegir que els blocs enfonsats es van mantenir descoberts de sediments i en un ambient tancat, tal com indiquen diverses formacions estalagmítiques que es va formar a sobre seu (figura 12). Aquestes formacions mai no s'han trobat a la cara inferior dels blocs, cosa que indica que han romàs en la posició en què van caure.

La relació entre la concreció de l'oest del Sector Beta (figura 10) i la resta d'esdeveniments és difícil de determinar. S'observa com té un pendent clar cap al nord-est, com la resta de blocs més allunyats de la secció E/F. La concreció es troba a una cota lleugerament superior a 6,30 però hi va a l'encontre. Això segurament significa que es va formar en el moment de l'episodi erosiu, encara que no va patir cap enfonsament de blocs.

Tampoc no hi ha elements que aclareixin quin tipus d'erosió hauria pogut generar el tall a -6,30 metres. Imaginem que l'agent deuria ser l'aigua perquè en els contextos de cingleres travertíniques ella és el principal element transformador i creador. A banda d'això, s'ignora si fou un episodi catastròfic o simplement el resultat d'una lenta erosió provocada per les fonts de la cinglera que en algun moment haguessin transcorregut per l'interior de la cavitat.



Figura 11: bloc que descansava sobre la superfície d'erosió amb indicis de formacions estalagmítiques a la seva cara superior.

A la vista de les evidències sembla raonable proposar que, en el principi de la història de l'Arbreda, ara fa vora 235.000, anys les fonts haguessin creat un sostre que s'extenia des de l'actual paret est fins a l'extrem oest del Sector Beta, on les formacions estalagmítiques d'aquesta cronologia ja constitueixen també el talús travertínic que davalla fins al Serinyadell.

Posteriorment, i quan la cova ja duia mil·lenis ocupada, o bé aquestes fonts van baixar de cota o bé en comptes d'escórrer-se cap enfora de la cavitat o feren cap endins. En qualsevol cas, el fluir per l'interior de la cavitat deuria erosionar-ne el reompliment fins a la cota dels 6,30.

El motiu pel qual l'erosió no continuà per sota la cota dels 6,30 és que el bloc estalagmític central que s'alça sobre els quadres C3 i C4 va protegir els sediments per sota d'aquesta cota (que coincideix amb la part més alta del bloc).

Posteriorment algunes estructures estalagmítiques, probablement de l'extrem sud-oest del Sector Beta, van col·lapsar i caigueren sobre la recentment erosionada superfície a la banda est del Sector Beta. Potser quan encara estaven *in situ* eren els equivalents dels blocs que ara observem sobre la línia dels quadres A2, encara *in situ*.

Els blocs i lloses caiguts continuaren a cobert del sostre primigeni primigènia i durant un temps van romandre lliures de sediments, tal com les formacions estalagmítiques que s'hi formaren a sobre indiquen. La concreció de la banda oest del Sector Beta potser també és sincrònica a la formació d'estalagmites sobre els blocs de la banda est.

Posteriorment la cova es va tornar reomplint de sediments corresponents també al paleolític mitjà i superior, que conformaren la seqüència sedimentària superior que hem descrit més amunt, des dels nivells pleistocènics I a l'A del tram B i, posteriorment, el tram A holocènic.

B.2– La seqüència inferior

La seqüència inferior, fins fa poc només coneguda al sector alfa, es divideix, fins els 8,80 m de profunditat excavada, en dos estrats diferents,

igualment separats per un tram estèril a l'entorn dels 7,50 m. Tot ella encara es troba alterada químicament per la presència de formacions de manganès i fosfats

Malgrat que més endavant descriurem aquestes alteracions, aquí cal recordar que es tracta de fenòmens postdeposicionals, que ocorregueren un temps indeterminat més tard que no pas la formació dels estrats que alteraren. Per això no són útils per definir nivells o donar indicacions cronològiques sobre ells, ja que la seva gènesi no té relació amb la formació dels nivells en sí mateixos.

L'estrat superior (B.2.1) és molt homogeni i arriba fins uns 7,50 m de fondària. És pobre en elements lítics i faunístics, per bé que al voltant del Sector Alfa no pot ser de cap de les maneres representatiu d'ell degut a la forta alteració que l'afecta. Està format per argiles força pures, més clares que no pas les suprajacents i hi ha molt pocs rocs. Hi abunden les taques grogues resultat de l'alteració de travertins o altres elements per fosfats. Els travertins que resten presenten un aspecte molt poc habitual: molt lleugers i amb l'exterior de textura sorrosa i corcada.

Desconeixem a què pot ser deguda la diferent coloració dels sediments de les dues seqüències. És estrany que durant tota la seqüència superior sigui molt més clar que durant tota la seqüència inferior. I que ni a dins de l'una ni de l'altra es distingeixin a ull nu els nivells arqueològics. Això fa pensar que els sediments sempre van provenir d'ambients molt semblants i per això, en el sí de cada seqüència, no s'observen grans disparitats. Però pel mateix motiu no esperaríem trobar la disparitat que s'observa entre les dues seqüències.

Cal dir que les alteracions químiques del sediment, que més endavant esmentarem, no són la causa d'aquesta distinció entre les dues seqüències perquè la paragènesi de fosfats que hem detectat afecten a ambdues seqüències per igual (nivells J, I i H).

L'alteració també ha provocat la desaparició de la fauna i la indústria lítica elaborada sobre roques dèbils (sílexs, sorrenques, calcàries). Només s'han conservat els objectes elaborats sobre quarsos i les quarsites i, en algun cas, roques filonianes. Tot plegat ha desfigurat i empobrit bastant aquest tram dels nivells mosterians per la part nord i est de la vora del sector alfa. No passa el mateix amb les parts occidental i meridional del sector beta, que no han quedat gaire afectades (encara que habitualment tampoc no són tan riques).

En aquest estrat B.2.1 hi distingim només un sol nivell arqueològic, el mosterià J, que presenta un fortíssim pendent cap a l'est. Cap a l'oest queda limitat pel bloc de la secció oest del sector alfa.

El segon estrat de la seqüència inferior (B.2.2) comença als 7,50 metres de profunditat, i al seu torn es pot dividir en diversos trams. El primer (B.2.2.1) s'estendria des dels 7,50 metres fins a una densa línia negra, segurament a causa d'un alt contingut en manganès, que presenta pendent cap a l'est. Aquest tram conté el nivell mosterià K i conté en cara alguns rocs de travertí.

La línia de sediments totalment tenyits de color negre (B.2.2.1N) que delimita la base del nivell K i del tram B.2.2.1 apareix al quadre D2 vora els 7,75 metres mentre que a l'extrem oriental d'E2 s'enfonsa fins als 8,10. És

estèril, com també ho és el següent tram amb sediments de la mateixa textura però de color rogenc (B.2.2.1V)

Tot seguit s'inicia un tram molt ric en materials arqueològics que presenta alguns trams més concrecionats que d'altres (B.2.2.2). S'extén des de les capes estèrils que acabem d'esmentar fins a la base del reompliment conegut fins ara, a prop dels 9 metres, on dues mostres de concreció i estalagmita han estat datades per Ramon Julià amb el mètode de les sèries d'Urani. La més profunda (un fragment de planxa estalagmítica), prové de 9,12 metres de profunditat i ha donat un resultat de 143.810 (mostra 8-2010). La concreció, provinent d'un fragment que es va extreure a l'excavar la talla BE179 (i per tant a una cota de 8,95) ha resultat en 120.040 (mostra 10-2010). De fet no s'ha aconseguit excavar fins a 9,12 de profunditat sinó que la planxa estalagmítica d'on prové la mostra que es va datar en 143.810 fou rebentada durant els treballs per fonamentar l'estructura metàl·lica ubicada al Sector Alfa i per tant el coneixement que tenim d'aquesta estructura és molt limitat.

Tot aquest estrat B.2.2.2 està constituït per sorres i conté blocs i rocs profundament alterats amb moltes concrecions, que cal excavar amb energia. El sediment es caracteritza per l'abundància de sorres travertíniques i un baix contingut en argiles. A l'interior d'aquest estrat s'ha identificat els nivells mosterians L, M i N, separats per petits trams estèrils o amb poca densitat de restes.

La indústria lítica i les restes de fauna hi són extraordinàriament abundants. (les peces estan en contacte unes amb les altres sense pràcticament sediments que les acullin). En el passat, durant l'excavació del Sector Alfa per Josep Maria Corominas, s'hi recuperaren diverses eines sobre còdol i políedres que feien pensar en un cronologia antiga. No obstant durant les excavacions actuals no s'ha recuperat res que recolzi aquesta hipòtesi.

La raó per l'alta densitat de restes i la manca d'argiles es fa difícil d'interpretar. L'estudi de les restes recuperades permet distingir unes poques estelles òssies amb un aspecte extremadament rodat, que apareixen al mateix moment que les estelles i eines de pedra amb vores i arestes vives, que són les majoritàries. Un altre element a tenir en compte és la manca de carbons, malgrat que alguns objectes mostren estigmes d'alteracions tèrmiques.

Aquesta situació pot estar indicant que a dins de la cova de l'Arbreda les ocupacions més antigues foren rentades per corrents d'aigua molt lleugers que eliminaren paulatinament el sediment argilós i dipositaren en un altre indret que no hem identificat. No es tractava de corrents continus perquè haurien impedit la concreció dels objectes amb les sorres travertíniques. Imaginem doncs que es tractava de processos episòdics.

Una altra possibilitat és que les concrecions es produïssin totalment deslligades dels processos de rentat del sediment com a conseqüència de la pujada i baixada del nivell freàtic, que no és gaire distant de la cota d'aquests estrats. Aquesta fenomen també podria estar a l'origen de les alteracions que sofriren aquests estrats, que descrivim a continuació.

Els episodis d'alteracions químiques

En alguns moments indeterminats tota la seqüència inferior (B2) així com la banda baixa de la seqüència superior (B1) patiren alteracions químiques.

Els nivells afectats foren tots els mosterians de la seqüència inferior i el mosterià final (I) i l'aurinyacià arcaic (H) de la seqüència superior. Amb la salvetat que les zones afectades es concentren a les immediacions del Sector Alfa, quedant intactes la resta de zones de l'excavació.

Distingim una alteració per fosfats, que afecta els nivells J, I i H i una alteració per manganès, que afecta els nivells K i infrajacentes.

L'alteració per fosfatació és una paragènesi de fosfats, és a dir, minerals fosfatats que es formaren *in situ*. Sembla que aquesta alteració pugui tenir origen en l'acumulació d'excrements (potser de quiròpters) perquè els sediments presenten un índex de fòsfor molt alt (Kabiri 1993). Potser a l'Arbreda aquests excrements es van infiltrar i van alterar els sediments i els fòssils de la mateixa manera que va succeir al jaciment rossellonès de la Cauna de l'Aragó.

L'alteració per manganès de fet és un fenomen que ha ennegrit tot l'estrat i ha generat un ambient ric en ferro, titani i amb febles quantitats de calci i manganès (Kabiri 1993). La fauna, ben conservada, ha agafat un aspecte vitri. Aquesta alteració podria tenir origen en episodis d'inundació (Kabiri 1993).

TRAM C – El talús oest

La zona més occidental del sector beta correspon al talús existent cap al riu Serinyadell, i per tant el seu reompliment superior és atípic, perquè correspon a una zona d'erosió i ressedimentació. Comença molt més avall dels 2 m per sota el pla 0 i s'hi troben uns enormes blocs d'estalagmita sobre els quals s'havia proposat que haguessin constituït l'entrada, fracturada, de la cova (figura 6). A hores d'ara i a la llum dels resultats de l'excavació de 1996 ja no considerem aquesta hipòtesi. En tot cas, entre aquests blocs i també sota seu s'ha acumulat terra rossa. Els pocs materials arqueològics que conté no es troben en posició primària. A partir dels 4,70 m de fondària, trobem el reompliment de la seqüència superior, ara ja *in situ*, i que presenta un fort pendent cap al nord. Es troben alguns objectes dels nivells antics del paleolític superior, però a causa del fort pendent és molt difícil individualitzar-los, i després, de seguida, els mosterians del nivell I.

La volta travertínica enllaça lateralment amb la volta de la cova pel cantó nord i amb els blocs estalagmítics del sector sud-oest. Aquesta volta ha estat datada amb el mètode de les sèries de l'urani per Ajaja en 201.000 i 187.000 anys.

Ramon Julià ha datat la mateixa estructura, uns parell de metres més cap al nord, en 254.000 anys (1-2009) amb el mateix mètode, cosa que fa dubtar sobre si es pot donar una sola edat per tota aquesta estructura estalagmítica més occidental. Així com els resultats d'Ajaja corresponen amb l'estadi isotòpic 7a, el de Ramon Julià coincideix plenament amb el 8.

TRAM D – El sector sud-oest

El sector sud-oest del sector beta presenta un reompliment diferent que de moment no tenim correlacionat amb el de la resta de l'excavació. Aflora puntualment a les seccions sud i oest. Sedimentològicament es caracteritza

per la presència, directament sota el terra rossa, d'una matriu arenosa calcificada.

Aquesta sorra es troba en contacte amb abundants fragments de travertins fracturats *in situ* i que tenen la seva continuació lateral amb els de la secció oest. Uns i altres s'ajunten en una columna travertínica en formació situada a l'angle sud-oest. La nostra interpretació provisional és que aquest conjunt travertínic separa una àrea de sedimentació al sector sud-oest, i potser també sud, del sector beta, i que la nostra excavació ha tallat just per la part de la separació, prou just com per apreciar i excavar molt lleugerament aquest altre reompliment en els quadres A5, B5, C5 i D5. En ell, el mosterià hi fa la seva aparició molt abans que a la resta de l'excavació, ja que surt pràcticament en contacte amb la terra rossa. La troballa d'una lamineta Dufour entre aquesta i el mosterià, ens fa sospitar l'existència de també paleolític superior, potser ara majoritàriament erosionat, en el sector sud-oest.

MOTIVACIÓ DE LES INTERVENCIONS A LA COVA DE L'ARBREDA

L'excavació de la cova de l'Arbreda té com a principal objectiu conèixer cada cop millor el mode de vida de les comunitats que van habitar les terres catalanes durant la prehistòria paleolítica.

L'Arbreda és un jaciment idoni per tractar aquesta qüestió perquè preserva una llarga seqüència estratigràfica, que abarca, com a mínim, des de fa uns 143.000 anys fins a l'actualitat. Això permet, juntament amb l'aplicació d'una metodologia d'excavació actualitzada, moderna, sistemàtica i multidisciplinària convertir els resultats dels treballs d'excavació de les últimes dècades en una eina fonamental i bàsica de les discussions científiques que haurien d'aclarir els fenòmens històrics que caracteritzaren la prehistòria paleolítica corresponent a tot aquest període, que s'anomena pleistocè superior.

En l'etapa actual de les excavacions, l'objectiu que perseguim és incidir sobre la discussió referent a l'evolució del paleolític mitjà. Catalunya, malgrat disposar d'un abundant registre arqueològic d'aquest període i fins i tot diverses restes de l'espècie humana que la protagonitzà, l'*Homo neanderthalensis*, juntament amb un bon nombre d'investigadors dedicats al tema, encara a hores d'ara no s'ha aclarit quina evolució va experimentar la cultura humana durant el paleolític mitjà (si és que existí tal evolució). Paral·lelament les investigacions permeten detallar també els canvis ambientals que caracteritzaren el paleolític mitjà.

En el nostre context europeu i mediterrani creiem que l'Arbreda pot i ha d'aportar dades noves i fiables per reflexionar sobre aquestes qüestions. En primer lloc perquè seu registre comprèn des de l'últim estadi del mosterià (nivell I) fins a moments molt més antics corresponents a l'inici del pleistocè mitjà (l'última gran glaciació).

No obstant aquest registre careix d'utilitat si no està ben datat i per això en aquestes darreres campanyes rebem la col·laboració inestimable d'en Ramon Julià i l'Institut Jaume Almera, la qual ha permès de començar a tenir

referències cronològiques d'aquest període a partir de la datació d'episodis de formació de travertins i estalagmites a la cova de l'Arbreda.

Finalment es compten també entre els objectius generals de les intervencions a la cova de l'Arbreda les tasques d'excavació encaminades a la protecció de les parts no excavades del jaciment, que es reserven com a testimonis, per tal que una part del jaciment arribi als investigacions del futur per tal que puguin avaluar els nostres treballs i treure les seves pròpies conclusions.

METODOLOGIA D'EXCAVACIÓ I REGISTRE

Els treballs de l'excavació moderna de la cova de l'Arbreda han utilitzat essencialment el mètode tridimensional –o de coordenades cartesianes– i, en menor mesura, l'estratigràfic. El mètode d'excavació va ser proposat inicialment per Henry de Lumley l'any 1975, i es va anar perfilant gradualment amb les adaptacions que s'introdueixen a mesura que l'excavació agafava experiència. De fet, la campanya de 1975 va marcar l'inici de la generalització del mètode tridimensional a Catalunya.

Així, els quaderns d'excavació que s'utilitzaven per a cada quadre a l'Arbreda eren els mateixos que es fan servir a les excavacions dels grans jaciments que dirigeix, o que ha dirigit, aquest prehistoriador francès com la Cauna de l'Aragó o a la cova de Lazaret entre d'altres. Lògicament la utilització d'aquests quaderns comportava l'avantatge de saber la seva utilitat en gran nombre de jaciments en una experiència de gairebé 30 anys –i aquí és bo dir que l'excavació de l'Arbreda ha aportat alguna millora en l'edició francesa dels mateixos–, i el desavantatge de tenir una eina eficaç i sistemàtica amb la que fàcilment es pot caure en la despreocupació i oblidar-se del planteig continu que l'excavació necessita.

En l'actualitat ens hem vists obligats a substituir-los per ordinadors de butxaca. Això ha afegit una capa de complexitat a la tasca de registre i salvaguarda de la informació però és l'única manera que hem trobat per tal de poder digitalitzar la ingent quantitat d'informació que les darreres campanyes d'excavació estant proporcionant. De la mateixa manera que es comentava pels quaderns, es tracta d'una eina tan sistemàtica que no afavoreix la reflexió dels excavadors sobre el desenvolupament de l'excavació. Durant l'excavació de l'Arbreda la tasca dels directors és precisament contradictòria: assegurar que l'engranatge metodològic funciona a màxima velocitat per tal de recollir la màxima informació possible però alhora aturar de tant en tant aquesta màquina per tal d'avaluar el desenvolupament de l'excavació i no seguir acríticament el mètode.

El perill de caure en un automatisme acrític no rau pas en el mètode ni en l'eina de registre sinó en la dificultat de seguir adequadament el mètode estratigràfic a causa de les característiques de l'Arbreda. D'una banda existeix la matriu argilosa homogènia durant tota la seqüència estratigràfica superior del jaciment, que no permet la individualització d'estrats o capes amb criteris geològics dintre seu. En segon lloc, l'omnipresència dels blocs de travertí interrompen el seguiment lateral de les reparticions d'objectes, cosa

que dificulta seguir els elements estratigràfics (a banda de dificultar qualsevol excavació extensiva).

Per això, a partir de la tercera campanya es va adoptar la utilització sistemàtica de les talles (trams artificials horitzontals) de 5 centímetres de potència per poder situar els objectes no coordinats i com a elements assenyaladors de la marxa de l'excavació. Aquesta metodologia ha estat utilitzada, almenys en alguns moments, a contracor, ja que diverses vegades els nivells presentaven algun pendent. Aquest fet ha impedit l'aprofitament dels objectes no coordinats i ha dificultat molt l'assignació arqueoestratigràfica dels coordinats. En tot cas, l'aplicació de les talles ha permès l'excavació més o menys satisfactòria de la seqüència superior, donada la dificultat extrema que hi ha per fer-la estratigràficament en detall.

No obstant, a la seqüència estratigràfica inferior, amb canvis geològics clars a prop del Sector Alfa i sense la presència de grans blocs hem pogut excavar els quadres E2 i D2 seguint les directrius del mètode estratigràfic. Lamentablement això encara no ha estat possible en els quadres centrals i meridionals (quadres 3, 4 i 5) perquè es troben a una cota molt superior i encara no han arribat als canvis estratigràfics clars que acabem de mencionar.

Cal esmentar que, tot i haver excavat seguint el mètode estratigràfic en els quadres E2 i D2, igualment hem continuat agrupant les troballes en talles de cinc centímetres. La diferència és que en aquests indrets no les hem fet horitzontals sinó seguint l'orientació i la pendent dels estrats, intentant canviar de talla cada cinc centímetres com s'havia fet fins aleshores.

Adquisició de la informació arqueològica

Durant tot la història de les excavacions modernes de l'Arbreda hem seguit els mateixos criteris per decidir quina informació es recollia i quina no. En aquest sentit, en tota l'excavació s'han coordinat els ossos determinables de la categoria considerada com a macrofauna (grans i mitjans mamífers i aus), les estelles de més de 3 cm, la indústria lítica de talla superior a 1 cm (o inferior si està retocada), la indústria òssia, les plaquetes de sorrenca, els ocres i els fragments de còdol cremats a partir d'1 cm, i els mol·luscs marins o altres elements d'ornament. La resta d'objectes han constituït el grup de no coordinats. També es coordinen els travertins a partir de 10 cm d'amplada (és a dir, quan granulomètricament es consideren blocs).

Tot el sediment s'ha garbellat amb aigua amb l'ajuda de dos tipus de garbells: Uns amb una malla de 5 mil·límetres per tal de recuperar els objectes més grossos i uns altres amb una malla d'1 mil·límetre per tal de recuperar les restes més petites. Tot el sediment s'ha triat un cop sec per tal de recuperar restes de talla, fragments de dents i restes de microfauna que a causa del seu petit tamany no són visibles a simple vista en el moment de la seva excavació. En els quadres concrets (quadres de la línia E) destinats a recollir el màxim nombre de restes de microfauna el sediment s'ha rentat amb un garbell amb una malla més petita de 0,5 mil·límetres.

L'excavació ha deixat quatre seccions visibles. Aquestes i totes les interseccions entre els diferents quadres, tant longitudinals com transversals, seccions que es van destruir a mida que l'excavació avançava, s'han dibuixat

en detall a escala 1/10. Al mateix temps i sistemàticament s'han dibuixat en planta la base de cadascuna de les talles que s'han excavat.

En el passat, els nivells d'ocupació interessants es van dibuixar a escala 1/10. Quan aquest interès fou molt gran, es realitzaren fet motlles amb làtex. Actualment la fotografia digital permet documentar les troballes i el seu context de manera extensiva.

Tractament de la informació arqueològica

Com acabem de dir la matriu argilosa homogènia de la seqüència superior del jaciment i la presència abundant de blocs de travertí impedeixen d'excavar el jaciment seguint el pendent i l'extensió dels estrats. Aquest fet posteriorment dificulta a vegades la identificació dels nivells arqueològics i l'assignació dels objectes en algun d'ells.

Davant d'aquest problema ja durant l'etapa d'excavacions anterior al 1996 es va optar per identificar els nivells mitjançant les projeccions dels objectes coordinats amb l'ajuda d'una computadora. En aquell temps s'inicià la tasca de digitalitzar tots els quaderns de l'excavació de l'Arbreda on es documentaven tots els objectes coordinats de l'excavació per tal de que fos possible treballar amb ells amb un ordinador. Aquesta tasca durà anys però gràcies a això en aquests moments ja disposem d'una base de dades que emmagatzema les referències als objectes que s'han coordinat entre l'any 1975 i l'actualitat.

La base de dades on queden emmagatzemades i organitzades totes les dades és el punt de partida, no només per disposar d'un inventari acurat i instantani dels objectes recuperats, sinó també per obtenir representacions dels objectes coordinats (o d'una selecció d'ells) de qualsevol part de la cova de l'Arbreda en alçat, planta i volum. Sovint també afegim a aquestes visualitzacions les seccions digitalitzades que hem anat dibuixant a mà. Les eines que ens ho permeten fer són programes informàtics de visualització tals com el Plot, el Paraview o d'altres que hem desenvolupat nosaltres mateixos.

TREBALLS REALITZATS DURANT EL 2010

La campanya d'excavacions a la cova de l'Arbreda corresponent a l'any 2010 es va realitzar sense cap mena d'interrupció entre el 28 de juny al 31 de juliol.

Hi van participar una vintena de persones, la majoria d'elles estudiants i llicenciats en Història de la Universitat de Girona, al igual que estudiants provinents d'altres universitats de Catalunya i estrangeres. Val la pena remarcar la presència d'una estudiant de la Universitat de Toulouse i una altra de la Universitat de París (França), i per últim una estudiant de la Universitat de Tlemcen (Algèria). Aquesta última va venir a excavar en el nostre jaciment com resultat d'un conveni de col·laboració entre aquesta Universitat i la Universitat de Girona dins el programa de la Xarxa Vives (figura 12).



Figura 12: part de l'equip d'excavació de la campanya de 2010

Degut al gran nombre d'excavadors que van voler venir a excavar en el nostre jaciment es va haver de realitzar dos torns de treball d'uns quinze dies aproximadament per tal de poder donar cabuda a tots els excavadors.

D'aquesta manera el primer torn de treball es va dur a terme entre el 28 de juny i 14 de juliol, i el segon entre el 15 i el 31 de juliol.

L'objectiu de les darreres campanyes d'excavacions a la Cova de l'Arbreda ha consistit en l'excavació i estudi dels nivells mosterians del jaciment. Dins d'aquest context, l'excavació de l'any 2010 s'ha d'entendre com una continuació d'aquests treballs ja que es va procedir a l'excavació de tots aquells quadres que havien quedat més elevats respecte els altres com a resultat de les últimes campanyes d'excavació.

Per aquest motiu es van excavar diferents quadres sencers i alguns de parcials en el sector Beta de la cova; alguns dels quals a tocar el límit amb el sector Alfa o Pou Corominas.

Cada quadre es posà sota la responsabilitat d'un grup d'estudiants que l'excavaren, documentaren les troballes i dibuixaren les plantes i seccions corresponents sota la nostra guia i la d'altres excavadors més experimentats. També garbellaren, triaren els sediments, netejaren i marcaren els objectes recuperats i, finalment, els emmagatzemaren en bosses de plàstic i caps de cartró per tal de conservar-los en bones condicions per al seu posterior anàlisi i estudi en el Laboratori d'Arqueologia i Prehistòria de la Universitat de Girona.

L'equip de direcció participà en tot moment en totes aquestes tasques d'excavació, a més a més de les que li són pròpies com ara el plantejament i guiatge de l'excavació, la formació dels excavadors, l'interpretació de les troballes, la documentació gràfica, l'obtenció de mostres per datacions o altres estudis, i les atencions a les visites dels diferents col·laboradors i d'altres personalitats que ens van venir a veure.

Per últim val la pena comentar que aquesta excavació va ser possible gràcies al suport econòmic indispensable del Departament de Cultura de la Generalitat de Catalunya, així com de la contribució del Consell Comarcal del Pla de l'Estany i de la Universitat de Girona.

En tot moment els excavadors van estar allotjats en l'anomenada "Casa dels Enginyers", situada en el municipi d'Esponellà (a uns 5Km al est de les coves) i propietat del Consell Comarcal del Pla de l'Estany el qual ens va cedir amablement les seves instal·lacions.

Àrees intervingudes

La campanya d'excavacions a la Cova de l'Arbreda l'any 2010 va consistir en l'excavació de diferents quadres (alguns sencers i altres de parcials) situats en dues zones completament diferenciades del sector Beta de la cova degut a la seva cota o profunditat, i corresponents a dos moments del mosterià o del paleolític mitjà completament diferenciats.

D'una banda, a una cota superior, trobaríem els quadres de la part central del Sector Beta, que actualment es troben en una cota entre 6 i 7 metres. L'excavació de 2010 va afectar B4, B5, C4, C5 i E4. A l'inventari que adjuntem també apareixen restes d'altres quadres d'aquesta zona, com C3, D3, D4, D5, E3 i E5, però això no és degut a què fossin excavats sinó a què puntualment sempre es descobreixen objectes remoguts durant el trànsit de persones pel jaciment i cal coordinar-los.

El procés d'excavació en aquest sector es va dur a terme sense cap contratemps remarcable i seguint sempre la metodologia d'excavació anteriorment esmentada. Puntualment es van haver d'eliminar algunes pedres o petits blocs que impedièren la continuïtat dels treballs d'excavació, tot i que aquest fet no va suposar cap mena de dificultat o impediment important en el funcionament i en el desenvolupament de la campanya d'excavació.

En aquest sector s'excavà un sediment homogeni i no alterat, amb blocs de travertí de mida decimètrica. Enlloc observàrem restes de fogars o altres estructures d'habitació que marquessin cap mena de distribució de l'espai dins d'aquesta part de la cavitat.

L'excavació dels quadres B4, B5, C4 i C5, situats al entorn del gran bloc de travertí del centre del Sector Beta tenia com a principal objectiu conèixer de primera mà les seves característiques morfològiques i espaials, per tal de poder veure si es tractava d'un gran bloc de travertí caigut del sostre, o si per contra, i tal com sospitàvem, si formava part de la cova, essent part d'alguna una de les parets que tancava o delimitava la cova per aquest punt.

En primer lloc es va començar a excavar el quadre B4. Aquest estava delimitat al nord ja des d'un inici de la seva excavació pel gran bloc o paret de travertí. Per aquest motiu es va decidir seguir aquesta roca des d'aquest punt cap a l'est per tal de veure com aquesta s'anava estenen per la resta del quadre. D'aquesta manera es va poder excavar unes 5 talles (DB 127 a 131) equivalents a 25 cm de potència fins que es va arribar a la roca d'aquest bloc, la qual s'estenia de forma bastant planera per tota la superfície del quadre, donant per finalitzada en aquest punt l'excavació d'aquest quadre (figura 13).



Figura 13: quadres B4, C4 i D4 (parcial), al sud del bloc central.

A continuació vam decidir excavar el quadre del costat, el B5. Es volia saber si aquesta roca d'aquest bloc també es continuava extenent de forma planera en aquest quadre o si per contra començava a baixar. L'excavació de les talles EB 127 a 129 (equivalents a 15 cm) va permetre poder arribar de seguida a la roca i poder comprovar com aquesta s'estenia de forma bastant uniforme i planera per tota la seva superfície.

Seguidament es va començar a excavar el quadre C4 (figura 14). En la seva part occidental apareixia la mateixa roca que en el quadre B4. Per aquest motiu es va decidir seguir-la cap al est. D'aquesta manera es va poder observar com aquesta, a diferència del que havia passat fins al moment en la resta de quadres excavats al seu voltant, i on aquesta s'estenia de forma bastant planera, en aquest cas, i a partir d'un determinat moment, aquesta roca començava a baixar de cop, de forma molt més recta i vertical.

D'aquesta manera la resta del quadre no quedava afectada per l'existència d'aquesta roca, i fou en aquest espai buit on es va poder dur a terme l'excavació d'unes 8 talles de terra (DC 133 a 140) equivalents a uns 40cm de potència, fins arribar a la cota dels 7 metres de profunditat, moment en que s'aturà la seva excavació. D'aquesta manera el quadre C4 s'havia convertit en el quadre més baix o més profund de la part alta del sector Beta de la cova. La seva excavació havia estat tant ràpida per dos motius: El primer era perquè aquest quadre tenia tant la seva part septentrional com occidental completament ocupada per la presència d'aquest gran bloc de travertí del costat oest de la cova, cosa que feia que no s'hi pogués excavar. I el segon era perquè en la resta del quadre (la part que si que es podia excavar), la terra no era gaire dura i no hi apareixien gaires restes arqueològiques, cosa que va afavorir la seva excavació.

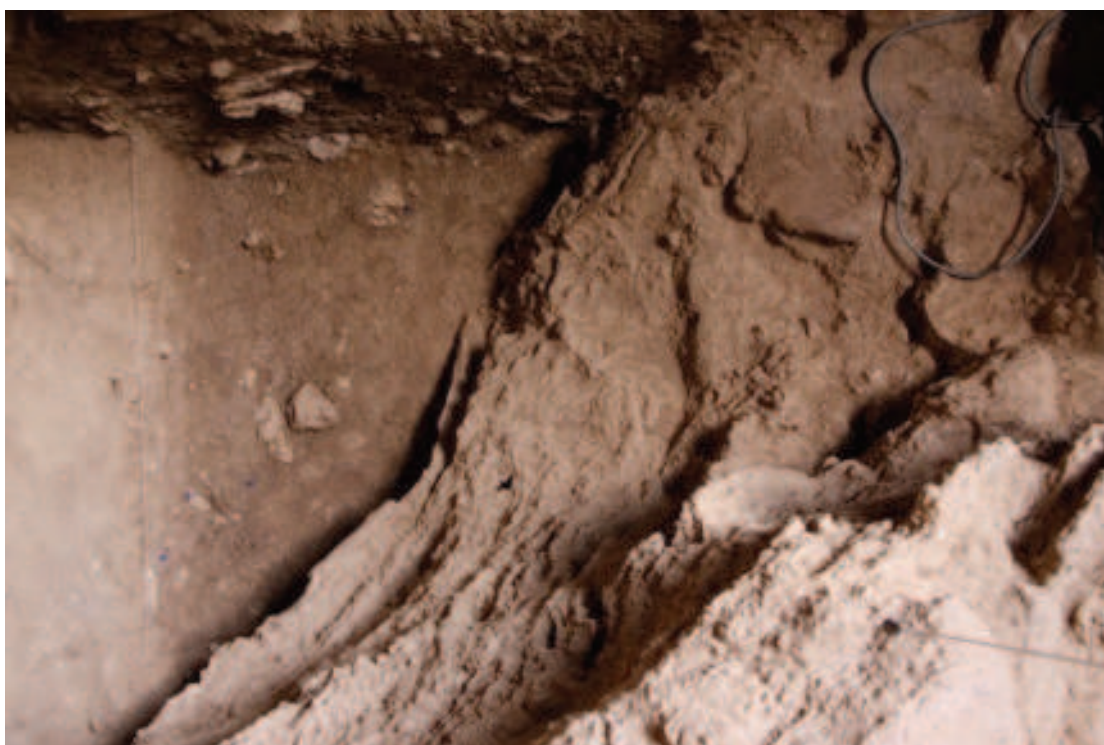


Figura 14: el bloc central al quadre C4 per un moment deixa de caure a plom i guanya superfície.

Un cop finalitzada l'excavació d'aquest quadre es va passar a excavar el quadre C5 situat en el seu costat (figura 15). El problema va ser que només se'n pogué excavar la seva meitat oest, ja que a la resta s'hi recolzava la base de l'escala de metall que fins aquell moment havia permès l'accés al jaciment. L'objectiu de la seva excavació era veure que feia el gran bloc o paret del oest de la cova en aquest punt. Es volia veure si aquesta es continuava estenent de forma planera per tot el quadre com en el quadre B5, o si per contra, i tal i com havia passat en el quadre del costat (C4), aquesta baixava de cop, de forma abrupte i vertical. L'excavació d'unes 4 talles (EC 128 a 131) corresponents a 20 cm de potència va servir per comprovar com la roca d'aquest bloc, que en un inici presentava un perfil força planer, poc a poc anava baixant, cada vegada amb més força, i cada vegada de forma més vertical cap a l'est.



Figura 15: excavació del quadre C5. L'excavador està assegut sobre el quadre B5, ja totalment ocupat per un bloc estalagmític aplanat que connecta amb el bloc central i, probablement, amb l'estructura estalagmítica del SE del Sector Beta (a sobre l'excavador).

Per últim en aquest mateix sector es va excavar al llarg de tota la campanya el quadre E4. Després de treure els últims blocs que quedaven i que constitueixen la separació entre el nivell I i el nivell J (figura 16), vam poder començar l'excavació de tot un quadre sencer. Les dimensions del quadre, i sobretot la gran riquesa en materials arqueològics que s'hi va trobar (això també havia passat en els quadres del costat -E5, E3 i D4- quan aquests també estaven en la mateixa cota) varen provocar que aquest quadre s'excavés amb molta lentitud. Tot i això es varen poder excavar unes 7 talles (DE 132 a 138) al llarg de tota la campanya, corresponents a uns 35 cm de potència, i es varen coordinar unes 727 peces. Fou en realitat el quadre més ric de tot aquest sector (almenys pel que fa a la seva part superior).



Figura 16: blocs que descansaven sobre el quadre E4 a prop de la cota de 6,30 corresponent a la superfície erosiva que separa la seqüència superior de la inferior. Aquest bloc ha estat datat en aproximadament 200.000 anys. No obstant no sembla que estigui in situ i, per tant, el sediment

En definitiva, gracies a l'excavació dels quadres B4, B5, C4 i C5 es va poder comprovar com el gran bloc del costat oest del sector Beta de la cova, i que feia anys que estàvem excavant i delimitant, és en realitat una de les parets de la cova que delimita per l'oest una zona del jaciment. Com que no s'ha trobat encara la seva base, ja que aquest continua baixant de forma cada vegada més recta i vertical, s'ha descartar la hipòtesis que es tracti d'un gran bloc de travertí caigut, sinó que s'ha vist que conjuntament amb el gran bloc de travertí que hi ha en el costat oest del sector Alfa formen part de la mateixa unitat (tot i que això encara no es pot confirmar del tot), conformant o donant lloc a una paret oest dins de la cova de l'Arbreda. No és però la paret oest més exterior. Aquesta la constitueixen els blocs d'estalagmita que conformen el talús cap al Serinyadell i coincideixen amb el límit oest del Sector Beta.

En la segona zona que hem treballat del Sector Beta, a una cota molt inferior, trobaríem els quadres que tanquen el Sector Alfa pel sud (D2 i E2). Durant el juliol es va acabar d'excavar la resta del quadre E2, el qual durant la campanya de 2009 només se n'havia excavat la cantonada SE per deixar lloc a la fonamentació de l'estructura metàl·lica que protegeix actualment el jaciment.

Aquesta zona es trobava a una cota entre els 8-9 m de profunditat) i l'objectiu de la seva excavació era acabar de regularitzar les seccions 2/3 i E/F d'aquest sector per tal que ens servissin de guia per a futures excavacions de la seqüència sedimentària inferior del reompliment de la Cova de l'Arbreda.

L'excavació del que quedava d'aquest quadre es va dur a terme igualment situant els objectes no coordinats amb talles de 5 cm però la visibilitat dels nivells va fer possible excavar-lo a més seguint el seu pendent i dels nivells (en aquest cas sempre cap al sud-est). Aquesta metodologia és la mateixa que ja s'havia començat a utilitzar l'any anterior en aquest mateix quadre, ja que cal recordar que fou en aquell any quan es van poder identificar per primera vegada l'existència de diferents estrats o nivells de terra clars en el tram inferior del reompliment de la Cova de l'Arbreda, a diferència del que havia passat fins aquell moment en el seva seqüència superior, on tot el sediment era bastant homogeni.

Al llarg de tota la campanya es varen poder excavar unes 11 talles riquíssimes en materials arqueològics (de BE168 a BE178), equivalents a 55 cm de potència, tot i que no es va poder arribar a la base de la seqüència inferior (una concreció) tot i que solament ens faltaven uns 10 cm.

Gràcies a l'excavació d'aquesta part que quedava del quadre E2 es varen poder identificar molt millor els 3 nivells arqueològics que ja s'havien començat a intuir en la campanya del any anterior.

Sota una petita capa de 5 cm de sorres roges molt estèrils va aparèixer el nivell mosterià L (figura 17). Es tractava d'un nivell arqueològic molt ric i dens d'uns 25 cm de potència aproximadament. Tot i que estava força concrecionat es va poder excavar amb les eines habituals. Per sota d'ell i tot seguit va aparèixer un altre nivell mosterià, anomenat M, i després d'un tram amb menys densitat d'objectes, un darrer, el nivell N, la base del qual és la concreció estalagimítica del fons del pou situada a uns 9 metres de profunditat aproximadament.

Moltes de les peces arqueològiques d'aquests nivells presentaven senyals d'alteracions post-deposicionals sobre les seves superfícies, especialment precipitacions de manganès i concrecions de carbonat càlcic. En alguns casos aquestes concrecions eren tant importants que no deixaven veure bé la superfície d'aquests objectes. A mesura que s'aprofundia la concreció afectava cada cop més els nivells, cosa que feia que s'haguessin d'excavar amb certa contundència i amb eines més grans (martells i escarpes).

Fins al moment no coneixem amb seguretat com es van formar aquests nivells arqueològics en aquest sector. Però de ben segur que són el resultat de tot un seguit de múltiples ocupacions humanes i animals acumulades al llarg del temps, tot i que ara són indistingibles.

Aquesta gran acumulació, que no troba comparació al llarg de tota la història de l'Arbreda, i la manca de sediments fins és el que fa creure que fou un petit curs d'aigua (no gaire fort) el qui hauria creat aquest context, després d'haver anat rentat les peces, enretirant al mateix temps el sediment fi que hi havia entre elles, i deixant-les col·locades unes sobre les altres. Les concrecions de carbonat haurien pogut ser causades per aquestes aigües o per les pujades i baixades del nivell freàtic.



Figura 17: tram d'1 metre de la secció 2/3 on s'observa la línia negra a causa del manganès, el tram argilós estèril i l'abundància dels nivells infrajacsents (excavats a E2 i per excavar a D2, a la dreta de la imatge). També es fa patent el pendent dels estrats cap al SE (a l'esquerra de la imatge).

En qualsevol cas aquesta lleu circulació d'aigua no sembla haver deteriorat en excés els nivells arqueològics, ja que excepte les concrecions, les peces mostren encara un aspecte fresc. És a dir, la indústria lítica encara és talladora i la fauna, tret d'alguns casos, no presenta gaires signes de rodament.

Durant l'excavació no hem descobert fogars o altres estructures d'habitació o de gestió de l'espai a dins la cavitat. La manca de carbons però l'existència de peces tèrmicament alterades indica que molt probablement les cendres i carbons foren rentats pels mateixos processos que acabem d'esmentar.

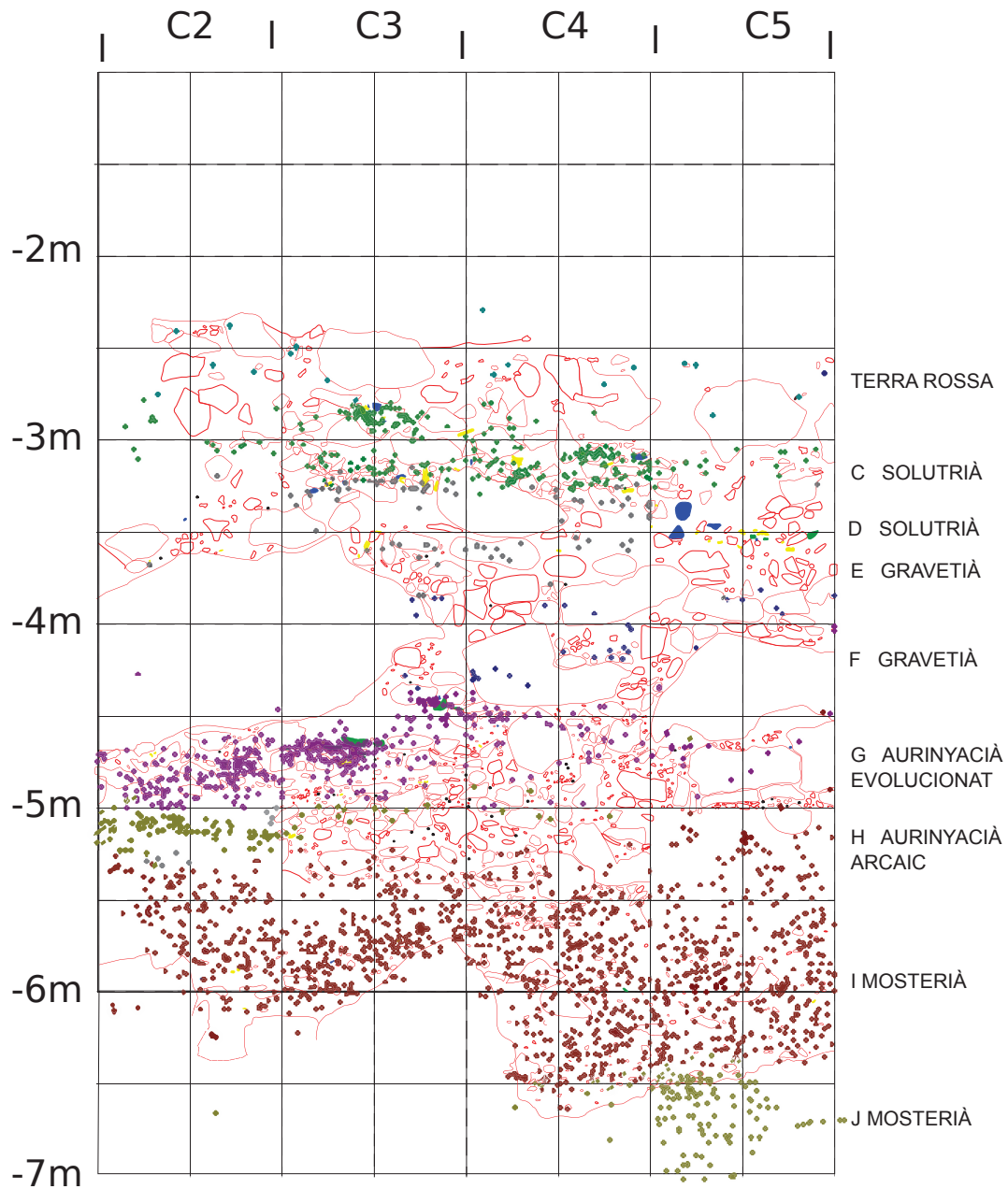


Figura 18: secció nord-sud B/C amb indicació dels objectes coordenats continguts en un tram d'1 metre de gruix.

ESTUDI DELS MATERIALS FAUNÍSTICS RECUPERATS DURANT EL 2010
(estudi a càrrec d'Alba Solès)

Context

Durant la campanya de 2010 s'han continuat excavant els nivells mosterians de la cova, els corresponents a l'ocupació l'home de Neandertal. S'ha treballat intensament en dos sectors diferents i això és molt interessant perquè es tracta de dos moments d'ocupació de la cova separats per uns quants milers d'anys en el temps. A més a més, en cada un dels sectors s'han pogut identificar nivells arqueològics diferents.

El nivell I s'ha excavat entre 6,28 i 6,46 metres per sota de la cota 0.

El nivell J s'ha excavat entre 6,25 i 7,00 metres per sota de la cota 0.

El nivell K no s'ha excavat però s'ha recuperat una resta a 7,56 metres per sota de la cota 0.

El nivell L s'ha excavat entre 8,13 i 8,40 metres per sota de la cota 0.

El nivell M s'ha excavat entre 8,38 i 8,68 metres per sota de la cota 0.

El nivell N s'ha excavat entre 8,56 i 8,88 metres per sota de la cota 0.

O sigui que la cota més moderna i la més antiga afectades per la campanya de 2010 estan separades per més de 2,5 metres de potència.

S'ha treballat intensament en 5m², mentre que la resta ho han estat puntualment, o s'ha considerat convenient coordinar algunes restes molt superficials per no malmetre-les durant l'excavació

En tots els nivells excavats les restes faunístiques es localitzen associades a indústria lítica. Tot i que algunes restes podrien haver estat aportades per agents no humans a seva presència és més aviat escassa. En aquest sentit cal intepretar unes poques restes de llop i hiena, que ens fa pensar que la seva presència no era habitual, però les marques de les seves canines i les rossegades que presenten alguns ossos ens demostren que de ben segur van visitar la cova per aprofitar les restes que els humans haguéssin pogut abandonar a la cavitat.

Pel que sí es caracteritza el tram superior del mosterià de la cova de l'Arbreda (els nivells I, J i K) és per una continuada alternança entre les ocupacions humanes i de l'ós de les cavernes (*Ursus spelaeus*), que devia aprofitar la cavitat per hivernar tal com indiquen les nombroses restes infantils (per exemple nombroses dents) d'individus que no van suportar aquest moment crític.

Tot i que en aquest treball es farà referència a algunes d'aquestes restes dentàries, cal dir que moltes no estan coordinades i per tant aquí no apareixeran inventariades.

Sobre el paper dels úrsids a l'hora de formar el registre de l'Arbreda cal retenir que, a banda de les restes esquelètiques pròpies que acabem d'esmentar, no hauríem de considerar-lo com un agent important que aportés preses a la cavitat. Malgrat que sempre s'ha considerat l'ós un animal carnívor, realment és omnívor, menja de tot. **I en el cas de l'ós de les cavernes era una mica especial, ja que la seva dieta era molt més vegeteriana que la de l'ós bru actual (*Ursus arctos*).**

En el treball de les restes d'aquesta campanya volem, per una banda, identificar les espècies animals presents i, si és possible, l'agent (humà, animal o natural) que les ha introduït a la cavitat; i per una altra banda, ajudar a la caracterització dels diferents nivells arqueològics en base a la relació fauna/indústria i també als diferents processos postdeposicionals que han

soferts les restes i que han deixat empremtes diverses als ossos, com rodaments o concrecions.

En aquesta campanya hem pogut caracteritzar bé els nivells I i J i els L, M i N. En total s'han pogut estudiar 1453 restes, que es reparteixen segons aquest quadre de percentatges.

I= 4,34%

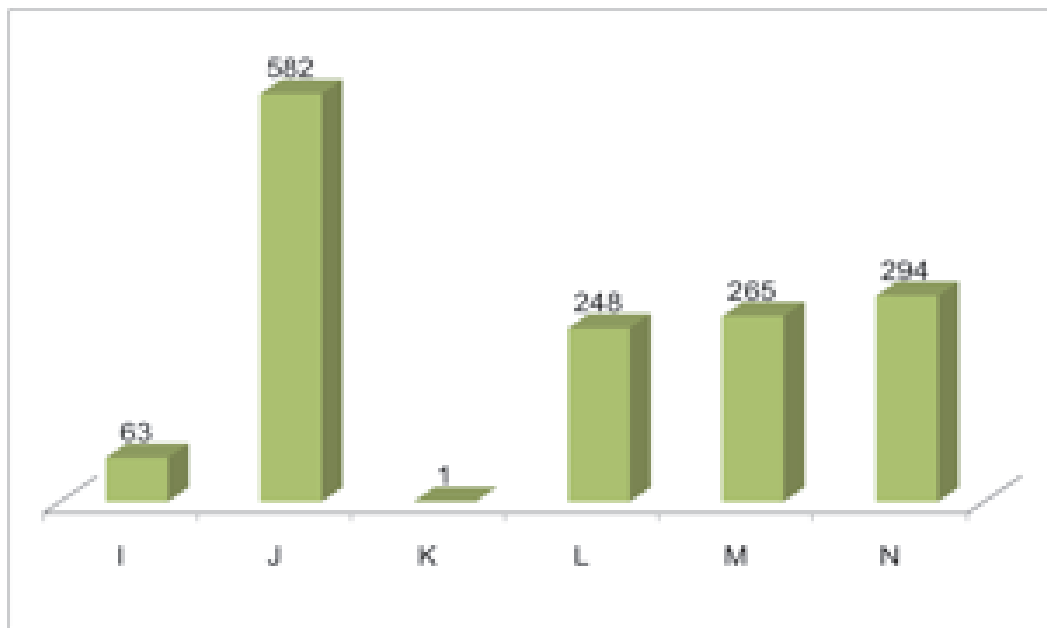
J= 40,05%

K= 0,07%

L= 17,07%

M= 18,24%

N= 20,23%



Campanya 2010
Fauna coordinada
Total N.R. = 1453

En el següent quadre mostrem les restes coordinades en cada quadre i talla i a quin nivell arqueològic pertanyen:

profunditat	teilla	B4	B5	C3	C4	C5	D2	D3	D4	D5	E2	E3	E4
630,5-635	127	8											
635,5-640	128	6	6			7	4			1			
640,5-645	129	3	2			1	15						
645,5-650	130	20	1				15						
650,5-655	131	6		1			9						7
655,5-660	132			1								1	57
660,5-665	133				8								88
665,5-670	134			1	9							1	93
670,5-675	135				15							3	65
675,5-680	136				10				1				54
680,5-685	137			1	2								49
685,5-690	138				7								25
690,5-695	139				19								
695,5-700	140				11								
700,5-705	141												
705,5-710	142												
710,5-715	143												
715,5-720	144												
720,5-725	145												
725,5-730	146												
730,5-735	147												
735,5-740	148												
740,5-745	149												
745,5-750	150												
750,5-755	151												
755,5-760	152							1					
760,5-765	153												
765,5-770	154												
770,5-775	155												
775,5-780	156												
780,5-785	157												
785,5-790	158												
790,5-795	159												
795,5-800	160												
800,5-805	161												
805,5-810	162												
810,5-815	163												
815,5-820	164												
820,5-825	165												
825,5-830	166												
830,5-835	167												
835,5-840	168									98			
840,5-845	169									58	11		
845,5-850	170									65	27		
850,5-855	171									23	71		
855,5-860	172									7	76		
860,5-865	173										42	3	
865,5-870	174										26	20	
870,5-875	175										7	66	
875,5-880	176										1	77	
880,5-885	177											61	
885,5-890	178											66	
890,5-895	179											1	
TOTAL N.R.		43	9	4	86	61	1	1	3	1	806	4	440

nivell I	masterià final	(datació 39/40.000 BP)
nivell J	masterià	
nivell K	masterià	
nivell L	masterià	
nivell M	masterià	
nivell N	masterià	(datació 120.000 BP)

Resultats del Sector Beta

En aquest sector s'ha treballat en els nivells I i J. Disposem d'una datació del sostre del nivell I que ens serveix per contextualitzar en el temps part les restes, 39/40.000 BP.

S'ha treballat sobretot en els quadres B4-C4-C5-E4, mentre que als quadres B5-C3-D3-D4-D5-E3-E5 s'hi han coordinat restes de manera puntual (es mostren ombrejats en gris clar). El total de les restes faunístiques

coordenades aquí és de N.R.=646, que representen el 44,46% del total de les restes de fauna coordinades,.

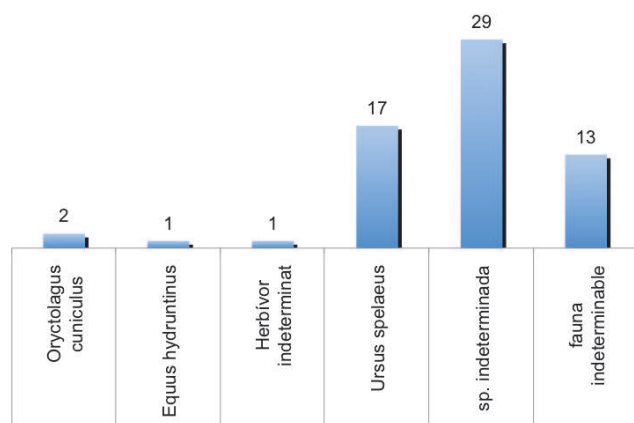
Les restes de fauna coordinada representen el 58,51% del total d'objectes coordinats, amb la qual cosa veiem que no es tracta de nivells extraordinàriament antropitzats sinó que les ocupacions humanes són puntuals i es combinen amb les aportacions d'altres animals (tot al contrari del que veiem al nivell N).

A continuació passem a caracteritzar cadascun dels nivells.

NIVELL I

El nivell I s'ha excavat entre les talles 127 i 132, entre 628,30 i 646,20 cms per sota de la cota 0. Aquest nivell s'ha excavat als quadres B4-B5-C5-E4. El total de restes de fauna coordinada és de N.R.=63. No és gaire representatiu del nivell arqueològic per lo qual caldria sumar aquestes restes a les coordinades en anteriors campanyes. En tot cas aquí només determinarem les restes de la campanya 2010.

Herbívors	<i>Oryctolagus cuniculus</i>	2
	<i>Equus hydruntinus</i>	1
	<i>Herbívor indeterminat</i>	1
Carnívors	<i>Ursus spelaeus</i>	17
Altres	<i>sp. indeterminada</i>	29
	<i>fauna indeterminable</i>	13



Gràfica 1: fauna coordinada del nivell I (N.R.= 63).

Les restes d'***Oryctolagus cuniculus*** són N.R.=2: dos metàpodes. La migradesa de les restes i les seves característiques no permeten afinar més sobre si la seva aportació a la cova és natural o humana.

El fragment que hem classificat com a **Herbívor indeterminat** és un fragment molt petit de l'esmalt d'una dent. Les seves característiques no ens permeten, de moment, afinar més de si es tracta d'un cavall, un cérvol, un bòvid...

Del conjunt d'aquest paquet destaquem la identificació d'un molar d'***Equus hydruntinus*** (figura 19) que hem determinat a partir de la seva mida. És l'única dada que ens permet detectar la presència d'aquest animal.

No podem afinar més sobre la seva presència a la cova, ni quin és l'agent d'aportació.



Figura 19: *Equus hydruntinus*.

El paquet de restes classificades com a **fauna determinable**, N.R.=29, són fragments ossos que conserven certa anatomia però dels que no hem pogut especificar a quina espècie pertanyen. En tot cas, si que n'hi ha que s'han pogut determinar anatòmicament:

crani	9
costella	7
húmer	1
fèmur	1
indeterminat	11

Aquests fragments de costella (figura 20) pensem que podrien pertànyer a un mateix individu, per haver-se trobat molt pròxims durant l'excavació i per tenir unes característiques de fossilització molt semblants.



Figura 20: costelles no determinades

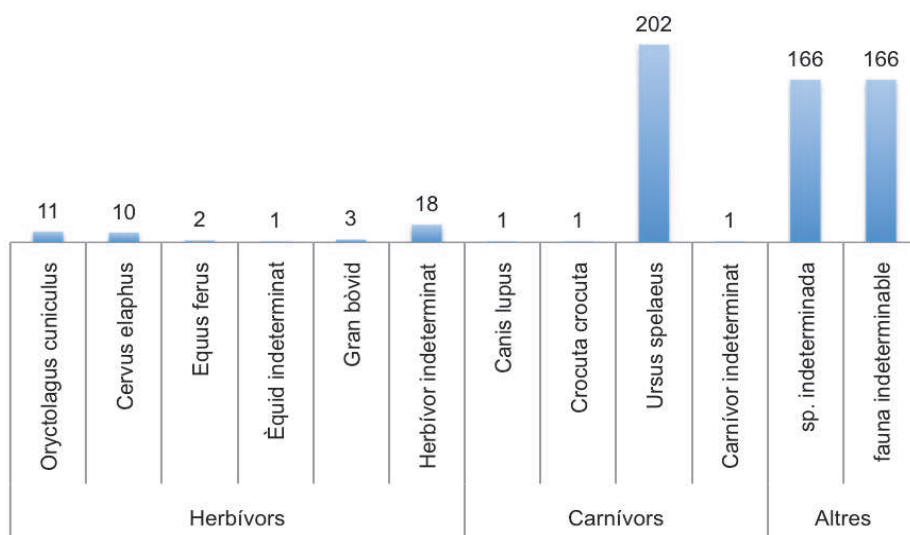
Pel que fa a la **fauna indeterminable**, N.R.=13, són estelles d'os sense cap indicati morfològic que ens ajudin a classificar-les anatòmicament, la relacionem directament amb els processos de carnisseria portats a terme pels humans a la cova. En dues de les estelles hi hem observat fractures d'impacte i pertant les relacionem amb la cerca, per part dels neandertals, del moll de l'os pel seu consum. No hem observat indicis de cremació. Tampoc rodaments ni processos de concreció que hagin pogut patir les restes per l'acció de l'aigua a dins de la cova un cop ja s'hi han depositat; en una de les estelles, però, sí que s'hi observen marques postdeposicionals relacionades amb algun tipus de desgast natural (arrels?).

Finalment, el nombre de restes d'*Ursus spelaeus*, tot i que en nombre de restes escàs, N.R.=17, representa més d'una quarta part del total del dipòsit. En aquest cas totes les restes són dentàries i, amb una sola excepció, totes són dents desiduals (la majoria incisives, amb algunes canines i alguns molars). Aquestes dents desiduals coordinades no són indicatives de l'abundància d'aquest tipus de restes en nivell, ja que la majoria no estan coordinades, de manera que si es comptabilitzessin totes, el percentatge de restes augmentaria. En tot cas, responen a l'ocupació dels óssos de les cavernes durant els períodes d'hivernació.

NIVELL J

El Nivell J s'ha excavat entre les talles 128 i 140, això és entre 6,25 cms i 7,00 cms per sota de la cota 0. Aquest nivell s'ha excavat als quadres C3-C4-C5-D4-D5-E3-E4-E5, en total en uns 65cms de potència. És el nivell més ric del sector, amb un total de restes de fauna coordinada de N.R.=582. Tot i que manquen algunes talles per acabar de tancar aquest nivell, el nombre de restes coordinades ens sembla prou significatiu per caracteritzar aquest nivell arqueològic. A continuació mostrem una taula amb les restes coordinades.

Herbívors	<i>Oryctolagus cuniculus</i>	11
	<i>Cervus elaphus</i>	10
	<i>Equus ferus</i>	2
	Èquid indeterminat	1
	Gran bòvid	3
	Herbívor indeterminat	18
Carnívors	<i>Canis lupus</i>	1
	<i>Crocuta crocuta</i>	1
	<i>Ursus spelaeus</i>	202
	Carnívor indeterminat	1
Altres	sp. indeterminada	166
	fauna indeterminable	166



Gràfica 2: fauna coordinada del nivell J (N.R.= 582).

El conjunt d'aquest paquet identifica molt bé la tendència dels nivells més moderns del paleolític mitjà: l'alternança dins la cova de les restes deixades per humans i l'aprofitament de la cavitat per part d'altres bèsties.

Les restes d'*Oryctolagus cuniculus*, N.R.=11, podrien correspondre tan sols a un o dos individus. Hi ha representades gairebé totes les parts anatòmiques (dent, vèrtebra, húmer, ulna, radi, tíbia, calcani, metàpode, falange). Tot i que no hi ha indicis que ha hagi estat consumit, tampoc hem trobat les restes en connexió anatòmica, de manera que tampoc podem assegurar que moríssin a la cova.

Un dels animals que caracteritza aquest paquet i que pensem que ha estat introduït a la cova pels neandertals és el *Cervus elaphus*, en total N.R.=10. A banda de molts fragments de dent que no podem determinar i que hem classificat com a cérvol en aquest estadi inicial de l'estudi, s'ha localitzat una canina (foto) força ben conservada (només una mica fragmentada per la part de l'arrel) (figura 21).

També hem identificat una incisiva i un astràgal d'*Equus ferus*. L'astràgal (foto) presenta moltes marques postdeposicionals, però no hi hem sabut veure marques de carnisseria ni senyals de combustió (figura 22)



Figura 21 i 22: canina de *Cervus elaphus* i astràgal d'*Equus ferus*

Pel que fa al **Gran bòvid**, tan sols es tracta d'un fragment de metàpode i dos fragments de dents que no ens permeten afinar més de si es tracta de bisó o auroc.

Hi ha altres restes que hem classificat com a **Herbívor indeterminat**. Es tracta sobretot de fragments de dents que pel seu reduït tamany no ens permeten afinar més en quant a l'espècie. En destaca una de completament cremada (figura 23) que ens serveix d'exemple per caracteritzar les accions dels neandertals sobre les restes òssies. Alguns fragments de banya els hem incorporat en aquest paquet perquè no podem assegurar que pertanyin a Gran bòvid; a més d'un fragment de dent que podria ser de cavall, que també hem deixat com a Herbívor indeterminat.



Figura 23: dent cremada d'un herbívor indeterminat.

En el paquet de restes identificaades com a “**fauna determinable**” hi hem classificat N.R.=166. Moltes conserven certa anatomia i les hem pogut classificar anatòmicament:

dents	4
crani	35
mandíbula	5
vèrtebra	1
costella	28
metàpode	1
fèmur	2
tíbia	1
indeterminat	89

Les N.R.=89 restes que consten a “indeterminat” conserven certa anatomia, però nosaltres no hem pogut afinar millor a quina part del cos pertanyen. Entre aquestes en destaquem 9 pertanyents a individus infantils. En algunes altres s’hi observen marques d’impactes i indicis de cremació que pensem que són deguts a processos de carnisseria humans. Finalment, algunes mostren marques de rodaments.

Com a exemple, aquest fragment de crani (foto). És habitual que a l’Arbreda se’n trobin molts fragments. Podrien pertànyer a petits óssos de les caveres morts durant la hivernació, però cal un estudi més acurat d’aquest tipus de restes, i per això els deixem com a *sp.* indeterminada.

La **fauna indeterminable**, estelles d’os sense cap indicati morfològic, la relacionem directament amb els processos de carnisseria portats a terme pels humans a la cova. Són un total de N.R.=166. Algunes tenen marques de fractures d’impacte i algunes altres apareixen cremades; aquests dues senyals les relacionem amb els processos humans de carnisseria. A banda, algunes presenten senyals de processos naturals com rodaments i

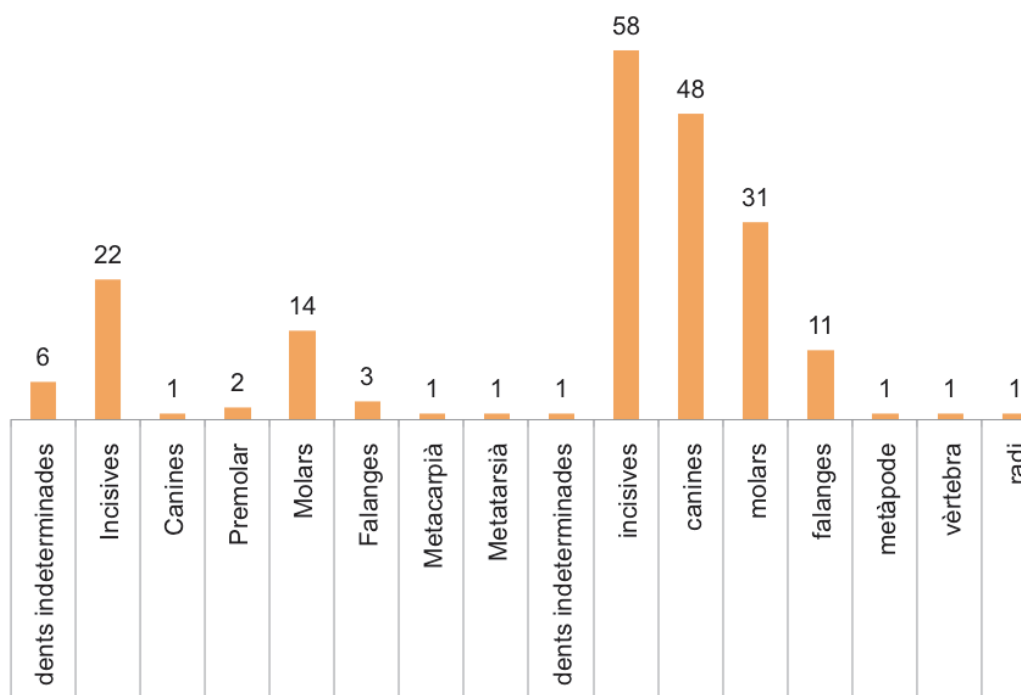
concrecions; destaca una resta que mostra signes de combustió i que després ha patit un procés de concrecció, evidenciant que els dos processos estan separats en el temps. Per últim destaca una resta amb senyals d'haver estat digerida (foto); a continuació parlem de la troballa d'un copròlit de hiena en aquest nivell, la qual cosa s'ha de relacionar per força.

Pel que fa als animals carnívors hem identificat llop, hiena i ós de les caveres. En el cas del llop es tracta d'un sesamoide que en aquest estudi inicial de les restes hem classificat com a **Canis lupus**, però caldrà fer un estudi més acurat per assegurar-ho.

Pel que fa a la hiena, **Crocuta crocuta**, com ja ens hem referit al paràgraf anterior, hem identificat la seva presència no per cap resta òssia, sinó per dos indicis indirectes: un os digerit i un copròlit (foto).

Finalment caracteritzarem les restes d'**Ursus spelaeus**, en total N.R.=202.

La majoria pertanyen als óssos infantils que van perdre les dents desiduals durant el període d'hivernació. Però també hem identificat restes postcranials que ens parlen d'individus morts a dins la cavitat; en aquest cas, tant n'hem identificat d'adults com d'infantils (figures 24 i 25). Destaquem dues incisives molt gastades que no hem pogut determinar, però que corresponen a almenys un individu d'edat venerable.



Gràfica 3: distribució de les restes d'úrsids del nivell J per part anatòmica.



Figura 24: úsrids adults. Restes dentàries i falanges, un mecarpià 1r esquerre i un metatarsià 2n dret.

Figura 25: úrsids infantils. Restes de tres falanges i l'epífisis d'un radi.



Els límits del Sector Alfa (quadre E2)

En aquest sector s'ha treballat en els nivells L, M i N. Disposem d'una datació d'una concreció travertínica del nivell N que ha resultat en 120.000 BP. Aquesta edat pot servir d'orientació cronològica per aquests nivells mosterians més



antics.

Com es veu en la taula on consten totes les restes coordinades i a quina talla corresponen les restes, els nivells L, M i N en alguns moments es troben a la mateixa profunditat. Això és degut al pendent dels nivells, que és molt fàcil de documentar als límits amb el Sector Alfa (secció 2/3). Evidentment en aquest cas vam organitzar les talles per tal que seguissin el pendent dels nivells.

Al 2010 el treball d'excavació s'ha concentrat en el quadre E2. El total de les restes faunístiques coordinades (incloem aquí els copròlits) a E2 és de N.R.=807, que representen el 55,54% del total de les restes de fauna coordinades.

Les restes de fauna coordinada representen el 38,05% del total d'objectes coordinats (que en total són N.R.=2120), amb la qual cosa veiem que aquests nivells estan molt més antropitzats que els més moderns: en els moments que les ocupacions humanes són més intenses, altres espècies animals tenen menys oportunitats d'aprofitar la cavitat.

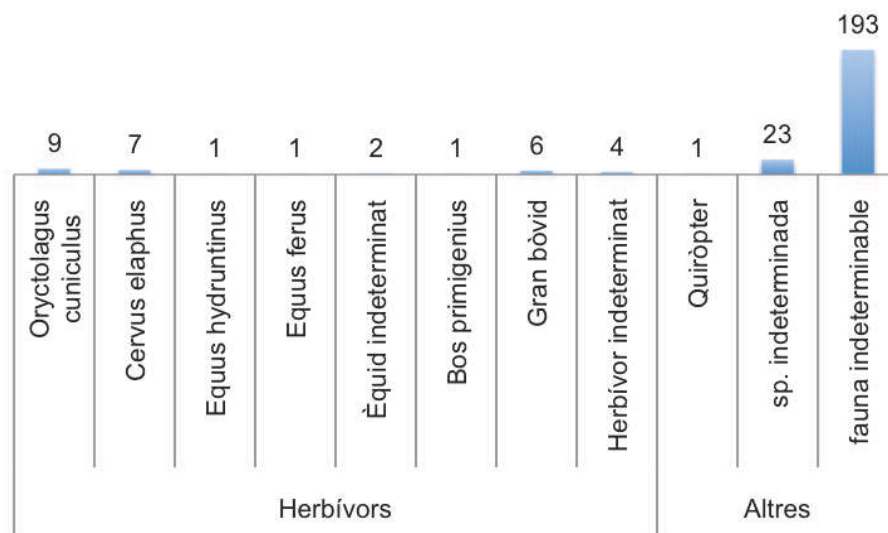
A continuació passem a caracteritzar cadascun dels nivells.

NIVELL L

El Nivell L s'ha excavat entre les talles 168 i 172. Només s'ha excavat en un quadre: E2, i la potència excavada és irregular, ja que algunes talles es varen excavar seguint el pendent que s'observava, en tot cas entre 8,13 metres i 8,40 metres per sota de la cota 0. Cal destacar que el quadre E2 complet, sinó que respon a la part de quadre que resta dins el Sector Beta (essent la resta del quadre ja excavada per Josep Maria Corominas al quedar inclosa en el Sector Alfa)

Les restes de fauna coordinada és de N.R.=248, i, pel indicis de campanyes exteriors, esperàvem testimoniar un canvi important respecte els nivells mosterians més moderns que hem descrit amb anterioritat. Mostrem a continuació les restes coordinades d'aquest nivell:

Herbívors	<i>Oryctolagus cuniculus</i>	9
	<i>Cervus elaphus</i>	7
	<i>Equus hydruntinus</i>	1
	<i>Equus ferus</i>	1
	Èquid indeterminat	2
	<i>Bos primigenius</i>	1
	Gran bòvid	6
	Herbívor indeterminat	4
Altres	Quiròpter	1
	sp. indeterminada	23
	fauna indeterminable	193



Gràfica 4: fauna coordinada del nivell I (N.R. = 248)

Aquest nivell sembla testimoniar una ocupació humana sense interrupcions, ja que no hi hem detectat cap indici de l'activitat d'altres animals, ni óssos, ni hienes, etc. A més de no coordinar ni una sola resta d'aquests animals, tampoc hi hem observat indicis de la seva presència: copròlits, marques de canines, restes digerides, etc.

Les restes d'*Oryctolagus cuniculus*, N.R.=9, podrien pertànyer a un sol individu, ja que, tot i que no està sencer, està molt ben representat anatòmicament: fragments de dents, mandíbula, escàpula, ulna, fèmur i metàpode. No hi ha indicis que fos processat pel seu consum, però tampoc podem assegurar que l'acumulació de totes les restes juntes no sigui deguda a una acció per part dels neandertals. Tampoc podem assegurar que sigui un cadàver d'un individu mort allà mateix, ja que les restes no presenten connexió anatòmica.

El *Cervus elaphus* l'hem identificat per varis fragments de dents i metàpodes. En total N.R.=7. Tot i que aquesta determinació és inicial, la seva presència és indubtable, i posem com a exemple un os del carp (figura 26).



Figura 26: carp de *Cervus elaphus*.

Hem detectat la presència de cavall i ase. L'*Equus ferus* ha estat identificat per un premolar, mentre que l'*Equus hydruntinus* (figura 27) ho ha estat per un molar. Hi ha també dues altres restes dentàries que hem classificat com a èquid indeterminat perquè són fragments petits que no ens permeten afinar més en quant a l'espècie.



Figura 27: molar d'*Equus hydruntinus*.

Altres fragments de banya i dents, N.R.=4, les hem classificat com a *Herbívor indeterminat*, tot i que és provable que, almenys les primeres, pertanyin a Gran bòvid.

També observem consum d'animals molt més grans, com el bisó i l'auroc. Hi ha una mandíbula que conserva el premolar (figura 28) i que es va coordinar en varis fragments, però hem vist que són una sola resta. Com que no sabem, la majoria de vegades, si es tracta de bisó o auroc, l'hem classificat com a **Gran bòvid**. En total N.R.=6.

Els fragments de banya també els hem classificat amb el genèric "Gran bòvid", a l'espera, si es pot més endavant, de fer una classificació més acurada. (figura 29). Aquests estudi més en profunditat de les restes d'aquests animals ens ha d'ajudar a definir un paisatge més concret.

Finalment citem una resta (figura 30) que hem classificat com a **Bos primigenius**, perquè, d'acord amb la bibliografia consultada, ens sembla pertanyer més a un auroc que a un bisó, però ja hem dit que cal un estudi més ampli amb aquestes restes.



Figura 29: fragments de banya de gran bòvid.



Figura 28: mandíbula de gran bòvid.

Destaca la troballa, en aquest nivell, d'un animal que hem classificat inicialment com a **quiròpter**. Les restes d'aquests animals no es coordinen perquè es consideren microfauna, però el tamany d'aquest individu s'ha observat prou important com per coordinar-lo per saber exactament a quin lloc i profunditat

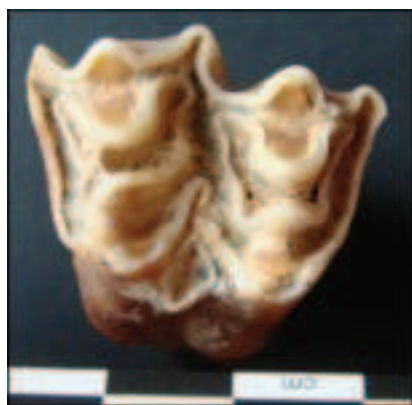


Figura 30: molar de *Bos primigenius*.

s'ha localitzat.

Caldrà, també, fer un estudi més acurat amb aquesta resta, ja que les seves dimensions són realment grans per les mides que estem acostumats a observar per aquests animals. No descartem tampoc que s'hagi fet una mala determinació d'aquestes restes i, en realitat, no es tracti d'una ratapinyada (figura 31).



Figura 31: probables restes de quiròpter.

Pel que fa a la **fauna determinable**, N.R.= 23, hem pogut identificar algunes parts anatòmiques, però no l' *s.p.*:

dents	1
vèrtebra	1
costella	1
metàpode	1
húmer	2
indeterminat	17

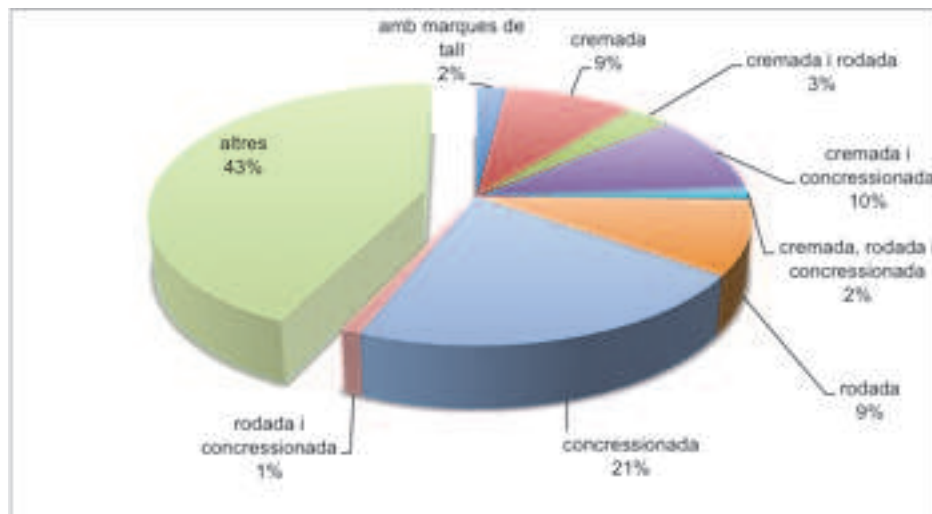
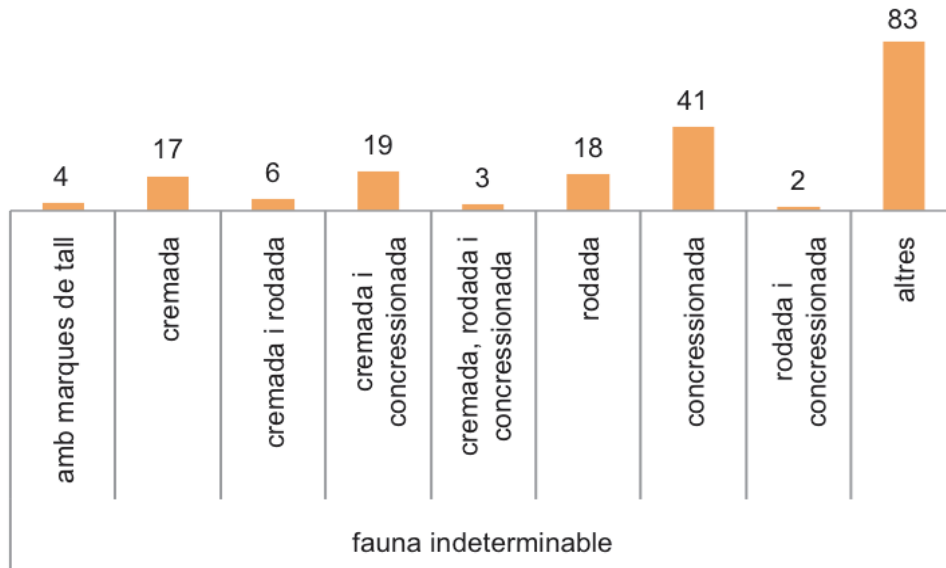
Destaquem el fet que algunes de les restes presenten també presenten senyals de combustió o altres processos naturals que descriuem a continuació per la fauna indeterminable.

Finalment observem la **fauna indeterminable**, N.R.=193, aquest gran grup d'estelles que relacionem directament amb els processos humans de carnisseria.

Hem observat molts indicis d'accions humanes i també altres processos naturals que han patit moltes de les restes després del seu dipòsit. Moltes mostren més d'una d'aquestes senyals i és fàcil observar en quin ordre varen ser afectades. Per exemple, algunes primer varen patir un procés de combustió (origen humà), després varen rodar per la cova (vingudes d'aigua i

restes provinents segurament d'una altra part de la cova) i finalment un procés de concreció (al lloc on finalment s'han localitzat).

Per poder caracteritzar millor aquests processos, descrivim en una taula els que hem observat:



Gràfiques 5a i 5b: fauna indeterminable del nivell L que mostra alteracions (N.R. = 193)

Com es veu, més de la meitat de les estelles presenten alguna alteració, humana o natural, o totes dues, i moltes han patit més d'un procés postdeposicional. Això ens parla d'uns nivells molt antropitzats i també molt afectats per l'aigua, amb senyals de rodaments i també de concrecions.

Tant els rodaments com les concrecions han afectat els ossos, forçosament, per l'acció de l'aigua. Però els dos fenòmens no s'han donat al mateix temps, sinó que forçosament han de respondre a moments diferents, amb cabals d'aigua diferents, i segurament en dos llocs de la cavitat diferents.

En el cas dels rodaments, han de ser vingudes d'aigua de cert cabal i que hagin fet remolins durant cert període de temps, durant el qual els ossos

han tingut temps de patir aquests rodaments. En aquest cas, per les restes que apareixen amb aquestes característiques pensem que s'han coordinat en un dipòsit secundari, o sigui, que originàriament estaven en una altra part de la cavitat.

Pel que fa a les concrecions, també es necessita aigua per a la seva formació. Hi ha dos tipus de concrecions diferents: unes amb molta afectació que es poden haver donat per estar les restes sumergides directament en una bassa d'aigua. D'altres, però, només afecten part de l'os i potser la concreció es deu a petits gotejos d'aigua del sostre, d'una estalagtitita, p.ex. En aquest cas pensem que es poden haver format allà mateix, o sigui que el dipòsit seria primari. Hi ha estelles, però, que primer han rodat i després s'han concretat.

Un N.R.=49 són restes amb senyals antròpiques: senyals de combustió i marques de tall. Destaca el fet, però, que no hem observat les dues possibilitats a la mateixa resta. Algunes d'aquestes estelles, a més, després han patit rodaments i/o un procés de concreció. En altres, N.R.=61, només s'hi han observat fenòmens naturals: rodaments i/o concrecions.

En tot cas, tenim clara la seqüència d'afectacions, ja que les marques se sobreposen i s'observa fàcilment: marques de tall o senyals de combustió (en diferents graus), rodaments i/o processos de concreció.

Posem com a exemple aquestes tres estelles rodades; s'observen, en les dues de dalt, senyals de combustió (en diferents graus d'afectació) i després el procés de rodament (figura 32)

L'observació d'aquests interessants fenòmens també els veurem en els altres nivells inferiors: M i N.

NIVELL M

El nivell M s'ha excavat entre les talles 169 i 176. Bàsicament s'ha excavat en un sol quadre: E2, tot i que hi ha un molar de cavall que s'ha recuperat del contigu D2, per considerar-se convenient extreure'l perquè no es malmetés durant l'excavació d'E2. La potència excavada és d'uns trenta centímetres: entre 8,38 i 8,68 metres per sota de la cota 0. Recordem altre cop que el quadre no és complet, sinó que respon a la regularització del Sector Alfa d'acord amb la quadrícula general de l'excavació.

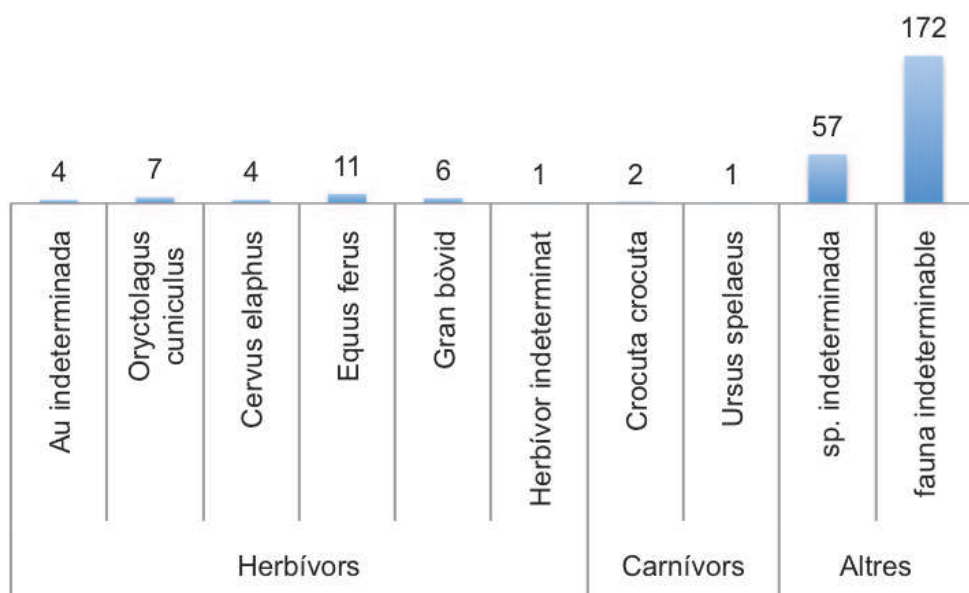


Figura 32: algunes estelles alterades per processos antròpics i naturals.

El nombre de restes coordinades és de N.R.=265, i es manté la tendència de l'anterior: s'observa una intensa ocupació humana durant aquest període antic per part les poblacions neandertalianes, respecte els nivells superiors i força moderns. Hi ha, aquí, però, un aspecte que distorciona la visió general i que desenvoluparem més endavant.

Les restes coordinades d'aquest nivell, per espècies:

Herbívors	Au indeterminada	4
	<i>Oryctolagus cuniculus</i>	7
	<i>Cervus elaphus</i>	4
	<i>Equus ferus</i>	11
	Gran bòvid	6
	Herbívor indeterminat	1
Carnívors	<i>Crocota crocuta</i>	2
	<i>Ursus spelaeus</i>	1
Altres	sp. indeterminada	57
	fauna indeterminable	172



Gràfica 6: fauna coordinada del nivell M (N.R. = 265).

A diferència de l'anterior, en aquest nivell hem detectat una utilització de la cova per part de la ***Crocota crocuta***. No hem observat marques de dents, però sí la presència d'un premolar (figura 33) que mostra cert grau de desgast a la cúspide i un copròlit.

També hem coordinat una dent desidual d'***Ursus spelaeus***. Pensem que és una contaminació, ja que les últimes restes d'ós de les caveres

coordenades eren al nivell K, mentre que al nivell L ja no n'hi havia; això és a partir de la talla 161, a 8,00 metres. per sota de la cota 0. O sigui que en una potència d'uns 35 centímetres no s'havia coordinat ni una sola resta d'aquest animal, i per sota, al nivell N, tampoc. Aquestes són les dades que ens fan pensar que es tracta d'un resta segurament caiguda d'un nivell superior, potser durant els mateixos treballs d'excavació.



Figura 33: premolar de *Crocuta crocuta*.

Les N.R.=4 coordenades com a **au indeterminable** són fragments de diàfisis que segurament són de conill, però al no tenir moll de l'ós s'han coordinat com au. Cal dir que algunes restes coordinades com a au en un primer moment, al conservar certa anatomia s'han pogut classificar com a lagomorf; per això som partidaris de tenir en compte aquestes juntament (en un estudi global en un futur) com a conill.

L'**Oryctolagus cuniculus** ha estat caracteritzat per N.R.=7. Són fragments dentaris, una vèrtebra, tres tíbies i una interessant mandíbula amb restes de concreció. Ens parlen de com a mínim 2 individus diferents i segurament de restes consumides pels neandertals (ja parlarem en el nivell N que hem detectat una fractura d'origen antròpic per aquest animal). El consum d'aquest animal no és habitual en la

població neandertaliana, en tot cas, les restes que apareixen després del seu consum no són tantes com pot deixar un animal de talla més gran.

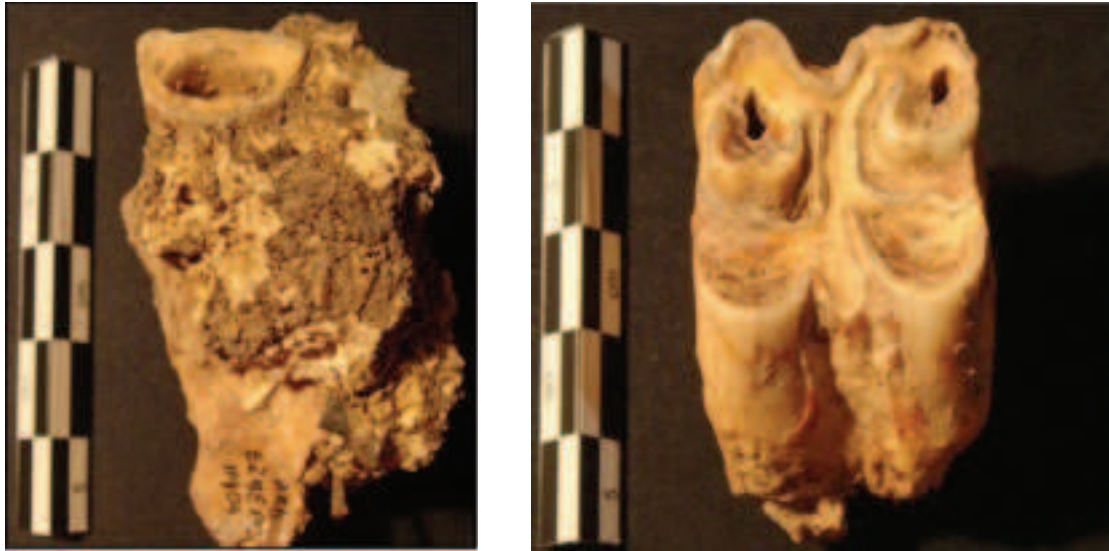
Si que s'observava en nivells mosterians recents, a partir del nivell I, que el seu consum era més habitual; i sobretot durant el paleolític superior.

El **Cervus elaphus** només està documentat amb N.R.=4: dos fragments de dents i dos altres fragments de metàpodes que en aquesta primera determinació s'han identificat com a cérvol, però que caldria confirmar amb un estudi més detallat.

Pel que fa als èquids, aquí no hem detectat la presència de l'ase, però sí l'**Equus ferus**, amb un N.R.=11. Totes les restes coordinades són fragments de dents i molars (figures 34 i 35). Destaca la identificació d'un molar amb senyals d'haver patit un procés de combustió. Mostrem una incisiva que conserva part de la mandíbula, i que està molt i molt conccionada.

El **Gran bòvid** també ha estat identificat, amb N.R.=6. Són sempre fragments molt parcials de dents i banya que no ens permeten afinar més en quant a l'espècie a la que pertanyen. Només una de les restes és un molar molt sencer (foto), d'un individu de certa edat, però no podem dir si és auroc o bisó.

Una sola resta, que és un fragment de dent, ha estat classificada com a **Herbívor indeterminat**. El seu reduït tamany no ens permet definir si és d'un cérvol, d'un cavall, d'un auroc...



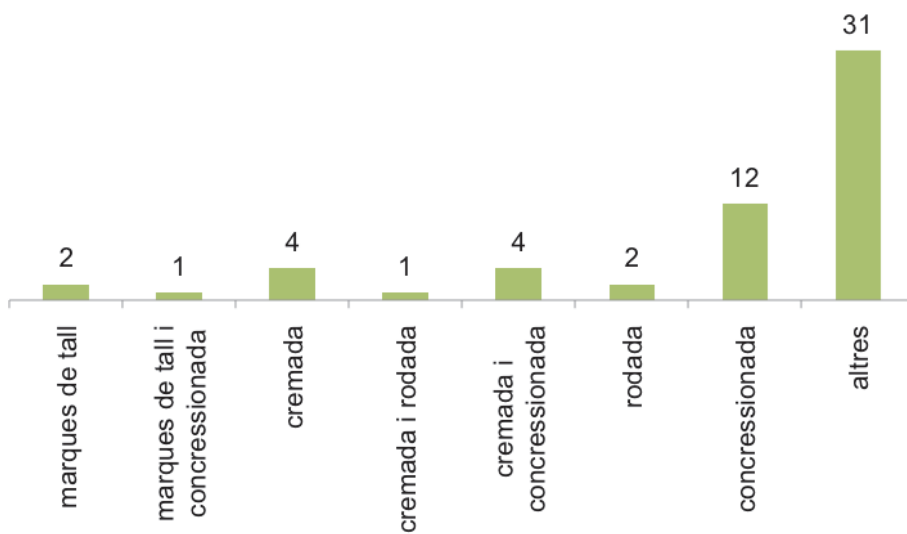
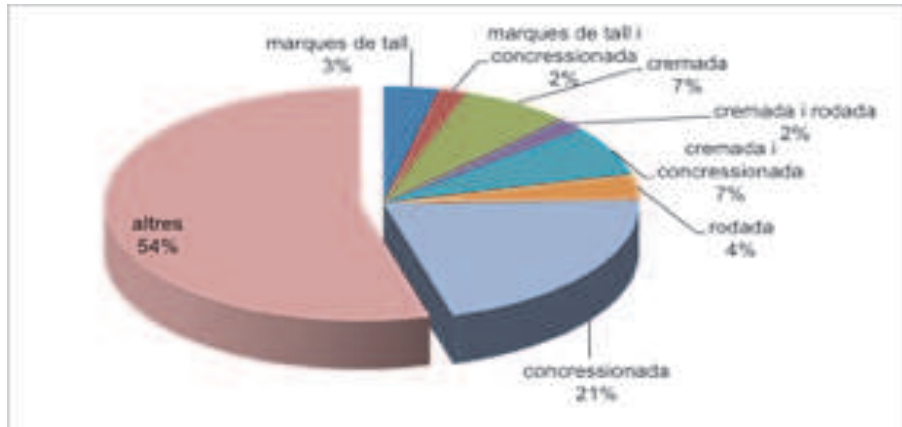
Figures 34 i 35: restes d'*Equus ferus*

Les restes classificades com a **fauna determinable**, N.R.=57. Estan molt fragmentades i gairebé serien estelles, si no fos que conserven certa part de l'anatomia i les hem deixat en aquest paquet per si es poden identificar millor en un futur. S'han identificat:

mandíbula	2
escàpula	1
húmer	2
metàpode	1
indeterminat	50

El més interessant és que comencen a aparèixer molt afectades pels mateixos processos que ja havíem vist en el nivell anterior per la fauna indeterminable. Aquestes afectacions tenen dos orígens diferents: humà i natural. Pel que fa al primer hem identificat, també, marques de tall i processos de combustió, mentre que pel que fa al segon hem vist rodaments i concrecions. Algunes de les restes presenten més d'un procés i, igual que havíem observat en el nivell anterior per la fauna indeterminable, es pot establir fàcilment la seqüència cronològica dels fets.

Describim a continuació les senyals detectades:



Gràfiques 7a i 7b: fauna indeterminable del nivell M que mostra alteracions (N.R. = 57)

Observat en percentatges, veiem que gairebé la meitat de les restes estan afectades per algun fenomen: el 21% té senyals, inicialment, d'origen humà, i a més a més, en un segon procés, que per força ha de ser més tard en el temps, han estat afectades per rodaments o concrecions.

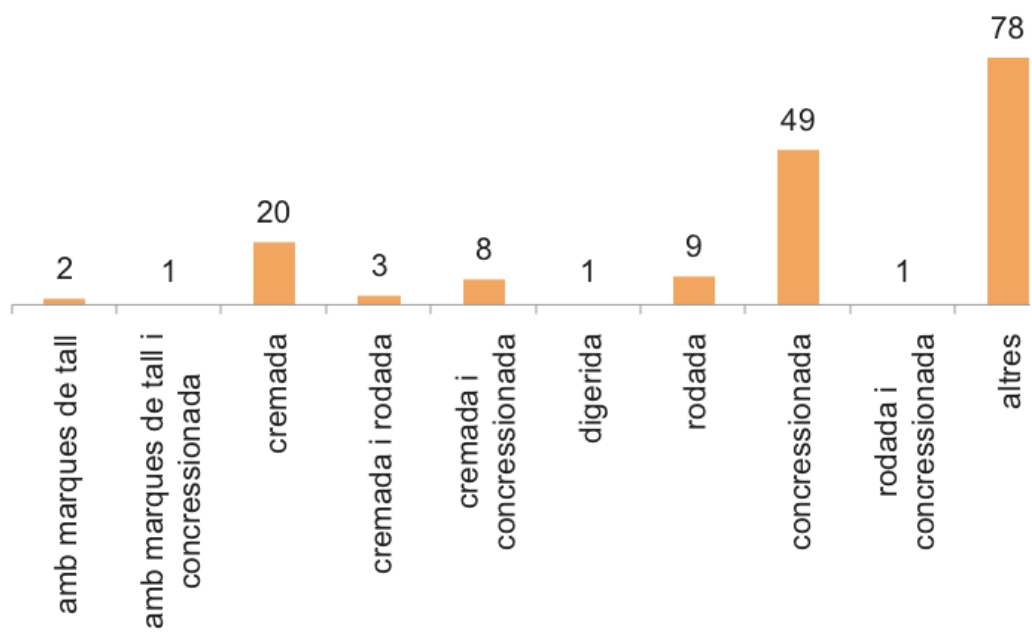
Mostrem com a exemple d'una clara acció antròpica dues restes amb marques de tall: una mandíbula (figures 36 i 37) i un os que no hem pogut determinar (foto dreta), en el que s'observen restes de concreció a sobre de les marques de tall.

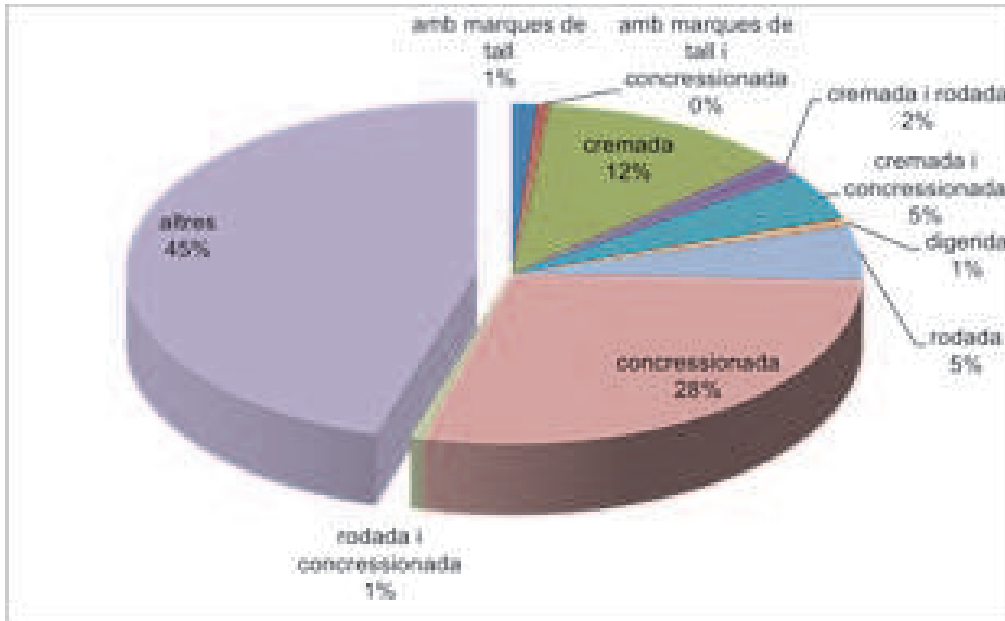
Finalment, caracteritzem el paquet de **fauna indeterminable**. Una vegada més, hem observat els fenòmens amunt exposats, de manera que només en detallam el nombre de restes i el percentatge que representen les descrites afectacions. Cal destacar també que s'ha observat una altra resta amb marques de tall que després va ser afectada, en part, per concreció.



Figures 36 i 37: clares mostres de marques de tall sobre restes de fauna del nivell M.

Festes aquestes observacions, i considerat que tant les restes “determinables” com les “indeterminables” les relacionem amb els processos de carnisseria dels grups humans, i vist que presenten el mateix tipus de marques, tant humanes, com naturals, d’ara en endavant serà bó de caracteritzar-les en conjunt per tenir una visió global d’aquestes realitats.





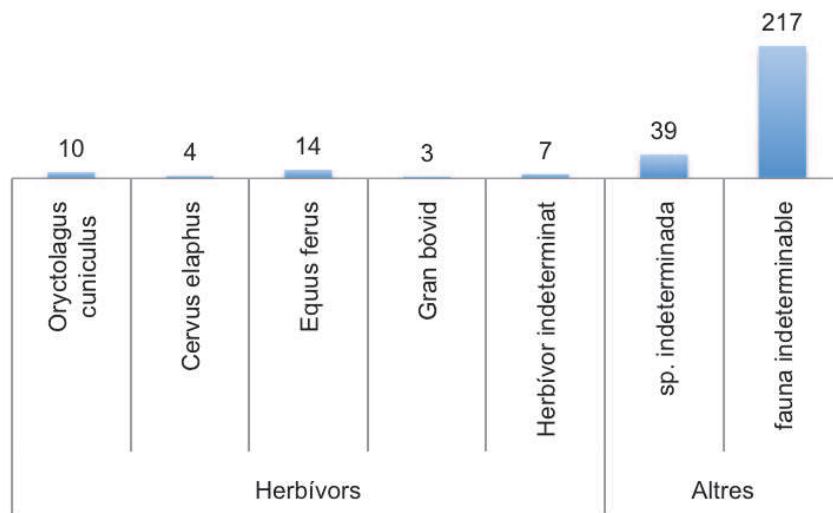
Gràfiques 8a i 8b: fauna indeterminable del nivell M que mostra alteracions (N.R. = 172).

NIVELL N

El nivell N s'ha excavat entre les talles 173 i 179, i només al quadre E2. La potència excavada va dels 8,56 als 8,88 metres per sota de la cota 0. En aquest nivell arqueològic continuem regularitzant la secció del "pou Corominas" i, pertant, aquest nivell tampoc està excavat en un metre quadrat complet. El nombre de restes coordinades és de N.R.=294 i, igual que els altres nivells mosterians antics (L i M), l'ocupació humana és intensa, mentre que altres bèsties tenen poques oportunitats d'ocupar la cavitat. Igual que el nivell L, no hem sabut veure cap resta que es faci pensar en l'aprofitament de la cova per part d'altres animals: ni restes òssies de carnívors, ni les seves empremtes (copròlits, dentellades, etc.).

Només hem pogut identificar quatre espècies animals. En tots els casos són herbívors i pensem que totes han estat aportades a la cova pels grups *neanderthals* que la varen ocupar (algunes mostren fractures, marques de tall i signes de combustió que així ens ho fan pensar):

Herbívors	<i>Oryctolagus cuniculus</i>	10
	<i>Cervus elaphus</i>	4
	<i>Equus ferus</i>	14
	Gran bòvid	3
	Herbívor indeterminat	7
Altres	<i>sp. indeterminada</i>	39
	fauna indeterminable	217



Gràfica 9: fauna coordinada del nivell N (N.R. = 294).

És interessant l'observació de les restes, N.R.=10, d'**Oryctolagus cuniculus** en aquest nivell, ja que almenys un fragment de fèmur i dos restes òssies més (que no hem pogut determinar anatòmicament) mostren fractures antròpiques, a més de dues restes més que estan cremades. Pensem que indicadors ens mostren un consum clar d'aquest animals per part dels neandertals.

Les restes de **Cervus elaphus**, N.R.=4, són dubtoses pel que fa a les dentàries, ja que són molt fragmentàries, sobretot dues. Però hem classificat com a cérvol un fragment de l'epífisis distal d'una falange amb una fractura que ens sembla clarament antròpica (figures 38 i 39). El seu consum i processat a dins de la cova ens mostra un aprofitament intensiu de la carn i el moll de l'os.



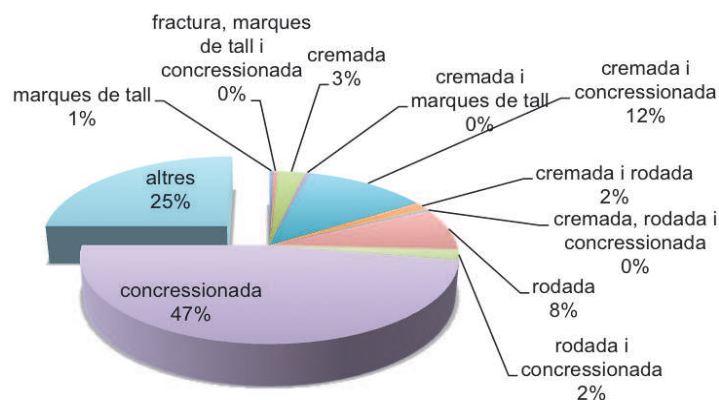
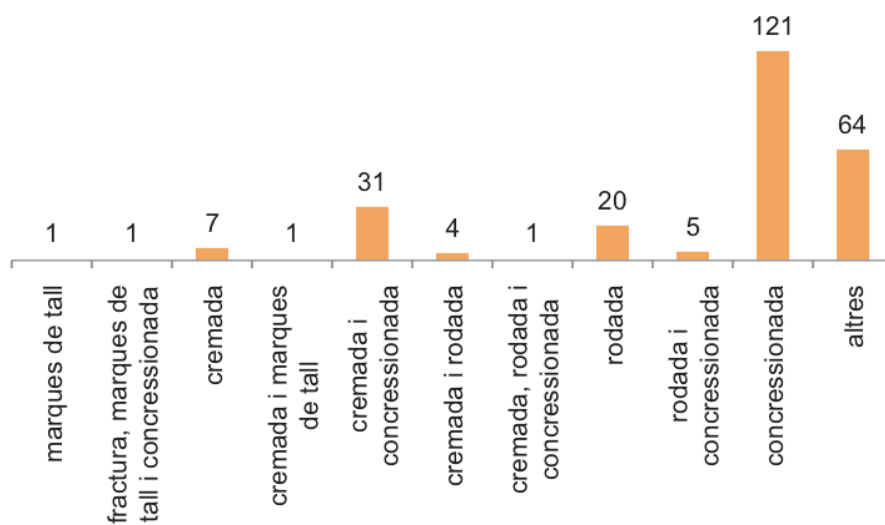
Figures 38 i 39: restes de cérvol fracturades pels ocupants de l'Arbreda.

També hem identificat *Equus ferus*, amb N.R.=14. En aquest cas totes són restes dentàries, de les quals destaca un fragment de molar amb senyals de combustió.

Pel que fa al **Gran bòvid**, només hem identificat N.R.=3, de les quals dues són fragments de banya i una altra és un fragment de molar. Les restes són massa poc representatives per identificar una espècie més concreta.

Finalment, tenim N.R.=7 classificades com a **Herbívor indeterminat**. Són 2 fragments de banya que podrien ser de Gran bòvid i 5 fragments dentaris massa parcials per poder afinar més en quant a l'espècie a la que pertanyen.

Igual com en els altres dos nivells mosterians antics, hem observat que la **fauna determinable i la indeterminable** representen la major part de les restes coordinades, i igual que en els anteriors, s'hi poden observar diverses marques d'origen antròpic i natural.



Gràfiques 8a i 8b: fauna indeterminable i determinada del nivell M que mostra alteracions (N.R. = 256).

Com que només hem estat capaços d'identificar dos fragments de metàpode entre les restes determinables, que són N.R.=39, per caracteritzar les marques observades, les comptarem conjuntament amb les indeterminables, N.R.=217.

Tres quartes part d'aquest important dipòsit (que representa gairebé el 90% de les restes coordinades d'aquest nivell) té alguna marca. Algunes mostren més d'un procés.

Primer s'observen afectacions antròpiques: marques de tall i fractures que no podem ordenar cronològicament i algunes senyals de combustió. I amb posterioritat, algunes han patit, a més, rodaments i/o processos de concreció.

Mostrem com molt bons exemples aquestes restes (figures 40 i 41): la de l'esquerra amb senyals de combustió i marques de tall i més tard, concrecionada. La de la dreta mostra l'impacte per una fractura (a la part superior), a més de nombroses marques de tall, que en un moment posterior van ser parcialment cobertes per diferents processos de concreció.

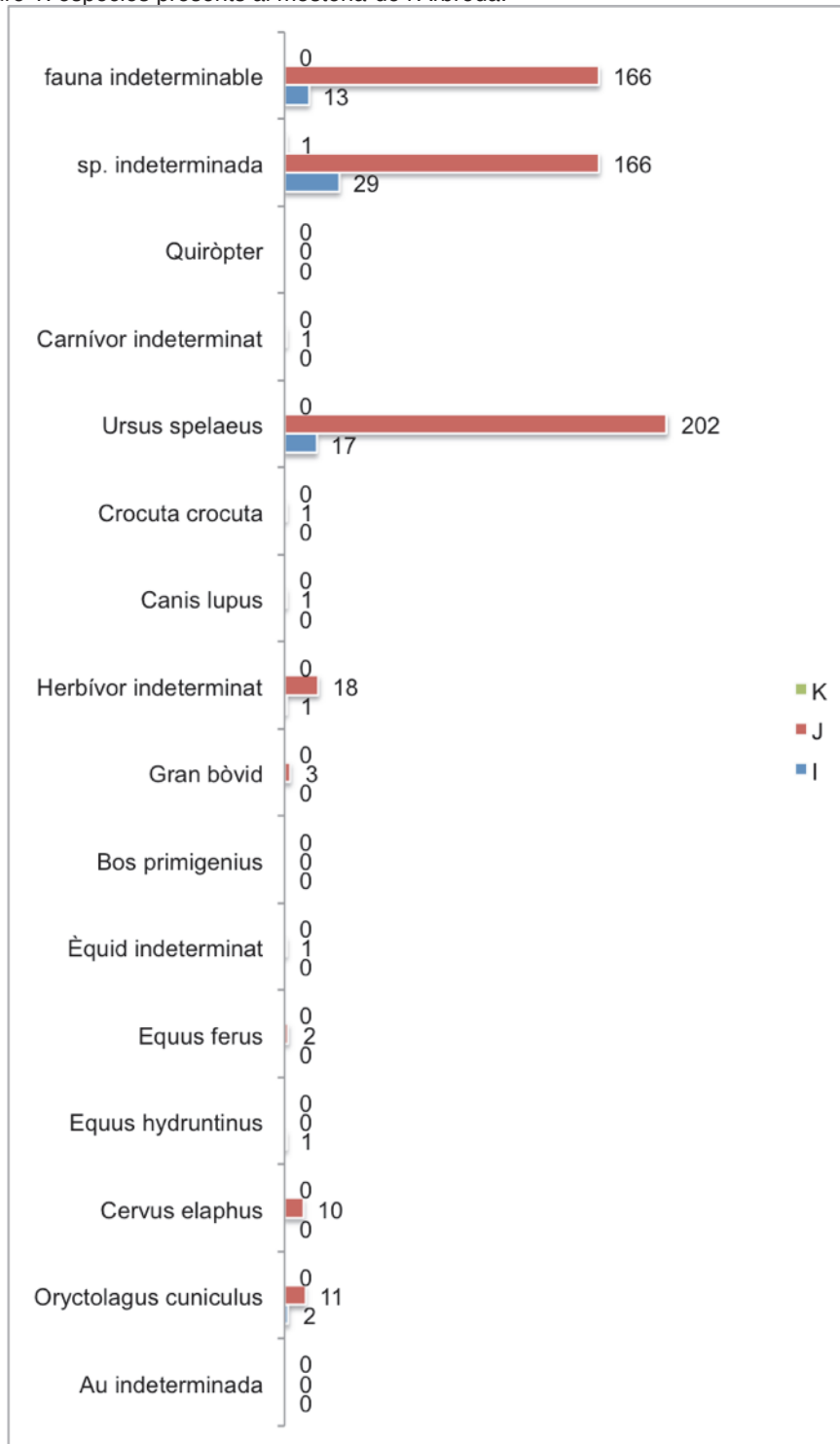


Síntesis d'espècies presents als nivells mosterians excavats al 2010

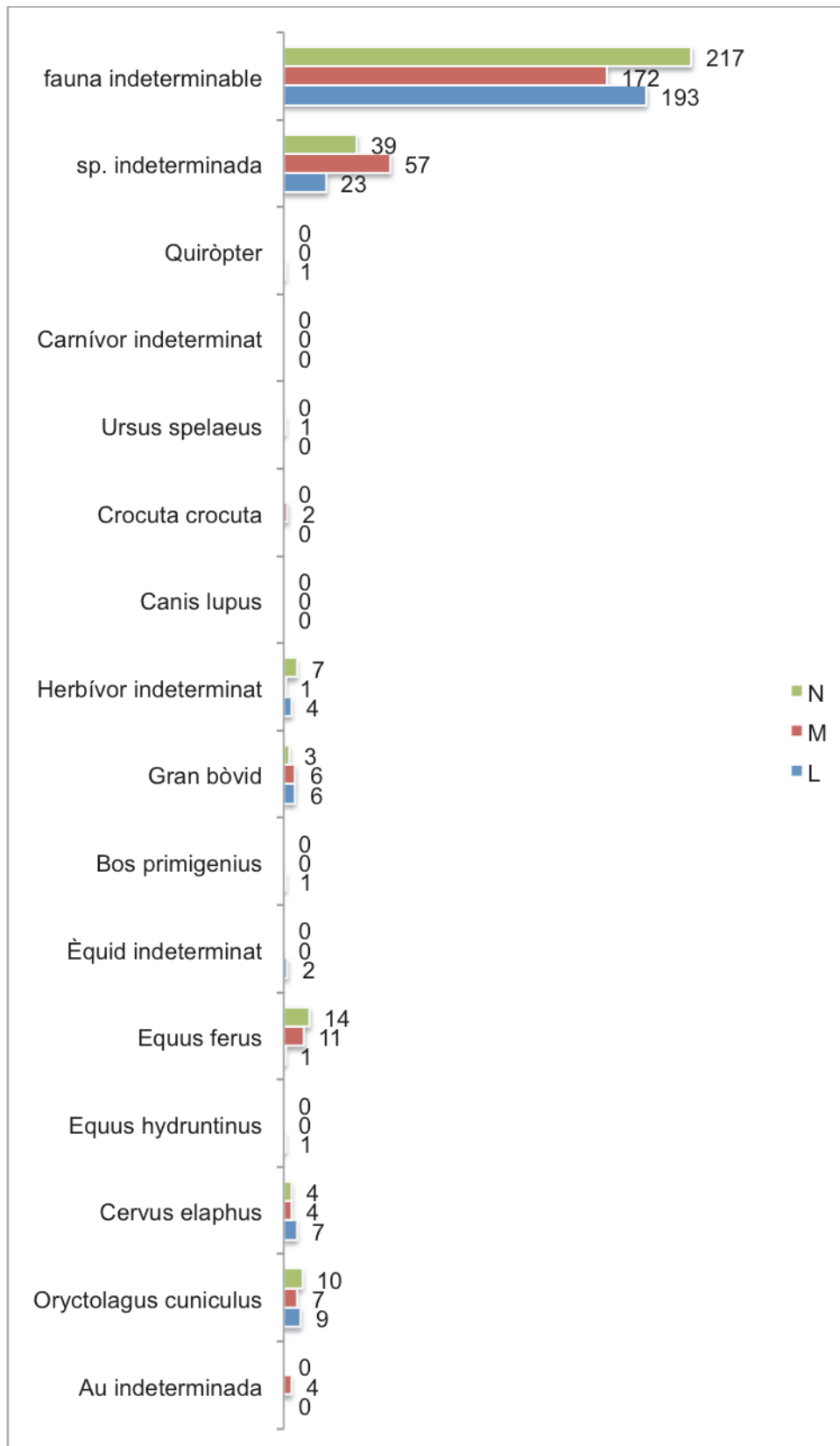
Figures 40 i 41: restes amb marques de tall i estigmes de combustió.

	I	J	K	L	M	N
Au indeterminada	0	0	0	0	4	0
<i>Oryctolagus cuniculus</i>	2	11	0	9	7	10
<i>Cervus elaphus</i>	0	10	0	7	4	4
<i>Equus hydruntinus</i>	1	0	0	1	0	0
<i>Equus ferus</i>	0	2	0	1	11	14
Èquid indeterminat	0	1	0	2	0	0
<i>Bos primigenius</i>	0	0	0	1	0	0
Gran bòvid	0	3	0	6	6	3
Herbívor indeterminat	1	18	0	4	1	7
<i>Canis lupus</i>	0	1	0	0	0	0
<i>Crocuta crocuta</i>	0	1	0	0	2	0
<i>Ursus spelaeus</i>	17	202	0	0	1	0
Carnívor indeterminat	0	1	0	0	0	0
Quiròpter	0	0	0	1	0	0
sp. indeterminada	29	166	1	23	57	39
fauna indeterminable	13	166	0	193	172	217

Quadre 1: espècies presents al mosterià de l'Arbreda.



Gràfica 9: espècies determinades als nivells I, J i K.



Gràfica 10: espècies determinades als nivells L, M i N.

A l'esquerra observem els nivells mosterians més moderns. Com a referència tenim una datació de 39/40.000 BP del nivell I, que anomenem mosterià final. En aquests nivells les restes de fauna coordinada representen el 58,51% del total d'objectes coordinats; mentre que la resta de coordinats

són sobretot fragments, ascles, nuclis, etc. de diferents roques i minerals que ens parlen de la fabricació i utilització d'indústria lítica a la cova. Aquesta proporció ens parla d'uns nivells no especialment antropitzats, sinó que les ocupacions humanes són puntuals i es combinen amb les aportacions d'altres animals. Principalment les restes d'herbívors, fauna determinable i fauna indeterminable (estelles) les relacionem amb accions humanes relacionades amb el consum de la carn.

Aquestes ocupacions humanes es combinen amb la presència d'ós de les cavernes. Mentre que els mascles adults hivernen en solitari, les femelles ho fan amb els petits; aquest és el motiu que trobem milers de restes de dents desiduals entre el sediment. Però cal tenir en compte que les restes d'ós de les cavernes que consten en aquest estudi només són les restes coordinades, i n'hi ha moltes més que es troben entre la fauna no-coordinada, o perquè no s'han recuperat *in situ*, o perquè s'han recuperat en el garbellat de les terres. També hi ha restes que ens parlen d'ossos morts a la mateixa cova, segurament durant la hivernació; no hi hem observat rastres que hagin estat consumides ni per humans ni per altres carnívors.

A la dreta observem els nivells mosterians més antics. Com a referència tenim una datació de 120.000 BP de la base del nivell N, també mosterià. En aquests nivells les restes de fauna coordinada representen el 38,05% del total d'objectes coordinats; mentre que l'abandonament de restes d'indústria lítica és molt més intens que ens els nivells més moderns, amb la qual cosa veiem que aquests nivells estan molt més antropitzats que els més moderns. Com que en els moments que les ocupacions humanes són més intenses, altres espècies animals tenen menys oportunitats d'aprofitar la cavitat, la tesis d'una intensa ocupació humana en aquests moments es veu reforçada amb la detecció d'aprofitaments molt puntuals de la cavitat per part d'altres animals, com la hiena: alguna resta amb senyals d'haver estat digerida i algun copròlit que ens parla d'estades molt puntuals d'aquest animal a la cova. Ni rastre de l'ós de les cavernes (només hem detectat una dent desidual que pensem que és una contaminació, segurament de durant els mateixos treballs d'excavació).

ESTUDI DELS MATERIALS LÍTICS RECUPERATS DURANT EL 2010

La campanya de 2010 ha proporcionat una indústria lítica que no és intrínscament diferent a la que s'han anat recuperant durant totes les campanyes des de la represa de les excavacions als nivells mosterians l'any 1997. Tot i això malgrat que s'han recuperat restes de tots els nivells del jaciment, en el sí d'una de les seqüències mosterianes més llargues de Catalunya.

Els resultats de l'excavació confirmen doncs l'estancament tecnològic i tipològic que caracteritza el mosterià (tret dels sostre del darrer nivell mosterià de l'Arbreda, el nivell I, on les puntes de Chatelperron indiquen que s'ha produït una evolució tècnica). Aquest panorama que mostra el mosterià de Serinyà, així com el d'altres indrets de Catalunya, no és diferent al que s'ha documentat generalment a la resta d'Europa, inclosa l'evolució detectada al final del cicle mosterià.

Per a l'elaboració d'aquesta memòria s'utilitzen les dades recollides des de la represa de les excavacions al 1997 i no només les obtingudes durant la campanya de 2010. En memòries anteriors sí que es parlava només dels objectes recuperats en aquella anualitat però ara considerem que és una manera de treballar massa empobridora i que no permet cap anàlisi mínimament fiable, només una visió administrativa.

Així doncs a l'hora per caracteritzar els nivells mosterians i el comportament de les comunitats neandertallianes en tot el referent a la seva tecnologia lítica es farà ús de tots els objectes que s'han analitzat fins a l'actualitat, que són més de 13.000. El quadre 2 ofereix la millor síntesi que s'ha aconseguit fins al moment de tot aquest material.

Pel que fa a les matèries primeres que van integrar-se en els processos productius de la tradició tècnica mosteriana, les excavacions dels nivells profunds de l'Arbreda tampoc no han proporcionat matèries primeres lítiques diferents de les que ja s'havien identificat des del sostre del nivell mosterià I exavat l'any 1987.

En conjunt aquests materials mostren, repetim que sense grans diferències entre nivells i per tant de cronologia, un predomini absolut de roques dites d'origen local, com quars (77%), seguides ja molt més lluny per la quarsita (9,6%), corniana (3,7%) i roques filonianes (2,9%). Cal esmentar que quarsita, per bé que minoritària respecte al quars, és de fet molt més present que no pas les altres roques, les quals les trobem en percentatges realment testimonials (quadre 2).

Els sílexs que anomenem foranis, ja sigui perquè no s'ha pogut determinar que provinquin de les proximitats del jaciment, ja sigui perquè tot al contrari s'ha pogut demostrar que efectivament procedeixen de la llunyana conca de Narbona-Sigean (Ortega 2000), sempre són presents en febles percentatges (2,8%). Però les roques silícies emparentades amb el sílex i d'origen proper, com la lidita, que probablement provenen de l'alta Garrotxa o foren recollides dels rius que hi transcorren, encara tenen una presència menys destacada (0,3%)

Efectius		Quars									%								
		Quars	Quarsita	Cristall	Filoniana	Corniana	Sílex	Lidita	Sorrenca	Altres									
22	altres	0,6%	0,1%		0,3%		0,1%			0,4%	1,4%								
287	accidents	12,1%	2,8%	0,1%	1,0%	1,0%	1,0%	0,1%	0,1%	0,2%	18,4%								
14	nuclis	0,8%	0,1%				0,1%				0,9%								
888	residus	50,8%	1,4%		1,8%	0,4%	1,2%	0,4%	0,3%	0,5%	56,9%								
350	suports	12,2%	3,9%		1,9%	1,9%	1,9%	0,1%	0,3%	0,3%	22,4%								
I mosteria final		1561									76,5%	8,2%	0,1%	5,0%	3,3%	4,3%	0,6%	0,7%	1,3%
31	altres	0,5%	0,1%						0,1%	0,3%	0,9%								
1096	accidents	23,6%	3,0%	0,2%	0,7%	0,8%	1,5%	0,1%	0,3%	0,7%	30,8%								
35	nuclis	0,6%	0,2%			0,0%	0,1%			0,0%	1,0%								
1224	residus	30,3%	1,9%	0,0%	0,6%	0,3%	0,3%	0,1%	0,5%	0,5%	34,4%								
1169	suports	22,6%	4,8%	0,1%	1,3%	1,6%	1,1%	0,1%	0,5%	0,7%	32,9%								
J mosteria		3555									77,6%	10,0%	0,3%	2,5%	2,8%	3,0%	0,3%	1,3%	2,2%
3	altres	0,1%			0,1%					0,1%	0,2%								
593	accidents	36,1%	4,1%	0,5%	0,5%	0,8%	1,2%	0,1%	0,2%	1,1%	44,5%								
7	nuclis	0,3%	0,1%			0,1%	0,1%				0,5%								
325	residus	22,4%	0,6%		0,3%	0,1%	0,4%		0,4%	0,3%	24,4%								
404	suports	19,0%	5,6%		1,1%	1,2%	1,8%		0,5%	1,2%	30,3%								
K mosteria		1332									77,9%	10,3%	0,5%	2,0%	2,1%	3,5%	0,1%	1,0%	2,7%
9	altres	0,1%				0,0%			0,0%	0,0%	0,2%								
1322	accidents	26,0%	2,2%	0,1%	0,2%	1,3%	0,8%	0,2%	0,1%	0,5%	31,3%								
20	nuclis	0,4%	0,0%			0,0%	0,0%				0,5%								
674	residus	14,1%	0,9%	0,0%	0,1%	0,3%	0,1%	0,0%	0,1%	0,3%	16,0%								
2195	suports	35,6%	6,4%	0,1%	1,9%	4,1%	1,9%	0,1%	0,5%	1,3%	52,0%								
L mosteria		4220									76,2%	9,5%	0,2%	2,3%	5,8%	2,8%	0,4%	0,8%	2,2%
3	altres	0,2%								0,3%	0,5%								
160	accidents	22,2%	1,6%	0,3%	0,2%	0,8%	0,2%			0,3%	25,5%								
10	nuclis	1,1%	0,2%		0,2%	0,2%					1,6%								
122	residus	18,7%	0,5%		0,2%		0,2%				19,5%								
332	suports	38,1%	6,1%		3,5%	2,4%	0,6%	0,2%	1,4%	0,6%	53,0%								
M mosteria		627									80,2%	8,3%	0,3%	4,0%	3,3%	1,0%	0,2%	1,4%	1,3%
3	altres	0,1%							0,1%		0,2%								
518	accidents	23,8%	2,4%	0,1%	0,5%	0,5%	0,2%	0,1%	0,3%	0,2%	28,1%								
17	nuclis	0,8%	0,1%							0,1%	0,9%								
344	residus	16,4%	1,1%		0,5%	0,2%	0,1%		0,2%	0,2%	18,7%								
960	suports	38,9%	6,7%	0,3%	2,4%	1,2%	0,8%	0,1%	0,7%	1,0%	52,1%								
N mosteria		1842									80,0%	10,3%	0,3%	3,5%	2,0%	1,1%	0,2%	1,3%	1,4%
13137		77,5%									9,6%	0,3%	2,9%	3,7%	2,8%	0,3%	1,0%	2,0%	

Quadre 2: síntesi de la indústria lítica mosteriana de l'Arbreda, basada en l'anàlisi de 13137 objectes provinents de tots els nivells mosterians.

Al llarg de tota la seqüència mosteriana també hi ha unes poques peces elaborades sobre un material al·lòcton molt particular: el jaspi del Canigó (nivells J i N), que també indiquen una àrea de captació a llarga distància.

Malgrat el predomini absolut dels materials d'origen local, aquesta presència feble però constant de materials al·lòctons indica que les

comunitats mosterienes disposaven d'accés als recursos d'un territori prou gran que es pot mesurar en més de 100 quilòmetres d'amplitud, si prenem com a referència el jaciment de l'Arbreda. En la majoria dels nivells mosterians (I, J , K i L) fins i tot es recuperen nuclis per a l'obtenció de suports configurats sobre aquestes matèries al·lòctones.

Pel que fa als materials que categoritzem com a locals (perquè ni són sílexs al·lòctons ni jaspis) encara s'ha determinat amb prou precisió la seva àrea de captació. El més lògic seria circumscriure-la a les proximitats del jaciment de l'Arbreda, és a dir, als turons de Centenys i Fontcoberta, així com a la llera del riu Ser. En aquests indrets les roques que hem documentat tallades a l'interior de l'Arbreda s'hi troben amb abundància i sota la forma de còdols de dimensions entre els 10 i els 15 centímetres de diàmetre, cosa que també coincideix amb els materials recuperat de la cavitat.

Tot i això al jaciment s'observa un alt predomini del quars, que no té correspondència amb la presència d'aquest material a les zones que acabem d'esmentar. Per tant hem de considerar que les comunitats mosterianes van mostrar un interès especial per aquest material que va fer que el seleccionessin de manera preferencial en aquests o bé que el recolliren en indrets no tan pròxims al jaciment.

Qualsevol de les dues possibilitats testimonien que la selecció de matèries primeres que feien les comunitats mosterianes no es pot descriure com a oportunista (en comparació a les estratègies de selecció del paleolític superior, per exemple) sinó que respon a una lògica i a una tradició tècnica que encara no s'ha pogut descriure ni entendre satisfactòriament. Perquè és igualment cert que els quarsos que es tallaren no gaudeixen de les mateixes aptituds per a la talla, almenys des del punt de vista actual, que la multitud de quarsites de bona qualitat que trobem en les zones que hem esmentat, les quals no s'allunyen més de 2 quilòmetres del jaciment de l'Arbreda.

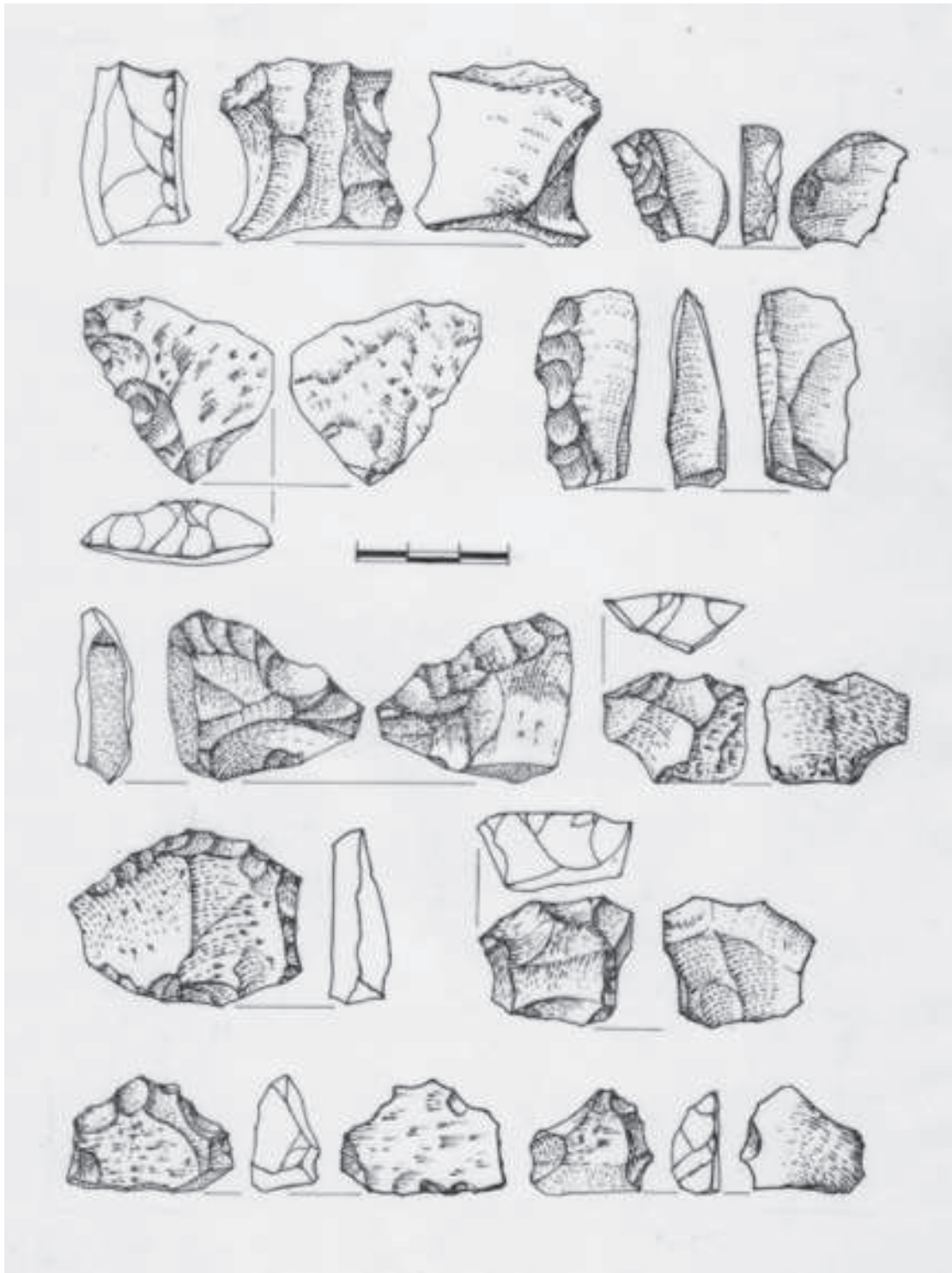
Pel que fa als processos tècnics que tenien lloc a partir d'aquestes matèries primeres, de la mateixa manera que s'ha apuntat pel mosterià del nord-oest de Catalunya, el mosterià de l'Arbreda testimonia uns processos tècnics orientats a l'obtenció de petits suports, la majoria dels quals d'entre 3 i 5 centímetres de longitud, a partir de nuclis levallois (bifacials jerarquitzats recorrents centrípetes), discoides (bifacials no jerarquitzats) i unifacials. Aquest tipus de nuclis estan configurats sobre còdols de les dimensions anteriorment esmentades.

A banda d'aquests nuclis al mosterià de l'Arbreda també s'ha detectat l'ús d'ascles gruixudes que es formatitzen a la manera de denticulats de retoc molt profund per tal de delimitar una àrea longitudinal de forta convexitat a la cara dorsal de l'ascla. Posteriorment amb una percussió sobre el taló de l'ascla s'extreu el material abans delimitat a la manera d'un nucli d'extracció preferencial.

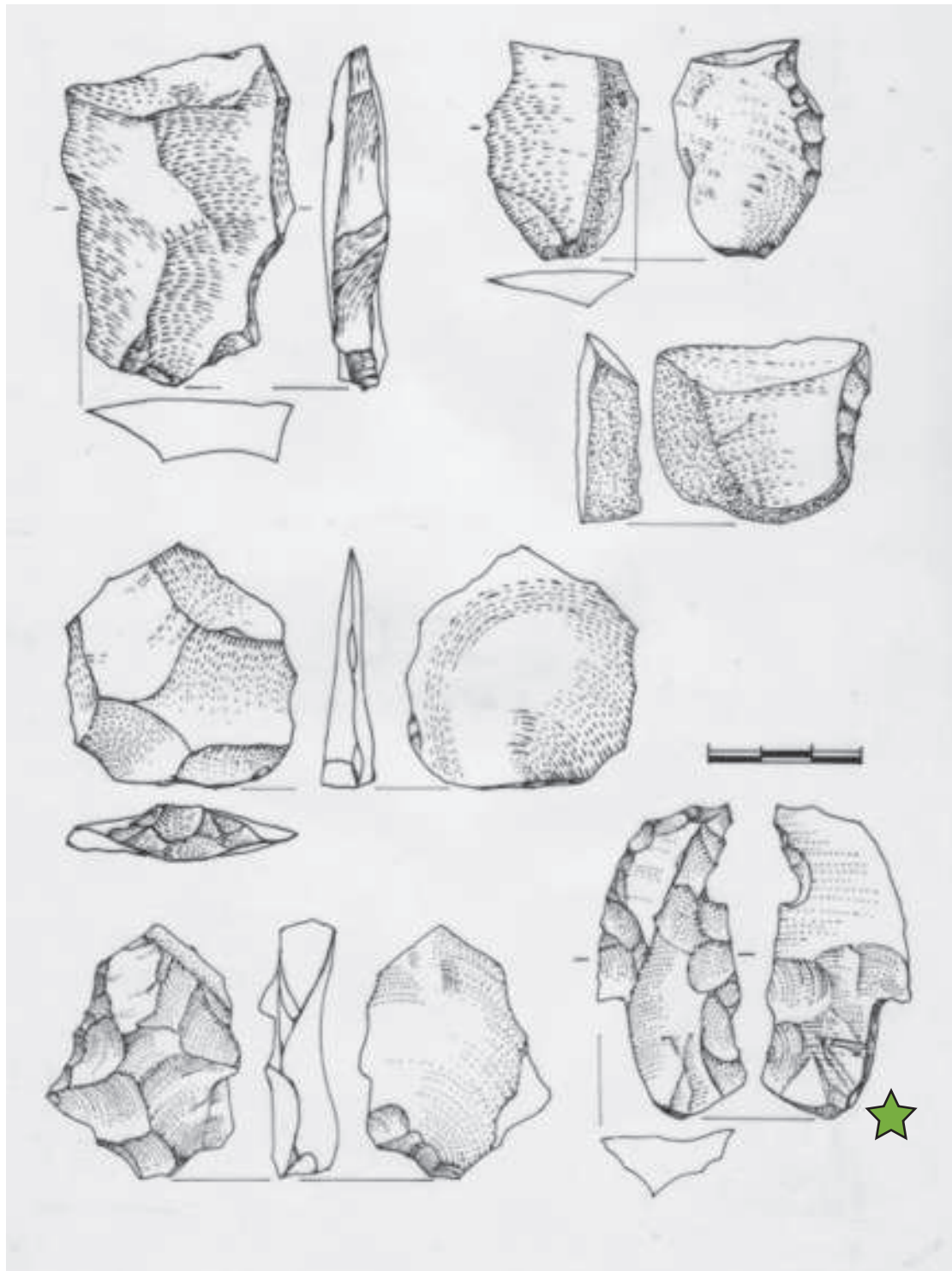
En aquestes ascles de gruix considerable també es detecten casos de curtes sèries d'extraccions de la seva cara ventral.

Potser sigui en relació a aquest procés producció de suports que calgui entendre la presència d'un nombre reduït d'ascles al jaciment que difereixen en dimensions del mòdul més habitual dels suports que es recuperen a l'Arbreda, que com ja s'ha dit es caracteritza per una longitud d'entre el 3 i els 5 centímetres.

Pel que fa a la tipologia dels objectes retocats recuperats, no s'observa cap norma sinó només el predominen les rascadores marginals laterals, seguides per les rascadores denticulades i els denticulats marginals. No s'ha observat cap particularitat destacable en funció del nivell d'origen d'aquests útils o les matèries primeres sobre les quals estan elaborats.



Làmina 1: indústria lítica del nivell M.



Làmina 2: indústria lítica del nivell M. L'ascla indicada amb una estrella també ha sofert extraccions a la cara ventral oportunísticament.



Làmina 3: indústria lítica del nivell M. S'hi observa un nucli sobre ascla (*) i diversos denticulats.

ALTRES MATERIALS

A banda de les restes de grans mamífers i les d'indústria lítica que hem analitzat als capítols anteriors, l'excavació de 2010 no ha proporcionat altre tipus de restes. Entre aquestes absències la més destacada és la dels carbons, la qual potser s'ha de posar en relació amb els hipotètics processos de rentat de sediments que s'han esmentat. La seva absència contrasta amb la presència de restes faunístiques i lítiques cremades.

CONCLUSIONS

La campanya de 2010 ha resultat una intervenció molt fructífera pel fet d'haver pogut arribar a excavar amb claredat la part més profunda del Sector Beta, al límit del Sector Alfa, als quadres D2 i E2. Durant la campanya de 2009 també s'excavaren cotes igualment profundes però en una àrea massa reduïda.

El material arqueològic recuperat en aquesta excavació ens ajuda a confirmar el que ja havíem anunciat en campanyes anteriors. És a dir, la gran potència estratigràfica i arqueològica dels estrats o nivells que conformen el període mosterià a la cova de l'Arbreda i el problema de la seva relativa homogeneïtat.

Tot i això en aquesta campanya d'excavació ha estat possible identificar i excavar diversos nivells arqueològics (I, J, L, M i N). Els materials recuperats en ells són tots coherents entre si, i per tant ens situen dins el període mosterià. Les datacions de què es disposa en l'actualitat indiquen que es tractaria d'un reompliment del pleistocè superior.

Si bé en el camp de la indústria lítica no s'observen grans diferències cronològiques, l'anàlisi de la fauna ha posat al descobert que els objectes faunístics dels nivells més profunds són majoritàriament d'aportació humana, mentre que al nivell I i J, on la presència humana hi està abundantment documentada, un gran percentatge de restes d'úrsids indica clar que les ocupacions humanes s'alternaren amb les ocupacions animals, que també contribuïren a la formació dels nivells.

Les intervencions futures que es programin al jaciment han d'anar orientades a completar l'excavació del nivell J però també a l'obertura d'altres àrees no tan riques. La tasca més urgent que tenim al davant és l'estudi del gran nombre de material que les últimes campanyes a l'Arbreda han proporcionat.

12. BIBLIOGRAFIA

Ajaja, O. (1994); Datation de quelques sites mousteriens de Catalogne et du Languedoc par la methode U-Th. Comparaisons avec la methode ESR, Thèse, Institut de Paléontologie Humaine, Paris.

Alcalde, G. (1987); Els rosegadors del Paleolític Superior de la cova de l'Arbreda (Serinyà, Catalunya). Significació paleoecològica i paleoclimàtica, Cypsela, VI, Girona, pp. 89-96.

Barone, R., (1990), *Anatomía comparada de los mamíferos domésticos*, ed. Hemisferio Sur.

Bischoff, J.L., Soler, N., Maroto, J. & Julià, R. (1989); Abrupt Mousterian/Aurignacian Boundary at c. 40 ka bp: Accelerator ¹⁴C dates from L'Arbreda Cave (Catalunya, Spain), *Journal of Archaeological Science*, 16, London, pp. 563-576.

Brusi, D. (1993); Les formacions travertíniques de la depressió de Banyoles, Tesi Doctoral, Universitat Autònoma de Barcelona.

Brusi, D., Linares, R., Maroto, J., Pallí, J., Pujadas, R., Ramió, S., Roqué, C., Soler, N., Las cuevas prehistóricas de Serinyà (Pla de l'Estany, Girona), *Boletín Geológico y Minero*, 116, 3, 2005, pp. 247-256

Brusi, D., Soler, N., Maroto, J. & Tarrús, J. (1999); Cuenca lacustre de Banyoles, *Avances en el estudio del Cuaternario Español (secuencias, indicadores paleoambientales y evolución de procesos)*. Lluís Pallí Buxó , Carles Roqué Pau eds., Asociación española para el estudio del Cuaternario, Universitat de Girona, pp. 356-376.

Burjachs, F. (1993); Paleopalínologia del paleolític superior de la Cova de l'Arbreda (Serinyà, Catalunya), *Estudios sobre el Cuaternario. Medios sedimentarios. Cambios ambientales. Hábitat humano*, Fumanal, M.P. & Bernabeu, J. (eds.), Valencia, pp. 149-157.

Burjachs, F. & Renault-Miskovsky, J. (1992); Paléoenvironnement et paléoclimatologie de la Catalogne durant près de 30,000 ans (du Würmien ancien au début de l'Holocène) d'après la Palynologie du site de l'Arbreda (Gérone, Catalogne), *Quaternaire*, 3, 2, pp. 75-85.

Casellas, S. & Maroto, J. (1986); La fauna de l'Aurignacien évolué de la grotte de l'Arbreda (Girona, Espagne), *Résumés de communications*, V Conférence International ICAZ, Bordeaux, 1p.

Cortada, T. & Maroto, J. (1990); La dent humana paleolítica de la cova de Mollet I (Serinyà), *Quaderns del Centre d'Estudis Comarcals de Banyoles*, 1988-89, Banyoles, pp. 135-147.

Delibrias, G., Romain, O. & Le Hasif, G. (1987); Datation par la méthode du carbone 14 du remplissage de la grotte de l'Arbreda, Cypsela, VI, Girona, pp. 133-135.

Estévez, J. (1979); La fauna del Pleistoceno de Catalunya, Tesis doctoral, Universitat de Barcelona.

Estévez, J. (1980); El aprovechamiento de los recursos faunísticos: Aproximación a la economía en el Paleolítico catalán, Cypsela, III, Girona, pp. 9-30.

Estévez, J. (1987); La fauna de l'Arbreda (sector alfa) en el conjunt de faunes del Plistocè Superior, Cypsela, VI, Girona, pp. 73-87.

Fosse, Ph. (1994); Taphonomie paleolithique: les grands mammiferes de Soleilhac (Haute-Loire) et de Lunel-Viel 1 (Hérault), Thèse de Doctorat, Université de Provence.

Fullola, J.M. & Soler, N. eds. (1997); El món mediterrani després del Pleniglacial (18.000-12.000 BP). Sèrie Monogràfica, 17, Centre d'Investigacions Arqueològiques, Museu d'Arqueologia de Catalunya, Girona, 450 pp.

Galobart, A., Maroto, J. & Ros, X. (1996); Las faunas cuaternarias de mamíferos de la cuenca de Banyoles – Besalú (Girona), Revista Española de Paleontología, nº extraordinario, junio 1996, pp. 248-255.

Galobart, A., Maroto, J. & Ros, X. (1996); Las faunas cuaternarias de mamíferos de la Cuenca de Banyoles-Besalú (Girona), Revista Española de Paleontología, nº extraordinario, pp. 251-254.

Garcia, Ll. (1995); Preliminary study of Upper Pleistocene bird bone remains from l'Arbreda Cave (Catalonia), Courier Forschungsinstitut Senckenberg, 181, Frankfurt am Main, pp. 215-227.

Koby, F. (1952), *La dentition lactéale d'Ursus spelaeus*, Revue Suisse de Zoologie, Tome 59, núm. 27.

Lavocat, R., (1966), *Faunes et flores préhistoriques de l'Europe occidentale*, Collection L'Homme et ses Origines, ed. N. Boubée et Cia.

Juan-Muns, N. (1987); La ictiofauna de la cova de l'Arbreda (Serinyà, Girona), Cypsela, VI, Girona, pp. 97-100.

Julià, R. (1980) La conca lacustre de Banyoles-Besalú, Monografies del Centre d'Estudis Comarcals de Banyoles, Centre d'Estudis Comarcals de Banyoles, Banyoles, 188 pp.

Julià, R. & Bischoff, J.L. (1991); Radiometric dating of quaternary deposits and the hominid mandible of Lake Banyolas, Spain, Journal of Archaeological Science, 18, London, pp. 707-722.

Julià, R., Maroto, J. & Soler, N. (1987); La mandíbula de Banyoles. Antecedents i context de la seva troballa, Cypsela, VI, Girona, pp. 43-52.

Just, J. (1980); Les grottes de Serinyà (Province de Gérone, Espagne). Étude de l'industrie moustérienne de la grotte de l'Arbreda, 6, 320, Museum National d'Histoire Naturelle, Laboratoire de Paleontologie Humaine et de Préhistoire, mémoire, Paris, 316 pp.

Kabiri, L. (1993); Formations littorales et continentales du Pléistocène supérieur en Languedoc-Rousillon et Catalogne. Etude géologique des remplissages des Ramandils (Port-la-Nouvelle) et de l'Arbreda (Serinyà), Thèse, Institut de Paléontologie Humaine, Paris.

Maroto, J. (1986); La Cova dels Ermitons (Sales de Llierca, Girona). Estudi d'un hàbitat prehistòric a l'interior del massís de l'Alta Garrotxa, Tesi de llicenciatura, Universitat Autònoma de Barcelona.

Maroto, J. (ed.) (1993); La mandíbula de Banyoles en el context dels fòssils humans del pleistocè, Sèrie monogràfica, 13, Centre d'Investigacions Arqueològiques, Girona, 198 pp.

Maroto, J. (1993); La cueva de los Ermitons (Sales de Llierca, Girona): un yacimiento del Paleolítico Medio final, *Espacio, Tiempo y Forma, Serie I (Prehistoria y Arqueología)*, 6, U.N.E.D., Madrid, pp. 13-30.

Maroto J. (1994); El pas del paleolític mitjà al paleolític superior a Catalunya i la seva interpretació dins del context geogràfic franco-ibèric, Tesis doctoral, Universitat de Girona.

Maroto, J., Ortega, D., Sintès, X. i Soler, N. (1996) El proyecto del parque arqueológico de las cuevas de Serinyà, XVIII Reunión de Paleolíticos de l'Estat, Torroella de Montgrí, pp 88-94.

Maroto, J. & Soler, N. (1990); La rupture entre le Paléolithique moyen et le Paléolithique supérieur en Catalogne, Paléolithique moyen récent et Paléolithique supérieur ancien en Europe. Ruptures et transitions: examen critique des documents archéologiques, Farizy, C. (ed.), *Mémoires du Musée de Préhistoire d'Île de France*, 3, Actes du Colloque international de Nemours, 9-10-11 Mai 1988, A.P.R.A.I.F., Nemours, pp. 263-265.

Maroto, J., Soler, N. & Fullola, J.M. (1996); Cultural Change between Middle and Upper Palaeolithic in Catalonia, *The Last Neandertals. The First Anatomically Moderns Humans*, (Carbonell, E. & Vaquero, M., eds.), Universitat de Tarragona, pp. 219-250.

Maroto, J., Soler, N. & Mir, A. (1987); La cueva de Mollet I (Serinyà, Gerona), *Cypsela*, VI, Girona, pp. 101-110.

Maroto, J., Vaquero, M., Arrizabagalaga, A., Baena, J., Carrión, E., Jordà, M., Martínón, M., Menéndez, M., Montes, R., Rossell, J., *Problemática cronológica del final del Paleolítico Medio en el Norte Peninsular. Neandertales cantábricos. Estado de la cuestión*, *Monografías*, 20, Museo de Altamira, 2005, pp. 101-114

Mir, A. (1973); Estudio paleontológico y paleoecológico de la cueva d'en Mollet I como iniciación al conocimiento arqueológico global del yacimiento. Serinyà. Girona, Tesis de Licenciatura, Universidad de Barcelona.

Mir, A. (1979); La fauna de la Cova d'en Mollet I, Serinyà (Girona) procedente de las campañas de excavación 1947-1972, *Actas de la IV Reunión del Grupo de Trabajo del Cuaternario*, (Julià, R. et alii, eds.), Banyoles, pp. 166-170.

Mir, A. & Soler, N. (1979); Visita al complejo de Serinyà, *Guía Excursión B2*, *Actas de la IV Reunión del Grupo de Trabajo del Cuaternario*, (Julià, R. et alii, eds.), Banyoles, pp. 288-297.

Ortega Cobos, D., Soler Masferrer, J., Maroto Genover, J., La production des lamelles pendant l'aurignacien archaïque dans la grotte de l'Arbreda: organisation de la production, variabilité des méthodes et des objectifs, *Productions lamellaires attribuées à l'Aurignacien: Chaînes opératoires et perspectives technoculturelles*, XIVe congrès de l'UISPP, Liège 2-8 Septembre 2001, *ArchéoLogiques*, 1 Luxembourg, 2005, pp. 359-373.

Pales, L., García, M., (1981), *Atlas ostéologique. Mammifères du quaternaire*, Editions du Centre National de la Recherche Scientifique.

Prat, F., (1970-75), *Quelques mammifères pléistocènes. Odontologie, ostéologie*, Université Bordeaux I, Institut du Quaternaire.

Rodríguez, X. P., Maroto, J., Vaquero, M., Ortega, D., Sala, R., Garcia, J., Lozano, M., El paleolític inferior i mitjà a Catalunya, *Fonaments*, 10/11, 2004, pp. 23-66

Ros, M.T. (1987); Anàlisi antracològica de la cova de l'Arbreda, Cypsela, VI, Girona, pp. 67-71.

Rueda, J.M. (1993); L'acció antròpica sobre les matèries dures animals durant el plistocè del nord-est de Catalunya, Tesi Doctoral, Universitat de Girona.

Sacchi, D., Soler, N., Maroto, J. & Domènech, E. (1996); La question de l'Aurignacien tardif dans le domaine méditerranéen nord-occidental, The Upper Palaeolithic, (A. Palma di Cesnola, A. Montet-White & K. Valoch, eds.), Forlì, pp. 23-40.

Schmid, E. (1972), *Atlas of animal bones*, Elsevier Publishing Company.

Soler, J., Soler, N. (2004); Campanyes d'excavacions de 2002 i 2003 a la cova de l'Arbreda (Serinyà, Pla de l'Estany), Setenes Jornades d'Arqueologia de les Comarques de Girona, Museu d'Arqueologia de Catalunya-Girona, Universitat de Girona, La Bisbal d'Empordà, pp. 35-41.

Soler, J., Soler, N., Solés, A. (2006); Excavacions a la cova de l'Arbreda (Serinyà Pla de l'Estany) campanyes 2004-2005, Vuitenes Jornades d'Arqueologia de les Comarques de Girona, Museu d'Arqueologia de Catalunya – Girona, Universitat de Girona, Roses, pp.43-50.

Soler, J., Soler, N., Solés, A., Romero, L. (2008); Intervenció de 2006 i 2007 a la cova de l'Arbreda de Serinyà, Novenes Jornades d'Arqueologia de les Comarques de Girona, Museu d'Arqueologia de Catalunya – Girona, Universitat de Girona, Escala-Empúries, pp.51-56.

Soler, J., Soler, N., Medina, B., Romero, L., Solés, A., Niell, X. (2010); Les excavacions a la cova de l'Arbreda durant les campanyes de 2008 i 2009, Desenes Jornades d'Arqueologia de les Comarques de Girona, Museu d'Arqueologia de Catalunya – Girona, Universitat de Girona, Arbúcies, pp. 17-25.

Soler, J., Soler, N., Solés, A., Niell, X., Coromina, N., Medina, B. (2012); Les excavacions a la cova de l'Arbreda (Serinyà) durant les campanyes de 2010 i 2011, Onzenes Jornades d'Arqueologia de les Comarques de Girona, Museu d'Arqueologia de Catalunya – Girona, Universitat de Girona, Girona, pp. 47-58.

Soler, N. (1986); El Paleolític Superior al nord de Catalunya, Tesi Doctoral, Universitat de Barcelona.

Soler, N. (1998) Le Paléolithique des grottes de Serinyà (Gérone, Catalogne, Espagne), Les faciès leptolithiques du nord-ouest méditerranéen: milieux naturels et culturels, XXIVe Congrès Préhistorique de France, pp. 195-228.

Soler, N. (1991); La transición del Paleolítico Medio al Paleolítico Superior en Cataluña, El origen del hombre moderno en el suroeste de Europa. Preactas, Universidad Nacional de Educación a Distancia, Madrid, pp. 28-30.

Soler, N. (1999); Le Paléolithique des grottes de Serinyà (Gérone, Catalogne, Espagne). Les faciès leptolithiques du nord-ouest méditerranéen: milieux naturels et culturels. XXIVe Congrès Préhistorique de France, Carcassonne, 26-30 septembre 1994, Actes du Colloque international, Dominique Sacchi ed., Société Préhistorique Française, Ministère de la Culture, Carcassonne, pp. 195-228.

Soler, N. & Maroto, J. (1987 a); L'estratigrafia de la cova de l'Arbreda (Serinyà, Girona), Cypsela, VI, Girona, pp. 53-66.

Soler, N. & Maroto, J. (1987 b); Els nivells d'ocupació del Paleolític Superior a la cova de l'Arbreda (Serinyà, Girona), Cypsela, VI, Girona, pp. 221-228.

Soler, N. & Maroto, J. (eds.) (1987); Quadre cronològic del Plistocè Superior a Catalunya. Paleoambients i cultures prehistòriques, Cypsela, VI, Centre d'Investigacions Arqueològiques, Girona, 243 pp.

Soler, N. & Maroto, J. (1990); El final del Paleolític Mitjà i l'inici del Paleolític Superior a la cova de l'Arbreda (Serinyà), Cypsela, VIII, Girona, pp. 7-13.

Soler, N. & Maroto, J. (1993); Les nouvelles datations de l'Aurignacien dans la Péninsule Ibérique, Actes du XIIe Congrès International des Sciences Préhistoriques et Protohistoriques, 2, Institut Archéologique de l'Académie Slovaque des Sciences, Bratislava, pp. 162-173.

Soler, N.; Maroto, J.; Ortega D.; Sintès, X.; i Escolà, J. (1998); Intervencions arqueològiques a les coves del Relcau (Serinyà, Pla de l'Estany), Quartes Jornades d'arqueologia de les Comarques Gironines, Figueres, pp. 14-24.

Soler, N.; Maroto, J.; Ortega, D.; Pujades, R., Soler, J. (2000); Les excavacions arqueològiques del 1999 a la cova de l'Arbreda (Serinyà, Pla de l'Estany), Cinquenes Jornades d'Arqueologia de les comarques de Girona, Olot, pp. 18-21.

Soler, N., Soler, J., Maroto, J., Ortetga, D., Solés, A. (2002); Les intervencions arqueològiques al paratge del Reclau (Serinyà, el Pla de l'Estany) corresponents als anys 2000 i 2001, Sisenes Jornades d'Arqueologia de les comarques de Girona, St Joan de les Abadesses, pp. 29-33.

Solés, A., Maroto, J. (2002); Els grans mamífers del plistocè mitjà, Els vertebrats fòssils del Pla de l'Estany, Quaderns Centre d'Estudis Comarcals de Banyoles, Banyoles, pp.125-140.

Tarrús, J. (1986) El paratge del Reclau Viver (Serinyà) del Neolític Antic al Bronze Final, Quaderns del Centre d'Estudis Comarcals de Banyoles, 1985, I, Banyoles, pp. 232-239.

Tissoux, H. (1999) Géochronologie de sites paléolithiques de Catalogne. Résultats préliminaires obtenus par les méthodes U-Th et ESR sur les sites de l'Arbreda, de Cau del Duc d'Ullà et de Cau del Duc de Torroella de Montgri, 26 d'octubre de 1999.

Torres, T. de (1988); Osos (Mammalia, Carnivora, Ursidae) del Pleistoceno de la Península Ibérica, Publicaciones especiales del Boletín Geológico y Minero, Instituto Geológico y Minero de España, Madrid.

Vilette, P. (1983); Avifaunes du Pléistocène final et de l'Holocène dans le Sud de la France et un Catalogne., Atacina, 11, Carcassonne, 190 pp.

Yokoyama, Y., Nguyen, H.-V., Quaegebeur, J.-P., Le Hasif, G. & Romain, O. (1987 a); Datation par la spectrométrie gamma non destructive et la résonance de spin électronique (ESR) du remplissage de la grotte de l'Arbreda, Cypsela, VI, Girona, pp. 137-143.

Yokoyama, Y., Shen, G., Nguyen, H.-V. & Falgueres, C. (1987 b); Datation du travertin de Banyoles à Gérone, Espagne, Quadre cronològic del Plistocè Superior a Catalunya. Paleoambients i cultures prehistòriques, Cypsela, VI, Girona, pp. 155-159.

13. INVENTARI DELS OBJECTES COORDENATS EN LA CAMPANYA D'EXCAVACIÓ DE L'ANY 2010

Camps que consten en l'inventari:

Número: Número de coordenat, correlatiu a cada quadre

Quadre: Quadre de procedència del coordenat

Talla: Talla de procedència del coordenat

Campanya: Any de la troballa del coordenat

Natura1: Producte lític o part anatòmica animal
Natura2: Matèria primera lítica o espècie animal
Natura: Tipus de coordenat (lítica, fauna, altres...)
z: Profunditat del coordenat dins el jaciment.
xew: Coordenada de l'eix de les X, general a tota l'excavació
yws: Coordenada de l'eix de les Y, general a tota l'excavació
Orientació: Orientació del l'objecte
Pendent: Pendent de l'objecte
L: Longitud de l'objecte
A: Amplada de l'objecte
G: Gruix de l'objecte
Nivell: Estrat o nivell arqueològic assignat al coordenat

Els objectes coordenats han estat marcats amb la seqüència següent:
ARB QUADRE TALLA COORDENAT

Per exemple
ARB E2 BE 168 10885

Significa
Objecte 10885 del quadre E2 de l'Arbreda. Pertany a la talla BE168

numero	quadre	TallaMar...	natura1	natura2	xew	yns	z	orientacio	pendent	longitud	amplada	gruix
1982	B4	DB127	os no determinat	os no determinat	193,3	161,3	-635,6	N-S	S	33	15	10
1983	B4	DB127	os no determinat	crani	193,2	166,7	-636,6	-	pla	20	20	3
1984	B4	DB128	fragment	quars	187,3	124	-639,9	-	SW	15	15	5
1985	B4	DB128	os no determinat	crani	184,4	130,5	-640,9	-	-	25	10	1
1986	B4	DB127	fragment	quars	188,5	145	-641,3	N-S	E	25	15	10
1987	B4	DB127	os no determinat	os no determinat	182,2	145,3	-640,9	-	-	15	5	4
1988	B4	DB127	os no determinat	escàpula	136	171,4	-628,3	NE-SW	S	70	50	4
1990	B4	DB127	fragment	quars	127,8	145,7	-632,4	-	-	20	15	4
1991	B4	DB127	úrsid	dent	129	134	-631	N-S	pla	0	0	
1993	B4	DB127	os no determinat	os no determinat	128,4	133,5	-638,9	E-W	-	18	3	4
1994	B4	DB127	os no determinat	os no determinat	142,5	118,2	-636,6	NW-SE	NE	113	35	20
1995	B4	DB128	os no determinat	os no determinat	180	103,4	-637	-	-	40	15	10
1997	B4	DB127	indeterminable	os indeterminable	136,5	126,4	-639,4	NW-SE	NE	60	15	9
1998	B4	DB128	fragment	quars	191,1	105,9	-642,3	E-W	N	15	8	4
1999	B4	DB128	úrsid	dent	196,8	142,6	-642,3	NW-SE	pla	15	12	6
2000	B4	DB128	lítica	quars	183,8	148,3	-643	NW-SE	pla	16	10	5
2001	B4	DB128	fragment	quars	180,1	159,8	-643,9	NW-SE	pla	14	10	4
2004	B4	DB129	ascla	quars	172,5	159,2	-643,3	-	pla	18	17	3
2005	B4	DB129	os no determinat	dent	157,3	145,1	-643,6	E-W	SE	11	4	1
2006	B4	DB129	fragment	corniana	160,3	147,9	-643,9	E-W	pla	25	12	4
2007	B4	DB129	os no determinat	dent	176,3	144,2	-646,2	N-S	pla	40	25	20
2008	B4	DB129	fragment	quars	179,9	128	-644,5	E-W	pla	40	30	10
2009	B4	DB129	os no determinat	crani	184,8	126,6	-645,3	N-S	pla	22	19	4
2010	B4	DB128	fragment	quars	192,9	131,1	-643,9	-	-	20	15	7
2011	B4	DB128	indeterminable	os indeterminable	196,4	126,2	-642,8	E-W	pla	40	20	19
2012	B4	DB128	os no determinat	os no determinat	199,5	125,4	-642,8	E-W	VSC	13	12	5
2013	B4	DB128	os no determinat	dent	184,1	153,9	-646,2	-	-	9	3	2
2014	B4	DB130	úrsid	dent	196,9	131,7	-646,2	E-W	pla	35	7	5
2015	B4	DB130	ascla	sílex o jaspi	189,5	149	-646,9	E-W	N	18	10	3
2016	B4	DB129	ascla	quars	178,5	123	-645,7	E-W	pla	20	15	5
2017	B4	DB130	fragment	quars	181,2	135,4	-646	-	-	10	7	4
2018	B4	DB130	indeterminable	os indeterminable	183,2	137,6	-647,1	NW-SE	SW	35	23	11
2019	B4	DB130	ascla	quarsita	192,2	157	-647,6	E-W	N	30	35	8
2020	B4	DB130	ascla	quarsita	194,8	167,8	-648,3	NW-SE	NE	25	30	6
2021	B4	DB130	ascla	quars	179,6	163,5	-648,4	E-W	pla	19	12	7
2022	B4	DB130	os no determinat	os no determinat	187,7	177,2	-646,7	E-W	S	22	10	5

numero	quadre	TallaMar...	natura1	natura2	xew	yws	z	orientacio	pendent	longitud	amplada	gruix
2023	B4	DB130	os no determinat	os no determinat	173,3	166,2	-646,4	NE-SW	pla	23	7	5
2024	B4	DB130	fragment	quars	152,5	125,7	-646,8	N-S	pla	28	16	14
2025	B4	DB130	fragment	quars	152,4	126,1	-646,4	E-W	S	17	12	5
2026	B4	DB130	úrsid	dent	152,7	125,2	-647,1	-	V	6	4	3
2027	B4	DB124	fragment	quars	121,3	118,6	-620,6	-	-	32	18	15
2028	B4	DB129	fragment	quars	132,8	119,3	-644	-	-	28	22	15
2029	B4	DB130	fragment	quars	186,1	115,7	-645,8	-	-	21	11	7
2030	B4	DB130	úrsid	dent	183,1	120	-646	-	-	12	6	4
2031	B4	DB130	fragment	quars	178,1	134,7	-648,1	-	-	15	14	4
2032	B4	DB130	fragment	quars	172,8	154,3	-649,7	-	-	16	11	7
2033	B4	DB130	ascla	quars	156,7	146,3	-649,4	-	-	30	35	8
2034	B4	DB130	úrsid	dent	180,5	104,8	-647,8	N-S	N	8	5	3
2035	B4	DB130	ascla	quars	195	107,8	-648,7	NW-SE	SE	22	20	5
2036	B4	DB130	os no determinat	os no determinat	199,2	120,7	-648	E-W	E	50	23	15
2037	B4	DB130	úrsid	dent	194,3	132	-648,6	E-W	E	17	10	10
2038	B4	DB130	ascla	quars	193,2	155,3	-649,1	E-W	pla	40	30	4
2039	B4	DB130	úrsid	dent	196,5	158,8	-649,2	E-W	E	15	6	3
2040	B4	DB130	fragment	quars	188,6	158,6	-650,2	N-S	S	16	7	4
2041	B4	DB131	rascadora	quarsita	179,6	147,8	-651,1	E-W	pla	70	50	20
2042	B4	DB131	úrsid	dent	186,1	142,7	-653,5	-	-	15	6	5
2043	B4	DB131	úrsid	dent	188,1	150	-651,5	E-W	pla	13	5	4
2044	B4	DB131	os no determinat	os no determinat	179,1	145,7	-654,5	N-S	pla	104	20	13
2045	B4	DB131	ascla	os indeterminable	198,8	148,9	-650,7	NW-SE	pla	35	9	5
2046	B4	DB131	os no determinat	os no determinat	191,3	158,7	-654,3	NE-SW	pla	52	22	7
2047	B4	DB132	ascla	quars	191,2	123,9	-655,2	NE-SW	NE	35	18	6
2048	B4	DB131	úrsid	dent	199,1	152,1	-654,3	NW-SE	NE	18	8	6
2049	B4	DB130	os no determinat	f�mur	196,2	167,9	-646,4	-	-	70	27	15
2050	B4	DB130	os no determinat	costella	193	171,4	-646,6	-	-	80	15	5
2051	B4	DB130	os no determinat	costella	189,9	172,7	-647,3	-	-	56	15	4
2052	B4	DB130	os no determinat	esc�pula	191,8	169,3	-647,6	-	-	60	8	5
2053	B4	DB130	os no determinat	costella	194,6	169,8	-647,3	-	-	42	9	4
2054	B4	DB130	os no determinat	costella	189,2	170,6	-646,9	-	-	40	7	5
2055	B4	DB130	os no determinat	costella	190,8	172,4	-646,5	-	-	37	7	2
2056	B4	DB130	os no determinat	os no determinat	192,8	175,9	-645,6	-	-	80	12	3
2057	B4	DB130	os no determinat	crani	197,4	172,9	-645,2	-	-	45	25	10
2058	B4	DB130	os no determinat	os no determinat	196,3	174,2	-645,5	-	-	35	8	3

numero	quadre	TallaMar...	natura1	natura2	xew	yns	z	orientacio	pendent	longitud	amplada	gruix
2059	B4	DB132	ascla	quars	192,4	148,8	-663,4	NE-SW	NE	19	14	6
2060	B4	DB132	ascla	quarsita	184,8	145	-664,3	NE-SW	S	35	23	6
1435	B5	EB128	os no determinat	os no determinat	141,3	90,6	-637,3	NW-SE	pla	45	19	16
1436	B5	EB128	os no determinat	crani	188,9	95,2	-638,7	NW-SE	NW	24	20	11
1437	B5	EB128	úrsid	dent	188,5	82,1	-638,7	NE-SW	pla	11	4	3
1438	B5	EB128	fragment	quars	183,8	77,9	-638,1	N-S	pla	11	6	11
1439	B5	EB128	indeterminable	os indeterminable	195,5	53,2	-637,3	NW-SE	pla	48	10	5
1440	B5	EB127	altres	altres	150,7	40,5	-632,5	-	-	0	0	
1441	B5	EB129	os no determinat	os no determinat	191	90,3	-640,5	-	pla	21	16	8
1442	B5	EB129	ascla	quars	185,8	70,9	-640,1	NW-SE	SE	27	19	10
1443	B5	EB129	os no determinat	os no determinat	194,8	66,8	-640,2	NE-SW	SE	28	22	12
1444	B5	EB128	úrsid	dent	187	53,4	-639	NE-SW	NE	11	3	3
1445	B5	EB128	os no determinat	crani	198,8	96,4	-639,5	NE-SW	NE	63	46	8
1446	B5	EB129	fragment	quars	186,3	58,6	-641	-	-	20	12	7
1447	B5	EB130	os no determinat	crani	190,4	90,9	-648	N-S	pla	54	40	10
2511	C3	CC131	os no determinat	costella	285,7	213,4	-653	N-S	S	43	10	3
2512	C3	CC131	ascla o fragment	quarsita	285,5	208,2	-653	N-S	-	11	10	4
2513	C3	CC132	úrsid	dent	280,6	207	-659,6	-	-	11	8	4
2514	C3	CC134	ascla o fragment	quars	280,6	207	-659,6	-	-	20	17	8
2515	C3	CC134	úrsid	falange	284	197,3	-670,6	N-S	pla	27	11	8
2516	C3	CC137	indeterminable	os indeterminable	289,1	205,3	-681	E-W	E	53	13	7
1983	C4	DC134	úrsid	dent	297,9	173,6	-666,8	E-W	V	42	15	17
1984	C4	DC133	indeterminable	os indeterminable	258	151,3	-663,2	NW-SE	pla	32	10	7
1986	C4	DC133	fragment	quars	246,1	133,6	-661,5	NW-SE	-	15	14	7
1987	C4	DC133	indeterminable	os indeterminable	231	133	-661,7	NE-SW	SE	43	22	5
1988	C4	DC133	fragment	quars	220,8	132,6	-661,6	E-W	VSC	25	17	10
1989	C4	DC133	úrsid	dent	216,8	173,5	-663,4	NE-SW	NE	16	7	4
1990	C4	DC133	fragment	quars	261,4	194,5	-665,1	NE-SW	SE	18	14	7
1991	C4	DC133	os no determinat	os no determinat	261,2	183,1	-665,9	N-S	V	33	12	3
1992	C4	DC133	fragment	quars	233,2	179	-663,3	-	-	11	5	2
1993	C4	DC133	os no determinat	os no determinat	232,2	145,3	-663,4	N-S	pla	23	8	7
1994	C4	DC133	os no determinat	os no determinat	228,2	116,7	-663,5	E-W	V	20	10	4
1995	C4	DC133	fragment	quars	278,2	140,2	-663,5	NE-SW	E	16	11	5
1996	C4	DC133	ascla o fragment	quars	283	141,9	-663,8	NW-SE	pla	27	20	11
1997	C4	DC133	fragment	quars	265,6	116	-662,4	-	-	10	8	3
1998	C4	DC133	os no determinat	costella	281,2	115,7	-663,3	E-W	pla	57	10	4

numero	quadre	TallaMar...	natura1	natura2	xew	yns	z	orientacio	pendent	longitud	amplada	gruix
1999	C4	DC133	úrsid	dent	278,9	184,9	-665,7	-	-	13	5	3
2000	C4	DC134	fragment	quars	229,1	156,4	-666,3	NW-SE	pla	12	7	5
2001	C4	DC134	os no determinat	crani	254,3	172,7	-667,1	NW-SE	pla	34	20	3
2002	C4	DC134	ascla o fragment	quars	260,3	184	-667	E-W	V	31	25	7
2003	C4	DC134	indeterminable	os no determinat	301,4	164,4	-666,9	E-W	pla	30	12	4
2004	C4	DC134	úrsid	dent	281,4	146,8	-666,8	E-W	VSC	14	8	4
2005	C4	DC134	úrsid	dent	283,8	141,3	-663,8	-	-	12	8	4
2006	C4	DC134	indeterminable	os no determinat	261,4	152,1	-664,8	NE-SW	VSC	34	9	3
2007	C4	DC134	fragment	quars	279,1	124,7	-664,5	-	-	15	12	6
2008	C4	DC134	ascla o fragment	corniana	250,8	131,2	-665,2	E-W	VSC	36	27	4
2009	C4	DC134	ascla o fragment	quars	279,4	126,3	-666	NW-SE	E	70	45	15
2010	C4	DC134	ascla o fragment	quarsita	228,6	132,9	-668,8	NE-SW	VSC	35	25	5
2011	C4	DC134	indeterminable	os indeterminable	240,1	150	-669,6	E-W	W	54	38	13
2012	C4	DC134	úrsid	dent	293,4	113,2	-668,4	NE-SW	NE	40	8	5
2013	C4	DC134	indeterminable	os indeterminable	264	112,7	-670,3	N-S	N	35	22	14
2014	C4	DC135	os no determinat	os no determinat	227,9	121,4	-670,9	NW-SE	pla	35	11	7
2015	C4	DC135	ascla o fragment	quars	252,6	174,7	-673,4	-	-	13	15	6
2016	C4	DC135	fragment	quarsita	273,6	133,3	-669,9	-	-	11	6	6
2017	C4	DC135	úrsid	dent	287,8	170,3	-670,1	-	-	15	4	5
2019	C4	DC135	fragment	quars	229,1	115,6	-671,9	-	-	17	8	5
2020	C4	DC135	os no determinat	os no determinat	245	143,2	-672,6	NE-SW	NW	34	12	4
2021	C4	DC135	conill o llebre	dent	264,7	120	-671,5	NW-SE	SW	13	5	3
2022	C4	DC135	fragment	quars	274,8	115,1	-672	-	-	10	6	3
2023	C4	DC135	os no determinat	os no determinat	268,3	138,7	-671,8	NW-SE	pla	32	15	4
2024	C4	DC135	úrsid	dent	265,4	149,6	-674,2	E-W	pla	16	5	6
2025	C4	DC135	os no determinat	os no determinat	291	143,8	-671,9	E-W	W	50	25	11
2026	C4	DC135	fragment	quarsita	285,2	152,7	-674,8	-	-	18	10	9
2027	C4	DC135	os no determinat	os no determinat	294,7	171,3	-671,2	-	-	33	14	3
2028	C4	DC135	os no determinat	os no determinat	272,9	178	-675,6	NE-SW	NW	37	6	4
2030	C4	DC135	úrsid	dent	233,4	114,6	-672,1	-	-	10	1	1
2031	C4	DC135	indeterminable	os no determinat	235,4	117,4	-673,2	-	SE	74	34	5
2032	C4	DC135	úrsid	dent	244,3	116,2	-674,6	-	-	12	10	5
2033	C4	DC135	fragment	quars	243,8	108,1	-671,1	E-W	VSC	13	10	7
2034	C4	DC135	úrsid	dent	254,1	121	-673,7	-	-	15	8	5
2035	C4	DC135	os no determinat	os no determinat	258,9	109,1	-675,3	E-W	W	36	26	15
2036	C4	DC135	indeterminable	os no determinat	260,8	152,7	-674,8	NW-SE	SW	42	27	20

numero	quadre	TallaMar...	natura1	natura2	xew	yns	z	orientacio	pendent	longitud	amplada	gruix
2038	C4	DC136	fragment	quarsita	227,7	113,4	-675,6	NW-SE	SW	30	23	10
2039	C4	DC136	fragment	quars	249,3	147,8	-676,6	NW-SE		25	7	9
2040	C4	DC136	fragment	quars	265,4	135,2	-676,8	-	-	10	8	3
2041	C4	DC136	fragment	quarsita	259,5	164,8	-678,4	NW-SE	pla	12	15	3
2042	C4	DC136	indeterminable	os no determinat	271,7	178,1	-675,9	NE-SW	V	36	21	10
2043	C4	DC136	indeterminable	os no determinat	284	176,6	-676,3	-	-	33	13	2
2044	C4	DC136	fragment	quars	285	175,4	-676,2	-	-	11	10	5
2045	C4	DC136	fragment	quars	289	171,4	-676,5	-	-	35	45	24
2046	C4	DC136	úrsid	dent	293,4	181,9	-675,5	N-S	pla	30	34	17
2047	C4	DC136	indeterminable	os no determinat	290,5	197,4	-676	NE-SW	NW	13	10	10
2048	C4	DC136	úrsid	dent	298,1	138,7	-675,8	NE-SW	SE	20	9	6
2049	C4	DC136	indeterminable	os no determinat	298,9	133,7	-675,7	N-S	pla	41	10	4
2050	C4	DC136	ascla o fragment	quars	244,3	114,7	-677,2	NW-SE	SW	35	35	10
2051	C4	DC136	fragment	quars	226	119,7	-678,5	NE-SW	SE	17	9	3
2052	C4	DC136	indeterminable	os indeterminable	230,5	126,5	-678,7	NW-SE	SE	95	50	16
2053	C4	DC137	fragment	quars	231	140,5	-681,1	NW-SE	SE	12	17	7
2054	C4	DC136	fragment	quars	260,4	157,2	-678,5	-	-	18	16	6
2055	C4	DC137	indeterminable	os indeterminable	247,8	135,3	-682,3	N-S	pla	36	13	2
2056	C4	DC137	indeterminable	os indeterminable	278,4	141,3	-681,7	N-S	V	32	15	7
2057	C4	DC136	úrsid	dent	284,2	174,3	-679,7	-	-	10	5	5
2058	C4	DC136	úrsid	dent	287,7	136,1	-679,7	N-S	S	12	18	8
2059	C4	DC136	os no determinat	os no determinat	291,6	123,9	-677,3	NW-SE	pla	32	24	8
2060	C4	DC135	ascla o fragment	quars	295,4	104	-674	N-S	pla	27	26	7
2061	C4	DC136	ascla o fragment	quars	218,4	121,6	-680,9	-	-	20	20	5
2062	C4	DC137	úrsid	dent	285,2	188,5	-683,3	-	pla	19	9	6
2063	C4	DC137	ascla o fragment	quars	276,2	171,5	-683,6	E-W	E	16	15	4
2064	C4	DC137	indeterminable	os indeterminable	280,7	160,4	-681,7	NW-SE	pla	41	8	5
2065	C4	DC137	ascla o fragment	quarsita	291,8	143	-682	N-S	pla	29	18	8
2066	C4	DC137	úrsid	dent	279,4	137,9	-682	NW-SE	NW	41	20	13
2067	C4	DC137	ascla o fragment	quars	283,7	109,3	-680,9	E-W	W	15	11	5
2068	C4	DC137	ascla o fragment	quars	261,7	140,2	-683	E-W	N	15	10	2
2069	C4	DC137	fragment	quars	253,8	145	-684	E-W	W	15	6	8
2070	C4	DC137	ascla o fragment	quars	242,9	124,8	-683,2	N-S	W	31	24	6
2071	C4	DC137	úrsid	dent	283,6	178,7	-683,8	NW-SE	SE	18	7	6
2072	C4	DC137	fragment	quarsita	292,8	142,2	-683,9	-	V	20	12	8
2073	C4	DC137	fragment	quars	251,8	117,7	-685			12	10	7

numero	quadre	TallaMar...	natura1	natura2	xew	yns	z	orientacio	pendent	longitud	amplada	gruix
2074	C4	DC137	fragment	quars	283	159,2	-683,8	NE-SW	NW	15	8	5
2075	C4	DC137	úrsid	dent	288,5	132,3	-685,4	N-S	pla	19	7	6
2076	C4	DC138	fragment	quars	279,5	186,3	-686,5	NE-SW	NW	15	11	12
2077	C4	DC138	fragment	quars	264,4	164,7	-687,5	-	V	16	15	1
2078	C4	DC138	indeterminable	os indeterminable	250,5	151,9	-689	N-S	VSC	38	25	8
2079	C4	DC138	indeterminable	os indeterminable	241,7	120,7	-687	N-S	E	55	29	8
2080	C4	DC138	fragment	quars	236,8	111,6	-685,6	E-W	E	22	19	9
2081	C4	DC138	úrsid	dent	233,3	108,7	-684,3	E-W	pla	15	5	7
2082	C4	DC138	fragment	quars	294,9	137,7	-687	NE-SW	pla	18	17	9
2083	C4	DC138	os no determinat	os no determinat	286,9	181,1	-690,1	-	pla	20	15	12
2084	C4	DC138	ascla o fragment	quars	295,4	137,5	-689,7	NE-SW	NW	19	13	8
2085	C4	DC138	os no determinat	os no determinat	291,4	112,9	-690,3	NE-SW	pla	35	25	11
2086	C4	DC139	indeterminable	os indeterminable	268,5	144,1	-691,4	NE-SW	NW	54	22	7
2087	C4	DC138	fragment	quars	238,4	132,1	-687,3	NE-SW	pla	26	16	2
2088	C4	DC138	os no determinat	os no determinat	249,3	125,1	-689,3	N-S	pla	30	7	6
2089	C4	DC138	ascla o fragment	quars	237	131,6	-688,5	-	-	23	20	5
2091	C4	DC138	ascla o fragment	quarsita	233,5	134,9	-688,6	E-W	VSC	27	22	4
2092	C4	DC138	fragment	quars	282,4	128,5	-689,9	NW-SE	pla	15	10	4
2093	C4	DC138	úrsid	dent	296,5	151,9	-690	-	pla	11	9	4
2094	C4	DC139	indeterminable	os indeterminable	287,5	175,9	-691,8	NE-SW	pla	30	10	5
2095	C4	DC139	ascla o fragment	quarsita	278,8	169,2	-693,2	NE-SW	VSC	37	39	6
2096	C4	DC139	os no determinat	os no determinat	291,8	166	-691,2	E-W	N	30	10	12
2097	C4	DC139	os no determinat	os no determinat	286,1	142,3	-690,9	NW-SE	SE	23	10	8
2098	C4	DC139	indeterminable	os indeterminable	292,2	130,4	-691,1	NW-SE	SE	44	12	10
2099	C4	DC139	fragment	quars	287,8	114,4	-692,9	NW-SE	pla	10	9	5
2100	C4	DC139	ascla o fragment	quars	226,7	113,4	-688,5	NE-SW	pla	25	18	11
2103	C4	DC139	os no determinat	crani	270,1	190,9	-690,3	-	N	31	33	10
2104	C4	DC139	cérvol	dent	265,5	180,7	-691,8	NE-SW	SW	0	0	
2105	C4	DC139	fragment	no determinat	269,9	181,8	-694	E-W	N	35	16	3
2106	C4	DC139	ascla o fragment	quars	277,3	170,4	-693,7	NE-SW	NE	36	25	4
2107	C4	DC139	ascla o fragment	quars	296,8	189,3	-693,7	NE-SW	SE	26	25	5
2108	C4	DC139	fragment	quars	288,7	146	-692,9	N-S	SE	25	20	15
2109	C4	DC139	fragment	quars	224	110,6	-693,2	NW-SE	S	40	9	7
2110	C4	DC139	còdol tallat	calcària	298,4	120,6	-694,1	N-S	pla	85	73	54
2111	C4	DC139	os no determinat	os no determinat	271,9	183,8	-693,3	E-W	pla	47	9	5
2112	C4	DC139	indeterminable	os indeterminable	255,5	166,5	-692,1	NE-SW	NE	53	21	7

numero	quadre	TallaMar...	natura1	natura2	xew	yws	z	orientacio	pendent	longitud	amplada	gruix
2113	C4	DC139	os no determinat	os no determinat	256,3	132,9	-693,6	E-W	E	40	11	4
2114	C4	DC139	ascla o fragment	quars	253,1	136,7	-693,5	NE-SW	pla	37	31	12
2115	C4	DC139	fragment	quars	247,8	139,1	-692,1	-	-	13	8	3
2116	C4	DC138	fragment	quars	224,1	126,5	-688,5	-	-	22	16	11
2117	C4	DC139	úrsid	dent	284	167,3	-694,1	N-S	pla	6	8	6
2118	C4	DC139	indeterminable	os indeterminable	241,1	127,5	-695,1	NE-SW	NE	37	5	5
2119	C4	DC139	os no determinat	falange	257,2	118,8	-692,8	E-W	W	20	11	10
2120	C4	DC139	indeterminable	os indeterminable	244,2	122,6	-694,9	N-S	pla	36	19	10
2121	C4	DC139	ascla o fragment	quars	236,4	120,6	-694,5	NE-SW	VSC	25	35	10
2122	C4	DC139	indeterminable	os indeterminable	261,8	109,5	-694,5	NE-SW	V	31	15	9
2123	C4	DC139	indeterminable	os indeterminable	225	111,1	-694,8	NE-SW	NE	38	13	10
2124	C4	DC139	indeterminable	os indeterminable	285	135,2	-694,8	E-W	E	30	10	9
2125	C4	DC139	fragment	quars	266,9	141,8	-694,9	NE-SW	SE	15	6	4
2127	C4	DC140	nucli	quars	269,7	179,5	-700	NW-SE	pla	41	32	13
2128	C4	DC140	úrsid	dent	282,6	174,1	-698,5	NE-SW	pla	32	30	21
2129	C4	DC140	indeterminable	os indeterminable	283,4	167	-697,2	NW-SE	SE	35	17	11
2130	C4	DC140	os no determinat	os no determinat	289,9	174,5	-695,8	NW-SE	NW	58	29	3
2131	C4	DC140	fragment	quars	279,5	146,9	-699,5	NE-SW	SW	22	19	11
2132	C4	DC140	fragment	quars	280,6	138,7	-698,3	-	pla	12	10	3
2133	C4	DC140	úrsid	dent	281,2	119,7	-699,1	NW-SE	pla	16	6	5
2134	C4	DC140	indeterminable	os indeterminable	260,6	111,9	-697,5	-	-	36	25	5
2135	C4	DC140	fragment	quars	267,1	136,1	-699,2	N-S	pla	17	11	5
2136	C4	DC140	úrsid	dent	260	139,5	-697,6	NE-SW	NE	13	5	4
2137	C4	DC140	fragment	lidita	254,5	143,2	-697,3	NW-SE	NE	16	11	9
2138	C4	DC140	indeterminable	os indeterminable	251,5	117,7	-697,2	E-W	E	40	12	4
2139	C4	DC140	fragment	quars	237,9	127,9	-696	NE-SW	SE	12	12	5
2140	C4	DC140	fragment	quars	236,6	124,7	-695,7	E-W	E	26	15	10
2141	C4	DC139	fragment	quars	226,5	121	-693,3	NE-SW	NE	15	9	4
2142	C4	DC140	fragment de còdol	sorrenca	226,7	113,3	-697,1	-	V	28	27	23
2144	C4	DC140	ascla o fragment	quars	226,6	111,5	-698,9	NW-SE	pla	29	22	12
2145	C4	DC140	úrsid	dent	259,6	115	-700	NW-SE	pla	12	4	3
2146	C4	DC140	indeterminable	os indeterminable	276	127,8	-700,2	NW-SE	SE	32	17	11
2147	C4	DC140	os no determinat	os no determinat	267,8	144,6	-700	NE-SW	pla	17	4	3
2148	C4	DC139	indeterminable	os indeterminable	291,3	174,5	-691	E-W	pla	38	20	8
2149	C4	DC140	fragment de còdol	sorrenca	274,8	128,5	-700,8	N-S	SW	75	60	30
2150	C4	DC140	úrsid	dent	262,4	103,8	-696,6	NE-SW	SW	15	8	6

numero	quadre	TallaMar...	natura1	natura2	xew	yns	z	orientacio	pendent	longitud	amplada	gruix
1910	C5	EC128	os no determinat	crani	201	99,7	-640,8	E-W	W	31	25	6
1911	C5	EC128	os no determinat	crani	247,5	86,3	-639,9	N-S	pla	35	10	8
1912	C5	EC128	indeterminable	os indeterminable	241,1	64,8	-638,3	E-W	E	35	23	7
1913	C5	EC128	fragment	quars	240,1	45	-639,4	NE-SW	pla	10	5	5
1914	C5	EC128	indeterminable	os indeterminable	249,1	37,7	-637,5	E-W	pla	50	14	3
1915	C5	EC128	os no determinat	os no determinat	245,8	10,2	-635,2	E-W	E	24	10	4
1916	C5	EC120	fragment	quarsita	240	9,6	-636,7	-	-	18	7	6
1917	C5	EC120	úrsid	dent	239,9	14,4	-637,8	N-S	N	14	4	2
1918	C5	EC128	fragment	quars	211,4	5	-636	-	-	15	11	7
1919	C5	EC128	os no determinat	os no determinat	221,8	20,5	-637,6	E-W	W	33	8	5
1920	C5	EC128	úrsid	dent	207,5	29,5	-638	E-W	W	16	7	5
1921	C5	EC128	indeterminable	os indeterminable	220	53,5	-638,5	NE-SW	pla	25	15	8
1922	C5	EC128	úrsid	dent	235,2	98,7	-640,2	N-S	E	14	6	6
1923	C5	EC129	os no determinat	os no determinat	250,2	85,5	-642	NE-SW	E	35	17	7
1924	C5	EC129	os no determinat	costella	249,2	55,8	-641,3	NE-SW	SE	45	7	7
1925	C5	EC128	fragment	quars	234,3	72,1	-640,7	E-W	pla	11	8	5
1926	C5	EC128	os no determinat	dent	226,8	52,6	-639,7	E-W	pla	12	4	2
1927	C5	EC128	fragment	lidita	206,1	15,9	-639,3	NE-SW	NE	20	20	10
1928	C5	EC129	úrsid	dent	236,4	97,5	-642,4	E-W	pla	10	13	5
1929	C5	EC129	úrsid	dent	245,3	95,9	-642,8	NE-SW	NE	19	11	8
1930	C5	EC129	ascla o fragment	quars	228,1	84,3	-641,4	NE-SW	N	28	30	7
1931	C5	EC129	úrsid	dent	232,4	83,5	-641	N-S	pla	6	3	3
1932	C5	EC129	úrsid	dent	231,1	78,6	-641,6	NE-SW	pla	11	6	4
1933	C5	EC129	ascla o fragment	quars	242,5	75,2	-642,3	E-W	pla	33	21	7
1934	C5	EC129	indeterminable	os indeterminable	228,3	66,2	-642,4	E-W	N	35	18	7
1935	C5	EC129	indeterminable	os indeterminable	237,6	10,2	-642,7	E-W	E	35	12	10
1936	C5	EC129	úrsid	dent	201,5	90	-643,2	NE-SW	pla	16	7	5
1937	C5	EC129	os no determinat	crani	220,4	94,4	-644,1	-	pla	25	21	4
1938	C5	EC129	os no determinat	os no determinat	224,3	89,4	-644,4	-	pla	28	26	19
1939	C5	EC129	úrsid	dent	223,2	85,7	-644,1	N-S	N	27	10	13
1940	C5	EC129	os no determinat	crani	231	98,9	-644	-	pla	25	19	4
1941	C5	EC129	os no determinat	os no determinat	234	73,3	-643	-	-	22	20	9
1942	C5	EC129	úrsid	dent	245,9	62,8	-645,5	E-W	pla	26	11	9
1943	C5	EC129	os no determinat	dent	247,3	54,9	-645,7	NE-SW	SW	15	7	6
1944	C5	EC129	fragment	quars	237,6	91,3	-644,8	N-S	pla	15	10	3
1946	C5	EC130	ascla o fragment	quars	235,1	31,6	-647,8	-	-	30	29	14

numero	quadre	TallaMar...	natura1	natura2	xew	yns	z	orientacio	pendent	longitud	amplada	gruix
1947	C5	EC130	indeterminable	os indeterminable	236,2	29,8	-647,3	-	-	35	14	3
1948	C5	EC130	úrsid	dent	235,2	95	-646,3	NW-SE	pla	15	9	6
1949	C5	EC130	os no determinat	os no determinat	215,3	93,7	-645,4	N-S	pla	28	10	5
1950	C5	EC130	os no determinat	costella	201,1	94,5	-646	E-W	W	22	10	4
1951	C5	EC130	os no determinat	os no determinat	204,9	72,9	-644,8	NW-SE	SE	35	10	6
1952	C5	EC130	os no determinat	os no determinat	212,3	95,6	-646,2	NW-SE	NW	22	9	8
1953	C5	EC130	os no determinat	os no determinat	245,9	83	-649,3	NW-SE	SE	60	40	19
1954	C5	EC130	ascla o fragment	filoniana	251,9	78,8	-645,1	E-W	E	38	31	9
1955	C5	EC130	os no determinat	os no determinat	242,8	40,6	-648,5	NE-SW	NE	41	15	8
1956	C5	EC130	os no determinat	os no determinat	242,9	79,7	-648,3	-	-	26	20	10
1957	C5	EC130	cérvol	dent	240,3	73,2	-647,3	NW-SE	pla	35	10	8
1958	C5	EC130	os no determinat	os no determinat	215,5	73	-647,4	N-S	N	25	14	6
1959	C5	EC130	indeterminable	os indeterminable	213,4	67,3	-648,4	E-W	S	35	20	6
1960	C5	EC130	os no determinat	os no determinat	234,7	73,8	-649	NE-SW	N	30	12	9
1961	C5	EC130	os no determinat	os no determinat	209,3	79,7	-650	NW-SE	SE	30	10	7
1962	C5	EC130	os no determinat	crani	210	95,5	-649,3	-	pla	19	15	3
1963	C5	EC130	ascla o fragment	quars	244,6	4,3	-649,5	N-S	S	15	8	3
1965	C5	EC131	indeterminable	os indeterminable	212,7	99	-653,1	NE-SW	V	36	24	15
1966	C5	EC131	úrsid	dent	211,8	93,5	-651,9	-	-	9	6	5
1967	C5	EC131	os no determinat	crani	241,3	38,6	-651,3	N-S	pla	27	23	6
1968	C5	EC131	úrsid	dent	243,7	25,6	-651,2	E-W	SE	14	5	3
1969	C5	EC131	indeterminable	os indeterminable	230,6	14,9	-650,3	-	-	33	25	5
1970	C5	EC131	ascla o fragment	quarsita	225,3	30,9	-653	N-S	VSC	26	23	8
1971	C5	EC131	os no determinat	dent	210,6	67,5	-650,1	-	pla	9	9	3
1972	C5	EC131	os no determinat	costella	202,4	78	-650	NE-SW	pla	32	9	4
1973	C5	EC131	fragment	quars	209,4	92,6	-653	-	-	12	11	9
1974	C5	EC131	ascla o fragment	quars	247,6	97,2	-652,6	-	-	14	10	4
1975	C5	EC131	ascla o fragment	quars	224,3	29,2	-654,7	NW-SE	NE	50	60	20
1976	C5	EC131	indeterminable	os indeterminable	211,8	65,2	-653,5	N-S	pla	35	20	16
1977	C5	EC131	os no determinat	dent	239,5	95,2	-654,2	NW-SE	pla	21	10	4
2251	D2	BD172	cavall o ase	dent	330	383	-859	E-W	E	21	13	7
3177	D3	CD152	indeterminable	os indeterminable	358,4	309	-756,4	E-W	pla	124	20	7
3178	D3	CD135	ascla o fragment	quars	364,5	215,1	-676,8	-	-	35	25	13
2725	D4	DD136	indeterminable	os indeterminable	310,5	165,8	-676,5	NE-SW	pla	32	14	9
2726	D4	DD136	indeterminable	os indeterminable	321,9	173,4	-677,1	NE-SW	SE	35	11	10
2728	D4	DD136	os no determinat	crani	443	109,7	-666,3	-	-	45	25	14

numero	quadre	TallaMar...	natura1	natura2	xew	yns	z	orientacio	pendent	longitud	amplada	gruix
2932	D5	ED126	ascla o fragment	quars	338	82,1	-634,3	NE-SW	pla	34	27	9
2933	D5	ED128	úrsid	dent	375	69	-637,8	N-S	pla	22	8	5
10885	E2	BE168	ascla o fragment	quars	407,6	316,5	-818	NE-SW	NE	47	32	12
10886	E2	BE168	indeterminable	os indeterminable	424,4	317,4	-821,4	N-S	W	75	27	7
10887	E2	BE168	indeterminable	os indeterminable	445,7	326,4	-824,5	N-S	E	33	9	7
10888	E2	BE168	os no determinat	os no determinat	452,9	332,1	-826,2	NE-SW	NE	44	17	9
10889	E2	BE168	indeterminable	os indeterminable	461,8	335,1	-830,1	N-S	VSC	40	24	15
10890	E2	BE168	indeterminable	os indeterminable	459,5	324,2	-829,8	N-S	S	55	24	7
10891	E2	BE168	ascla o fragment	quarsita	466,7	322,5	-831,5	NE-SW	E	32	20	9
10892	E2	BE168	conill o llebre	os no determinat	474,8	332,7	-832,4	N-S	N	32	15	8
10893	E2	BE168	conill o llebre	os no determinat	483,2	334,9	-835,2	N-S	E	30	12	5
10894	E2	BE168	ascla o fragment	filoniana	489,8	332,4	-836,7	N-S	VSC	31	37	9
10895	E2	BE168	cérvol	dent	484,4	321,9	-836,4	-	-	22	10	6
10896	E2	BE168	conill o llebre	mandíbula	481,2	315	-836,3	-	-	25	17	6
10897	E2	BE168	os no determinat	os no determinat	480	312	-836	N-S	E	40	16	13
10898	E2	BE168	ascla o fragment	quars	480,9	310,4	-837,5	N-S	pla	41	35	15
10899	E2	BE168	ascla o fragment	quars	472	309	-835,5	NE-SW	NE	42	31	15
10900	E2	BE168	indeterminable	os indeterminable	469,1	310,8	-833,7	NW-SE	SE	83	20	11
10901	E2	BE168	ascla o fragment	quars	407,5	322,7	-816,7	NW-SE	SE	25	14	5
10902	E2	BE168	cérvol	dent	407,9	316,8	-818,1	NW-SE	SE	30	25	12
10903	E2	BE168	indeterminable	os indeterminable	429,5	316,1	-822,3	E-W	E	40	21	13
10904	E2	BE168	indeterminable	os indeterminable	430	309,6	-822,2	N-S	S	52	13	10
10905	E2	BE168	ascla o fragment	quars	440,4	321,4	-822,7	NE-SW	VSC	25	21	6
10906	E2	BE168	indeterminable	os indeterminable	440,7	318,5	-823,8	N-S	E	46	34	13
10907	E2	BE168	os no determinat	dent	440,4	332,4	-824,3	E-W	E	21	20	7
10908	E2	BE168	indeterminable	os indeterminable	446,2	329,9	-825,4	E-W	E	61	30	19
10909	E2	BE168	fragment	quars	450,3	333,9	-826	NW-SE	N	19	14	7
10910	E2	BE168	fragment	quars	450,5	337,1	-825,7	E-W	N	18	17	8
10911	E2	BE168	indeterminable	os indeterminable	455,6	334,3	-828,3	NE-SW	SW	45	16	9
10912	E2	BE168	conill o llebre	costella	453	328,2	-826,8	NE-SW	NE	34	8	4
10913	E2	BE168	indeterminable	os indeterminable	452,6	320,8	-826,9	NE-SW	NE	46	17	8
10914	E2	BE168	ascla o fragment	filoniana	461,2	322,4	-830	E-W	E	27	23	8
10915	E2	BE168	ascla o fragment	quarsita	464,7	326,9	-830,3	NE-SW	NE	35	25	14
10916	E2	BE168	fragment	quars	467	321,4	-831,8	-	VSC	35	15	13
10917	E2	BE168	fragment	quars	474,5	325,6	-833,5	N-S	E	30	28	16
10918	E2	BE168	os no determinat	os no determinat	468,3	329,6	-832,8	N-S	N	51	9	8

numero	quadre	TallaMar...	natura1	natura2	xew	yns	z	orientacio	pendent	longitud	amplada	gruix
10919	E2	BE168	ascla o fragment	quars	467,2	335	-832,3	NW-SE	SE	29	17	8
10920	E2	BE168	indeterminable	os indeterminable	478,1	327,1	-833,7	N-S	S	44	19	10
10921	E2	BE168	ascla o fragment	quars	483,9	335,4	-835,6	-	-	19	13	5
10922	E2	BE168	ascla o fragment	quars	489,4	317,6	-839,1	NE-SW	NE	39	27	11
10923	E2	BE168	ascla o fragment	quars	490,3	315,8	-838,8	N-S	pla	24	18	9
10924	E2	BE168	fragment	quars	485,3	318,4	-838,7	-	-	23	17	7
10925	E2	BE168	indeterminable	os indeterminable	482,8	314,9	-836,9	NE-SW	SW	36	14	11
10926	E2	BE168	fragment	quars	478,1	321,7	-834,5	-	-	22	18	12
10927	E2	BE168	indeterminable	os indeterminable	470,5	308,4	-835,1	NE-SW	SW	33	18	11
10928	E2	BE168	indeterminable	os indeterminable	423,9	320,4	-821,9	E-W	S	31	18	12
10929	E2	BE168	indeterminable	os indeterminable	425,5	314	-821,6	N-S	S	48	22	11
10930	E2	BE168	fragment	quars	427,1	313,9	-822,7	NE-SW	SE	21	14	7
10931	E2	BE168	denticulat o osca	quars	448,6	332,1	-826,3	NE-SW	SE	37	28	7
10932	E2	BE168	indeterminable	os indeterminable	457,7	328,7	-828,5	N-S	S	59	14	9
10933	E2	BE168	ascla o fragment	quars	468,2	324,9	-832,7	NW-SE	VSC	27	21	8
10934	E2	BE168	ascla o fragment	filoniana	462,8	333,5	-831,6	-	W	40	43	11
10935	E2	BE168	ascla o fragment	quars	468,8	331,1	-833,4	N-S	E	65	37	13
10936	E2	BE168	ascla o fragment	quars	464,2	340,8	-832,2	-	E	17	17	8
10937	E2	BE168	ascla o fragment	filoniana	465,5	339,9	-832,9	NW-SE	NW	29	25	8
10938	E2	BE168	indeterminable	os indeterminable	468,6	337	-833,3	-	-	32	24	6
10939	E2	BE168	os no determinat	os no determinat	469,7	326,4	-832,6	N-S	S	43	15	10
10940	E2	BE168	conill o llebre	mandibula	475,4	324,9	-834,5	-	-	20	12	4
10941	E2	BE168	conill o llebre	os no determinat	479,2	328,9	-836,6	NW-SE	SE	27	8	4
10942	E2	BE168	indeterminable	os indeterminable	483,1	329,7	-836,5	-	-	42	6	4
10943	E2	BE168	fragment	quars	484,1	328	-837,1	-	E	20	18	10
10944	E2	BE168	indeterminable	os indeterminable	490,7	307,7	-839,4	N-S	S	33	11	9
10945	E2	BE168	ascla o fragment	quarsita	439,7	308,8	-824,8	-	-	21	14	5
10946	E2	BE168	ascla o fragment	quars	436,5	306,3	-824,2	NW-SE	SE	47	39	17
10947	E2	BE168	os no determinat	os no determinat	490,6	334,7	-838,4	E-W	N	40	20	7
10948	E2	BE168	os no determinat	os no determinat	492,4	323,7	-839,1	E-W	N	34	17	7
10949	E2	BE168	ascla o fragment	quars	484	324,6	-836,3	-	N	15	18	7
10950	E2	BE168	fragment	quars	479,5	309,7	-838,4	E-W	E	23	16	8
10951	E2	BE168	indeterminable	os indeterminable	478,2	318,4	-835,4	NE-SW	NE	37	13	8
10952	E2	BE168	indeterminable	os indeterminable	478	322,2	-835,3	NW-SE	SE	31	15	8
10953	E2	BE168	indeterminable	os indeterminable	467,1	308,2	-834	NE-SW	SW	31	14	7
10954	E2	BE168	fragment	quars	465,3	322,3	-832,1	-	E	14	10	10

numero	quadre	TallaMar...	natura1	natura2	xew	yns	z	orientacio	pendent	longitud	amplada	gruix
10955	E2	BE168	indeterminable	os indeterminable	456,9	306,5	-829,2	NE-SW	SW	33	19	6
10956	E2	BE168	fragment	quars	443,2	307,3	-824,3	-	W	14	11	5
10957	E2	BE168	indeterminable	os indeterminable	435,7	322,3	-823,4	E-W	E	54	9	11
10958	E2	BE168	ascla o fragment	quars	430,9	306,7	-824,2	E-W	E	34	36	17
10959	E2	BE168	indeterminable	os indeterminable	430,9	306,7	-824,1	NE-SW	NE	43	18	7
10960	E2	BE168	fragment	quars	421,2	307,2	-822,5	-	-	25	17	11
10961	E2	BE168	fragment	quars	417,1	309,4	-821,8	N-S	N	24	21	11
10962	E2	BE168	rascadora	sílex o jaspi	417,1	306	-821,8	NW-SE	SW	37	30	7
10963	E2	BE168	ascla o fragment	sorrenca	416,4	323,9	-819,4	N-S	SW	37	43	7
10964	E2	BE168	ascla o fragment	quars	416,8	321,7	-819,2	NW-SE	SW	22	18	8
10965	E2	BE168	ascla o fragment	quars	416,7	321,7	-819,1	NW-SE	pla	40	29	18
10966	E2	BE168	ascla o fragment	quars	413,4	319,4	-818,6	-	NW	21	22	9
10967	E2	BE168	ascla o fragment	corniana	412,7	325,1	-819,4	-	NW	34	22	9
10968	E2	BE168	ascla o fragment	quars	413,4	326,1	-819,1	-	NW	32	26	11
10969	E2	BE168	ascla o fragment	quars	413,9	323,8	-817,9	NW-SE	NW	42	39	18
10970	E2	BE168	cérvol	dent	406,5	322,2	-816,7	NE-SW	SW	19	11	2
10971	E2	BE168	ascla o fragment	quars	404,5	313,9	-814,8	N-S	NW	32	27	14
10972	E2	BE168	cavall o ase	dent	415,4	307,3	-813,6	E-W	W	0	0	
10973	E2	BE168	ascla o fragment	quars	416,1	314,7	-819,4	NE-SW	N	18	12	4
10974	E2	BE168	indeterminable	os indeterminable	423,7	306,4	-822,2	N-S	W	0	0	
10975	E2	BE168	conill o llebre	os no determinat	434,4	306,3	-823,1	E-W	E	25	4	4
10976	E2	BE168	os no determinat	dent	433,8	321,2	-824	N-S	E	20	17	8
10977	E2	BE168	indeterminable	os indeterminable	437,7	317,8	-825	NW-SE	N	50	23	4
10978	E2	BE168	fragment	quars	442,2	330,7	-824,9	NW-SE	NW	20	20	15
10979	E2	BE168	indeterminable	os indeterminable	443	333,8	-825,1	E-W	W	42	10	8
10980	E2	BE168	indeterminable	os indeterminable	445,6	337,6	-825,4	NW-SE	S	42	24	9
10981	E2	BE168	ascla o fragment	quars	445,7	333,9	-826,2	E-W	W	35	24	15
10982	E2	BE168	os no determinat	dent	451,5	306,2	-827,8	E-W	E	20	13	6
10983	E2	BE168	ascla o fragment	corniana	466,6	324,8	-833,2	NW-SE	NW	36	27	5
10984	E2	BE168	fragment	quars	469	330,5	-833,2	-	-	14	14	4
10985	E2	BE168	indeterminable	os indeterminable	472,7	320,9	-833,5	E-W	E	38	14	7
10986	E2	BE168	indeterminable	os indeterminable	469,1	318,9	-834,2	N-S	E	29	18	5
10987	E2	BE168	ascla o fragment	quars	401,3	321,3	-818,1	NW-SE	SE	22	11	5
10988	E2	BE168	fragment	quars	404,3	316,3	-817,5	NE-SW	NE	39	25	20
10989	E2	BE168	indeterminable	os indeterminable	406,6	320,6	-819,6	NE-SW	NE	40	20	10
10990	E2	BE168	ascla o fragment	corniana	407,9	318,2	-818,9	N-S	VSC	30	22	10

numero	quadre	TallaMar...	natura1	natura2	xew	yns	z	orientacio	pendent	longitud	amplada	gruix
10991	E2	BE168	fragment	quars	410,8	316	-819,3	NW-SE	NE	31	22	15
10992	E2	BE168	ascla o fragment	quars	410	308,8	-815,7	NW-SE	NE	35	20	10
10993	E2	BE168	ascla o fragment	quars	411	320	-820,7	NW-SE	NE	24	17	4
10994	E2	BE168	ascla o fragment	quars	412	318,7	-820,4	N-S	pla	20	15	7
10995	E2	BE168	ascla o fragment	quars	435,8	317,1	-825,7	E-W	W	20	25	10
10996	E2	BE168	ascla o fragment	quars	436,9	322,2	-825,1	E-W	pla	16	12	5
10997	E2	BE168	indeterminable	os indeterminable	442,4	320,6	-825,9	NW-SE	NW	36	15	12
10998	E2	BE168	fragment	quars	465	325,8	-833,2	NW-SE	E	25	17	17
10999	E2	BE168	conill o llebre	costella	466,1	319,6	-833,6	-	-	22	11	2
11000	E2	BE168	conill o llebre	costella	462,4	322,6	-833,5	-	-	18	4	2
11001	E2	BE168	indeterminable	os indeterminable	480,7	334,2	-837,4	E-W	E	50	26	10
11002	E2	BE169	fragment	quars	404,1	326,1	-821,2	NW-SE	NE	30	27	11
11003	E2	BE168	ascla o fragment	quars	403,5	324,6	-818,8	NW-SE	NE	17	16	7
11004	E2	BE168	ascla o fragment	quarsita	405,4	321,6	-820,1	NE-SW	SW	60	31	15
11005	E2	BE168	fragment	quars	407,1	316,7	-819,9	-	SW	40	44	19
11006	E2	BE168	ascla o fragment	quars	406,2	316,9	-817,6	NW-SE	NW	38	21	7
11007	E2	BE168	ascla o fragment	quarsita	407,1	314,7	-818,8	NE-SW	NE	43	25	14
11008	E2	BE168	ascla o fragment	quars	413,9	323,7	-821,7	-	NE	23	23	7
11009	E2	BE168	ascla o fragment	quars	437,9	327,9	-826,1	N-S	S	22	14	7
11010	E2	BE168	ascla o fragment	quars	439,2	330,3	-826,4	E-W	E	23	12	17
11011	E2	BE168	indeterminable	os indeterminable	451	326,6	-828	N-S	E	42	17	6
11012	E2	BE168	indeterminable	os indeterminable	444,6	319,7	-827,7	N-S	E	113	56	23
11013	E2	BE168	indeterminable	os indeterminable	439,9	311,6	-826,3	N-S	S	35	16	6
11014	E2	BE168	indeterminable	os indeterminable	446,2	315,6	-828,3	E-W	W	53	25	5
11015	E2	BE168	conill o llebre	mandibula	449,5	314,7	-828,9	-	-	21	15	5
11016	E2	BE168	indeterminable	os indeterminable	451,9	315,9	-828,3	E-W	E	58	13	4
11017	E2	BE168	conill o llebre	dent	454,5	315,6	-830,8	-	-	12	4	3
11018	E2	BE168	os no determinat	os no determinat	450,5	322,1	-828	N-S	S	0	0	
11019	E2	BE168	ascla o fragment	quars	460,6	336,3	-831,5	E-W	E	30	27	2
11020	E2	BE168	indeterminable	os indeterminable	459,2	341,9	-834,5	-	V	46	23	11
11021	E2	BE168	ascla o fragment	quars	481,9	328,3	-838,7	E-W	W	37	30	10
11022	E2	BE168	ascla o fragment	quars	489,5	316,3	-840,6	-	VSC	19	21	7
11023	E2	BE168	ascla o fragment	quars	397,1	322,5	-818,6	-	S	26	22	14
11024	E2	BE168	os no determinat	os no determinat	398,5	317,3	-818,1	NE-SW	NE	19	13	13
11025	E2	BE168	ascla o fragment	quars	402,6	315,8	-819,9	NE-SW	NE	32	26	17
11026	E2	BE168	ascla o fragment	quars	402,5	313,9	-819,4	N-S	S	19	14	6

numero	quadre	TallaMar...	natura1	natura2	xew	yns	z	orientacio	pendent	longitud	amplada	gruix
11027	E2	BE168	ascla o fragment	quars	402,2	311,3	-819,8	NW-SE	NW	41	26	20
11028	E2	BE168	indeterminable	os indeterminable	408,5	305,5	-816,5	E-W	pla	33	19	5
11029	E2	BE168	ascla o fragment	quars	437,9	333,7	-827,1	NE-SW	NE	19	12	3
11030	E2	BE168	ascla o fragment	quarsita	438,9	328	-826,6	NW-SE	SE	28	13	5
11031	E2	BE168	indeterminable	os indeterminable	441,1	312,3	-828,2	NW-SE	SE	54	18	9
11032	E2	BE168	indeterminable	os indeterminable	445,8	319,5	-828,3	N-S	S	34	10	6
11033	E2	BE168	indeterminable	os indeterminable	448,1	320	-829,7	N-S	E	54	25	14
11034	E2	BE168	fragment	quars	444,8	321,4	-828,3	NW-SE	SE	27	21	15
11035	E2	BE168	ascla o fragment	quars	446,4	329,3	-827,4	NW-SE	SE	23	15	.8
11036	E2	BE168	ascla o fragment	filoniana	447,2	330,3	-828,2	N-S	S	29	19	12
11037	E2	BE168	indeterminable	os indeterminable	451,7	334,5	-829,2	NW-SE	SE	50	22	16
11038	E2	BE168	indeterminable	os indeterminable	451,2	331,6	-829,7	E-W	W	48	21	8
11039	E2	BE168	ascla o fragment	quars	460,9	332,2	-832,8	-	S	16	14	.5
11040	E2	BE168	fragment	quars	464,1	333,5	-834,2	E-W	E	16	11	10
11041	E2	BE168	ascla o fragment	quars	466,3	331,8	-834,7	N-S	S	45	24	14
11042	E2	BE168	ascla o fragment	quarsita	465,9	325,8	-834,1	N-S	VSC	56	31	16
11043	E2	BE168	indeterminable	os indeterminable	470,8	330,7	-835,2	NE-SW	SE	37	24	11
11044	E2	BE168	ascla o fragment	quars	459,7	307,4	-832,3	E-W	E	26	17	6
11045	E2	BE168	indeterminable	os indeterminable	401	317,6	-820,8	N-S	N	34	7	5
11046	E2	BE168	fragment	quars	401,8	308,8	-819,2	NE-SW	SW	33	22	15
11047	E2	BE168	ascla o fragment	quars	406,3	312,7	-820,4	-	-	14	11	7
11048	E2	BE168	fragment	quars	410,5	319,8	-821,3	NW-SE	NW	27	15	11
11049	E2	BE168	os no determinat	os no determinat	418	309,2	-823,8	NW-SE	SE	92	20	8
11050	E2	BE168	indeterminable	os indeterminable	423,6	306	-820,8	E-W	E	36	25	8
11051	E2	BE168	fragment de còdol	quars	402,4	306,7	-814,4	NE-SW	NE	17	8	5
11052	E2	BE168	fragment	quars	408,6	325,2	-822,4	NW-SE	NW	25	23	7
11053	E2	BE168	ascla o fragment	quars	408,9	323,5	-822,3	NW-SE	SE	19	15	6
11054	E2	BE168	ascla o fragment	quarsita	411,1	321,5	-822,1	-	NW	45	46	9
11055	E2	BE168	ascla o fragment	quars	407,7	320,4	-820,4	NW-SE	NW	22	20	5
11056	E2	BE168	fragment	quars	405,8	317,8	-820,3	NE-SW	VSC	18	10	10
11057	E2	BE168	ascla o fragment	quars	411,8	313,9	-820,3	N-S	N	31	22	9
11058	E2	BE168	ascla o fragment	quars	412,1	312,2	-819,4	NE-SW	NE	29	20	10
11059	E2	BE168	indeterminable	os indeterminable	435,6	325,1	-825,6	E-W	W	42	15	20
11060	E2	BE168	gran bòvid	dent	444,7	338,3	-828,4	NW-SE	NW	48	28	20
11061	E2	BE168	indeterminable	os indeterminable	452,4	338,1	-829,3	NW-SE	SE	31	22	9
11062	E2	BE168	os no determinat	os no determinat	456,6	338,5	-829,9	NW-SE	SE	46	13	11

numero	quadre	TallaMar...	natura1	natura2	xew	yns	z	orientacio	pendent	longitud	amplada	gruix
11063	E2	BE168	fragment	quars	465,4	334,6	-834,7	-	NE	21	21	11
11064	E2	BE168	indeterminable	os indeterminable	449,8	325	-830,1	N-S	S	43	19	11
11065	E2	BE168	indeterminable	os indeterminable	448,8	320,8	-830,6	E-W	W	63	33	13
11066	E2	BE168	indeterminable	os indeterminable	444,4	316,2	-830,2	NW-SE	S	66	29	10
11067	E2	BE168	indeterminable	os indeterminable	494,6	334,7	-839,2	E-W	W	50	25	10
11068	E2	BE168	ascla o fragment	corniana	439,8	307,3	-820,9	N-S	S	32	22	6
11069	E2	BE168	fragment	quars	400,7	317,2	-820,1	-	NW	23	26	11
11070	E2	BE168	ascla o fragment	quars	401,6	319,7	-820	-	NW	35	31	17
11071	E2	BE168	ascla o fragment	filoniana	407,9	308	-819,4	NW-SE	NE	43	34	11
11072	E2	BE168	ascla o fragment	quars	417	317,5	-821,6	NW-SE	NW	20	12	5
11073	E2	BE168	indeterminable	os indeterminable	413,1	312,5	-821,8	N-S	E	77	30	22
11074	E2	BE168	fragment	quars	442,5	329,5	-828,5	E-W	W	0	0	
11075	E2	BE168	indeterminable	os indeterminable	455,4	335,8	-829,9	NW-SE	SE	42	10	6
11076	E2	BE168	fragment	quars	457,5	341,2	-830,7	-	SE	16	14	9
11077	E2	BE168	indeterminable	os indeterminable	403,6	321,1	-818,8	N-S	N	38	23	10
11078	E2	BE168	fragment	quars	408,4	318,6	-820,3	NW-SE	SE	22	18	13
11079	E2	BE168	ascla o fragment	corniana	411,7	312	-819,7	N-S	N	49	39	10
11080	E2	BE168	ascla o fragment	filoniana	449,1	336,4	-829,1	E-W	W	27	31	10
11081	E2	BE169	ascla o fragment	quars	388	327,5	-822,8	NW-SE	NW	39	31	14
11082	E2	BE169	ascla o fragment	quars	402,7	324,2	-821	NW-SE	NW	49	29	16
11083	E2	BE168	fragment	quars	402,9	318,1	-819,1	N-S	NW	39	29	25
11084	E2	BE168	ascla o fragment	quarsita	403,5	314,8	-821,4	NW-SE	NW	41	31	10
11085	E2	BE168	ascla o fragment	lidita	403,2	311,8	-820,6	N-S	NW	30	20	12
11086	E2	BE168	ascla o fragment	quars	407,8	310,6	-819,4	NW-SE	NE	20	19	9
11087	E2	BE168	os no determinat	os no determinat	410,8	312,4	-822,1	N-S	E	42	19	10
11088	E2	BE168	ascla o fragment	quars	411,9	308	-822,1	NE-SW	SW	15	13	6
11089	E2	BE168	ascla o fragment	quars	495,4	317,6	-837,3	N-S	N	23	12	7
11090	E2	BE168	ascla o fragment	quarsita	495,4	315,8	-837,7	E-W	pla	22	32	6
11091	E2	BE168	indeterminable	os indeterminable	456,4	304,9	-828,2	E-W	E	0	0	
11092	E2	BE168	ascla o fragment	quars	405,2	304,4	-818,4	NW-SE	SE	36	26	10
11093	E2	BE168	ascla o fragment	quarsita	405	304,4	-818,2	NE-SW	pla	37	41	10
11094	E2	BE168	ascla o fragment	filoniana	405	304,4	-818,4	E-W	pla	39	31	8
11095	E2	BE168	indeterminable	os indeterminable	405	304,4	-818,4	E-W	E	33	19	6
11096	E2	BE168	fragment	quarsita	405	304,4	-818,4	-	V	22	12	7
11097	E2	BE168	ascla o fragment	quars	405,1	304,4	-818,5	N-S	E	48	38	15
11098	E2	BE168	gran bòvid	dent	404,9	304,4	-818,4	N-S	N	46	22	14

numero	quadre	TallaMar...	natura1	natura2	xew	yns	z	orientacio	pendent	longitud	amplada	gruix
11099	E2	BE168	ascla o fragment	corniana	406,6	308	-818,4	NW-SE	NE	37	26	7
11100	E2	BE168	ascla o fragment	quars	412,6	307	-820,1	N-S	N	27	21	9
11101	E2	BE168	indeterminable	os indeterminable	415,2	309,5	-822,5	N-S	N	45	19	8
11102	E2	BE168	os no determinat	mandibula	399	309,5	-818,4	E-W	E	0	0	
11103	E2	BE168	ascla o fragment	quarsita	397,7	313,9	-818,5	N-S	E	19	15	7
11104	E2	BE168	ascla o fragment	quars	402,1	316,5	-818,3	-	NE	22	23	10
11105	E2	BE168	ascla o fragment	quars	400,8	317,9	-815,4	NW-SE	NE	16	13	6
11106	E2	BE168	ascla o fragment	quars	408	312,6	-818	NE-SW	NE	12	6	4
11107	E2	BE168	indeterminable	os indeterminable	405,6	314,1	-816,1	NW-SE	VSC	38	16	5
11108	E2	BE168	indeterminable	os indeterminable	402,7	316,8	-816,7	NE-SW	SW	58	9	6
11109	E2	BE168	ascla o fragment	quars	410,3	313,1	-816,7	NE-SW	NE	22	11	6
11110	E2	BE168	fragment	quars	408,5	314,4	-816,6	NE-SW	NE	28	17	13
11111	E2	BE168	indeterminable	os indeterminable	406,6	312,7	-816,1	NE-SW	SW	34	18	7
11112	E2	BE168	ascla o fragment	quarsita	407,8	313,7	-816,9	NE-SW	NE	23	13	5
11113	E2	BE168	fragment de còdol	quars	409,7	312,6	-814,8	-	NE	30	28	12
11114	E2	BE168	ascla o fragment	quarsita	410,8	315,3	-817,8	-	V	42	20	13
11115	E2	BE168	ascla o fragment	quars	412	316,4	-818,2	E-W	VSC	30	19	9
11116	E2	BE169	fragment	quars	408,6	306,2	-818,7	NW-SE	NE	35	28	16
11117	E2	BE169	fragment	quars	408,4	312,6	-818,6	NE-SW	SE	35	22	13
11118	E2	BE169	fragment	quars	407,3	315,8	-820,1	E-W	E	32	31	17
11119	E2	BE169	ascla o fragment	quars	405,9	321,4	-819,2	E-W	E	17	11	7
11120	E2	BE169	ascla o fragment	quars	404,9	322,9	-821	NW-SE	NW	53	21	11
11121	E2	BE169	indeterminable	os indeterminable	405	322,7	-820,6	NW-SE	NW	46	18	7
11122	E2	BE169	fragment	quars	407,8	308	-819,1	E-W	W	22	18	11
11123	E2	BE169	fragment	quars	413,4	315,3	-821,5	NW-SE	NW	29	15	8
11124	E2	BE169	ascla o fragment	quars	416,4	313,6	-822,4	NW-SE	NW	16	14	4
11125	E2	BE169	ascla o fragment	quarsita	419,3	315,3	-822,5	NW-SE	SE	35	23	6
11126	E2	BE169	fragment	quars	417,7	321	-823,7	NW-SE	NW	21	12	5
11127	E2	BE169	ascla o fragment	quars	415,5	323,8	-823,8	N-S	N	29	16	10
11128	E2	BE169	ascla o fragment	quars	420,9	322,9	-823,8	E-W	E	30	17	10
11129	E2	BE169	indeterminable	os indeterminable	422,7	322,3	-824,9	NW-SE	NW	35	11	9
11130	E2	BE169	indeterminable	os indeterminable	425,3	316,5	-824	NW-SE	NW	60	23	11
11131	E2	BE169	indeterminable	os indeterminable	433,8	316	-826,3	E-W	E	43	10	2
11132	E2	BE169	indeterminable	os indeterminable	440,5	329,9	-827,4	N-S	pla	39	12	3
11133	E2	BE169	indeterminable	os indeterminable	446,3	338,9	-830,4	N-S	N	42	15	15
11134	E2	BE169	indeterminable	os indeterminable	451,6	338,7	-830,6	NW-SE	NW	35	12	9

numero	quadre	TallaMar...	natura1	natura2	xew	yns	z	orientacio	pendent	longitud	amplada	gruix
11135	E2	BE169	ascla o fragment	quarsita	458,8	338,1	-835	-	-	36	22	5
11136	E2	BE169	ascla o fragment	quars	461	337,5	-834,8	-	V	43	26	10
11137	E2	BE169	ascla o fragment	quars	456,5	341,1	-835,4	N-S	S	51	49	17
11138	E2	BE169	ascla o fragment	quars	460,5	336,3	-835,6	E-W	E	62	39	19
11139	E2	BE169	fragment	quars	464,9	328,9	-834,2	NE-SW	NE	32	24	14
11140	E2	BE169	ascla o fragment	quars	465,6	327,4	-834,7	E-W	E	29	18	9
11141	E2	BE169	os no determinat	os no determinat	455,2	323,3	-831,5	NE-SW	NE	31	15	9
11142	E2	BE169	ascla o fragment	quars	456,4	331,5	-831,6	E-W	E	25	13	7
11143	E2	BE169	fragment	quars	456	328,1	-832,8	N-S	N	29	23	15
11144	E2	BE169	indeterminable	os indeterminable	446,6	319,4	-830,2	N-S	-	36	13	6
11145	E2	BE169	altres	altres	495,2	323,8	-842,8	-	E	36	30	32
11146	E2	BE169	ascla o fragment	quars	402	320,1	-821,6	NE-SW	NW	21	19	9
11147	E2	BE169	ascla o fragment	quars	402,2	320,5	-821,9	N-S	pla	30	20	14
11148	E2	BE169	ascla o fragment	no determinat	403,9	321,6	-821,1	NW-SE	VSC	20	16	6
11149	E2	BE169	fragment	quars	403,6	315,8	-820,5	E-W	W	22	16	10
11150	E2	BE169	ascla o fragment	filoniana	404,6	310	-820,4	NW-SE	SE	41	28	10
11151	E2	BE169	indeterminable	os indeterminable	410,8	319,2	-825,8	N-S	N	46	11	6
11152	E2	BE169	ascla o fragment	quars	410,8	318	-825,8	NE-SW	VSC	37	20	10
11153	E2	BE169	indeterminable	os indeterminable	410,5	309,7	-822,2	NE-SW	NE	32	12	6
11154	E2	BE169	ascla o fragment	filoniana	434,3	312,3	-827,2	E-W	W	48	36	10
11155	E2	BE169	indeterminable	os indeterminable	439,1	314,9	-828,5	N-S	N	48	17	6
11156	E2	BE169	fragment	quars	450,2	311,4	-832,4	N-S	VSC	19	13	6
11157	E2	BE169	os no determinat	os no determinat	478,8	314,5	-841,9	-	E	52	40	36
11158	E2	BE169	indeterminable	os indeterminable	494,9	311,7	-842,9	N-S	W	34	15	12
11159	E2	BE169	indeterminable	os indeterminable	407,2	315,6	-822,3	NW-SE	SE	30	26	9
11160	E2	BE169	ascla o fragment	filoniana	409,9	317,4	-823,9	NE-SW	NE	38	29	12
11161	E2	BE169	ascla o fragment	filoniana	426	318,2	-826,2	NW-SE	S	45	29	10
11162	E2	BE169	indeterminable	os indeterminable	446,4	324,6	-829,7	NE-SW	SW	46	19	6
11163	E2	BE169	ascla o fragment	quars	456,1	322,6	-832,7	-	E	11	11	3
11164	E2	BE169	indeterminable	os indeterminable	466	341,9	-837	-	-	30	15	13
11165	E2	BE169	conill o llebre	os no determinat	470,2	340,4	-837,4	E-W	E	28	14	7
11166	E2	BE169	os no determinat	os no determinat	484,9	322,8	-844,3	-	E	20	19	20
11167	E2	BE169	indeterminable	os indeterminable	480,4	310,3	-842,7	NE-SW	E	32	22	15
11168	E2	BE169	os no determinat	os no determinat	474,2	308,8	-842,7	N-S	E	42	28	22
11169	E2	BE169	os no determinat	os no determinat	472,5	328,6	-839,5	-	-	31	23	19
11170	E2	BE169	ascla o fragment	quars	399,1	317,6	-821,3	N-S	N	36	32	9

numero	quadre	TallaMar...	natura1	natura2	xew	yns	z	orientacio	pendent	longitud	amplada	gruix
11171	E2	BE169	ascla o fragment	quars	400	319,2	-822,1	NW-SE	NW	30	27	8
11172	E2	BE169	ascla o fragment	corniana	402	318,5	-822,1	N-S	NE	28	15	6
11173	E2	BE169	conill o llebre	os no determinat	404,2	315	-816,5	NW-SE	SE	20	4	2
11174	E2	BE169	indeterminable	os indeterminable	469,4	340,6	-838,3	N-S	VSC	45	20	15
11175	E2	BE169	ascla o fragment	quars	461,1	342,5	-835,6	N-S	N	28	23	8
11176	E2	BE169	fragment	quars	407,8	319,9	-823,7	NE-SW	NE	15	12	5
11177	E2	BE169	ascla o fragment	quars	401,5	318,3	-820,8	NE-SW	SW	29	25	7
11178	E2	BE169	ascla o fragment	quars	405,1	316,3	-818,9	NE-SW	SW	42	30	10
11179	E2	BE169	ascla o fragment	quars	403,2	315,6	-821,1	NW-SE	VSC	17	10	3
11180	E2	BE169	ascla o fragment	quars	408,2	325,3	-823	NW-SE	NW	38	25	14
11181	E2	BE169	fragment	quars	405,7	319,1	-821,2	NE-SW	SW	21	14	12
11182	E2	BE169	fragment	quars	403,4	315,1	-821	NE-SW	NW	32	21	15
11183	E2	BE169	ascla o fragment	quars	410,7	318,7	-822,3	-	pla	21	20	8
11184	E2	BE169	fragment	quars	414,4	319,4	-824,3	-	N	17	14	11
11185	E2	BE169	fragment	quars	411,4	316,7	-821,4	N-S	S	15	7	4
11186	E2	BE169	ascla o fragment	quars	419,4	314,5	-827,4	-	pla	11	8	2
11187	E2	BE169	ascla o fragment	quars	423,8	316,6	-825,4	NW-SE	NW	15	11	5
11188	E2	BE169	ascla o fragment	filoniana	441,3	332,6	-827,8	E-W	W	40	21	7
11189	E2	BE169	ascla o fragment	quars	450,1	334,3	-830,9	-	N	21	21	5
11190	E2	BE169	indeterminable	os indeterminable	457,3	338,4	-835,2	E-W	E	42	18	8
11191	E2	BE169	ascla o fragment	filoniana	456,8	339	-834,9	N-S	S	37	23	10
11192	E2	BE169	indeterminable	os indeterminable	466,8	340,2	-835,4	E-W	E	36	12	7
11193	E2	BE169	ascla o fragment	quars	463,3	332,2	-836	-	V	29	23	13
11194	E2	BE169	ascla o fragment	filoniana	460,1	331	-833,5	E-W	E	19	16	4
11195	E2	BE169	indeterminable	os indeterminable	458,8	323,3	-832,2	N-S	N	33	17	7
11196	E2	BE169	os no determinat	os no determinat	461,5	310,7	-835,2	-	S	36	29	20
11197	E2	BE169	ascla o fragment	quars	459,2	307,8	-833,5	N-S	SE	35	33	17
11198	E2	BE169	ascla o fragment	quars	407,9	315,9	-822,6	-	S	12	12	5
11199	E2	BE169	fragment	quars	405,5	319,6	-822,1	NE-SW	SE	23	26	14
11200	E2	BE169	ascla o fragment	quars	400,7	309,7	-819,9	NE-SW	SW	16	10	6
11201	E2	BE169	fragment	quars	403	306,6	-820,4	NE-SW	NE	26	23	16
11202	E2	BE169	ascla o fragment	quarsita	404,2	316,4	-822,8	NE-SW	NE	20	14	7
11203	E2	BE169	ascla o fragment	quars	404,1	315,1	-822,7	NE-SW	NE	14	8	5
11204	E2	BE169	ascla o fragment	quars	405,4	315,2	-823,8	NW-SE	NE	15	14	6
11205	E2	BE169	fragment	quars	407,3	315,9	-823,6	NE-SW	NE	25	13	8
11206	E2	BE169	ascla o fragment	quarsita	406,5	314,5	-824	NW-SE	SE	19	16	4

numero	quadre	TallaMar...	natura1	natura2	xew	yns	z	orientacio	pendent	longitud	amplada	gruix
11207	E2	BE169	ascla o fragment	quars	408	312,9	-824,1	NW-SE	SE	36	23	12
11208	E2	BE169	ascla o fragment	quars	404,5	309,5	-821,7	E-W	W	28	14	12
11209	E2	BE169	ascla o fragment	quarsita	411,5	308,7	-822	NW-SE	SW	28	22	8
11210	E2	BE169	indeterminable	os indeterminable	429,7	321,6	-825,4	E-W	W	40	7	6
11211	E2	BE169	fragment	quars	433,3	322	-826,6	-	SE	22	21	11
11212	E2	BE169	ascla o fragment	quars	426,5	321,8	-826,9	NW-SE	NW	45	39	24
11213	E2	BE169	indeterminable	os indeterminable	437,3	315,2	-827	NW-SE	SE	37	23	14
11214	E2	BE169	os no determinat	costella	438,2	317,5	-826,7	N-S	E	131	11	8
11215	E2	BE169	ascla o fragment	quarsita	446,6	333	-829,3	E-W	W	26	19	6
11216	E2	BE169	indeterminable	os indeterminable	445,1	322,3	-828,8	NW-SE	SE	38	13	10
11217	E2	BE169	ascla o fragment	quars	450,9	335,6	-832,2	NE-SW	VSC	38	25	12
11218	E2	BE169	indeterminable	os indeterminable	449,7	324	-833,1	NE-SW	NE	50	24	8
11219	E2	BE169	ascla o fragment	quars	461,2	309,7	-835,4	E-W	N	26	17	12
11220	E2	BE169	indeterminable	os indeterminable	493,2	326,2	-844,1	E-W	E	46	25	11
11221	E2	BE169	os no determinat	dent	496,3	318,3	-845	N-S	E	30	18	11
11222	E2	BE169	ascla o fragment	quars	401,6	310,5	-820,6	-	SW	24	23	9
11223	E2	BE169	ascla o fragment	quars	403	310,9	-820,7	E-W	pla	24	22	5
11224	E2	BE169	ascla o fragment	quars	405,1	310,5	-821,2	E-W	N	15	12	4
11225	E2	BE169	ascla o fragment	quars	404,7	309,7	-819,8	NE-SW	NE	31	20	12
11226	E2	BE169	fragment	quars	406,5	308,6	-820,3	NE-SW	SW	27	19	7
11227	E2	BE169	ascla o fragment	quars	407,5	305,9	-821,3	E-W	E	33	19	9
11228	E2	BE169	ascla o fragment	quars	412,2	304,6	-820,3	-	V	12	10	4
11229	E2	BE169	ascla o fragment	quars	409,2	307,8	-821,8	NE-SW	NE	25	20	7
11230	E2	BE169	ascla o fragment	quarsita	405,3	305,1	-820,8	NW-SE	NE	39	16	9
11231	E2	BE169	fragment	quars	404,4	330,4	-823,5	N-S	N	31	30	19
11232	E2	BE169	ascla o fragment	quars	397,9	319,2	-822,3	NW-SE	SE	22	10	6
11233	E2	BE169	fragment	quars	406,6	321,8	-823	NW-SE	NE	21	12	8
11234	E2	BE169	ascla o fragment	quars	410,8	323,3	-824	NE-SW	NE	16	11	3
11235	E2	BE169	ascla o fragment	quars	411,5	321,8	-824,5	NE-SW	SW	21	15	4
11236	E2	BE169	fragment	quars	412,6	313,8	-822,7	NE-SW	SW	22	9	7
11237	E2	BE169	ascla o fragment	filoniana	408,1	311,4	-822,7	-	NW	27	26	11
11238	E2	BE169	fragment	quars	412	312,7	-820,5	-	NE	13	14	6
11239	E2	BE169	fragment	quars	417,5	318,6	-822,9	NE-SW	SW	57	24	19
11240	E2	BE169	ascla o fragment	quars	409,5	319,1	-822,5	NE-SW	NE	18	16	8
11241	E2	BE169	fragment	quars	403,3	322,1	-822,4	N-S	N	25	16	14
11242	E2	BE169	os no determinat	os no determinat	428,3	324,7	-826,5	NE-SW	NE	32	19	8

numero	quadre	TallaMar...	natura1	natura2	xew	yns	z	orientacio	pendent	longitud	amplada	gruix
11243	E2	BE169	indeterminable	os indeterminable	432,8	321,9	-827,4	E-W	W	44	9	5
11244	E2	BE169	ascla o fragment	quars	436,4	316,3	-828,4	-	E	17	14	5
11245	E2	BE169	indeterminable	os indeterminable	431,7	313,8	-827,8	NE-SW	SW	52	13	5
11246	E2	BE169	ascla o fragment	quars	435,5	311,7	-828,2	NE-SW	NE	21	14	7
11247	E2	BE169	indeterminable	os indeterminable	441,1	306,9	-830,6	N-S	S	84	24	15
11248	E2	BE169	indeterminable	os indeterminable	443,1	306,8	-831,3	E-W	W	58	52	14
11249	E2	BE169	ascla o fragment	filoniana	444,7	319,5	-830,2	-	E	16	8	3
11250	E2	BE169	indeterminable	os indeterminable	446,7	325,4	-831,3	NE-SW	SW	38	26	6
11251	E2	BE169	indeterminable	os indeterminable	454,1	321,5	-832,5	NE-SW	NE	33	15	7
11252	E2	BE169	ascla o fragment	quars	457,6	322,8	-832,7	-	NW	22	14	4
11253	E2	BE169	indeterminable	os indeterminable	453,3	327,5	-831,9	E-W	W	33	15	6
11254	E2	BE169	ascla o fragment	quars	451,2	333,5	-830,7	-	-	13	11	5
11255	E2	BE169	ascla o fragment	filoniana	452,7	332,4	-831,7	E-W	E	36	28	6
11256	E2	BE169	indeterminable	os indeterminable	449,5	339,8	-831,7	N-S	N	40	23	8
11257	E2	BE169	ascla o fragment	quars	464,6	330,9	-835,4	E-W	E	21	15	7
11258	E2	BE168	indeterminable	os indeterminable	462,1	306,7	-830,7	N-S	S	49	31	11
11259	E2	BE169	fragment	quars	406,6	304,1	-823,8	N-S	N	32	29	18
11260	E2	BE169	ascla o fragment	quars	401,2	306,7	-821,9	NE-SW	NE	18	13	8
11261	E2	BE169	ascla o fragment	quars	399,3	310,2	-821,9	NE-SW	NE	31	19	13
11262	E2	BE169	ascla o fragment	quars	403,6	315,9	-821,7	NW-SE	SE	19	15	8
11263	E2	BE169	ascla o fragment	filoniana	404	312,4	-824,3	E-W	V	26	20	12
11264	E2	BE169	indeterminable	os indeterminable	404,2	317,4	-824,6	NE-SW	NE	36	21	16
11265	E2	BE169	os no determinat	dent	447,1	329,7	-830,9	NW-SE	NW	23	14	9
11266	E2	BE169	os no determinat	dent	451,7	306,6	-833,3	-	-	25	11	7
11267	E2	BE169	ascla o fragment	quars	459	328	-834,5	NE-SW	NE	33	23	10
11268	E2	BE169	fragment	quars	459,4	326,4	-834,6	-	NW	12	8	8
11269	E2	BE169	indeterminable	os indeterminable	470,8	334,9	-837,5	NE-SW	NE	35	19	11
11270	E2	BE169	indeterminable	os indeterminable	480	338,3	-842,3	NE-SW	NW	30	13	10
11271	E2	BE169	indeterminable	os indeterminable	483,1	338,4	-843,6	NE-SW	SE	46	15	10
11272	E2	BE169	indeterminable	os indeterminable	429,5	306,2	-829	NE-SW	pla	44	16	6
11273	E2	BE169	indeterminable	os indeterminable	423,7	306,7	-826,4	N-S	S	36	12	8
11274	E2	BE169	ascla o fragment	quars	401,8	325,2	-824,4	NW-SE	N	45	36	16
11275	E2	BE169	ascla o fragment	quars	403,5	321,2	-823,4	E-W	VSC	32	17	9
11276	E2	BE169	ascla o fragment	quars	403,4	318,2	-823,3	E-W	E	14	7	6
11277	E2	BE169	ascla o fragment	quars	402,8	316	-823,9	NE-SW	SW	11	6	3
11278	E2	BE169	ascla o fragment	quars	402,9	316	-823,9	NW-SE	SE	18	15	4

numero	quadre	TallaMar...	natura1	natura2	xew	yns	z	orientacio	pendent	longitud	amplada	gruix
11279	E2	BE169	ascla o fragment	quars	402,8	316	-823,9	NW-SE	NW	23	18	5
11280	E2	BE169	ascla o fragment	quars	426,2	307,7	-826,8	-	-	31	12	10
11281	E2	BE169	indeterminable	os indeterminable	436,3	312,6	-830,4	NE-SW	NW	45	20	8
11282	E2	BE169	indeterminable	os indeterminable	488,7	331,9	-844,8	N-S	E	36	16	12
11283	E2	BE169	ascla o fragment	quarsita	399	317,1	-825	NE-SW	NE	35	28	6
11284	E2	BE169	indeterminable	os indeterminable	403,6	317,5	-825,6	NE-SW	NE	35	16	10
11285	E2	BE169	ascla o fragment	quars	401,6	317,1	-825	-	V	50	30	13
11286	E2	BE169	ascla o fragment	quars	402	316,6	-824,8	E-W	VSC	53	40	19
11287	E2	BE169	ascla o fragment	quarsita	400,2	311,6	-822,1	-	pla	19	19	8
11288	E2	BE169	ascla o fragment	corniana	413	313,8	-823	N-S	SW	31	20	5
11289	E2	BE169	ascla o fragment	quars	412,5	311,6	-822,8	E-W	N	21	17	9
11290	E2	BE169	fragment	quarsita	403,5	314,9	-826,4	NW-SE	NW	26	24	12
11291	E2	BE169	fragment	quars	403,9	311,3	-825	N-S	N	13	9	6
11292	E2	BE169	ascla o fragment	quars	403	310,7	-824,3	E-W	E	21	12	8
11293	E2	BE169	ascla o fragment	quars	404,3	307,5	-824,4	N-S	N	33	25	13
11294	E2	BE169	indeterminable	os indeterminable	412,8	308,8	-825,9	NW-SE	SE	31	11	5
11295	E2	BE169	indeterminable	os indeterminable	427,1	315,6	-827,4	NW-SE	SE	30	9	6
11296	E2	BE169	indeterminable	os indeterminable	424,2	313,9	-827,8	NE-SW	SE	55	24	11
11297	E2	BE169	ascla o fragment	filoniana	438,7	334,6	-831	-	-	36	28	7
11298	E2	BE169	ascla o fragment	filoniana	439,8	325,7	-830,3	-	-	52	38	6
11299	E2	BE169	fragment	quars	400,7	329,1	-822,3	NE-SW	SW	36	26	19
11300	E2	BE163	fragment	quars	400,7	333,9	-812,9	N-S	pla	33	26	18
11301	E2	BE169	fragment	quars	401,6	314,9	-826,5	E-W	N	39	32	21
11302	E2	BE169	ascla o fragment	filoniana	402,6	314,9	-826	N-S	N	29	22	7
11303	E2	BE169	fragment	quars	404,7	313,2	-825,5	N-S	S	34	15	11
11304	E2	BE169	fragment	quars	399,6	309,4	-824,5	NW-SE	NW	15	12	6
11305	E2	BE169	ascla o fragment	corniana	402,6	308,9	-823,1	NW-SE	NW	29	23	12
11306	E2	BE169	ascla o fragment	quars	403,9	316,9	-826,6	NW-SE	N	16	11	5
11307	E2	BE169	ascla o fragment	quars	436,3	318,3	-829,6	NE-SW	VSC	15	11	6
11308	E2	BE169	fragment	quars	445,8	321,3	-831,5	-	E	13	7	4
11309	E2	BE169	ascla o fragment	quars	445,5	341,1	-833,6	-	-	30	22	9
11310	E2	BE169	indeterminable	os indeterminable	437,8	324,3	-831,1	N-S	S	35	15	8
11311	E2	BE169	indeterminable	os indeterminable	434,5	324,7	-830,8	N-S	pla	39	24	16
11312	E2	BE169	indeterminable	os indeterminable	440,2	306,5	-830,8	NE-SW	VSC	38	22	7
11313	E2	BE169	indeterminable	os indeterminable	428,8	305,2	-828,4	NW-SE	SE	47	11	5
11314	E2	BE169	indeterminable	os indeterminable	418,7	314,1	-827,8	N-S	S	45	9	5

numero	quadre	TallaMar...	natura1	natura2	xew	yns	z	orientacio	pendent	longitud	amplada	gruix
11315	E2	BE169	indeterminable	os indeterminable	395,2	322,8	-827	N-S	N	38	14	11
11316	E2	BE169	rascadora	sílex o jaspi	404,4	320,6	-827,8	N-S	VSC	26	39	8
11317	E2	BE169	ascla o fragment	quars	406,1	311,6	-823,8	E-W	E	19	17	7
11318	E2	BE169	ascla o fragment	no determinat	403,3	320	-825,7	NW-SE	VSC	53	36	15
11319	E2	BE169	ascla o fragment	quars	448,4	342,8	-833,4	NW-SE	SE	20	16	18
11320	E2	BE169	indeterminable	os indeterminable	446,2	339,6	-831,5	NW-SE	NW	35	17	5
11321	E2	BE169	indeterminable	os indeterminable	439,6	343,2	-830,8	E-W	pla	40	16	7
11322	E2	BE170	ascla o fragment	quars	439,1	339,2	-833,4	-	-	20	18	12
11323	E2	BE170	ascla o fragment	quars	440,9	337	-834,2	-	-	13	11	4
11324	E2	BE169	indeterminable	os indeterminable	442,3	333,8	-831,3	E-W	N	48	22	5
11325	E2	BE169	indeterminable	os indeterminable	443,8	333	-831,6	NE-SW	VSC	33	16	8
11326	E2	BE170	indeterminable	os indeterminable	433,2	331,7	-833,9	NE-SW	VSC	60	27	7
11327	E2	BE169	ascla o fragment	quars	438,8	307	-829,5	-	-	20	11	5
11328	E2	BE169	ascla o fragment	altres	407,2	330	-828,1	E-W	E	40	30	5
11329	E2	BE169	ascla o fragment	quars	408,1	322	-826,1	N-S	N	40	29	7
11330	E2	BE169	indeterminable	os indeterminable	404,8	318,1	-824,9	N-S	N	0	0	
11331	E2	BE169	fragment	quars	402,1	314,9	-824	E-W	N	0	0	
11332	E2	BE169	fragment	quars	407,7	317,6	-824,9	-	-	15	10	4
11333	E2	BE169	indeterminable	os indeterminable	437,5	332,2	-830,5	E-W	W	36	15	5
11334	E2	BE169	fragment	quars	432,9	329,3	-831,2	N-S	N	26	17	13
11335	E2	BE170	fragment	quars	490,7	331,3	-845,7	-	-	23	15	7
11336	E2	BE170	indeterminable	os indeterminable	484,6	336	-846,1	NW-SE	SE	38	9	5
11337	E2	BE170	indeterminable	os indeterminable	483,3	322,3	-844,6	NE-SW	SE	50	27	12
11338	E2	BE170	ascla o fragment	corniana	460,2	330,6	-836,8	NW-SE	NW	49	42	14
11339	E2	BE170	ascla o fragment	quars	456,5	336,1	-836,8	NE-SW	E	23	13	9
11340	E2	BE170	fragment	quars	455,9	333,3	-834,6	-	-	16	11	7
11341	E2	BE170	ascla o fragment	quars	454	342,3	-837	NW-SE	N	41	26	6
11342	E2	BE170	ascla o fragment	quars	444,7	344,3	-834	NW-SE	NW	27	25	6
11343	E2	BE170	ascla o fragment	quars	452	338	-834,9	NW-SE	SE	28	27	13
11344	E2	BE170	indeterminable	os indeterminable	446,2	336,2	-833,6	NW-SE	NW	33	15	5
11345	E2	BE170	ascla o fragment	quars	434,9	333,8	-834,3	-	-	20	17	5
11346	E2	BE170	indeterminable	os indeterminable	445,6	328,1	-833,2	NE-SW	NE	42	14	13
11347	E2	BE170	fragment	quars	438	328	-832,6	E-W	W	30	29	17
11348	E2	BE170	os no determinat	os no determinat	444	330,5	-831,7	NE-SW	NE	36	15	17
11349	E2	BE170	ascla o fragment	quars	434,8	329,2	-834,2	NW-SE	SE	50	37	17
11350	E2	BE170	indeterminable	os indeterminable	424	312,4	-829,5	NE-SW	SW	34	23	12

numero	quadre	TallaMar...	natura1	natura2	xew	yns	z	orientacio	pendent	longitud	amplada	gruix
11351	E2	BE170	indeterminable	os indeterminable	422,6	312	-828,8	N-S	pla	50	14	5
11352	E2	BE170	indeterminable	os indeterminable	414,4	307,4	-829,9	NE-SW	SW	33	14	8
11353	E2	BE170	indeterminable	os indeterminable	415,6	314,1	-829,5	NE-SW	NE	64	21	8
11354	E2	BE170	indeterminable	os indeterminable	417,8	320,9	-831	NW-SE	NW	65	19	16
11355	E2	BE170	fragment	quars	420,8	318,2	-831,3	E-W	V	16	11	3
11356	E2	BE170	indeterminable	os indeterminable	418,6	317,9	-832	N-S	E	37	26	12
11357	E2	BE170	fragment	quars	416,9	319,2	-831,3	NW-SE	SE	18	13	4
11358	E2	BE170	fragment	lidita	410,5	312,2	-829,6	NE-SW	VSC	20	15	8
11359	E2	BE170	indeterminable	os indeterminable	409,9	314,2	-828,8	E-W	E	36	10	6
11360	E2	BE170	ascla o fragment	quars	407,5	319	-828,1	N-S	E	41	28	7
11361	E2	BE170	fragment	quars	405,3	313,6	-827,8	-	pla	19	18	11
11362	E2	BE170	ascla o fragment	filoniana	404,4	309,7	-826	N-S	pla	18	17	5
11363	E2	BE170	os no determinat	os no determinat	404,9	314,2	-828,8		-	31	16	13
11364	E2	BE170	fragment	quars	404	316	-828,5	N-S	VSC	17	7	9
11365	E2	BE170	fragment	quars	401,3	313,7	-827,1	N-S	V	15	10	2
11366	E2	BE170	ascla o fragment	quars	404,2	316,4	-827,2	N-S	V	16	20	1
11367	E2	BE170	ascla o fragment	quars	406,9	316,3	-828,6	NW-SE	VSC	26	11	8
11368	E2	BE170	ascla o fragment	filoniana	404,5	309,9	-822,1	E-W	pla	26	4	6
11369	E2	BE170	ascla o fragment	quars	438,1	328,6	-832,8	E-W	VSC	20	19	3
11370	E2	BE170	ascla o fragment	quarsita	456	336,9	-836,9	NE-SW	VSC	52	39	9
11371	E2	BE170	ascla o fragment	quars	456,9	334,5	-836,8	NE-SW	VSC	28	22	8
11372	E2	BE170	ascla o fragment	quars	450,2	336,9	-834,3	E-W	pla	31	23	9
11373	E2	BE170	ascla o fragment	quars	443,2	336,1	-833,3	N-S	S	39	22	11
11374	E2	BE170	fragment	quars	442,2	343,8	-833,8	NW-SE	VSC	20	16	10
11375	E2	BE170	fragment	quars	448,4	346,6	-835,6	E-W	E	30	25	15
11376	E2	BE170	ascla o fragment	quars	452,5	342,7	-836,5	-	-	13	13	5
11377	E2	BE170	fragment	quars	451,7	346,7	-836,2	E-W	E	27	15	12
11378	E2	BE170	ascla o fragment	quars	454,1	346,2	-836	NE-SW	NE	22	15	9
11379	E2	BE170	ascla o fragment	quars	420,7	320,3	-833,5	N-S	N	36	26	6
11380	E2	BE170	ascla o fragment	quarsita	417,2	320,2	-831,5	-	N	23	19	7
11381	E2	BE170	fragment	quars	415,5	320,6	-830,2	N-S	N	61	26	13
11382	E2	BE170	ascla o fragment	quars	411,7	319,1	-829,2	E-W	VSC	25	18	8
11383	E2	BE170	fragment	quars	412,8	311,5	-829,2	N-S	N	26	22	9
11384	E2	BE170	ascla o fragment	quars	412,6	305,9	-829,4	E-W	E	33	23	8
11385	E2	BE170	indeterminable	os indeterminable	493,9	325,5	-845,3	N-S	E	38	21	8
11386	E2	BE170	os no determinat	dent	485,5	337	-844,3	-	-	56	22	10

numero	quadre	TallaMar...	natura1	natura2	xew	yns	z	orientacio	pendent	longitud	amplada	gruix
11387	E2	BE170	os no determinat	os no determinat	488	337,2	-846	NE-SW	NE	71	35	31
11388	E2	BE170	úrsid	dent	471	341,9	-838,5	-	-	10	5	5
11389	E2	BE170	fragment	quars	451,1	330	-833,3	NE-SW	pla	13	8	3
11390	E2	BE170	fragment	quars	451,1	330,5	-833,7	-	S	11	9	4
11391	E2	BE170	ascla o fragment	quarsita	445,9	328,2	-832,4	NE-SW	NE	21	11	5
11392	E2	BE170	ascla o fragment	quars	445,5	330,3	-831,6	NE-SW	V	25	22	13
11393	E2	BE170	fragment	quars	454,4	331	-835,4	E-W	E	18	16	7
11394	E2	BE170	ascla o fragment	lidita	452,5	331,7	-833,8	NW-SE	SW	35	36	12
11395	E2	BE170	fragment	quars	450,2	341,7	-834,5	N-S	N	11	7	5
11396	E2	BE170	ascla o fragment	quars	446,7	344,7	-834,7	-	-	12	15	3
11397	E2	BE170	ascla o fragment	quars	446,9	341,2	-836,4	N-S	N	28	28	9
11398	E2	BE170	fragment	quars	437,1	325	-833,4	E-W	W	21	12	7
11399	E2	BE170	fragment	quars	444,8	323,9	-831	-	-	14	9	4
11400	E2	BE170	ascla o fragment	filoniana	431,8	310	-828,4	N-S	pla	15	19	5
11401	E2	BE170	fragment	sílex o jaspi	425,2	313	-828,8	E-W	W	19	11	6
11402	E2	BE170	fragment	quars	417,3	307,7	-829,3	NE-SW	NW	23	13	6
11403	E2	BE170	fragment	quars	419,5	314,4	-831	-	-	15	10	4
11404	E2	BE170	indeterminable	os indeterminable	417,3	311,4	-829,3	NW-SE	SE	42	23	16
11405	E2	BE170	ascla o fragment	quars	412,1	313,6	-829,5	NW-SE	E	51	32	11
11406	E2	BE170	ascla o fragment	quars	407,3	311,3	-829,5	-	V	26	32	11
11407	E2	BE170	indeterminable	os indeterminable	404,6	313,9	-827	NW-SE	NW	62	20	8
11408	E2	BE170	indeterminable	os indeterminable	402	309,4	-828	NW-SE	NW	49	28	9
11409	E2	BE170	indeterminable	os indeterminable	402,1	304,9	-825,9	-	-	37	12	8
11410	E2	BE170	ascla o fragment	quarsita	397,4	321,6	-825	NW-SE	NW	20	26	6
11411	E2	BE170	ascla o fragment	quarsita	409,4	313,7	-829,4	-	-	20	24	10
11412	E2	BE170	fragment	quars	406,4	312,7	-829,8	-	-	18	16	.7
11413	E2	BE170	fragment	quars	453,7	332,2	-835	-	E	16	16	14
11414	E2	BE170	fragment	quarsita	450,7	328,6	-834,5	-	-	13	7	5
11415	E2	BE170	ascla o fragment	quars	449,8	326	-833,9	-	-	25	20	8
11416	E2	BE170	ascla o fragment	quars	443,3	330,3	-833,3	-	-	20	8	5
11417	E2	BE170	indeterminable	os indeterminable	442	334,5	-832,6	E-W	E	54	13	6
11418	E2	BE170	ascla o fragment	quars	444,7	315,8	-833,4	E-W	E	40	24	13
11419	E2	BE170	indeterminable	os indeterminable	439,7	317,4	-831,9	E-W	NW	47	22	6
11420	E2	BE170	ascla o fragment	quars	440	322,5	-832,4	NE-SW	pla	31	30	8
11421	E2	BE170	fragment	quars	433,1	321,1	-834,8	-	-	15	12	4
11422	E2	BE170	fragment	quars	433,5	320	-832	-	-	27	15	10

numero	quadre	TallaMar...	natura1	natura2	xew	yns	z	orientacio	pendent	longitud	amplada	gruix
11423	E2	BE170	ascla o fragment	altres	435,7	314,7	-832,2	NW-SE	V	40	18	4
11424	E2	BE170	ascla o fragment	quars	435	311,3	-831,6	-	-	17	15	8
11425	E2	BE170	ascla o fragment	quarsita	430,2	310,6	-831	E-W	W	15	17	4
11426	E2	BE170	fragment	quars	429,7	308,5	-829,4	N-S	pla	23	14	6
11427	E2	BE170	indeterminable	os indeterminable	432,1	317,8	-829,9	NE-SW	NW	40	19	9
11428	E2	BE170	indeterminable	os indeterminable	425,6	321,3	-831,5	NE-SW	V	33	15	7
11429	E2	BE170	indeterminable	os indeterminable	487,7	308,1	-838,5	NW-SE	V	64	15	4
11430	E2	BE170	fragment	quars	411	308,7	-830	-	W	20	15	9
11431	E2	BE179	ascla o fragment	quars	411,1	311,2	-832,2	E-W	NE	40	33	14
11432	E2	BE170	indeterminable	os indeterminable	405,9	309,8	-828,3	NW-SE	pla	37	12	9
11433	E2	BE170	os no determinat	dent	399,2	315,5	-828,7	N-S	S	23	12	9
11434	E2	BE170	indeterminable	os indeterminable	398,7	314,7	-828,9	NE-SW	SW	55	25	6
11435	E2	BE170	ascla o fragment	quars	460,5	318,3	-834,9	-	-	12	7	2
11436	E2	BE170	ascla o fragment	quarsita	455,3	320	-834,5	E-W	pla	27	26	
11437	E2	BE170	indeterminable	os indeterminable	448,1	321,5	-833,6	-	-	32	12	3
11438	E2	BE170	ascla o fragment	quars	446	318,1	-834,8	-	-	35	25	12
11439	E2	BE170	fragment	quars	445	320,9	-833,5	NW-SE	pla	25	19	15
11440	E2	BE170	ascla o fragment	quars	446,2	324,8	-833,6	NW-SE	NW	34	18	9
11441	E2	BE170	fragment	quars	448,1	325,4	-834	E-W	V	34	45	14
11442	E2	BE170	fragment	quars	446,1	326,3	-834	-	-	28	20	12
11443	E2	BE170	fragment	quarsita	449,2	328,5	-833,7	E-W	V	15	13	3
11444	E2	BE170	fragment	quarsita	445,2	334,7	-834,9	-	-	21	14	5
11445	E2	BE170	fragment	quarsita	445,6	330,3	-833,5	E-W	NW	30	12	10
11446	E2	BE179	fragment	quars	439,6	335	-834,4	NW-SE	NW	27	16	11
11447	E2	BE170	ascla o fragment	quarsita	439,6	335,7	-833,9	NW-SE	NW	28	20	8
11448	E2	BE170	ascla o fragment	filoniana	439,4	327,3	-833,3	NW-SE	VSC	66	41	9
11449	E2	BE170	ascla o fragment	quars	439,9	318,3	-833	NW-SE	VSC	33	28	4
11450	E2	BE170	fragment	quars	457,5	335,9	-835,6	NE-SW	NE	16	10	9
11451	E2	BE170	ascla o fragment	quarsita	446,2	343,6	-836,4	-	-	43	24	5
11452	E2	BE170	fragment	quars	452,7	342,4	-835	-	-	20	11	7
11453	E2	BE170	indeterminable	os indeterminable	445,3	318,8	-832,1	NW-SE	NW	36	21	6
11454	E2	BE170	indeterminable	os indeterminable	441,1	319,7	-831,9	NE-SW	NE	46	10	7
11455	E2	BE170	indeterminable	os indeterminable	441,8	314,9	-831,5	E-W	E	44	11	5
11456	E2	BE170	ascla o fragment	quars	435,5	323,9	-832,1	E-W	E	33	23	5
11457	E2	BE170	ascla o fragment	quars	441,9	325,6	-832,6	E-W	E	22	16	5
11458	E2	BE170	ascla o fragment	filoniana	441,6	328,8	-833,2	E-W	N	48	37	13

numero	quadre	TallaMar...	natura1	natura2	xew	yns	z	orientacio	pendent	longitud	amplada	gruix
11459	E2	BE170	ascla o fragment	quars	435,5	319,7	-831,4	N-S	N	39	28	9
11460	E2	BE170	fragment	quars	433,6	309,3	-829,6	E-W	E	27	16	6
11461	E2	BE170	ascla o fragment	quars	426,6	316,4	-831,1	E-W	N	33	26	7
11462	E2	BE170	ascla o fragment	quars	422,3	318	-830,9	-	N	17	14	8
11463	E2	BE170	ascla o fragment	filoniana	416,1	313,4	-831	E-W	N	30	26	10
11464	E2	BE170	ascla o fragment	quars	409,3	312,3	-826,2	N-S	N	38	30	11
11465	E2	BE170	indeterminable	os indeterminable	461,2	305,7	-834,6	NE-SW	NE	47	15	8
11466	E2	BE170	indeterminable	os indeterminable	487,5	335	-845,3	E-W	E	49	12	4
11467	E2	BE170	indeterminable	os indeterminable	478,3	336,9	-842,7	NW-SE	SE	45	11	10
11468	E2	BE170	indeterminable	os indeterminable	474,8	309,7	-841,8	NW-SE	SE	32	19	12
11469	E2	BE170	indeterminable	os indeterminable	462,7	313,1	-838,9	E-W	E	39	30	19
11470	E2	BE170	fragment	quars	459,7	305,7	-836,5	E-W	VSC	30	17	17
11471	E2	BE170	ascla o fragment	quars	446,3	321,9	-834,3	E-W	W	33	22	7
11472	E2	BE170	ascla o fragment	quarsita	449,2	328,4	-834,2	E-W	W	43	26	15
11473	E2	BE170	ascla o fragment	quars	448	334,5	-834,3	E-W	V	30	22	10
11474	E2	BE170	fragment	quars	447,1	336,5	-835,2	E-W	E	19	13	11
11475	E2	BE170	fragment	quars	447	337	-835,1	E-W	W	20	13	6
11476	E2	BE170	ascla o fragment	filoniana	445,1	335,7	-835,9	-	V	36	36	20
11477	E2	BE170	indeterminable	os indeterminable	440,8	323,3	-832,8	-	-	33	13	5
11478	E2	BE170	fragment	quars	433,4	325,9	-833,6	N-S	VSC	24	14	10
11479	E2	BE170	fragment	quars	428,5	324,7	-833,6	NW-SE	NW	23	12	5
11480	E2	BE170	fragment	quars	428,5	324,9	-833,6	NW-SE	SE	19	9	4
11481	E2	BE170	fragment	quars	429,7	325,8	-834,2	E-W	VSC	23	11	8
11482	E2	BE170	fragment	quars	432,4	324,2	-834,1	E-W	VSC	41	22	12
11483	E2	BE170	fragment	quars	432,1	321,4	-832,1	-	V	29	20	17
11484	E2	BE170	indeterminable	os indeterminable	434,1	317,4	-831,7	NW-SE	NW	76	21	9
11485	E2	BE170	indeterminable	os indeterminable	434,4	309	-830,9	NE-SW	NE	46	18	13
11486	E2	BE170	ascla o fragment	quars	423,8	315	-831,8	NE-SW	NE	32	29	18
11487	E2	BE170	indeterminable	os indeterminable	425,5	317,2	-832,4	NW-SE	SE	44	23	10
11488	E2	BE170	indeterminable	os indeterminable	422,5	312,8	-829,9	NE-SW	NE	38	26	17
11489	E2	BE170	indeterminable	os indeterminable	416,9	312,8	-829,3	NE-SW	NE	33	13	7
11490	E2	BE170	indeterminable	os indeterminable	414,5	315,4	-828,8	NW-SE	SE	41	13	9
11491	E2	BE170	ascla o fragment	quars	413,6	321,3	-831,8	E-W	VSC	39	26	12
11492	E2	BE170	ascla o fragment	quars	412,4	316,6	-832	NW-SE	SE	41	37	16
11493	E2	BE171	còdol tallat	calcària	410,4	319,7	-836,5	-	-	73	57	58
11494	E2	BE170	fragment	quars	413,6	320,2	-832,6	-	-	25	22	11

numero	quadre	TallaMar...	natura1	natura2	xew	yns	z	orientacio	pendent	longitud	amplada	gruix
11495	E2	BE170	fragment	quars	413,4	321,3	-832,4	-	-	24	16	10
11496	E2	BE170	fragment	quars	413,4	321,8	-832,5	-	-	30	18	17
11497	E2	BE170	fragment	quars	413,6	322,8	-832,7	-	-	25	21	19
11498	E2	BE170	fragment	quars	413,2	320,3	-832,2	-	-	33	27	16
11499	E2	BE171	ascla o fragment	quars	407,1	321,8	-836,4	E-W	E	35	30	13
11500	E2	BE170	altres	altres	470,7	336,6	-841,4	-	E	39	38	37
11501	E2	BE170	ascla o fragment	filoniana	448,2	339,9	-835,9	NW-SE	SE	44	35	9
11502	E2	BE170	indeterminable	os indeterminable	402	317,4	-830	NE-SW	NE	35	18	8
11503	E2	BE170	indeterminable	os indeterminable	405,8	315,9	-830	NE-SW	N	50	22	7
11504	E2	BE170	indeterminable	os indeterminable	408,4	316,4	-829,3	E-W	E	41	7	5
11505	E2	BE170	fragment	quars	417,3	313,4	-830,7	N-S	NE	16	12	5
11506	E2	BE170	fragment	corniana	416,3	312,9	-830,6	N-S	NE	22	15	7
11507	E2	BE170	ascla o fragment	quars	418,2	316,4	-832,6	NE-SW	NE	22	10	3
11508	E2	BE170	ascla o fragment	quars	419,9	313,8	-831,9	NW-SE	NE	17	16	8
11509	E2	BE170	ascla o fragment	quars	417,3	318,4	-834,6	NE-SW	NE	19	14	5
11510	E2	BE170	ascla o fragment	quars	418,4	318,5	-833,2	NE-SW	NE	27	17	8
11511	E2	BE170	indeterminable	os indeterminable	419,4	319,3	-834,1	NE-SW	NE	39	16	7
11512	E2	BE170	indeterminable	os indeterminable	426,4	318,7	-833,2	NW-SE	NE	38	12	7
11513	E2	BE170	indeterminable	os indeterminable	423,6	320,4	-835,2	NW-SE	NW	33	9	8
11514	E2	BE170	ascla o fragment	quars	426,6	321,5	-835,7	NW-SE	NW	32	24	10
11515	E2	BE170	ascla o fragment	quars	426,3	322,6	-835,5	E-W	E	44	39	21
11516	E2	BE170	fragment	quars	427,9	323,9	-833,9	-	-	11	11	6
11517	E2	BE170	ascla o fragment	quarsita	431,1	320,1	-834,3	E-W	VSC	48	45	19
11518	E2	BE170	ascla o fragment	quarsita	430,7	322	-834,1	E-W	VSC	30	19	10
11519	E2	BE170	ascla o fragment	quars	430,4	319,5	-833,8	NW-SE	VSC	30	26	13
11520	E2	BE170	indeterminable	os indeterminable	426,9	316,9	-832,8	NE-SW	NE	41	7	8
11521	E2	BE170	fragment	quars	429,1	319	-833,4	-	N	21	17	10
11522	E2	BE170	ascla o fragment	quars	428,2	316,9	-831,8	NE-SW	NE	33	24	7
11523	E2	BE170	ascla o fragment	quars	431	317,1	-831,1	-	-	17	15	5
11524	E2	BE170	os no determinat	dent	406,4	317,6	-827,7	-	-	9	6	7
11525	E2	BE170	fragment	quars	448,9	327,1	-834,9	-	N	20	21	12
11526	E2	BE170	ascla o fragment	quars	448,8	331,2	-835,1	E-W	W	23	12	7
11527	E2	BE170	fragment	quars	452,6	329,3	-835	-	W	16	15	13
11528	E2	BE170	ascla o fragment	filoniana	450,4	334,9	-834,3	-	E	41	40	9
11529	E2	BE170	ascla o fragment	quarsita	449,4	337	-835,6	E-W	N	44	38	9
11530	E2	BE170	indeterminable	os indeterminable	445,7	335,5	-835,1	NE-SW	NE	47	9	4

numero	quadre	TallaMar...	natura1	natura2	xew	yns	z	orientacio	pendent	longitud	amplada	gruix
11531	E2	BE170	indeterminable	os indeterminable	443,4	335,4	-834,6	NW-SE	NW	32	11	7
11532	E2	BE170	ascla o fragment	quars	444,3	340	-835,6	NW-SE	NW	32	15	10
11533	E2	BE170	ascla o fragment	filoniana	444,9	341,4	-834,2	-	-	14	12	4
11534	E2	BE170	fragment	quars	445,1	343,3	-836,2	-	-	18	12	6
11535	E2	BE170	ascla o fragment	quars	450,1	339,4	-836	NE-SW	VSC	28	22	11
11536	E2	BE170	ascla o fragment	quars	453,6	337,6	-836,5	E-W	VSC	28	31	8
11537	E2	BE170	ascla o fragment	quars	453,3	336,2	-836,2	N-S	N	24	20	8
11538	E2	BE170	fragment	quars	454	335,7	-836,7	NE-SW	NE	23	16	9
11539	E2	BE170	ascla o fragment	quars	456,6	334,4	-836,3	NE-SW	VSC	34	26	10
11540	E2	BE170	ascla o fragment	quars	453,5	335,8	-836,7	NE-SW	VSC	22	18	6
11541	E2	BE170	indeterminable	os indeterminable	453,4	337,2	-838,3	NW-SE	SE	34	9	8
11542	E2	BE170	indeterminable	os indeterminable	456,2	336,6	-838	N-S	S	38	14	4
11543	E2	BE170	indeterminable	os indeterminable	473,5	333,2	-844,3	NW-SE	SE	44	10	7
11544	E2	BE170	indeterminable	os indeterminable	478,5	327,4	-845,4	NE-SW	S	57	17	13
11545	E2	BE170	indeterminable	os indeterminable	483,1	334,3	-847,8	N-S	S	41	10	4
11546	E2	BE170	indeterminable	os indeterminable	484,1	337,3	-845,3	-	-	32	28	4
11547	E2	BE170	indeterminable	os indeterminable	476,3	324,5	-844,3	NW-SE	NW	0	0	
11548	E2	BE170	indeterminable	os indeterminable	495	309,1	-846,9	-	-	35	19	8
11549	E2	BE171	indeterminable	os indeterminable	415,9	320,3	-836,2	NW-SE	NW	40	23	12
11550	E2	BE170	indeterminable	os indeterminable	418,3	323,5	-834,8	N-S	N	34	11	8
11551	E2	BE170	indeterminable	os indeterminable	409,9	316,4	-829	NW-SE	NW	56	19	10
11552	E2	BE170	indeterminable	os indeterminable	411,3	316,1	-830,2	N-S	N	35	12	4
11553	E2	BE170	indeterminable	os indeterminable	410,3	320,2	-830,3	NE-SW	NE	47	15	20
11554	E2	BE170	ascla o fragment	no determinat	429,3	318,4	-834,9	NE-SW	SW	21	13	6
11555	E2	BE170	ascla o fragment	quars	428,5	316,1	-834,6	NW-SE	NW	23	14	6
11556	E2	BE170	fragment	quars	427,3	319,4	-833,7	NE-SW	N	19	13	8
11557	E2	BE170	ascla o fragment	quars	432,2	317,3	-831,9	E-W	W	13	10	3
11558	E2	BE170	fragment	quars	437,5	320,3	-833,1	N-S	NE	15	6	5
11559	E2	BE170	fragment	quars	430,2	311,1	-830,8	E-W	E	25	10	12
11560	E2	BE170	indeterminable	os indeterminable	416,7	314,4	-830,4	N-S	N	32	10	5
11561	E2	BE170	indeterminable	os indeterminable	441,1	323,9	-834,9	N-S	S	32	12	5
11562	E2	BE170	fragment	quars	437,8	331,2	-835,9	E-W	W	60	43	15
11563	E2	BE170	indeterminable	os indeterminable	405,5	318,6	-829,1	-	-	51	14	7
11564	E2	BE170	ascla o fragment	quars	405,3	318,6	-828,9	-	-	15	11	3
11565	E2	BE170	ascla o fragment	quarsita	405,6	317,8	-829,2	-	-	21	17	4
11566	E2	BE170	ascla o fragment	quarsita	405,2	317,7	-829,1	-	-	42	32	11

numero	quadre	TallaMar...	natura1	natura2	xew	yns	z	orientacio	pendent	longitud	amplada	gruix
11567	E2	BE170	os no determinat	astràgal	406,6	316,6	-829,1	-	-	29	26	18
11568	E2	BE170	ascla o fragment	quars	402	316,2	-828,9	-	-	15	9	4
11569	E2	BE170	ascla o fragment	quars	404,2	316,3	-830,8	-	-	18	13	5
11570	E2	BE170	ascla o fragment	quars	402,1	316,1	-830,7	-	-	31	17	11
11571	E2	BE170	indeterminable	os indeterminable	403,1	316,1	-829	NE-SW	NE	35	19	12
11572	E2	BE170	ascla o fragment	quars	404,2	315,3	-828,8	NE-SW	NE	27	13	10
11573	E2	BE170	ascla o fragment	quarsita	406,3	315,7	-827,7	NE-SW	SW	27	25	10
11574	E2	BE170	ascla o fragment	quars	406,3	317,9	-834,9	NW-SE	VSC	52	38	10
11575	E2	BE170	fragment	quars	408,3	319,6	-834,4	N-S	N	30	29	26
11576	E2	BE170	indeterminable	os indeterminable	409,3	317,8	-835,6	N-S	N	36	12	5
11577	E2	BE170	indeterminable	os indeterminable	408,5	315,6	-834,7	N-S	N	30	23	8
11578	E2	BE170	fragment	quars	410,7	315,6	-833,5	NE-SW	NE	32	26	8
11579	E2	BE170	ascla o fragment	quars	417,6	314,1	-829,9	NE-SW	NE	15	10	4
11580	E2	BE170	fragment	quars	416,5	315,8	-831,8	N-S	N	17	7	5
11581	E2	BE170	fragment	quars	422,2	315,9	-834	E-W	E	18	12	9
11582	E2	BE170	os no determinat	os no determinat	417,6	313,8	-831,2	NW-SE	SW	60	30	11
11583	E2	BE170	ascla o fragment	quarsita	429,3	323,3	-834,8	NE-SW	N	47	29	5
11584	E2	BE170	ascla o fragment	quars	429,5	322,3	-834,7	E-W	N	35	34	13
11585	E2	BE170	ascla o fragment	quars	440,6	341,2	-836,4	NW-SE	NW	25	15	10
11586	E2	BE170	ascla o fragment	quars	434,7	322,4	-835,3	NW-SE	SW	43	27	21
11587	E2	BE170	ascla o fragment	quars	437	327,1	-835	E-W	VSC	18	14	7
11588	E2	BE170	ascla o fragment	quars	446,8	325,7	-835	N-S	N	18	9	6
11589	E2	BE170	ascla o fragment	quars	449,1	324,7	-836	NW-SE	NW	24	17	6
11590	E2	BE170	fragment	quars	452,3	326,8	-836,2	NW-SE	NW	15	12	7
11591	E2	BE170	fragment	quars	448,1	328,9	-835,6	NW-SE	NW	27	16	15
11592	E2	BE170	ascla o fragment	quarsita	445,5	331,1	-836,4	NW-SE	NW	55	43	20
11593	E2	BE170	ascla o fragment	quars	443,1	335,2	-835,7	NW-SE	NW	29	23	12
11594	E2	BE170	fragment	quars	447,5	335,3	-836,7	-	E	13	12	5
11595	E2	BE170	fragment	quars	448,5	334,7	-836	E-W	W	31	22	16
11596	E2	BE170	fragment	quars	445,3	329,2	-836,1	-	-	16	8	5
11597	E2	BE170	ascla o fragment	quars	451,6	337	-836,3	E-W	VSC	32	19	8
11598	E2	BE170	fragment	quarsita	452,5	335,9	-835,9	E-W	E	24	18	13
11599	E2	BE170	ascla o fragment	quars	470,2	343	-841,2	N-S	N	24	17	7
11600	E2	BE170	indeterminable	os indeterminable	475,9	338,6	-845,1	NW-SE	W	53	17	9
11601	E2	BE170	indeterminable	os indeterminable	497,3	336,5	-847,7	E-W	W	36	13	13
11602	E2	BE170	indeterminable	os indeterminable	496,9	331,4	-847,1	NW-SE	W	44	23	7

numero	quadre	TallaMar...	natura1	natura2	xew	yns	z	orientacio	pendent	longitud	amplada	gruix
11603	E2	BE170	os no determinat	dent	478,4	331	-845,5	NE-SW	SE	35	16	9
11604	E2	BE170	os no determinat	os no determinat	478,1	332,5	-844,3	-	-	28	12	5
11605	E2	BE170	os no determinat	os no determinat	480	321,4	-847,2	NW-SE	SW	71	36	24
11606	E2	BE170	indeterminable	os indeterminable	477,8	318,6	-846,9	NW-SE	SE	45	16	8
11607	E2	BE170	indeterminable	os indeterminable	464,6	324,5	-841,5	-	W	42	37	19
11608	E2	BE170	fragment	quars	449,5	336	-837,3	NE-SW	SW	30	25	16
11609	E2	BE170	fragment	quarsita	437,5	318,5	-835,3	N-S	N	26	15	8
11610	E2	BE170	ascla o fragment	quars	440,2	317,9	-835,8	E-W	pla	57	28	10
11611	E2	BE170	ascla o fragment	quarsita	441,9	317,4	-835,6	E-W	E	18	12	6
11612	E2	BE170	fragment	quarsita	442,5	317,2	-835,4	E-W	E	32	16	13
11613	E2	BE170	fragment	quarsita	442,1	323,2	-835,3	-	W	14	16	7
11614	E2	BE170	fragment	quars	434,9	322,5	-835,7	E-W	E	41	31	14
11615	E2	BE170	ascla o fragment	corniana	439,3	322,5	-835,6	E-W	E	46	34	12
11616	E2	BE170	ascla o fragment	quars	442,5	321,6	-836	NE-SW	NW	39	30	13
11617	E2	BE170	ascla o fragment	altres	445,6	330,3	-837,1	N-S	N	29	34	8
11618	E2	BE170	fragment	quars	436,3	324,7	-836,1	N-S	VSC	30	23	16
11619	E2	BE170	fragment	quars	443,2	333,7	-836,8	N-S	VSC	23	15	15
11620	E2	BE170	fragment	quars	446,6	334,7	-837,9	E-W	E	27	15	13
11621	E2	BE170	fragment	quars	447,5	339,8	-837,7	E-W	S	47	20	14
11622	E2	BE170	indeterminable	os indeterminable	460,8	339,1	-839,7	-	NE	39	38	11
11623	E2	BE170	indeterminable	os indeterminable	464,9	337,6	-840,7	NW-SE	VSC	49	18	10
11624	E2	BE170	ascla o fragment	corniana	469,5	335,1	-842,1	N-S	S	48	44	11
11625	E2	BE170	indeterminable	os indeterminable	460,8	317,6	-839,6	N-S	N	45	39	23
11626	E2	BE170	indeterminable	os indeterminable	445,5	318,4	-838,4	NW-SE	NW	44	36	14
11627	E2	BE170	indeterminable	os indeterminable	446,7	317,5	-838,9	NW-SE	VSC	47	25	9
11628	E2	BE171	fragment	quars	497,3	336	-849,2	-	E	22	16	9
11629	E2	BE171	ascla o fragment	quars	477,3	317,4	-848,5	-	W	41	43	14
11630	E2	BE171	indeterminable	os indeterminable	469,9	310,2	-843,7	NW-SE	W	45	16	9
11631	E2	BE171	indeterminable	os indeterminable	471,1	328,5	-846,2	N-S	S	99	57	21
11632	E2	BE171	indeterminable	os indeterminable	472,6	325,5	-844,7	NE-SW	NW	50	14	6
11633	E2	BE171	indeterminable	os indeterminable	469,2	334,1	-844,5	N-S	S	48	13	7
11634	E2	BE171	indeterminable	os indeterminable	453,9	332,2	-839,6	NW-SE	NW	129	22	13
11635	E2	BE171	indeterminable	os indeterminable	448,7	327,4	-839,4	NE-SW	NE	64	21	9
11636	E2	BE171	indeterminable	os indeterminable	451,5	319,6	-839,6	NE-SW	NE	84	56	18
11637	E2	BE171	indeterminable	os indeterminable	449,6	312,7	-836,6	N-S	N	39	7	7
11638	E2	BE171	fragment	quars	444	316,6	-836,1	E-W	E	15	11	7

numero	quadre	TallaMar...	natura1	natura2	xew	yns	z	orientacio	pendent	longitud	amplada	gruix
11639	E2	BE171	ascla o fragment	quars	445,3	327,8	-836,9	NE-SW	NE	33	29	8
11640	E2	BE171	fragment	quars	440	322,2	-836,4	NW-SE	NE	32	21	14
11641	E2	BE171	ascla o fragment	quars	443,2	323,1	-835,5	NE-SW	NE	16	15	4
11642	E2	BE171	ascla o fragment	filoniana	438,2	328,1	-837,5	NW-SE	NW	50	38	14
11643	E2	BE171	fragment	quars	433,9	325	-836,4	N-S	N	33	22	16
11644	E2	BE171	fragment	quars	431,2	317,6	-834	E-W	E	20	12	6
11645	E2	BE171	fragment	quarsita	426,9	314,5	-834,2	E-W	VSC	15	11	6
11646	E2	BE171	fragment	quars	425,5	313,7	-832,2	N-S	N	14	12	4
11647	E2	BE171	indeterminable	os indeterminable	419,7	319,3	-832,8	NE-SW	VSC	36	18	5
11648	E2	BE171	fragment de còdol	quars	422,8	323,2	-835,5	N-S	N	32	27	11
11649	E2	BE171	indeterminable	os indeterminable	472,6	336,6	-846,4	E-W	S	71	29	17
11650	E2	BE171	indeterminable	os indeterminable	470,9	333,5	-846,3	N-S	N	41	17	7
11651	E2	BE171	indeterminable	os indeterminable	463,6	328,2	-844,8	N-S	W	136	25	9
11652	E2	BE171	fragment	quars	465,9	316,3	-843,1	-	SE	41	39	23
11653	E2	BE171	fragment	quars	456	330,3	-839,5	E-W	E	19	11	4
11654	E2	BE171	indeterminable	os indeterminable	453,8	334,8	-838,8	NW-SE	NW	0	0	
11655	E2	BE171	ascla o fragment	quars	453	342,7	-838,8	NW-SE	NW	51	37	10
11656	E2	BE171	ascla o fragment	quars	446,5	339	-838	NW-SE	NW	26	12	7
11657	E2	BE171	fragment	quars	447,2	341,7	-837,5	-	-	22	22	13
11658	E2	BE171	fragment	quars	445	336,9	-837,2	NW-SE	NW	36	21	18
11659	E2	BE171	fragment	quars	439,8	333,2	-836,7	NE-SW	NE	20	14	8
11660	E2	BE171	ascla o fragment	quarsita	439,8	328,4	-836,4	NW-SE	NW	41	36	10
11661	E2	BE171	ascla o fragment	quars	438,6	328,3	-837,3	-	V	17	11	4
11662	E2	BE171	ascla o fragment	quars	444,4	328,3	-836,6	NW-SE	NW	25	18	12
11663	E2	BE171	fragment	quars	448	331,4	-839,7	E-W	E	21	10	8
11664	E2	BE171	indeterminable	os indeterminable	449,6	332,6	-839,8	NE-SW	E	49	22	7
11665	E2	BE171	ascla o fragment	quarsita	452,3	320,6	-839,5	NW-SE	NW	39	32	7
11666	E2	BE171	fragment	quars	444,2	323,5	-836,2	-	-	16	14	8
11667	E2	BE171	fragment	quars	438,6	319,4	-837,2	-	E	46	45	29
11668	E2	BE171	ascla o fragment	quars	428	329,5	-836,2	NW-SE	NW	31	16	10
11669	E2	BE171	fragment	quars	428,3	322,9	-834,7	-	N	19	18	13
11670	E2	BE171	fragment	quars	433	322,8	-834,5	E-W	E	19	11	5
11671	E2	BE171	os no determinat	dent	432,8	324,4	-834,3	-	-	11	9	2
11672	E2	BE171	ascla o fragment	quars	423,1	317,1	-832,8	-	N	17	17	4
11673	E2	BE171	fragment	quars	421,1	319,7	-834,1	E-W	VSC	13	12	5
11674	E2	BE171	fragment	quars	421,8	319	-833,7	E-W	VSC	22	19	10

numero	quadre	TallaMar...	natura1	natura2	xew	yns	z	orientacio	pendent	longitud	amplada	gruix
11675	E2	BE171	fragment	quars	424,1	322,9	-835,7	N-S	N	36	26	19
11676	E2	BE171	ascla o fragment	sorrenca	417,4	319,1	-834,8	-	N	40	37	10
11677	E2	BE171	indeterminable	os indeterminable	418,5	321,5	-833,1	E-W	E	57	7	5
11678	E2	BE171	indeterminable	os indeterminable	417,9	316,2	-831,6	NW-SE	NW	62	11	5
11679	E2	BE171	ascla o fragment	quars	416	316,6	-835,3	N-S	N	37	25	8
11680	E2	BE171	fragment	quarsita	409,3	316,3	-829,4	-	E	16	14	4
11681	E2	BE171	ascla o fragment	filoniana	425,4	320,5	-836,1	-	-	32	17	3
11682	E2	BE171	indeterminable	os indeterminable	410,4	316,1	-830,2	-	-	39	11	7
11683	E2	BE171	fragment	quars	412,1	315,8	-830	NW-SE	SE	22	13	16
11684	E2	BE171	indeterminable	os indeterminable	481	334,4	-846	E-W	E	42	12	9
11685	E2	BE171	indeterminable	os indeterminable	480,7	314,6	-849,5	NW-SE	SE	40	20	8
11686	E2	BE171	indeterminable	os indeterminable	478,8	312,1	-846,6	NW-SE	NW	53	22	14
11687	E2	BE171	indeterminable	os indeterminable	465,2	311,4	-842,3	-	SE	35	32	16
11688	E2	BE171	indeterminable	os indeterminable	458,2	331,3	-841,6	NW-SE	VSC	40	26	13
11689	E2	BE171	ascla o fragment	quars	444,1	338,5	-837,5	NW-SE	SE	21	15	8
11690	E2	BE171	indeterminable	os indeterminable	445,1	333,8	-840,6	NW-SE	NW	84	23	10
11691	E2	BE171	fragment	quars	445,6	331,6	-837,9	NW-SE	NW	18	12	6
11692	E2	BE171	ascla o fragment	quars	439,2	331,3	-837,3	NW-SE	NW	34	17	8
11693	E2	BE171	fragment	quars	436,2	329,1	-836,8	NE-SW	NW	25	21	12
11694	E2	BE171	ascla o fragment	quars	437,1	326,3	-836,8	NW-SE	NW	47	33	10
11695	E2	BE171	fragment	quars	437,3	322	-836,8	NE-SW	VSC	23	11	7
11696	E2	BE171	ascla o fragment	corniana	439,8	323,1	-836,8	-	-	30	26	9
11697	E2	BE171	indeterminable	os indeterminable	433,5	319,7	-835,8	NW-SE	SE	34	29	15
11698	E2	BE171	ascla o fragment	filoniana	432,6	322,4	-835,1	NE-SW	NE	24	18	7
11699	E2	BE171	ascla o fragment	quars	428	321,6	-835,3	NW-SE	W	22	20	9
11700	E2	BE171	ascla o fragment	quarsita	424,3	319,5	-835,8	NE-SW	VSC	21	16	5
11701	E2	BE171	fragment	quarsita	423,1	319	-834,2	NE-SW	NE	20	17	8
11702	E2	BE171	ascla o fragment	sorrenca	418,1	316	-834,6	N-S	VSC	29	19	5
11703	E2	BE171	fragment	quars	418,7	316,7	-835,1	N-S	VSC	21	19	11
11704	E2	BE171	ascla o fragment	quars	412,6	317	-835,4	N-S	N	30	16	10
11705	E2	BE171	fragment	quars	414,9	319,6	-835,5	-	E	20	18	15
11706	E2	BE171	ascla o fragment	quars	414,7	316,2	-833,5	N-S	N	24	22	6
11707	E2	BE171	carnívor	metàpode	408,5	317,1	-834,6	N-S	N	91	44	22
11708	E2	BE171	indeterminable	os indeterminable	416,9	317,6	-831,4	N-S	VSC	43	16	5
11709	E2	BE171	fragment	quars	409,7	319,7	-829,8	NE-SW	NE	28	24	13
11710	E2	BE171	ascla o fragment	quars	477,1	341,5	-848,2	-	-	33	19	7

numero	quadre	TallaMar...	natura1	natura2	xew	yns	z	orientacio	pendent	longitud	amplada	gruix
11711	E2	BE171	indeterminable	os indeterminable	471	343,8	-844,3	N-S	E	93	19	5
11712	E2	BE171	indeterminable	os indeterminable	466,1	339,3	-845,8	N-S	N	31	14	5
11713	E2	BE171	ascla o fragment	quars	458,1	333,7	-841,4	-	N	30	28	7
11714	E2	BE171	indeterminable	os indeterminable	479,4	311,6	-847,6	NE-SW	NE	43	10	4
11715	E2	BE171	indeterminable	os indeterminable	471,7	311,7	-845,2	NE-SW	NE	41	17	8
11716	E2	BE171	indeterminable	os indeterminable	467,8	310,5	-843,6	NE-SW	NE	38	11	8
11717	E2	BE171	ascla o fragment	quarsita	461,7	316,2	-842,6	NE-SW	NE	35	22	8
11718	E2	BE171	indeterminable	os indeterminable	452,3	311,8	-839,1	-	-	34	23	7
11719	E2	BE171	ascla o fragment	quarsita	444,1	314,6	-837,8	N-S	N	47	37	13
11720	E2	BE171	ascla o fragment	quarsita	438,4	318,2	-837,8	NW-SE	pla	28	26	10
11721	E2	BE171	indeterminable	os indeterminable	438,3	332,9	-838,5	N-S	pla	46	9	5
11722	E2	BE171	fragment	quars	431,5	327,1	-837,8	NE-SW	NE	19	11	5
11723	E2	BE171	fragment	quars	433,2	328	-837,4	N-S	N	23	16	10
11724	E2	BE171	ascla o fragment	quarsita	433,8	325,5	-837,8	N-S	N	31	16	7
11725	E2	BE171	ascla o fragment	quars	425,8	317,7	-837,7	-	N	26	21	8
11726	E2	BE171	ascla o fragment	quars	431,4	319	-837,3	N-S	N	15	12	4
11727	E2	BE171	fragment	quars	429,6	315,6	-835,8	N-S	N	32	16	10
11728	E2	BE171	ascla o fragment	filoniana	427,4	314,9	-835,2	N-S	N	25	20	7
11729	E2	BE171	ascla o fragment	altres	422,7	319,1	-836,1	N-S	N	37	26	12
11730	E2	BE171	indeterminable	os indeterminable	419,2	318,4	-836,3	-	-	36	8	6
11731	E2	BE171	fragment	quars	419,6	318,4	-835,9	-	-	25	18	13
11732	E2	BE171	indeterminable	os indeterminable	425	316,5	-836,3	E-W	V	33	10	6
11733	E2	BE171	fragment	quars	421,6	315,3	-833,9	-	-	22	15	10
11734	E2	BE171	indeterminable	os indeterminable	419,8	317	-832,6	NE-SW	NW	62	39	16
11735	E2	BE171	fragment	quars	413,2	319,7	-834	N-S	N	22	24	13
11736	E2	BE171	fragment	quars	412,2	317,1	-833	N-S	N	32	28	19
11737	E2	BE171	fragment	quars	417	317,1	-834,5	-	-	27	16	11
11738	E2	BE171	fragment	quars	411,7	323	-837,6	N-S	N	38	31	14
11739	E2	BE171	fragment	quars	408,9	317,4	-832,9	-	-	19	12	7
11740	E2	BE171	indeterminable	os indeterminable	469,9	336	-845,1	E-W	W	35	20	13
11741	E2	BE171	ascla o fragment	filoniana	403,9	317,8	-834,6	NW-SE	SE	47	22	12
11742	E2	BE171	fragment	quars	404,9	317,6	-833,5	-	-	28	13	10
11743	E2	BE171	fragment	quars	405	317,6	-833,6	-	-	20	10	7
11744	E2	BE171	indeterminable	os indeterminable	409	317,7	-836	E-W	VSC	39	14	16
11745	E2	BE171	fragment	quars	411,4	320,2	-837,5	-	N	20	16	12
11746	E2	BE171	indeterminable	os indeterminable	412,7	318,7	-837,9	N-S	N	51	11	4

numero	quadre	TallaMar...	natura1	natura2	xew	yns	z	orientacio	pendent	longitud	amplada	gruix
11747	E2	BE171	ascla o fragment	filoniana	413,5	317,4	-836,4	-	N	33	37	10
11748	E2	BE171	indeterminable	os indeterminable	415,4	318,9	-835,2	E-W	W	34	6	7
11749	E2	BE171	ascla o fragment	quars	415,3	318,6	-837,3	NW-SE	VSC	34	25	13
11750	E2	BE171	indeterminable	os indeterminable	417,1	319,2	-837,5	N-S	N	57	22	9
11751	E2	BE171	ascla o fragment	quars	421,8	318	-836,6	-	N	24	23	8
11752	E2	BE171	ascla o fragment	quars	422	316,7	-836	-	N	20	16	9
11753	E2	BE171	ascla o fragment	quars	419	315,5	-833,9	NW-SE	NW	27	18	8
11754	E2	BE171	ascla o fragment	quars	430	316,5	-836,9	-	N	18	16	9
11755	E2	BE171	indeterminable	os indeterminable	435,6	322	-840,7	N-S	S	70	15	8
11756	E2	BE171	indeterminable	os indeterminable	439	317,3	-840,3	NE-SW	SW	65	29	16
11757	E2	BE171	indeterminable	os indeterminable	437,2	336,6	-840,6	NE-SW	NE	40	8	6
11758	E2	BE171	ascla o fragment	altres	444,7	320,9	-841,4	NW-SE	NW	32	36	17
11759	E2	BE171	ascla o fragment	quars	452,2	339	-841,3	-	-	21	15	6
11760	E2	BE171	ascla o fragment	quars	455,8	335,6	-842	N-S	N	21	14	
11761	E2	BE171	fragment	quars	460,1	333	-841,5	NE-SW	NE	29	20	13
11762	E2	BE171	fragment	quars	458,2	330,7	-842,4	-	-	15	11	6
11763	E2	BE171	ascla o fragment	quars	454,1	330,1	-842,6	E-W	E	42	38	15
11764	E2	BE171	ascla o fragment	quars	455	319,4	-842,3	N-S	pla	16	12	4
11765	E2	BE171	indeterminable	os indeterminable	454,7	312,2	-840,8	N-S	N	41	19	10
11766	E2	BE171	fragment	quars	479,9	338,3	-849	N-S	N	17	11	6
11767	E2	BE171	fragment	quars	472,8	342,4	-848,3	-	-	24	21	7
11768	E2	BE171	ascla o fragment	corniana	462,9	347,3	-844,9	N-S	pla	42	25	9
11769	E2	BE171	ascla o fragment	quars	464,8	339,8	-843,9	-	W	30	28	13
11770	E2	BE171	ascla o fragment	corniana	462,9	335,9	-843,8	E-W	pla	48	31	11
11771	E2	BE171	fragment	quars	461	341,1	-842,7	N-S	SW	34	15	10
11772	E2	BE171	indeterminable	os indeterminable	456,1	339,5	-843	NE-SW	SW	66	13	7
11773	E2	BE171	indeterminable	os indeterminable	454,7	341	-843	NE-SW	VSC	39	23	11
11774	E2	BE171	ascla o fragment	quars	452,5	338	-841,2	-	-	30	23	11
11775	E2	BE171	indeterminable	os indeterminable	454,4	339,3	-843	-	-	62	20	8
11776	E2	BE171	ascla o fragment	quars	451,3	336,5	-842,9	-	-	35	22	6
11777	E2	BE171	conill o llebre	mandibula	440,4	336,6	-841,2	NE-SW	SW	37	10	
11778	E2	BE171	indeterminable	os indeterminable	451,5	323,1	-842,2	NE-SW	W	50	11	7
11779	E2	BE171	indeterminable	os indeterminable	473,5	310,5	-848,2	N-S	N	36	14	8
11780	E2	BE171	indeterminable	os indeterminable	464,1	316,6	-846,4	N-S	N	42	13	7
11781	E2	BE171	indeterminable	os indeterminable	467	318,7	-845,9	N-S	VSC	56	26	8
11782	E2	BE171	indeterminable	os indeterminable	450,2	313,2	-842,1	E-W	W	51	9	6

numero	quadre	TallaMar...	natura1	natura2	xew	yns	z	orientacio	pendent	longitud	amplada	gruix
11783	E2	BE171	ascla o fragment	quars	442,8	314,1	-840,7	-	-	39	14	4
11784	E2	BE171	fragment	quars	440,2	314,5	-840,8	-	-	22	14	12
11785	E2	BE171	indeterminable	os indeterminable	439,9	316,1	-840,6	E-W	E	39	17	6
11786	E2	BE171	indeterminable	os indeterminable	429,7	317,8	-839,6	N-S	N	35	23	10
11787	E2	BE171	fragment	quars	427,9	320,8	-839,2	N-S	VSC	26	20	13
11788	E2	BE171	fragment	quars	426,6	323,7	-839,7	E-W	V	26	18	10
11789	E2	BE171	fragment	quars	423,9	322	-839,4	NW-SE	E	40	24	20
11790	E2	BE171	ascla o fragment	quarsita	421,6	323,5	-839	N-S	N	35	24	10
11791	E2	BE171	ascla o fragment	quarsita	429,3	319,6	-839	-	V	44	38	19
11792	E2	BE171	fragment	quars	422,1	317,2	-837,4	-	-	18	15	11
11793	E2	BE171	ascla o fragment	quars	423,5	312,6	-833,7	N-S	N	41	27	17
11794	E2	BE171	ascla o fragment	quars	418,3	310,2	-833,5	E-W	SE	39	25	10
11795	E2	BE171	indeterminable	os indeterminable	420,3	315,9	-834,1	E-W	NW	41	20	6
11796	E2	BE171	ascla o fragment	quars	420,6	318,6	-835,5	NE-SW	NE	24	15	9
11797	E2	BE171	ascla o fragment	corniana	412	318,4	-836	E-W	E	34	24	9
11798	E2	BE174	fragment	quars	405,4	319,2	-834,7	N-S	S	27	17	7
11799	E2	BE171	ascla o fragment	quars	408,8	313,9	-834,1	-	V	39	30	7
11800	E2	BE171	fragment	quars	410,9	314,2	-834,2	-	-	17	9	8
11801	E2	BE171	ascla o fragment	quars	411,4	319,6	-834,8	NW-SE	NW	21	13	6
11802	E2	BE171	fragment	quars	416,8	315,4	-834,6	NW-SE	NW	19	11	9
11803	E2	BE171	ascla o fragment	filoniana	412,4	318,4	-835,7	N-S	NE	36	26	6
11804	E2	BE171	ascla o fragment	quars	475,8	305,8	-851,5	N-S	N	35	22	12
11805	E2	BE171	ascla o fragment	quars	477,7	309,4	-849,5	NE-SW	NE	24	20	8
11806	E2	BE171	au	os no determinat	453	325,6	-844,3	NE-SW	SW	38	9	4
11807	E2	BE171	indeterminable	os indeterminable	460,2	328,9	-845,2	NW-SE	NW	35	22	7
11808	E2	BE171	fragment	quars	463,1	336,3	-846,7	NE-SW	VSC	26	19	13
11809	E2	BE171	fragment	quars	462,1	340	-844,8	NE-SW	NE	18	13	5
11810	E2	BE171	indeterminable	os indeterminable	458,2	339,1	-845,3	NE-SW	SW	63	20	15
11811	E2	BE171	indeterminable	os indeterminable	457,1	342,1	-844,6	NE-SW	NE	52	11	10
11812	E2	BE171	gran bòvid	dent	456,6	335,7	-844,7	-	V	45	29	26
11813	E2	BE171	indeterminable	os indeterminable	453,4	335,2	-843,2	N-S	VSC	43	23	9
11814	E2	BE171	indeterminable	os indeterminable	451,5	337,4	-843,9	NW-SE	NE	56	15	13
11815	E2	BE171	ascla o fragment	quarsita	451,6	333,7	-845,1	-	-	26	20	8
11816	E2	BE171	fragment	quars	451,1	333,4	-844,9	N-S	N	27	20	16
11817	E2	BE171	ascla o fragment	quars	446,9	334,4	-845,1	NW-SE	NW	42	26	14
11818	E2	BE171	ascla o fragment	quars	447,1	336,9	-845	-	V	41	32	11

numero	quadre	TallaMar...	natura1	natura2	xew	yns	z	orientacio	pendent	longitud	amplada	gruix
11819	E2	BE171	ascla o fragment	quars	442,7	341,3	-842,6	-	-	37	17	12
11820	E2	BE171	indeterminable	os indeterminable	432,3	325,7	-843	NE-SW	NE	68	24	8
11821	E2	BE171	indeterminable	os indeterminable	452,4	334,2	-844,8	NE-SW	SW	45	11	7
11822	E2	BE171	fragment	quars	457,4	334,7	-845,9	NW-SE	NW	39	29	18
11823	E2	BE171	conill o llebre	vèrtebra	436,8	332,1	-842,7	-	-	14	11	10
11824	E2	BE171	ascla o fragment	calcària	435,6	332,1	-843,8	N-S	N	31	22	8
11825	E2	BE171	ascla o fragment	quars	440,5	323,4	-842	-	E	35	35	16
11826	E2	BE171	ascla o fragment	quars	436,2	319,2	-840,6	E-W	W	42	15	8
11827	E2	BE171	indeterminable	os indeterminable	432,1	321,4	-840,9	NE-SW	NE	52	24	15
11828	E2	BE171	ascla o fragment	quars	429,3	322,9	-839,3	NE-SW	SW	24	15	10
11829	E2	BE171	fragment	quars	424,1	324,4	-840,1	NE-SW	NE	33	20	16
11830	E2	BE171	ascla o fragment	quars	428,6	318,6	-839,4	N-S	N	24	18	6
11831	E2	BE171	plaqueta o similars	sorrenca	428,2	312,4	-837,9	-	N	43	42	6
11832	E2	BE171	ascla o fragment	quars	419,6	322,2	-840,1	-	N	35	39	11
11833	E2	BE171	fragment	quars	416,2	320,2	-839,6	N-S	N	30	17	15
11834	E2	BE171	fragment	quars	421,4	317,1	-837,9	NE-SW	NE	20	11	7
11835	E2	BE171	fragment	quars	418,6	317,9	-838,7	NE-SW	NW	29	25	16
11836	E2	BE171	ascla o fragment	lidita	415,8	311,8	-836,5	-	N	28	28	11
11837	E2	BE171	ascla o fragment	corniana	413,4	316,8	-836,7	-	NE	54	47	11
11838	E2	BE171	fragment	quars	414,3	318,1	-838,2	E-W	E	40	26	15
11839	E2	BE171	ascla o fragment	filoniana	418,3	318,8	-839,4	NE-SW	NE	45	29	10
11840	E2	BE171	plaqueta o similars	sorrenca	494,8	325,1	-849,5	N-S	W	95	71	21
11841	E2	BE171	plaqueta o similars	sorrenca	470,4	328,8	-849,7	NW-SE	NW	85	58	15
11842	E2	BE171	ascla o fragment	quarsita	444,6	330,9	-845,7	N-S	S	54	57	16
11843	E2	BE171	os no determinat	os no determinat	448,6	306,2	-844	N-S	S	33	22	13
11844	E2	BE171	cavall o ase	dent	433,4	314,3	-844,3	N-S	S	54	15	12
11845	E2	BE171	ascla o fragment	quars	432	319,8	-842,3	N-S	S	40	21	8
11846	E2	BE171	ascla o fragment	quars	423,1	317,6	-841	NW-SE	NW	29	23	11
11847	E2	BE171	indeterminable	os indeterminable	427,3	313,2	-840,2	NE-SW	VSC	39	26	6
11848	E2	BE171	fragment	quars	494,8	325,6	-855,2	N-S	N	25	17	11
11849	E2	BE171	indeterminable	os indeterminable	485,9	326,8	-853,4	E-W	E	40	20	8
11850	E2	BE171	indeterminable	os indeterminable	485,7	321,4	-854,6	NE-SW	NE	45	14	4
11851	E2	BE171	indeterminable	os indeterminable	483	319,9	-854,7	E-W	VSC	50	25	8
11852	E2	BE171	indeterminable	os indeterminable	478	323,4	-854,8	NE-SW	VSC	44	21	7
11853	E2	BE171	indeterminable	os indeterminable	463,3	339,5	-847,8	NW-SE	pla	49	22	7
11854	E2	BE171	fragment	quarsita	458,3	340,3	-847,1	NE-SW	pla	28	22	14

numero	quadre	TallaMar...	natura1	natura2	xew	yns	z	orientacio	pendent	longitud	amplada	gruix
11855	E2	BE171	au	os no determinat	458,6	343,7	-847,5	NE-SW	NE	36	9	7
11856	E2	BE171	fragment	quars	457	332,2	-846,1	NE-SW	pla	18	14	9
11857	E2	BE171	ascla o fragment	quarsita	453,3	332,6	-845,7	NW-SE	SE	37	28	7
11858	E2	BE171	ascla o fragment	filoniana	452,6	336,5	-846,2	N-S	pla	47	37	13
11859	E2	BE171	fragment	quars	462,5	323	-848,7	-	-	19	12	8
11860	E2	BE172	indeterminable	os indeterminable	432,8	330,4	-846,3	E-W	W	112	48	14
11861	E2	BE171	indeterminable	os indeterminable	477,7	319,9	-855,2	E-W	W	60	30	8
11862	E2	BE171	indeterminable	os indeterminable	476,5	315,4	-852,6	NW-SE	NW	102	32	11
11863	E2	BE171	indeterminable	os indeterminable	473,5	321,3	-851,8	E-W	E	70	11	7
11864	E2	BE171	indeterminable	os indeterminable	472,3	322,3	-853,1	E-W	E	51	16	11
11865	E2	BE171	indeterminable	os indeterminable	474,1	325,8	-852,9	N-S	S	56	26	9
11866	E2	BE171	indeterminable	os indeterminable	464,8	318,7	-850,2	E-W	E	45	20	6
11867	E2	BE171	fragment	sorrenca	455,3	321,8	-845,8	N-S	N	107	29	14
11868	E2	BE171	indeterminable	os indeterminable	447,5	336,7	-847,4	N-S	N	55	33	21
11869	E2	BE171	indeterminable	os indeterminable	435,4	317	-843,5	NW-SE	NW	42	14	8
11870	E2	BE171	ascla o fragment	quars	456,3	335,1	-848,3	-	-	36	32	15
11871	E2	BE171	ascla o fragment	quars	457	313,3	-848,1	N-S	N	29	16	8
11872	E2	BE170	ascla o fragment	quars	459,1	320,9	-849	E-W	E	35	30	9
11873	E2	BE170	fragment	quars	449,3	321,1	-847	-	-	41	20	9
11874	E2	BE171	indeterminable	os indeterminable	431,4	319,4	-842,7	N-S	N	70	26	20
11875	E2	BE171	indeterminable	os indeterminable	434,9	314,6	-843	E-W	NW	46	25	20
11876	E2	BE171	indeterminable	os indeterminable	436,4	314,4	-842,9	E-W	W	41	25	12
11877	E2	BE171	au	os no determinat	434,7	320,9	-844	N-S	pla	36	5	4
11878	E2	BE171	ascla o fragment	quars	436,2	334,8	-845,5	NW-SE	NW	32	22	11
11879	E2	BE171	indeterminable	os indeterminable	446,9	337	-846,3	NE-SW	NE	51	18	4
11880	E2	BE171	fragment	quars	446,2	333,7	-845,6	-	NE	27	25	13
11881	E2	BE171	indeterminable	os indeterminable	442,1	329,1	-843,3	NE-SW	NE	44	15	9
11882	E2	BE171	fragment	quars	443,5	323	-844	NE-SW	SW	25	11	7
11883	E2	BE171	fragment	quars	442,6	318,2	-844,7	-	NW	18	12	10
11884	E2	BE171	indeterminable	os indeterminable	445,9	316,7	-845,5	NE-SW	pla	49	10	5
11885	E2	BE171	fragment	quars	450,7	315	-845,2	E-W	E	17	10	6
11886	E2	BE171	ascla o fragment	quars	451,1	310,7	-845,9	E-W	E	49	32	16
11887	E2	BE171	ascla o fragment	quars	461	313,9	-847,8	-	NE	30	30	9
11888	E2	BE171	ascla o fragment	quars	462,8	308,5	-844,4	-	V	28	24	9
11889	E2	BE171	fragment	quars	477,8	313,9	-854,3	-	-	21	14	10
11890	E2	BE171	os no determinat	os no determinat	473,3	332,7	-852,2	E-W	W	65	20	10

numero	quadre	TallaMar...	natura1	natura2	xew	yns	z	orientacio	pendent	longitud	amplada	gruix
11891	E2	BE171	conill o llebre	dent	437,7	331,9	-843	NE-SW	VSC	18	3	2
11892	E2	BE171	fragment	quars	494,4	310,7	-856,4	-	NW	34	24	16
11893	E2	BE171	ascla o fragment	quars	451,1	311,6	-846,6	N-S	N	26	15	5
11894	E2	BE171	indeterminable	os indeterminable	440,8	317,5	-845,2	NE-SW	NW	65	14	4
11895	E2	BE171	indeterminable	os indeterminable	443	321,6	-844,7	NW-SE	SE	35	22	11
11896	E2	BE171	ascla o fragment	quarsita	441,9	325,1	-845,5	E-W	VSC	32	29	6
11897	E2	BE172	indeterminable	os no determinat	494,8	330,9	-854,4	-	-	42	27	11
11898	E2	BE172	fragment	quars	495,5	324,2	-854,6	-	W	13	11	3
11899	E2	BE172	ascla o fragment	quars	484,3	310,6	-856,2	NW-SE	NW	19	14	6
11900	E2	BE172	conill o llebre	metàpode	475	309,3	-854,5	E-W	VSC	29	13	6
11901	E2	BE172	indeterminable	os indeterminable	477,1	317,9	-855,4	NW-SE	E	34	15	7
11902	E2	BE172	indeterminable	os indeterminable	477,1	326,4	-854,1	NE-SW	NE	85	35	20
11903	E2	BE172	indeterminable	os indeterminable	472,8	325,1	-853,3	E-W	W	55	21	11
11904	E2	BE172	indeterminable	os indeterminable	466,5	319,7	-853,3	E-W	NW	59	22	8
11905	E2	BE172	fragment de còdol	calcària	443,6	340	-848,2	NW-SE	NW	93	77	60
11906	E2	BE172	ascla o fragment	quars	444,1	318,2	-847,2	-	V	39	33	11
11907	E2	BE172	ascla o fragment	quars	447,4	312,5	-846,2	N-S	S	21	11	6
11908	E2	BE172	ascla o fragment	quars	444,4	314,2	-845,7	-	-	19	15	16
11909	E2	BE172	cavall o ase	dent	435,4	321,4	-845,7	N-S	-	57	18	15
11911	E2	BE172	indeterminable	os indeterminable	430,9	316,3	-842,7	-	E	35	25	11
11912	E2	BE172	indeterminable	os no determinat	425,5	315	-839,7	NE-SW	pla	31	12	3
11913	E2	BE172	fragment	quars	422,4	313,3	-839,8	-	NW	17	16	11
11914	E2	BE172	indeterminable	os no determinat	424,6	313,3	-839,8	E-W	pla	32	12	5
11915	E2	BE172	indeterminable	os indeterminable	421,6	316,6	-839,7	E-W	pla	35	15	6
11916	E2	BE172	fragment	quars	417,8	313,8	-837,2	-	E	24	23	9
11917	E2	BE172	ascla o fragment	quars	415,1	321,7	-837,4	E-W	NE	25	15	6
11918	E2	BE172	ascla o fragment	quars	417,1	315	-837,1	E-W	E	18	15	3
11919	E2	BE172	fragment de còdol	filoniana	412,3	315,4	-835,3	-	V	26	21	5
11920	E2	BE172	fragment	quars	411	320,3	-835,5	E-W	E	19	16	6
11921	E2	BE172	indeterminable	os indeterminable	494,4	332,4	-855,4	NW-SE	NW	44	32	6
11922	E2	BE172	fragment	quars	477,5	338	-853,9	-	-	18	17	15
11923	E2	BE172	indeterminable	os indeterminable	464	334,5	-851,5	NE-SW	VSC	46	25	8
11924	E2	BE172	indeterminable	os indeterminable	463,1	343	-850,4	NE-SW	NE	39	16	5
11925	E2	BE172	indeterminable	os indeterminable	475,2	313,2	-855,1	NE-SW	pla	40	14	6
11926	E2	BE172	indeterminable	os indeterminable	478,9	315,1	-856	E-W	E	39	18	8
11927	E2	BE172	indeterminable	os indeterminable	478,2	320,2	-856,4	N-S	E	46	18	11

numero	quadre	TallaMar...	natura1	natura2	xew	yns	z	orientacio	pendent	longitud	amplada	gruix
11928	E2	BE172	indeterminable	os indeterminable	480,8	321,8	-857,2	N-S	E	40	6	6
11929	E2	BE172	indeterminable	os indeterminable	478,1	324,4	-857,6	N-S	E	46	7	7
11930	E2	BE172	fragment	quars	479,7	325,5	-856,7	-	-	18	14	8
11931	E2	BE172	ascla o fragment	quars	473	324,1	-856,8	N-S	S	26	22	7
11932	E2	BE172	indeterminable	os indeterminable	462,7	318,7	-853,7	NE-SW	E	39	12	8
11933	E2	BE172	indeterminable	os indeterminable	465,3	321,6	-853,4	E-W	W	37	14	8
11934	E2	BE172	ascla o fragment	quars	461,2	339,8	-850,4	-	-	14	9	2
11935	E2	BE172	os no determinat	os no determinat	443,8	335,3	-848,3	NE-SW	NE	40	17	12
11936	E2	BE172	indeterminable	os indeterminable	446,3	328,7	-846,4	NW-SE	NW	38	15	10
11937	E2	BE172	ascla o fragment	quars	446,2	332,8	-846,8	NE-SW	NE	31	24	9
11938	E2	BE172	fragment	quars	446,4	326,6	-846,6	NE-SW	W	18	16	12
11939	E2	BE172	ascla o fragment	quars	444	328	-847	NW-SE	SE	32	20	12
11940	E2	BE172	ascla o fragment	quars	447,1	322,1	-846,2	-	N	19	14	6
11941	E2	BE172	ascla o fragment	quars	446,8	324	-848,3	NW-SE	SW	48	32	18
11942	E2	BE172	ascla o fragment	quars	441,5	321,1	-847,6	-	V	25	16	6
11943	E2	BE172	ascla o fragment	quars	439,5	320,6	-848,1	NW-SE	NW	56	47	20
11944	E2	BE172	ascla o fragment	quars	436	316,5	-847	NE-SW	SE	27	25	9
11945	E2	BE172	indeterminable	os indeterminable	434,3	320,8	-845	NW-SE	SE	67	20	10
11946	E2	BE172	indeterminable	os indeterminable	428,7	324,4	-845,2	N-S	S	40	26	19
11947	E2	BE172	ascla o fragment	quarsita	427,6	320,7	-841,7	NE-SW	SE	46	25	12
11948	E2	BE172	indeterminable	os indeterminable	430,3	320,2	-843,6	NW-SE	NW	46	5	7
11949	E2	BE172	conill o llebre	escàpula	420	313,5	-840,6	E-W	E	50	13	3
11950	E2	BE172	fragment	quars	416,3	314	-840,4	-	SE	34	17	13
11951	E2	BE172	fragment	quars	415,6	316,1	-838	NE-SW	NE	20	15	9
11952	E2	BE172	ascla o fragment	quars	412,9	314,6	-836,6	-	SE	33	31	14
11953	E2	BE172	fragment	quars	413,1	315,9	-838	-	E	32	20	20
11954	E2	BE172	indeterminable	os indeterminable	483,8	336,1	-855,5	N-S	S	40	8	5
11955	E2	BE172	os no determinat	dent	473,4	333,7	-854,7	-	-	33	17	11
11956	E2	BE172	conill o llebre	dent	474,6	335,9	-853,7	N-S	S	13	5	3
11957	E2	BE172	indeterminable	os indeterminable	467	341,4	-853	E-W	W	41	16	7
11958	E2	BE172	indeterminable	os indeterminable	466,9	333,9	-853,2	-	-	38	13	12
11959	E2	BE172	indeterminable	os indeterminable	474	331,3	-855,9	-	-	37	12	9
11960	E2	BE172	indeterminable	os indeterminable	471,3	326,9	-858	NW-SE	VSC	86	26	16
11961	E2	BE172	indeterminable	os indeterminable	468,6	323,6	-854,7	NW-SE	SE	52	16	5
11962	E2	BE172	ascla o fragment	quars	483,9	314,6	-857,4	N-S	W	27	23	9
11963	E2	BE172	indeterminable	os indeterminable	465,5	316	-854,1	N-S	N	40	12	8

numero	quadre	TallaMar...	natura1	natura2	xew	yns	z	orientacio	pendent	longitud	amplada	gruix
11964	E2	BE172	indeterminable	os indeterminable	462,9	317,5	-853,3	E-W	NW	53	18	17
11965	E2	BE172	indeterminable	os indeterminable	457,5	314,5	-850,8	NE-SW	NE	54	10	7
11966	E2	BE172	indeterminable	os no determinat	454,9	315,5	-849,4	NE-SW	NE	47	12	5
11967	E2	BE172	indeterminable	os indeterminable	457,3	324,3	-851,5	NE-SW	SW	52	15	5
11968	E2	BE172	fragment	quars	443,6	341,5	-848	NW-SE	SW	21	14	10
11969	E2	BE172	ascla o fragment	quars	444,4	327,6	-847,1	NW-SE	SE	31	25	13
11970	E2	BE172	indeterminable	os indeterminable	439,5	332,3	-847,2	E-W	W	44	17	4
11971	E2	BE172	indeterminable	os indeterminable	442,5	327,7	-847,2	N-S	VSC	62	11	7
11972	E2	BE172	fragment	quars	447,7	326,6	-847,6	NE-SW	SW	27	23	10
11973	E2	BE172	plaqueta o similars	sorrenca	447,4	319,1	-847,2	E-W	W	46	37	12
11974	E2	BE172	indeterminable	os indeterminable	439,9	313	-848	N-S	S	34	25	12
11975	E2	BE172	ascla o fragment	quars	439,6	312,1	-847,8	N-S	S	35	24	10
11976	E2	BE172	os no determinat	os no determinat	432,1	319,7	-848,4	NE-SW	VSC	69	18	15
11977	E2	BE172	indeterminable	os indeterminable	431,7	316,5	-848	NW-SE	SE	44	12	9
11978	E2	BE172	plaqueta o similars	sorrenca	423,6	318,6	-843,3	NE-SW	NE	53	50	9
11979	E2	BE172	fragment	quars	423,6	318,5	-843,2	NE-SW	NE	23	17	9
11980	E2	BE172	fragment	quars	423,6	318,6	-843,3	N-S	N	40	25	15
11981	E2	BE172	fragment	quars	426,7	315,5	-842,1	-	W	29	18	13
11982	E2	BE172	indeterminable	os indeterminable	421,3	314,6	-842,8	NW-SE	NW	83	42	27
11983	E2	BE172	indeterminable	os indeterminable	413,6	318,4	-840,5	NE-SW	NE	49	16	9
11984	E2	BE172	fragment	quars	415,2	318,5	-840,4	NE-SW	NE	21	16	11
11985	E2	BE172	ascla o fragment	quars	413,7	319,9	-840	-	N	18	18	5
11986	E2	BE172	fragment	quars	414,3	318,6	-838,7	NW-SE	NW	23	19	12
11987	E2	BE172	fragment	quars	415,8	316,9	-838,9	NE-SW	NE	32	25	20
11988	E2	BE172	ascla o fragment	quars	415,6	316,9	-838,7	NW-SE	SW	37	32	12
11989	E2	BE172	ascla o fragment	quars	415,3	316,8	-838,5	N-S	W	39	30	10
11990	E2	BE172	ascla o fragment	quars	416,3	314,6	-837,3	N-S	N	39	24	4
11991	E2	BE172	fragment	quars	418,9	315,9	-838,6	-	VSC	18	18	9
11992	E2	BE172	indeterminable	os indeterminable	428	316,9	-844,9	E-W	SE	42	21	7
11993	E2	BE172	indeterminable	os indeterminable	483,2	333,8	-856,4	N-S	S	44	15	7
11994	E2	BE172	indeterminable	os indeterminable	472,9	332,5	-855,3	E-W	E	46	8	8
11995	E2	BE172	indeterminable	os indeterminable	466,3	330,5	-854,3	N-S	S	42	13	7
11996	E2	BE172	indeterminable	os indeterminable	468,9	337,6	-854,1	NW-SE	NW	41	29	17
11997	E2	BE172	indeterminable	os indeterminable	471,4	328,7	-858,1	E-W	W	97	29	9
11998	E2	BE172	ascla o fragment	quarsita	480,1	329,5	-857	-	-	21	16	8
11999	E2	BE172	indeterminable	os indeterminable	473,1	329,7	-857,3	E-W	W	49	20	11

numero	quadre	TallaMar...	natura1	natura2	xew	yns	z	orientacio	pendent	longitud	amplada	gruix
12000	E2	BE172	os no determinat	os no determinat	458,5	329,1	-855,3	N-S	S	119	85	45
12001	E2	BE172	indeterminable	os indeterminable	454,3	325,4	-852,3	E-W	W	43	29	16
12002	E2	BE172	indeterminable	os indeterminable	458,1	314,4	-851,1	E-W	W	61	25	10
12003	E2	BE172	ascla o fragment	quars	448,4	319,5	-847,7	-	N	31	25	9
12004	E2	BE172	indeterminable	os indeterminable	445,2	330,3	-848,2	E-W	W	50	5	4
12005	E2	BE172	cavall o ase	dent	442,2	334,9	-848	NW-SE	VSC	45	11	8
12006	E2	BE172	fragment	quars	434,3	321	-848,8	E-W	W	45	31	18
12007	E2	BE172	indeterminable	os indeterminable	428,6	322,9	-848,3	N-S	S	46	26	19
12008	E2	BE172	ascla o fragment	quarsita	423,4	318,3	-843,4	N-S	N	42	28	10
12009	E2	BE172	ascla o fragment	quars	422,6	318	-845,6	N-S	N	57	41	10
12010	E2	BE172	indeterminable	os indeterminable	478,3	325,7	-856,8	-	-	50	22	10
12011	E2	BE172	indeterminable	os indeterminable	479,9	327,2	-859,8	NW-SE	NW	71	33	15
12012	E2	BE172	os no determinat	os no determinat	474,6	317,8	-858,6	E-W	N	102	21	12
12013	E2	BE172	indeterminable	os indeterminable	449,7	315,4	-848	N-S	N	31	17	7
12014	E2	BE172	ascla o fragment	quars	446,2	315,2	-847,7	N-S	N	33	23	13
12015	E2	BE172	indeterminable	os indeterminable	425,1	314,9	-846,5	NE-SW	NE	41	7	5
12016	E2	BE172	denticulat o osca	corniana	421,4	314,6	-844,6	NE-SW	SW	54	46	17
12017	E2	BE172	plaqueta o similars	sorrenca	420,3	317,1	-843,9	NE-SW	VSC	60	24	11
12018	E2	BE172	indeterminable	os indeterminable	420,8	315,5	-844,2	NE-SW	VSC	36	21	9
12019	E2	BE172	ascla o fragment	sorrenca	422,3	319,6	-844,2	-	N	37	32	8
12020	E2	BE172	ascla o fragment	quars	417,6	321,7	-844	NW-SE	NW	61	40	20
12021	E2	BE172	indeterminable	os indeterminable	415,2	322	-840,5	-	-	34	24	12
12022	E2	BE172	indeterminable	os indeterminable	415,3	321,7	-844,1	-	-	31	20	13
12023	E2	BE172	indeterminable	os indeterminable	415,4	321,3	-843,7	NE-SW	NE	60	34	13
12024	E2	BE172	fragment	quars	420,4	317	-841,3	-	VSC	26	25	17
12025	E2	BE172	ascla o fragment	quars	417,4	316,1	-840,5	-	VSC	24	16	10
12026	E2	BE172	fragment de còdol	quarsita	408,5	316,6	-840,6	-	VSC	50	37	29
12027	E2	BE172	ascla o fragment	quarsita	478,2	333,4	-860,5	N-S	S	62	44	15
12028	E2	BE172	ascla o fragment	quars	475	316,8	-859,2	N-S	N	23	23	9
12029	E2	BE172	os no determinat	os no determinat	465	319,3	-858,1	NW-SE	SW	41	37	7
12030	E2	BE172	indeterminable	os indeterminable	463,4	324	-857	NW-SE	SE	68	21	6
12031	E2	BE172	ascla o fragment	quars	472,1	324,8	-857,8	-	-	25	19	8
12032	E2	BE172	ascla o fragment	corniana	475,8	330,8	-859,7	-	VSC	35	35	8
12033	E2	BE172	fragment	quarsita	469,6	330,5	-858,5	NE-SW	SW	33	18	17
12034	E2	BE172	indeterminable	os indeterminable	468	340,6	-856	NE-SW	SW	41	18	10
12035	E2	BE172	indeterminable	os indeterminable	455,5	333,9	-854,2	E-W	pla	41	7	6

numero	quadre	TallaMar...	natura1	natura2	xew	yns	z	orientacio	pendent	longitud	amplada	gruix
12036	E2	BE172	indeterminable	os indeterminable	447,3	339,9	-851,3	E-W	E	65	18	21
12037	E2	BE172	ascla o fragment	quars	444,6	333,2	-850,1	-	E	30	29	6
12038	E2	BE172	indeterminable	os indeterminable	458,5	319,6	-855,2	E-W	W	55	28	12
12039	E2	BE172	indeterminable	os indeterminable	448,7	314,1	-848,3	E-W	W	75	30	14
12040	E2	BE172	ascla o fragment	quars	445,8	312,8	-847,6	NE-SW	VSC	48	22	13
12041	E2	BE172	ascla o fragment	quars	449,9	313,3	-848,3	-	-	36	27	10
12042	E2	BE172	os no determinat	os no determinat	416,7	315,6	-844,6	-	-	30	26	7
12043	E2	BE172	ascla o fragment	quars	407,6	316,3	-843,6	-	SW	38	36	13
12044	E2	BE172	fragment	quars	405,9	323,6	-844,1	N-S	N	25	22	10
12045	E2	BE172	fragment	quars	408,7	316,2	-842,7	-	VSC	25	21	15
12046	E2	BE172	fragment	quars	402,1	315,9	-841	-	pla	31	26	9
12047	E2	BE172	ascla o fragment	quars	406,8	315,1	-840,7	NE-SW	E	27	19	8
12048	E2	BE172	fragment	quars	407,1	315,1	-839,9	N-S	NE	27	15	13
12049	E2	BE172	ascla o fragment	quars	404,8	317,9	-841,9	N-S	N	24	20	6
12050	E2	BE172	ascla o fragment	quars	405,8	317	-840,6	-	V	20	15	7
12051	E2	BE172	ascla o fragment	quars	403,7	315	-835,5	NE-SW	SW	49	42	15
12052	E2	BE172	indeterminable	os indeterminable	405,3	319,4	-838,5	NE-SW	SW	73	28	13
12053	E2	BE172	fragment	quars	402,9	317,8	-841,1	-	-	33	28	17
12054	E2	BE172	fragment	quars	478,7	317	-859,7	-	-	22	17	10
12055	E2	BE172	fragment	quars	472,1	314,3	-859,3	N-S	N	26	14	14
12056	E2	BE172	plaqueta o similars	sorrenca	434,7	315,7	-848,9	-	SW	74	66	17
12057	E2	BE172	fragment	quars	430,2	314,8	-848,8	-	V	42	35	22
12058	E2	BE172	indeterminable	os indeterminable	426,4	314,7	-846,7	NW-SE	NW	49	22	9
12059	E2	BE172	ascla o fragment	quars	420	316	-845	E-W	E	59	53	22
12060	E2	BE172	ascla o fragment	quars	419,7	319,3	-844,2	NE-SW	VSC	44	28	8
12061	E2	BE172	ascla o fragment	corniana	416,8	317	-844	NE-SW	VSC	39	33	11
12062	E2	BE172	indeterminable	os indeterminable	415,4	316,8	-842,2	NE-SW	NE	44	33	15
12063	E2	BE170	fragment	quars	412,9	312,7	-832,4	-	-	23	20	11
12064	E2	BE172	indeterminable	os indeterminable	450,7	312	-850,7	E-W	W	40	19	9
12065	E2	BE173	indeterminable	os indeterminable	476,8	327,4	-862,9	NW-SE	VSC	74	28	13
12066	E2	BE173	fragment	quars	476,7	323,4	-862,7	NE-SW	SE	51	27	22
12067	E2	BE173	indeterminable	os indeterminable	477,1	320,3	-862	-	-	47	13	7
12069	E2	BE173	gran bòvid	dent	469,6	315,9	-860,1	-	V	45	28	28
12070	E2	BE173	indeterminable	os indeterminable	465,3	315,8	-857,2	NE-SW	NE	51	17	11
12071	E2	BE173	indeterminable	os indeterminable	465,3	315,8	-857,2	-	-	47	31	13
12072	E2	BE173	indeterminable	os indeterminable	459,2	312,7	-855,9	E-W	VSC	52	18	9

numero	quadre	TallaMar...	natura1	natura2	xew	yns	z	orientacio	pendent	longitud	amplada	gruix
12073	E2	BE173	indeterminable	os indeterminable	453,2	316,9	-852,7	NW-SE	NW	54	35	11
12074	E2	BE173	indeterminable	os indeterminable	444,5	318,6	-851,3	NW-SE	NW	62	36	9
12075	E2	BE173	indeterminable	os indeterminable	459,2	325,5	-858,2	NE-SW	VSC	58	19	9
12076	E2	BE173	os no determinat	os no determinat	467,6	321,8	-860,9	NE-SW	SW	33	13	12
12077	E2	BE173	indeterminable	os indeterminable	469,2	326,2	-859,4	NE-SW	SW	51	27	8
12078	E2	BE173	indeterminable	os indeterminable	470,9	323,7	-860,4	NE-SW	SW	46	11	5
12079	E2	BE173	indeterminable	os indeterminable	445,8	335,3	-851,2	NE-SW	NE	44	16	5
12080	E2	BE173	fragment	quars	435,9	316,2	-849,5	E-W	pla	35	26	15
12081	E2	BE173	ascla o fragment	quars	430,1	317,4	-850	-	SW	41	39	15
12082	E2	BE173	ascla o fragment	quars	428,8	317,4	-849,1	-	SE	27	26	9
12083	E2	BE173	indeterminable	os indeterminable	474,8	339,2	-861,7	N-S	S	46	19	5
12084	E2	BE173	indeterminable	os indeterminable	478,4	319,2	-861,7	N-S	N	43	16	10
12085	E2	BE173	ascla o fragment	quars	470,9	323,8	-862,7	NW-SE	VSC	37	29	13
12086	E2	BE173	ascla o fragment	quars	470,8	325	-861,7	-	NW	25	25	9
12087	E2	BE173	ascla o fragment	quars	466,4	328	-859,1	NW-SE	NW	20	15	6
12088	E2	BE173	os no determinat	dent	464,5	319,1	-857,6	NE-SW	NE	25	11	5
12089	E2	BE173	fragment	quars	459,8	322,7	-858,2	-	-	18	13	11
12090	E2	BE173	indeterminable	os indeterminable	453,1	337,4	-857,7	E-W	E	40	18	7
12091	E2	BE173	indeterminable	os indeterminable	455	344,3	-854,6	NE-SW	NE	52	14	11
12092	E2	BE173	indeterminable	os indeterminable	437,8	336,6	-853,5	NE-SW	SW	43	15	6
12093	E2	BE173	indeterminable	os indeterminable	435,2	327,9	-855,4	NE-SW	NW	48	16	14
12094	E2	BE173	indeterminable	os indeterminable	451,3	318,6	-855,2	E-W	W	52	13	9
12095	E2	BE173	ascla o fragment	quarsita	442,2	332,4	-852,5	NE-SW	NE	51	34	14
12096	E2	BE173	ascla o fragment	corniana	434,6	318	-850,5	E-W	VSC	45	26	11
12097	E2	BE173	ascla o fragment	corniana	428,2	315,5	-850,1	E-W	S	70	51	9
12098	E2	BE173	indeterminable	os indeterminable	435,1	314,1	-848,5	NE-SW	SW	47	15	15
12099	E2	BE173	ascla o fragment	quars	427,4	314,3	-848,8	E-W	S	56	48	17
12100	E2	BE173	ascla o fragment	quars	425,5	318	-850,4	-	VSC	38	34	12
12101	E2	BE173	ascla o fragment	quarsita	429,6	318,4	-849,7	-	pla	23	15	7
12102	E2	BE173	ascla o fragment	quars	429,2	318,4	-849,4	N-S	S	27	18	9
12103	E2	BE173	ascla o fragment	quars	429,5	318,8	-849,6	-	S	41	39	11
12104	E2	BE173	fragment	quars	425,1	316,3	-848,9	-	V	38	37	20
12105	E2	BE173	indeterminable	os indeterminable	422,6	319,6	-848,7	NW-SE	NW	37	11	12
12106	E2	BE173	ascla o fragment	quarsita	418,7	324,7	-847,8	NE-SW	VSC	49	45	17
12107	E2	BE173	ascla o fragment	quarsita	414	320,9	-846,4	NE-SW	VSC	58	41	11
12108	E2	BE173	fragment	quarsita	413,5	318,1	-845,9	-	VSC	23	21	12

numero	quadre	TallaMar...	natura1	natura2	xew	yns	z	orientacio	pendent	longitud	amplada	gruix
12109	E2	BE173	indeterminable	os indeterminable	417,2	318	-845,4	NE-SW	VSC	42	18	9
12110	E2	BE173	ascla o fragment	quars	418,7	318	-845,9	NE-SW	NE	44	19	11
12111	E2	BE173	ascla o fragment	quars	419,8	317,7	-845,1	-	N	25	24	6
12112	E2	BE173	fragment	quars	414,7	323,1	-844	-	-	29	23	16
12113	E2	BE173	fragment	quars	413,7	320,6	-843,2	-	N	33	32	15
12114	E2	BE178	indeterminable	os indeterminable	411,6	319,1	-846,3	NE-SW	NE	45	11	8
12115	E2	BE173	ascla o fragment	corniana	417	318	-846,5	-	V	31	27	11
12116	E2	BE173	indeterminable	os indeterminable	425,2	322,7	-850,5	E-W	W	47	15	6
12117	E2	BE173	ascla o fragment	sílex o jaspi	431,8	318,8	-849,7	NW-SE	VSC	37	24	6
12118	E2	BE173	ascla o fragment	quarsita	434,2	320,9	-850,8	E-W	VSC	43	29	10
12119	E2	BE173	indeterminable	os indeterminable	423,5	326,6	-848,8	NW-SE	E	37	10	7
12120	E2	BE173	fragment	quars	414,6	323,7	-846,8	-	-	23	10	9
12121	E2	BE173	indeterminable	os indeterminable	412,1	325,2	-847,3	NW-SE	VSC	37	27	25
12122	E2	BE172	indeterminable	os indeterminable	486,8	336,9	-854	NE-SW	SE	42	17	14
12123	E2	BE173	os no determinat	os no determinat	477,7	330,7	-862,4	-	-	37	12	6
12124	E2	BE173	ascla o fragment	quars	484,6	313,3	-863,4	-	-	19	15	6
12125	E2	BE173	fragment	quars	474	310,5	-860,1	-	N	26	20	17
12126	E2	BE173	fragment	quars	464,3	314,3	-859,3	E-W	E	27	21	19
12127	E2	BE173	indeterminable	os indeterminable	457,6	312,3	-857,7	NE-SW	NE	46	15	7
12128	E2	BE173	fragment	quars	457,7	312,6	-857,8	-	-	18	13	12
12129	E2	BE173	ascla o fragment	quars	458,7	314,1	-858,5	N-S	N	17	13	5
12130	E2	BE173	fragment	quars	460	316	-859,4	-	-	20	17	10
12131	E2	BE173	indeterminable	os indeterminable	465,1	318,2	-860,4	-	V	60	28	14
12132	E2	BE173	ascla o fragment	quars	465,5	322,8	-862,5	-	V	31	16	8
12133	E2	BE173	indeterminable	os indeterminable	460,2	322	-860,6	NE-SW	VSC	72	29	13
12134	E2	BE173	indeterminable	os indeterminable	461,6	327,9	-860,4	N-S	S	36	11	11
12135	E2	BE173	os no determinat	dent	454	323,6	-860,7	NW-SE	NW	39	13	8
12136	E2	BE173	indeterminable	os indeterminable	455,3	325,8	-861,7	-	NW	42	41	38
12137	E2	BE173	ascla o fragment	quars	452,6	318,3	-858,7	-	-	23	16	9
12138	E2	BE173	ascla o fragment	filoniana	453,9	318,4	-858,6	E-W	VSC	45	29	9
12139	E2	BE173	indeterminable	os indeterminable	456,1	316	-861,1	E-W	E	94	32	32
12140	E2	BE173	indeterminable	os indeterminable	466,9	342	-859,1	NW-SE	NW	56	22	10
12141	E2	BE173	au	os no determinat	448,1	331,6	-857,7	NE-SW	SW	39	6	4
12142	E2	BE173	indeterminable	os indeterminable	446,3	339,7	-854,3	NE-SW	NE	46	11	8
12143	E2	BE173	indeterminable	os indeterminable	435,7	327,1	-855,2	NW-SE	NW	42	14	6
12144	E2	BE173	indeterminable	os indeterminable	434	319,8	-851,1	E-W	E	47	14	11

numero	quadre	TallaMar...	natura1	natura2	xew	yns	z	orientacio	pendent	longitud	amplada	gruix
12145	E2	BE173	indeterminable	os indeterminable	425,9	320,4	-849,1	NE-SW	NW	42	15	4
12146	E2	BE173	ascla o fragment	quars	434,1	313,7	-850,1	NE-SW	VSC	39	22	14
12147	E2	BE173	indeterminable	os indeterminable	419,8	321,3	-847,2	NW-SE	SE	35	15	3
12148	E2	BE173	ascla o fragment	filoniana	415,6	315,2	-846,3	NE-SW	NE	65	44	12
12149	E2	BE173	ascla o fragment	altres	412,9	315,1	-845,9	NE-SW	NE	38	20	19
12150	E2	BE173	ascla o fragment	corniana	412,1	318,8	-846,6	E-W	E	39	33	10
12151	E2	BE173	fragment	quars	403,6	319,4	-845,6	-	V	19	13	10
12152	E2	BE173	fragment	quars	405,5	317,6	-845,3	-	V	30	13	12
12153	E2	BE173	fragment	quars	408,6	315,6	-844,6	-	-	24	15	10
12154	E2	BE173	ascla o fragment	quars	415,8	317,7	-845,2	N-S	N	35	31	10
12155	E2	BE173	indeterminable	os indeterminable	453,3	317,3	-858,8	NE-SW	NE	48	21	5
12156	E2	BE173	indeterminable	os indeterminable	460,3	313,6	-860,1	-	V	54	22	12
12157	E2	BE173	ascla o fragment	sorrenca	462,5	312,5	-860,8	NW-SE	V	37	26	12
12158	E2	BE173	indeterminable	os indeterminable	464,7	316,2	-862,4	NE-SW	NE	55	33	13
12159	E2	BE174	indeterminable	os indeterminable	478,3	331,5	-862,7	NW-SE	SE	54	22	14
12160	E2	BE174	indeterminable	os indeterminable	482,4	325,2	-865,2	E-W	S	44	21	6
12162	E2	BE174	indeterminable	os indeterminable	471,2	330,8	-863,1	NE-SW	SE	46	14	7
12163	E2	BE174	fragment	quars	467,1	318,2	-861,2	-	-	19	12	8
12164	E2	BE174	indeterminable	os indeterminable	467	318,2	-861,1	NW-SE	VSC	49	22	7
12165	E2	BE174	indeterminable	os indeterminable	461,8	320,6	-860,5	-	V	56	11	9
12166	E2	BE174	fragment	quars	461,2	321,8	-860,8	NE-SW	NW	19	12	8
12167	E2	BE174	indeterminable	os indeterminable	458,9	325	-862,2	NW-SE	NW	34	15	3
12168	E2	BE174	indeterminable	os indeterminable	456,4	328	-860,6	N-S	SW	48	22	9
12169	E2	BE174	indeterminable	os indeterminable	454,9	324,9	-861,4	N-S	S	34	18	8
12170	E2	BE174	indeterminable	os indeterminable	458,9	314,4	-861,7	N-S	S	39	20	7
12171	E2	BE174	indeterminable	os indeterminable	442,7	314,7	-854,9	NE-SW	SW	82	29	11
12172	E2	BE174	indeterminable	os indeterminable	434,9	318,1	-851	E-W	E	35	12	19
12173	E2	BE174	ascla o fragment	sorrenca	427,9	323,6	-851,1	NE-SW	SE	47	23	7
12174	E2	BE174	fragment de còdol	calcària	432,8	324,2	-854,7	-	N	67	60	56
12175	E2	BE174	ascla o fragment	quars	426,7	316,6	-850	E-W	VSC	29	19	6
12176	E2	BE174	ascla o fragment	sorrenca	424,5	315,3	-849,3	E-W	VSC	37	32	4
12177	E2	BE174	gran bòvid	dent	422,7	315,2	-849,4	E-W	VSC	47	25	17
12178	E2	BE174	fragment	quars	419,4	316,1	-849	N-S	S	37	27	18
12179	E2	BE174	ascla o fragment	quars	420,2	317,4	-848,2	E-W	E	29	20	8
12180	E2	BE174	fragment	quars	421,1	319,4	-848,9	-	E	23	17	12
12181	E2	BE174	ascla o fragment	quarsita	425,6	323,6	-849,3	NE-SW	NE	47	25	12

numero	quadre	TallaMar...	natura1	natura2	xew	yns	z	orientacio	pendent	longitud	amplada	gruix
12182	E2	BE174	fragment de còdol	filoniana	412,7	320,3	-849,6	NW-SE	VSC	36	29	8
12183	E2	BE174	ascla o fragment	no determinat	413,9	316,9	-848,8	NW-SE	NW	44	27	9
12184	E2	BE174	fragment	quars	417,7	316,8	-848,7	-	VSC	37	27	28
12185	E2	BE174	indeterminable	os indeterminable	415,3	316,2	-847,5	N-S	VSC	43	28	10
12186	E2	BE174	ascla o fragment	quars	409,8	320,4	-846,6	-	NE	25	25	13
12187	E2	BE174	fragment	quarsita	408,8	320,8	-848,3	N-S	N	22	16	6
12188	E2	BE174	indeterminable	os indeterminable	475,1	315,4	-867,2	N-S	S	45	16	17
12189	E2	BE174	os no determinat	os no determinat	477,2	314,1	-866,6	-	-	17	18	14
12190	E2	BE174	ascla o fragment	corniana	468,3	328,7	-863,7	N-S	N	42	36	7
12191	E2	BE174	ascla o fragment	sorrenca	466,4	331	-864,2	-	N	38	30	19
12192	E2	BE174	fragment de còdol	no determinat	463	329,4	-861,7	-	VSC	32	32	10
12193	E2	BE174	fragment	quars	466,5	321,5	-862,4	-	N	23	20	11
12194	E2	BE174	ascla o fragment	quars	466,1	321,5	-862,1	NW-SE	NW	32	21	9
12195	E2	BE174	ascla o fragment	corniana	464,1	317,7	-860,6	NE-SW	NE	34	24	2
12196	E2	BE174	fragment	quars	456,1	320,2	-861,9	-	V	27	11	8
12197	E2	BE174	ascla o fragment	sorrenca	459,9	322,6	-861,7	-	V	43	32	11
12198	E2	BE179	fragment	quars	458,9	323,9	-862,2	E-W	E	33	22	18
12199	E2	BE174	indeterminable	os indeterminable	449,3	323,4	-860	NW-SE	SW	51	17	6
12200	E2	BE174	indeterminable	os indeterminable	446,6	321,7	-858,1	E-W	SE	51	19	7
12201	E2	BE174	os no determinat	os no determinat	441,3	337	-856,3	NE-SW	SW	92	12	10
12202	E2	BE174	fragment	quars	445	317,7	-857,5	NE-SW	NE	19	10	8
12203	E2	BE174	ascla o fragment	quars	444,7	315,9	-858,4	E-W	E	33	24	4
12204	E2	BE174	indeterminable	os indeterminable	440,6	318,1	-855,5	N-S	N	55	14	7
12205	E2	BE174	ascla o fragment	quars	432,5	318,6	-852,3	E-W	E	25	16	6
12206	E2	BE174	carnívor	dent	435,3	317,1	-852,2	N-S	N	42	24	13
12207	E2	BE174	ascla o fragment	quars	431,6	316,3	-850,7	-	-	39	31	13
12208	E2	BE174	indeterminable	os indeterminable	425,3	315,9	-853,4	E-W	W	68	37	23
12209	E2	BE174	indeterminable	os indeterminable	425,2	315,9	-853,3	NE-SW	SW	38	11	7
12210	E2	BE174	fragment	quars	421,9	317,9	-850,6	-	-	23	19	19
12211	E2	BE174	fragment	quars	419,3	316,2	-850,5	E-W	pla	31	23	21
12212	E2	BE174	fragment	quars	420,8	315,3	-850,6	E-W	E	34	19	14
12213	E2	BE174	indeterminable	os indeterminable	418,2	316,1	-849,2	E-W	E	49	17	6
12214	E2	BE174	ascla o fragment	quars	412,5	308,7	-849,8	-	V	54	42	14
12215	E2	BE174	ascla o fragment	quars	415	311,5	-850,5	E-W	W	54	49	21
12216	E2	BE174	cavall o ase	dent	414,1	313,2	-850	E-W	W	45	22	16
12217	E2	BE174	ascla o fragment	quarsita	416,1	316,2	-850,8	E-W	W	31	22	6

numero	quadre	TallaMar...	natura1	natura2	xew	yns	z	orientacio	pendent	longitud	amplada	gruix
12218	E2	BE174	ascla o fragment	quars	414,4	318,5	-850,3	NW-SE	NW	45	36	15
12219	E2	BE174	ascla o fragment	sorrenca	408	318,4	-849,5	E-W	pla	33	24	6
12220	E2	BE174	fragment	quars	407,9	312,7	-850,2	-	V	41	33	23
12221	E2	BE174	fragment	quars	404,7	315,1	-849,5	NE-SW	SW	33	20	11
12222	E2	BE174	ascla o fragment	quars	413,7	310,7	-848,8	NE-SW	NE	35	26	12
12223	E2	BE174	fragment	quars	404,6	314,3	-846,5	NW-SE	SE	28	13	10
12224	E2	BE174	ascla o fragment	quars	485,7	329,7	-864,7	NW-SE	NW	18	13	10
12225	E2	BE174	indeterminable	os indeterminable	494,8	321,1	-868,6	NW-SE	NW	42	12	5
12226	E2	BE174	indeterminable	os indeterminable	475,5	320,8	-869,3	-	W	46	42	8
12227	E2	BE174	ascla o fragment	quars	475,2	320,8	-869,1	-	VSC	32	33	8
12228	E2	BE174	cérvol	dent	475,3	324,7	-867	NE-SW	SW	40	11	7
12229	E2	BE174	os no determinat	os no determinat	470,2	328,9	-867	-	-	39	34	32
12230	E2	BE174	ascla o fragment	quars	470,7	329,4	-865,9	NE-SW	SW	28	16	8
12231	E2	BE174	indeterminable	os indeterminable	464,8	331	-864,9	NE-SW	SW	35	15	7
12232	E2	BE174	indeterminable	os indeterminable	464,8	333,7	-865,1	N-S	VSC	42	12	4
12233	E2	BE174	ascla o fragment	quars	458,3	332,1	-864,7	N-S	S	33	25	6
12234	E2	BE174	fragment	quars	457,1	328	-863,5	NE-SW	NE	33	17	11
12235	E2	BE174	indeterminable	os indeterminable	458,3	320,9	-862,7	NE-SW	NE	52	16	8
12236	E2	BE174	fragment	quars	456,7	329,7	-862	NE-SW	NE	27	18	6
12237	E2	BE174	fragment	quars	456	331,3	-863	-	-	16	14	12
12238	E2	BE174	indeterminable	os indeterminable	449,4	330,8	-859,6	NE-SW	SW	48	24	15
12239	E2	BE174	ascla o fragment	corniana	468,9	320,3	-865,1	N-S	NE	52	34	11
12240	E2	BE174	ascla o fragment	corniana	463,2	313,4	-862,8	NW-SE	NW	36	31	10
12241	E2	BE174	ascla o fragment	quars	456,7	317,2	-864	NE-SW	NE	36	21	7
12242	E2	BE174	indeterminable	os indeterminable	454,6	318,3	-862,6	NE-SW	SW	65	32	17
12243	E2	BE174	os no determinat	dent	455,2	324,7	-864,2	-	-	22	11	7
12244	E2	BE174	fragment	quars	452,4	321,8	-861,1	N-S	N	20	14	13
12245	E2	BE174	indeterminable	os indeterminable	445,8	320	-861,3	NE-SW	SW	67	30	22
12246	E2	BE174	indeterminable	os indeterminable	436,1	317,6	-855,4	NE-SW	NE	42	15	10
12247	E2	BE174	ascla o fragment	quars	430,4	316,9	-854,4	NW-SE	VSC	51	40	14
12248	E2	BE174	ascla o fragment	sorrenca	426,6	319,8	-852,8	N-S	SE	30	21	7
12249	E2	BE174	ascla o fragment	quars	420,4	315,5	-850,4	NE-SW	SW	41	28	14
12250	E2	BE174	ascla o fragment	quars	425,1	314,7	-851	N-S	E	25	17	8
12251	E2	BE174	fragment	sorrenca	421,3	310,5	-850	E-W	pla	39	30	9
12252	E2	BE174	fragment	quars	420,5	310,8	-850,8	E-W	SE	32	20	15
12253	E2	BE174	ascla o fragment	quarsita	416,9	323,8	-850	NE-SW	SE	29	24	3

numero	quadre	TallaMar...	natura1	natura2	xew	yns	z	orientacio	pendent	longitud	amplada	gruix
12254	E2	BE174	fragment	quars	409,8	319,8	-849,6	-	E	20	19	6
12255	E2	BE174	ascla o fragment	quars	412,1	312,4	-848	N-S	E	34	29	9
12256	E2	BE174	fragment	quars	409,8	310,5	-847,8	E-W	N	23	24	9
12257	E2	BE174	fragment	quars	406,2	312,7	-848,2	E-W	V	23	17	7
12258	E2	BE174	ascla o fragment	quarsita	409,2	312,6	-850	-	S	38	31	15
12259	E2	BE174	fragment	sorrenca	416,8	320,3	-850,4	E-W	SE	33	23	8
12260	E2	BE174	indeterminable	os indeterminable	466,8	334,9	-868,8	NE-SW	SW	83	35	12
12261	E2	BE174	indeterminable	os indeterminable	471	326,5	-868	NW-SE	NW	64	23	16
12262	E2	BE174	fragment	sorrenca	470,2	325,3	-868,6	NW-SE	SW	31	28	10
12263	E2	BE174	fragment	quars	473,5	318,7	-870,5	N-S	S	26	15	9
12264	E2	BE174	indeterminable	os indeterminable	462,5	316,7	-869,1	NE-SW	NE	36	11	11
12265	E2	BE174	fragment	quars	464,7	314	-865,6	N-S	VSC	45	19	13
12266	E2	BE174	os no determinat	dent	468,7	324,4	-869,4	N-S	VSC	39	16	8
12267	E2	BE174	fragment	quars	469,7	324,6	-868,2	NE-SW	NE	25	14	8
12268	E2	BE174	ascla o fragment	quarsita	465,3	326,8	-868,3	NE-SW	SW	34	20	9
12269	E2	BE174	fragment	quars	457,6	326,8	-866,3	NW-SE	NW	25	15	11
12270	E2	BE174	indeterminable	os indeterminable	459,6	324,9	-866,4	NW-SE	SW	46	26	8
12271	E2	BE174	fragment	quars	452,1	317,9	-862,3	NW-SE	NE	21	12	8
12272	E2	BE174	fragment	quars	455,7	325,4	-865,7	-	V	34	24	18
12273	E2	BE174	ascla o fragment	quarsita	456,8	332,3	-864,7	NW-SE	SE	43	32	10
12274	E2	BE174	ascla o fragment	quars	454,4	338,2	-864,8	NW-SE	SE	44	31	15
12275	E2	BE174	indeterminable	os indeterminable	454,7	337,3	-863,2	NW-SE	SE	40	9	8
12276	E2	BE174	fragment	quars	446,6	325,3	-862,3	N-S	S	38	28	15
12277	E2	BE174	fragment	quars	436,8	319,7	-857,2	E-W	VSC	33	16	19
12278	E2	BE174	fragment	quars	439,7	317,9	-853,3	E-W	S	28	8	13
12279	E2	BE174	fragment	quars	439,8	317,7	-856,7	NE-SW	VSC	33	26	21
12280	E2	BE174	cérvol	dent	433,3	316,4	-855,2	N-S	N	39	15	14
12281	E2	BE174	ascla o fragment	quarsita	437,1	315,3	-855,6	NE-SW	VSC	30	21	9
12282	E2	BE174	ascla o fragment	quars	434	315,9	-855,9	-	V	41	29	11
12283	E2	BE174	fragment	quars	434	315,4	-855,5	-	VSC	33	27	18
12284	E2	BE174	fragment	quars	432,9	320,7	-854,9	E-W	E	29	17	13
12285	E2	BE174	indeterminable	os indeterminable	430,7	315,1	-853,1	E-W	W	39	15	10
12286	E2	BE124	fragment de còdol	sorrenca	427,7	317,3	-853,3	E-W	W	50	24	12
12287	E2	BE174	ascla o fragment	quars	426	317,5	-854	-	V	41	41	8
12288	E2	BE174	indeterminable	os indeterminable	426,2	320,1	-854,3	-	V	45	32	8
12289	E2	BE174	fragment de còdol	quars	421	317,8	-853,9	-	-	16	15	5

numero	quadre	TallaMar...	natura1	natura2	xew	yns	z	orientacio	pendent	longitud	amplada	gruix
12290	E2	BE174	fragment	quars	414,3	311,6	-851,5	NE-SW	VSC	24	21	14
12291	E2	BE174	ascla o fragment	sorrenca	405,1	310	-851,2	NE-SW	SE	52	37	10
12292	E2	BE174	ascla o fragment	quars	409,7	313,7	-851,8	-	VSC	18	18	7
12293	E2	BE174	fragment	quars	408,3	317,5	-849,1	-	V	24	22	10
12294	E2	BE175	fragment	sorrenca	487,8	315,8	-871,3	-	-	46	31	11
12295	E2	BE175	ascla o fragment	quars	477	323	-872,1	-	V	41	29	11
12296	E2	BE175	indeterminable	os indeterminable	472,6	321	-870,8	NW-SE	VSC	60	24	8
12297	E2	BE175	indeterminable	os indeterminable	470,3	323,9	-868,2	NW-SE	SE	43	16	13
12298	E2	BE175	ascla o fragment	quars	471,2	328,3	-869,6	NW-SE	SE	55	28	17
12299	E2	BE175	indeterminable	os indeterminable	470,8	324,1	-868,4	NW-SE	VSC	76	37	16
12300	E2	BE175	fragment	quars	462,9	317,2	-868,8	N-S	N	38	26	25
12301	E2	BE175	indeterminable	os indeterminable	465,5	324,8	-867,7	NW-SE	SE	49	28	9
12302	E2	BE175	fragment	sorrenca	463,9	328,3	-866,8	-	-	43	27	11
12303	E2	BE175	fragment	quars	467	333,4	-867,6	-	-	18	14	7
12304	E2	BE175	cavall o ase	dent	459,6	329,7	-867,2	NE-SW	SW	47	33	22
12305	E2	BE175	indeterminable	os indeterminable	452,2	332,6	-864,6	E-W	E	79	30	19
12306	E2	BE175	ascla o fragment	quars	448,6	331,7	-863,1	-	N	26	23	6
12307	E2	BE175	indeterminable	os indeterminable	451,5	334,4	-862,3	N-S	S	61	25	13
12308	E2	BE175	indeterminable	os indeterminable	457,6	320	-865,9	NW-SE	SE	40	15	4
12309	E2	BE175	ascla o fragment	quars	454,3	320,4	-866,2	-	-	26	15	5
12310	E2	BE175	indeterminable	os indeterminable	458,9	315,4	-864,5	-	V	40	21	19
12311	E2	BE175	ascla o fragment	quars	453,4	315,9	-863,6	E-W	E	0	0	
12312	E2	BE175	ascla o fragment	quars	450,1	323,7	-864,5	E-W	E	39	23	10
12313	E2	BE175	ascla o fragment	quarsita	448,9	315,5	-862,4	-	-	35	24	9
12314	E2	BE175	ascla o fragment	filoniana	450,1	310,5	-863,1	-	SW	45	44	14
12315	E2	BE175	fragment	quars	446	321	-861,4	N-S	S	28	21	9
12316	E2	BE175	ascla o fragment	quars	446,6	323,5	-863,6	N-S	S	31	21	13
12317	E2	BE175	fragment	quars	441,3	315,9	-861,5	E-W	E	26	14	11
12318	E2	BE175	fragment	quars	440	319,7	-860,7	N-S	S	21	14	8
12319	E2	BE175	ascla o fragment	quars	437,1	314,6	-860,6	NW-SE	VSC	62	45	15
12320	E2	BE175	fragment	quars	436,6	311,2	-859,9	-	-	26	19	8
12321	E2	BE175	fragment	quars	436,3	314,3	-859,8	-	-	16	13	10
12322	E2	BE175	fragment	quars	436,7	324,5	-857,5	-	S	20	15	10
12323	E2	BE175	indeterminable	os indeterminable	419,4	316,9	-853,1	N-S	S	50	18	10
12324	E2	BE175	fragment	sorrenca	418,6	313,1	-852,2	-	S	47	45	26
12325	E2	BE175	indeterminable	os indeterminable	416,7	313,9	-853,3	N-S	pla	89	59	19

numero	quadre	TallaMar...	natura1	natura2	xew	yns	z	orientacio	pendent	longitud	amplada	gruix
12326	E2	BE175	fragment	sorrenca	412,9	312,8	-852,7	NE-SW	NE	58	30	9
12327	E2	BE175	ascla o fragment	quarsita	409,6	315,1	-850,3	NE-SW	NE	48	26	6
12328	E2	BE175	indeterminable	os indeterminable	420	315,6	-854,7	NW-SE	pla	52	16	9
12329	E2	BE175	indeterminable	os indeterminable	476,2	335	-869,8	E-W	E	51	19	10
12330	E2	BE175	indeterminable	os indeterminable	475,1	330,8	-869,6	E-W	W	35	16	11
12331	E2	BE175	os no determinat	dent	478,4	325,1	-871,6	NW-SE	NW	35	13	5
12332	E2	BE175	os no determinat	dent	474,8	328,5	-871,2	NW-SE	NW	30	10	5
12333	E2	BE175	fragment	sorrenca	483,2	314	-870	N-S	S	42	33	12
12334	E2	BE175	ascla o fragment	sílex o jaspi	474,8	314,3	-869,6	N-S	N	28	15	8
12335	E2	BE175	indeterminable	os indeterminable	469,5	318,6	-869,5	NW-SE	NW	50	16	8
12336	E2	BE175	fragment	quars	472,7	320,6	-869,3	-	V	17	17	14
12337	E2	BE175	indeterminable	os indeterminable	463,9	319,2	-867,8	-	V	40	29	18
12338	E2	BE175	indeterminable	os indeterminable	467,7	326,9	-868,4	NW-SE	SE	46	17	9
12339	E2	BE175	fragment	sorrenca	466,1	329,1	-868,7	NW-SE	SE	42	20	12
12340	E2	BE175	indeterminable	os indeterminable	463	335,3	-867	NW-SE	SE	35	17	6
12341	E2	BE175	fragment	quars	454,5	327,1	-867,4	-	V	38	34	20
12342	E2	BE175	ascla o fragment	quars	454,3	328,1	-867,3	N-S	VSC	33	27	11
12343	E2	BE175	fragment	quars	457,4	326,1	-865,9	-	pla	14	12	6
12344	E2	BE175	fragment	quars	456,8	319,6	-866,4	NW-SE	SE	32	13	8
12345	E2	BE175	fragment	quars	457,8	313,9	-865,3	-	-	24	15	9
12346	E2	BE175	ascla o fragment	quars	451,6	314,1	-863,9	N-S	N	25	13	7
12347	E2	BE175	ascla o fragment	quars	452,4	317	-865,3	N-S	N	25	13	7
12348	E2	BE175	indeterminable	os indeterminable	451,2	321,4	-864,6	N-S	S	51	23	9
12349	E2	BE175	indeterminable	os indeterminable	450,2	331,5	-862,8	NW-SE	SE	43	14	5
12350	E2	BE175	fragment	quars	446	330,6	-861,4	-	NW	21	19	13
12351	E2	BE175	ascla o fragment	corniana	442,4	324,8	-860,2	NW-SE	SE	38	22	5
12352	E2	BE175	indeterminable	os indeterminable	447,4	312,7	-862,9	NW-SE	VSC	38	30	20
12353	E2	BE175	ascla o fragment	quarsita	443	323,5	-861	-	-	17	17	3
12354	E2	BE175	ascla o fragment	quars	444	314	-862	E-W	N	40	29	8
12355	E2	BE175	fragment	quars	439,9	314,9	-859,9	-	-	17	13	10
12356	E2	BE175	fragment	quarsita	440,6	314,3	-860,5	-	-	19	16	11
12357	E2	BE175	ascla o fragment	quarsita	435,3	317,4	-859	-	SE	30	29	9
12358	E2	BE175	indeterminable	os indeterminable	435,1	320,5	-858,9	E-W	E	70	26	7
12359	E2	BE175	ascla o fragment	filoniana	426	315,1	-857,9	E-W	W	50	44	12
12360	E2	BE175	fragment	quars	420	315,8	-855,3	-	-	32	21	14
12361	E2	BE175	fragment	quars	417,5	318	-854,7	-	-	32	23	11

numero	quadre	TallaMar...	natura1	natura2	xew	yns	z	orientacio	pendent	longitud	amplada	gruix
12362	E2	BE175	ascla o fragment	lidita	416,7	314,1	-854,8	-	-	32	28	10
12363	E2	BE175	fragment	quars	419,2	309	-854,9	-	-	28	26	9
12364	E2	BE175	fragment de còdol	quars	417	314,2	-855,2	-	-	35	20	8
12365	E2	BE175	ascla o fragment	quars	412,8	315,6	-855,6	-	-	34	23	12
12366	E2	BE175	ascla o fragment	quars	413,1	314,1	-855	-	-	25	18	6
12367	E2	BE175	fragment	quars	415,6	312,4	-853,8	N-S	N	30	22	11
12368	E2	BE175	ascla o fragment	sorrenca	416,5	313,8	-853,2	E-W	E	44	27	9
12369	E2	BE175	indeterminable	os indeterminable	413,8	312,1	-853,4	E-W	E	38	18	11
12370	E2	BE175	ascla o fragment	quarsita	403,5	314,3	-851,2	N-S	NE	38	21	7
12371	E2	BE176	ascla o fragment	quars	412,2	317,4	-857	-	-	40	16	14
12372	E2	BE175	fragment	quars	407,2	320,5	-851,9	-	-	31	24	20
12373	E2	BE175	ascla o fragment	quars	413,6	315,9	-856	-	-	22	18	8
12374	E2	BE176	ascla o fragment	quars	408,4	316,1	-858,1	NW-SE	SE	49	29	18
12375	E2	BE176	indeterminable	os indeterminable	404,8	321,7	-860,2	-	-	52	15	7
12376	E2	BE176	fragment	sorrenca	409,5	317,9	-858,7	-	-	46	24	17
12377	E2	BE176	altres (indústria)	sorrenca	408,2	318,3	-858,8	-	-	51	34	30
12378	E2	BE176	fragment	quars	412,8	319,7	-858,2	-	-	25	18	4
12379	E2	BE175	indeterminable	os indeterminable	483,2	333	-873,4	N-S	N	52	13	13
12380	E2	BE175	fragment	quars	482,2	315,9	-872,1	E-W	E	26	21	9
12381	E2	BE175	ascla o fragment	quars	476,4	317,9	-871,7	NE-SW	VSC	50	26	9
12382	E2	BE175	fragment	sorrenca	474,2	323	-871,8	NE-SW	N	38	26	17
12383	E2	BE175	fragment	quars	466,8	329,1	-869,8	-	-	19	14	5
12384	E2	BE175	fragment	quars	471,3	330,8	-869,6	N-S	pla	20	13	11
12385	E2	BE175	indeterminable	os indeterminable	474,5	338,8	-869,2	N-S	N	39	14	8
12386	E2	BE175	indeterminable	os indeterminable	465,4	331,6	-867,8	-	SE	39	28	11
12387	E2	BE175	fragment	quarsita	464,4	323,9	-869	N-S	N	28	22	13
12388	E2	BE175	indeterminable	os indeterminable	460,7	326,3	-869,2	N-S	VSC	58	14	10
12389	E2	BE175	ascla o fragment	filoniana	459,2	324,7	-867,1	-	-	27	17	8
12390	E2	BE175	indeterminable	os indeterminable	457,8	322,6	-867,3	E-W	W	48	26	7
12391	E2	BE175	indeterminable	os indeterminable	460,7	320,2	-867,2	-	-	36	17	7
12392	E2	BE175	au	os no determinat	457,7	315,1	-864,9	E-W	W	52	6	5
12393	E2	BE175	fragment	quars	448,9	321	-865,2	NE-SW	NE	36	25	16
12394	E2	BE175	ascla o fragment	no determinat	453,9	330,7	-865,5	NE-SW	NE	23	12	5
12395	E2	BE175	indeterminable	os indeterminable	455,1	323,3	-866,4	N-S	S	37	14	7
12396	E2	BE175	indeterminable	os indeterminable	453,1	329,1	-865,7	N-S	SW	48	12	10
12397	E2	BE175	ascla o fragment	quars	446,4	329,6	-865,1	E-W	pla	24	17	10

numero	quadre	TallaMar...	natura1	natura2	xew	yns	z	orientacio	pendent	longitud	amplada	gruix
12398	E2	BE175	ascla o fragment	sorrenca	441,8	328,1	-865,3	N-S	VSC	30	21	6
12399	E2	BE175	indeterminable	os indeterminable	449,3	337,6	-863,4	NE-SW	SW	37	9	9
12400	E2	BE175	indeterminable	os indeterminable	442,6	331,5	-861,3	NE-SW	NE	49	14	7
12401	E2	BE175	fragment	quars	431,9	324,6	-859,7	E-W	VSC	18	14	8
12402	E2	BE175	ascla o fragment	quars	432,6	325,3	-860,2	NW-SE	NW	25	19	7
12403	E2	BE175	fragment	quars	434,6	316,2	-860,4	-	S	34	30	29
12404	E2	BE175	fragment	quars	440	314,6	-861,3	NE-SW	SW	18	14	7
12405	E2	BE175	fragment	quars	441,9	318,7	-862,8	-	N	40	34	17
12406	E2	BE175	ascla o fragment	quars	436,4	309,5	-861,5	-	V	25	19	10
12407	E2	BE175	fragment	quars	427,6	309,8	-855,6	-	NE	35	27	27
12408	E2	BE175	indeterminable	os indeterminable	424,6	312	-857,9	NW-SE	SE	62	23	6
12409	E2	BE175	indeterminable	os indeterminable	423,8	316,9	-858,4	E-W	E	51	23	11
12410	E2	BE175	fragment	quars	420,4	313,5	-857,5	-	SE	19	15	15
12411	E2	BE175	fragment	quars	421,8	315,2	-858,8	-	SE	24	21	15
12412	E2	BE175	cavall o ase	dent	416,1	312,1	-856,8	NW-SE	VSC	44	26	12
12413	E2	BE175	ascla o fragment	quars	411,7	313,9	-855,9	N-S	N	48	43	11
12414	E2	BE175	fragment	quars	413,1	314,4	-856,2	-	NE	35	29	15
12415	E2	BE175	cavall o ase	dent	412,4	313,8	-852,3	NE-SW	VSC	42	19	12
12416	E2	BE175	ascla o fragment	quarsita	409,7	313,4	-856	-	-	30	28	15
12417	E2	BE175	ascla o fragment	quars	409,6	313,4	-856	N-S	N	34	29	14
12418	E2	BE175	fragment	quars	404,8	311,5	-852,1	-	-	27	17	10
12419	E2	BE175	indeterminable	os indeterminable	481,7	336	-872,3	-	-	60	18	10
12420	E2	BE175	indeterminable	os indeterminable	474,3	337,4	-872,8	-	-	44	15	9
12421	E2	BE175	indeterminable	os indeterminable	474,3	337,4	-872,8	-	-	42	14	6
12422	E2	BE175	indeterminable	os indeterminable	471,9	335,6	-871,4	-	-	46	23	9
12423	E2	BE175	ascla o fragment	quars	471,9	335,6	-871,4	N-S	S	33	19	11
12424	E2	BE175	indeterminable	os indeterminable	470,9	335,7	-872,1	NW-SE	NE	52	27	16
12425	E2	BE175	indeterminable	os indeterminable	473,2	329	-873,6	E-W	E	74	41	22
12426	E2	BE175	indeterminable	os indeterminable	484,1	330	-874	N-S	S	45	17	6
12427	E2	BE175	os no determinat	dent	478,8	322,2	-874,4	NE-SW	NE	63	16	12
12428	E2	BE175	indeterminable	os indeterminable	478,2	316,5	-871,9	N-S	N	40	12	10
12429	E2	BE175	indeterminable	os indeterminable	475,9	308,7	-869,8	-	-	32	16	14
12430	E2	BE175	os no determinat	dent	474,5	319,7	-870,5	E-W	VSC	36	13	8
12431	E2	BE175	fragment	quars	463,1	314,4	-868,3	-	-	21	15	7
12432	E2	BE175	ascla o fragment	quarsita	466	320,6	-870,5	NE-SW	NE	65	48	14
12433	E2	BE175	ascla o fragment	quarsita	466	321	-870,6	-	-	24	20	7

numero	quadre	TallaMar...	natura1	natura2	xew	yns	z	orientacio	pendent	longitud	amplada	gruix
12434	E2	BE175	ascla o fragment	quars	461,1	319,1	-867,9	N-S	S	26	15	7
12435	E2	BE175	fragment	sorrenca	461,6	309,3	-867,8	NE-SW	NE	31	14	12
12436	E2	BE175	indeterminable	os indeterminable	457	319,3	-865,5	-	-	38	16	7
12437	E2	BE175	fragment	quars	455,5	323,4	-867,6	-	E	26	19	17
12438	E2	BE175	ascla o fragment	corniana	455,2	324,9	-867,2	N-S	VSC	45	36	13
12439	E2	BE175	ascla o fragment	quars	455,2	324,9	-867,3	E-W	E	63	41	20
12440	E2	BE175	indeterminable	os indeterminable	456,8	328,6	-867,7	NW-SE	SE	46	26	17
12441	E2	BE175	fragment	quars	451,9	334,1	-865,1	E-W	E	28	19	17
12442	E2	BE175	nucli	no determinat	450,7	328,8	-865	N-S	S	59	33	13
12443	E2	BE175	ascla o fragment	quars	449,4	324,6	-865,1	N-S	N	26	18	6
12444	E2	BE175	fragment	quars	444,7	320,9	-864,1	E-W	E	19	13	7
12445	E2	BE175	ascla o fragment	quars	450,7	316,5	-866,5	NE-SW	SW	21	14	4
12446	E2	BE175	ascla o fragment	no determinat	450,6	316,5	-866,4	NE-SW	SW	25	16	9
12447	E2	BE175	ascla o fragment	corniana	445,7	317,1	-863,2	E-W	E	42	24	12
12448	E2	BE175	ascla o fragment	quars	446	312	-863,7	NW-SE	SE	36	19	8
12449	E2	BE175	ascla o fragment	quars	442,9	315,6	-862,3	-	pla	30	26	10
12450	E2	BE175	indeterminable	os indeterminable	438,4	322	-860,8	E-W	E	55	28	12
12451	E2	BE175	ascla o fragment	quarsita	433,1	318,9	-860,4	-	S	27	26	6
12452	E2	BE175	fragment	quars	429,9	314,8	-859,1	NW-SE	SE	32	17	12
12453	E2	BE175	indeterminable	os indeterminable	428,1	312,3	-858,2	NE-SW	NE	44	16	13
12454	E2	BE175	indeterminable	os indeterminable	416,8	311,9	-857	E-W	VSC	54	26	8
12455	E2	BE175	fragment	quars	404,4	309,6	-854,9	E-W	E	39	31	18
12456	E2	BE175	fragment	quarsita	415,3	317,8	-857	-	E	19	15	10
12457	E2	BE175	indeterminable	os indeterminable	422,2	325,4	-858,1	NW-SE	NW	79	19	9
12458	E2	BE175	indeterminable	os indeterminable	424,4	326,5	-859	NW-SE	NW	44	28	11
12459	E2	BE175	ascla o fragment	quarsita	478	335,1	-873,5	NW-SE	SW	36	22	10
12460	E2	BE175	indeterminable	os no determinat	482,5	328,5	-875,1	E-W	W	47	15	8
12461	E2	BE175	fragment	quarsita	475,5	312,6	-872,3	N-S	N	24	20	15
12462	E2	BE175	indeterminable	os indeterminable	471,9	323,8	-874,1	NW-SE	VSC	37	26	10
12463	E2	BE175	os no determinat	dent	471,7	313,1	-873,8	E-W	E	59	15	14
12464	E2	BE175	indeterminable	os indeterminable	458,6	315,2	-870,2	E-W	E	144	35	23
12465	E2	BE175	indeterminable	os indeterminable	458	321,9	-869,4	N-S	S	37	15	12
12466	E2	BE175	fragment	quars	460,4	326,6	-869,7	E-W	E	20	15	10
12467	E2	BE175	indeterminable	os indeterminable	456,1	321,1	-868,4	E-W	E	44	35	7
12468	E2	BE175	fragment	quars	449,9	319,8	-867,5	E-W	E	20	17	8
12469	E2	BE175	ascla o fragment	quars	452,8	314,8	-866,5	N-S	N	27	17	9

numero	quadre	TallaMar...	natura1	natura2	xew	yns	z	orientacio	pendent	longitud	amplada	gruix
12470	E2	BE175	fragment	quars	451	314,9	-866,6	-	-	21	21	13
12471	E2	BE175	ascla o fragment	no determinat	455,2	307,8	-866,3	E-W	W	30	16	6
12472	E2	BE175	fragment	quars	450,7	315,1	-866,2	N-S	S	29	25	16
12473	E2	BE175	ascla o fragment	filoniana	450,7	327,3	-866,1	N-S	VSC	39	29	9
12474	E2	BE175	indeterminable	os indeterminable	446,6	331,1	-865	N-S	S	48	10	6
12475	E2	BE175	indeterminable	os indeterminable	441,3	332,2	-863,9	NW-SE	SE	50	16	6
12476	E2	BE175	indeterminable	os indeterminable	443,6	324,2	-864,5	N-S	N	34	7	6
12477	E2	BE175	indeterminable	os indeterminable	442,9	311,9	-863	N-S	N	38	16	15
12478	E2	BE175	ascla o fragment	quars	437,4	317,4	-862,2	N-S	pla	41	25	12
12479	E2	BE175	fragment	quars	435,7	318,5	-861,6	N-S	N	50	32	16
12480	E2	BE175	ascla o fragment	quarsita	425,9	316,3	-859,6	-	W	37	32	15
12481	E2	BE175	fragment	quars	420,9	322,4	-859,2	NE-SW	NE	30	17	9
12482	E2	BE175	fragment	quars	417,7	317,8	-858,6	NW-SE	NW	17	10	7
12483	E2	BE175	indeterminable	os indeterminable	417,1	308,9	-857	NW-SE	NW	40	21	13
12484	E2	BE176	fragment	quars	411,3	314,6	-856,7	-	V	44	35	15
12485	E2	BE175	ascla o fragment	quars	410,2	308,9	-855,9	NE-SW	NE	20	13	3
12486	E2	BE175	ascla o fragment	silèx o jaspí	406,2	305,3	-855,3	NE-SW	SW	35	25	9
12487	E2	BE175	fragment	quars	463,4	319,7	-870,9	NW-SE	pla	28	14	10
12488	E2	BE175	fragment	quars	457,5	310,4	-867,8	-	NE	27	19	9
12489	E2	BE176	indeterminable	os indeterminable	488,7	331,2	-874,3	N-S	N	90	30	12
12490	E2	BE176	ascla o fragment	quars	484,2	325,8	-876,4	-	-	16	15	5
12491	E2	BE176	indeterminable	os indeterminable	475,5	327,8	-875,7	NW-SE	SE	53	14	5
12492	E2	BE176	fragment	quars	472,5	327,3	-875,6	-	-	26	14	13
12493	E2	BE176	indeterminable	os indeterminable	475,2	323,6	-876,2	NW-SE	SE	56	14	8
12494	E2	BE176	indeterminable	os indeterminable	489	324,3	-875,5	E-W	E	65	31	11
12495	E2	BE176	fragment	quars	479,1	309,8	-873,8	-	-	18	17	12
12496	E2	BE176	fragment	quars	474	312,1	-874,5	-	N	22	18	8
12497	E2	BE176	ascla o fragment	filoniana	473,5	317,2	-874,9	-	-	41	21	7
12498	E2	BE176	fragment	quars	464,8	323,1	-872,7	NW-SE	NW	28	24	16
12500	E2	BE176	indeterminable	os indeterminable	459,5	340	-868,5	N-S	S	44	13	8
12501	E2	BE176	indeterminable	os indeterminable	452,1	340,4	-866,3	E-W	N	41	15	9
12502	E2	BE176	ascla o fragment	quars	461,3	329,3	-869,7	NW-SE	SE	21	12	5
12503	E2	BE176	fragment	quars	457,7	319,8	-868,6	NW-SE	SE	50	15	11
12504	E2	BE176	ascla o fragment	quarsita	461,6	325,4	-870,6	-	-	25	19	10
12505	E2	BE176	ascla o fragment	quars	463,2	326,4	-870,4	-	V	32	30	13
12506	E2	BE176	indeterminable	os indeterminable	463	311,1	-871	-	S	45	20	7

numero	quadre	TallaMar...	natura1	natura2	xew	yns	z	orientacio	pendent	longitud	amplada	gruix
12507	E2	BE176	ascla o fragment	filoniana	451,5	319,6	-868,9	-	SE	41	39	7
12508	E2	BE176	fragment	quars	449,2	314,6	-866,1	NW-SE	VSC	26	17	10
12509	E2	BE176	fragment	quars	443	309,7	-866,3	-	-	16	14	12
12510	E2	BE176	ascla o fragment	quars	438,4	313,7	-864,2	NE-SW	NE	25	21	8
12511	E2	BE176	ascla o fragment	filoniana	438,5	311,7	-864,2	E-W	S	66	52	11
12512	E2	BE176	fragment	quars	437,2	309,1	-863,2	-	E	21	19	13
12513	E2	BE176	fragment	quars	429,9	316,6	-863	NW-SE	NW	20	13	6
12514	E2	BE176	indeterminable	os indeterminable	433	311,4	-862	E-W	W	59	22	8
12515	E2	BE176	indeterminable	os indeterminable	426,8	311,2	-862,2	E-W	W	94	31	10
12516	E2	BE176	ascla o fragment	quarsita	422,6	315,5	-859,4	NW-SE	VSC	39	27	10
12517	E2	BE176	ascla o fragment	quarsita	422	308,9	-857,8	E-W	VSC	26	19	8
12518	E2	BE178	fragment	quars	419,9	319,1	-859,4	E-W	E	19	12	8
12519	E2	BE176	fragment	quars	412,3	316,5	-858,5	E-W	W	30	18	13
12520	E2	BE176	ascla o fragment	quars	407,4	311,8	-859,2	E-W	E	33	26	6
12521	E2	BE176	fragment	quars	408,6	309,3	-858	-	E	34	25	18
12522	E2	BE176	gran bòvid	dent	409	309,2	-858,3	E-W	E	30	14	8
12523	E2	BE175	indeterminable	os indeterminable	469,3	309,1	-864	N-S	N	54	19	9
12524	E2	BE175	indeterminable	os indeterminable	468,2	309,9	-863,9	N-S	N	45	19	7
12525	E2	BE174	fragment	quars	409,2	313,4	-843,7	-	-	31	25	21
12526	E2	BE176	au	os no determinat	474,4	335,4	-873,6	NW-SE	SE	63	7	8
12527	E2	BE176	fragment	quars	470	332,4	-874,8	NW-SE	SE	21	17	14
12528	E2	BE176	indeterminable	os indeterminable	476	326,2	-876,8	N-S	S	37	11	8
12529	E2	BE176	indeterminable	os indeterminable	471,4	326,5	-876,1	-	-	48	6	4
12530	E2	BE176	ascla o fragment	quars	475,1	322,1	-876,3	-	N	21	19	6
12531	E2	BE176	ascla o fragment	quars	472,4	322,2	-875,5	-	V	42	31	12
12532	E2	BE176	fragment de còdol	quars	484,8	314,1	-875,5	NE-SW	NW	41	29	24
12533	E2	BE176	ascla o fragment	corniana	474,6	313,1	-874,3	N-S	N	37	26	6
12535	E2	BE176	indeterminable	os indeterminable	465,1	321,5	-874,1	NW-SE	VSC	56	28	10
12536	E2	BE176	fragment	quars	467,1	327,4	-873,8	-	-	22	13	10
12537	E2	BE176	os no determinat	costella	464,6	331,4	-873,7	N-S	pla	51	8	5
12538	E2	BE176	indeterminable	os indeterminable	460,2	331,5	-873	N-S	S	113	47	28
12539	E2	BE176	indeterminable	os indeterminable	462	326,6	-872,2	-	-	45	25	9
12540	E2	BE176	indeterminable	os indeterminable	466,3	339,5	-869,9	-	-	50	47	20
12541	E2	BE176	indeterminable	os indeterminable	466,3	339,5	-870	NE-SW	SW	42	16	8
12543	E2	BE176	ascla o fragment	quars	455	338,1	-867,6	-	N	30	27	9
12544	E2	BE176	ascla o fragment	quarsita	447,1	332,8	-866,3	-	-	31	21	11

numero	quadre	TallaMar...	natura1	natura2	xew	yns	z	orientacio	pendent	longitud	amplada	gruix
12545	E2	BE176	ascla o fragment	quars	443,2	322,2	-867	E-W	E	29	15	8
12546	E2	BE176	ascla o fragment	sorrenca	451,4	318,4	-870,2	NE-SW	NE	59	40	21
12547	E2	BE176	ascla o fragment	quarsita	446,9	313,2	-868,4	E-W	E	70	40	16
12548	E2	BE176	ascla o fragment	quars	437,4	323,9	-867,4	-	NW	30	27	12
12549	E2	BE176	fragment	quars	434,9	335,3	-864,3	-	E	20	17	9
12550	E2	BE176	fragment	quars	428,4	315,8	-863,4	-	N	19	14	9
12551	E2	BE176	ascla o fragment	no determinat	415,6	318,7	-861,7	NW-SE	SE	54	39	21
12552	E2	BE176	plaqueta o similars	no determinat	417,1	315,8	-861,3	NE-SW	NW	49	28	8
12553	E2	BE176	ascla o fragment	quarsita	418,4	309,2	-860,4	N-S	N	51	43	12
12554	E2	BE176	ascla o fragment	quars	412,5	308	-859,7	NW-SE	SE	38	18	15
12555	E2	BE176	ascla o fragment	quarsita	407,9	313,2	-860,2	NE-SW	SW	35	22	9
12556	E2	BE176	ascla o fragment	quars	410,7	309,2	-859,2	NE-SW	SW	25	19	8
12557	E2	BE176	fragment	sílex o jaspi	408,7	306,9	-859	-	SW	20	18	12
12558	E2	BE176	ascla o fragment	quars	400,6	316,2	-859,5	-	V	47	44	13
12559	E2	BE176	fragment	quars	405,7	316,7	-859,6	NW-SE	SW	38	22	10
12560	E2	BE176	ascla o fragment	quars	412,4	315,8	-861	-	-	27	20	10
12561	E2	BE176	fragment	quars	472,1	323,3	-875,7	-	E	40	28	17
12562	E2	BE176	ascla o fragment	quarsita	455,7	311,5	-869	E-W	N	40	15	10
12563	E2	BE176	indeterminable	os indeterminable	477,2	336,8	-876	N-S	N	42	8	5
12564	E2	BE176	indeterminable	os indeterminable	471,6	339,1	-876,7	-	-	54	34	13
12565	E2	BE176	indeterminable	os indeterminable	468,1	340,8	-874,3	-	-	53	11	6
12566	E2	BE176	ascla o fragment	quars	476,2	335,5	-875,6	NW-SE	SE	24	14	5
12567	E2	BE175	fragment	sorrenca	485,9	325	-871,3	-	-	30	25	11
12568	E2	BE175	os no determinat	os no determinat	486,7	321,2	-874,4	E-W	W	70	15	14
12569	E2	BE176	ascla o fragment	quars	474,2	330,6	-876,4	-	E	17	16	4
12570	E2	BE176	indeterminable	os indeterminable	470,4	332,3	-875,8	NW-SE	SE	39	14	3
12571	E2	BE176	fragment	quars	465,8	330,3	-875,4	E-W	VSC	20	12	6
12572	E2	BE176	indeterminable	os indeterminable	472,9	326	-876	E-W	E	41	16	10
12573	E2	BE176	ascla o fragment	quars	469,8	324,1	-876,3	-	-	30	28	9
12574	E2	BE176	cérvol	dent	466,1	329,3	-875,7	-	V	36	27	16
12575	E2	BE176	ascla o fragment	quars	474	316,2	-877,8	E-W	S	35	27	8
12576	E2	BE176	fragment	quars	471,3	319,8	-876	E-W	E	24	18	8
12577	E2	BE176	indeterminable	os indeterminable	465	321,9	-876,4	NE-SW	NE	44	13	4
12578	E2	BE176	ascla o fragment	quars	455,7	320,3	-872	N-S	VSC	25	13	8
12579	E2	BE176	ascla o fragment	quars	457,4	324,5	-871,4	E-W	E	33	27	8
12580	E2	BE176	fragment	quars	451,9	323,9	-868,1	-	-	18	17	8

numero	quadre	TallaMar...	natura1	natura2	xew	yns	z	orientacio	pendent	longitud	amplada	gruix
12581	E2	BE176	fragment	quars	451,1	327,2	-867,6	-	E	19	14	7
12582	E2	BE176	ascla o fragment	quarsita	454,7	325,8	-870,2	NW-SE	SE	51	46	10
12583	E2	BE176	indeterminable	os indeterminable	449,8	329,5	-866,8	NW-SE	SE	35	18	7
12584	E2	BE176	indeterminable	os indeterminable	453,7	341,4	-866,9	NW-SE	NW	63	34	12
12585	E2	BE176	indeterminable	os indeterminable	448,6	346,5	-866,3	NE-SW	NE	40	22	14
12586	E2	BE176	indeterminable	os indeterminable	448,7	346,5	-866,3	NE-SW	pla	74	18	9
12587	E2	BE176	ascla o fragment	quars	431,8	320,7	-864,7	N-S	S	21	12	6
12588	E2	BE176	indeterminable	os indeterminable	433,3	311,5	-865,8	E-W	E	31	14	5
12589	E2	BE176	fragment	quars	426,7	315,5	-863,7	E-W	NE	35	21	10
12590	E2	BE176	fragment	quarsita	429	313,4	-862,3	-	-	25	16	14
12591	E2	BE176	ascla o fragment	quarsita	419,6	316,8	-861,3	N-S	E	30	24	6
12592	E2	BE176	indeterminable	os indeterminable	424,5	312,8	-861,9	E-W	SE	33	22	6
12593	E2	BE176	os no determinat	dent	414,1	310,8	-861,5	-	-	23	12	6
12594	E2	BE176	ascla o fragment	quars	415,2	319,4	-862,3	E-W	E	17	11	6
12595	E2	BE176	ascla o fragment	quars	408,3	311,4	-860,7	E-W	SE	29	17	6
12596	E2	BE176	fragment	quars	412,2	306,8	-860,8	-	-	18	14	7
12597	E2	BE176	fragment	quars	407,6	305,4	-859,9	E-W	pla	47	30	17
12598	E2	BE176	ascla o fragment	quars	407,5	313,8	-860	N-S	NE	28	13	6
12599	E2	BE176	indeterminable	os indeterminable	401,3	319	-859,9	NW-SE	N	51	30	11
12600	E2	BE176	indeterminable	os indeterminable	415,2	319,4	-862,3	E-W	E	60	26	6
12601	E2	BE176	fragment	quars	476,7	341,6	-878,9	E-W	pla	40	28	9
12602	E2	BE176	ascla o fragment	sillex o jaspi	474,4	342,5	-880	E-W	W	40	25	10
12603	E2	BE176	ascla o fragment	quars	484,5	334,6	-879,8	NE-SW	SW	26	14	5
12604	E2	BE176	ascla o fragment	quars	474,9	332,5	-876,2	-	N	24	24	8
12605	E2	BE176	ascla o fragment	quars	469	325,9	-876,7	NE-SW	SW	30	27	8
12606	E2	BE176	indeterminable	os indeterminable	484,8	326,3	-876,9	NE-SW	NE	57	21	9
12607	E2	BE176	os no determinat	dent	471,6	317,4	-876,8	-	-	46	13	7
12608	E2	BE176	indeterminable	os indeterminable	479,7	317,7	-877	N-S	S	52	21	11
12609	E2	BE176	ascla o fragment	sillex o jaspi	478,2	312,5	-877,1	-	NW	26	25	4
12610	E2	BE176	indeterminable	os indeterminable	475,3	305,9	-877	NE-SW	SW	71	22	14
12611	E2	BE176	ascla o fragment	quars	469	311	-875,5	E-W	W	41	22	10
12612	E2	BE176	fragment	quars	460,4	316,7	-874,1	-	-	35	23	16
12613	E2	BE176	indeterminable	os indeterminable	458,8	324,9	-871,9	NE-SW	NE	43	10	9
12614	E2	BE176	ascla o fragment	quars	458,6	312,4	-870,1	-	-	27	26	10
12615	E2	BE176	ascla o fragment	quars	451,2	317,6	-868,4	-	-	21	20	9
12616	E2	BE176	fragment	quars	451,2	318,7	-868,4	-	-	21	15	10

numero	quadre	TallaMar...	natura1	natura2	xew	yns	z	orientacio	pendent	longitud	amplada	gruix
12617	E2	BE176	ascla o fragment	quarsita	449,8	318,6	-868,5	E-W	W	49	28	11
12618	E2	BE176	ascla o fragment	quars	453,8	319,2	-869	E-W	E	29	20	9
12619	E2	BE176	ascla o fragment	quars	459	323,5	-870	E-W	E	43	33	8
12620	E2	BE176	indeterminable	os indeterminable	451,5	326	-867,7	E-W	E	49	9	8
12621	E2	BE176	indeterminable	os indeterminable	468,9	334,8	-875,6	N-S	N	67	14	8
12622	E2	BE176	indeterminable	os indeterminable	469,1	334,9	-875,8	NW-SE	NW	49	15	10
12623	E2	BE176	indeterminable	os indeterminable	451,3	336,2	-867,6	NW-SE	NW	38	31	6
12624	E2	BE176	ascla o fragment	quarsita	451,9	343,6	-867,7	-	NW	40	43	27
12625	E2	BE176	indeterminable	os indeterminable	445,6	342,8	-866,7	N-S	S	38	19	9
12626	E2	BE176	indeterminable	os indeterminable	446,9	342,9	-866,6	N-S	N	41	18	7
12627	E2	BE176	ascla o fragment	filoniana	448,4	344,7	-867	E-W	S	31	21	11
12628	E2	BE176	indeterminable	os indeterminable	444,8	329,1	-867,7	NE-SW	SE	44	11	6
12629	E2	BE176	indeterminable	os indeterminable	440,2	337,7	-864,9	NE-SW	SW	33	13	9
12630	E2	BE176	indeterminable	os indeterminable	441,1	332,9	-866,1	NW-SE	SE	33	17	7
12631	E2	BE176	fragment	quars	434,8	326,2	-865,5	NW-SE	SE	38	26	19
12632	E2	BE176	indeterminable	os indeterminable	430,3	321,2	-866,4	NW-SE	pla	57	23	15
12633	E2	BE176	ascla o fragment	quars	435,7	311	-866,2	-	V	37	26	9
12634	E2	BE176	ascla o fragment	corniana	428,3	310	-864,8	-	N	27	25	6
12635	E2	BE176	fragment	quarsita	425	317,1	-865,4	-	pla	14	11	6
12636	E2	BE176	fragment	filoniana	423	316,6	-862,8	E-W	pla	18	13	3
12637	E2	BE176	fragment	quars	422	311,7	-863,1	E-W	pla	38	29	14
12638	E2	BE176	fragment	quars	426,3	306,5	-862,7	-	N	16	15	6
12639	E2	BE176	ascla o fragment	quars	418	307,6	-861,2	E-W	S	26	15	7
12640	E2	BE176	altres	altres	414,1	305,8	-861,8	-	-	29	28	10
12641	E2	BE176	fragment	quars	416,7	308,6	-861,5	N-S	N	19	10	3
12642	E2	BE176	ascla o fragment	quars	415,5	315,6	-861,6	-	pla	18	16	8
12643	E2	BE176	indeterminable	os indeterminable	410,8	313,8	-862	NW-SE	NW	60	27	10
12644	E2	BE176	ascla o fragment	quars	402,4	309	-859,7	-	NW	23	16	9
12645	E2	BE176	os no determinat	dent	474,1	337,1	-879,9	-	-	32	13	11
12646	E2	BE176	indeterminable	os indeterminable	483,6	325,1	-877,3	NW-SE	NW	59	18	24
12647	E2	BE176	indeterminable	os indeterminable	475,2	324,7	-877	N-S	N	54	9	6
12648	E2	BE176	cérvol	vèrtebra	473,6	324,6	-875,9	-	-	16	15	9
12649	E2	BE176	fragment	quars	470,5	319	-877,5	E-W	-	19	19	11
12650	E2	BE176	ascla o fragment	filoniana	471,2	318,4	-877,5	-	S	33	30	8
12651	E2	BE176	fragment	quars	484,1	319,4	-877,8	-	-	24	20	13
12652	E2	BE176	ascla o fragment	quars	479,7	313,3	-878,1	-	-	20	19	6

numero	quadre	TallaMar...	natura1	natura2	xew	yns	z	orientacio	pendent	longitud	amplada	gruix
12653	E2	BE176	fragment	quars	472	312,9	-877,5	E-W	W	33	17	10
12654	E2	BE175	indeterminable	os indeterminable	471,7	310,4	-868,9	E-W	W	44	18	18
12655	E2	BE175	indeterminable	os indeterminable	471,1	309,1	-868,5	-	-	50	16	8
12656	E2	BE176	ascla o fragment	quars	464,9	309,1	-874,2	-	V	42	22	11
12657	E2	BE176	indeterminable	os indeterminable	458,2	316,1	-873,7	-	V	42	32	15
12658	E2	BE176	fragment	quars	459,5	319,8	-875	E-W	E	33	25	14
12659	E2	BE176	indeterminable	os indeterminable	454,4	321,2	-874,9	E-W	W	64	59	22
12660	E2	BE176	indeterminable	os indeterminable	452,6	323,7	-870,5	-	-	36	27	9
12661	E2	BE176	indeterminable	os indeterminable	455	327,5	-871	N-S	S	40	9	7
12662	E2	BE176	indeterminable	os indeterminable	455,7	331	-871,2	E-W	E	45	16	6
12663	E2	BE176	ascla o fragment	quars	463,4	327,9	-873,6	E-W	E	24	23	4
12664	E2	BE176	fragment	quars	463,4	330,1	-874,8	-	-	32	29	12
12665	E2	BE176	fragment	quars	467,8	333,7	-877	NW-SE	E	19	18	9
12666	E2	BE176	indeterminable	os indeterminable	463	335,9	-876,1	E-W	E	45	11	10
12667	E2	BE176	indeterminable	os indeterminable	457,5	331,1	-873,6	E-W	E	48	16	14
12668	E2	BE176	fragment	quars	449,6	332,3	-867,8	-	-	26	22	13
12669	E2	BE176	ascla o fragment	quars	446,1	338	-866,3	-	pla	42	40	10
12670	E2	BE176	indeterminable	os indeterminable	440	337,3	-866,6	NE-SW	NW	71	21	5
12671	E2	BE176	indeterminable	os indeterminable	443,6	331,2	-867,7	NE-SW	SW	96	27	1
12672	E2	BE176	indeterminable	os indeterminable	439,7	323,1	-867,8	E-W	E	38	12	8
12673	E2	BE176	ascla o fragment	quars	446,1	324	-868,5	E-W	W	36	26	7
12674	E2	BE176	fragment	quars	447,7	316,7	-869,5	NE-SW	NE	26	17	9
12675	E2	BE176	fragment	quars	447,7	318,3	-868	-	NE	17	5	4
12676	E2	BE176	ascla o fragment	quars	451	315,2	-869,7	NE-SW	NE	22	17	7
12677	E2	BE176	ascla o fragment	corniana	445,7	309,5	-868,3	N-S	S	43	31	8
12678	E2	BE176	ascla o fragment	quarsita	433,7	308,2	-865,5	E-W	W	50	41	9
12679	E2	BE176	indeterminable	os indeterminable	430,9	316,1	-866,3	NW-SE	SE	41	15	7
12680	E2	BE176	indeterminable	os indeterminable	428,9	313,7	-865	E-W	E	35	9	3
12681	E2	BE176	indeterminable	os indeterminable	421	314,9	-863,4	NW-SE	SE	56	28	13
12682	E2	BE176	fragment	quars	421,4	307,1	-862,1	NW-SE	SE	19	13	7
12683	E2	BE176	indeterminable	os indeterminable	417,8	311,6	-862,2	NW-SE	pla	34	11	4
12684	E2	BE176	altres (indústria)	altres	413,6	316,2	-861,8	E-W	E	47	37	15
12685	E2	BE176	fragment	quars	414,5	311,1	-861,3	E-W	E	23	13	10
12686	E2	BE176	indeterminable	os indeterminable	415,7	307,1	-861,6	E-W	VSC	42	30	13
12687	E2	BE176	fragment	quars	407,5	310,4	-859,3	NW-SE	SW	28	18	12
12688	E2	BE176	fragment	quars	406,2	311,2	-859,4	-	-	20	18	6

numero	quadre	TallaMar...	natura1	natura2	xew	yns	z	orientacio	pendent	longitud	amplada	gruix
12689	E2	BE176	ascla o fragment	quars	428,5	333,1	-864,6	E-W	E	21	14	6
12690	E2	BE176	indeterminable	os indeterminable	482,2	335,5	-880,3	N-S	pla	44	28	9
12691	E2	BE176	fragment	quarsita	480,7	332,4	-880	-	-	21	17	13
12692	E2	BE176	ascla o fragment	quars	468,7	329,8	-878,1	NE-SW	E	28	20	9
12693	E2	BE179	ascla o fragment	quars	470,2	328,1	-877,2	NW-SE	NW	40	24	7
12694	E2	BE176	fragment	quars	463,9	321,9	-875,9	-	-	19	17	12
12695	E2	BE176	ascla o fragment	quars	478,3	312,8	-878,5	-	-	34	28	8
12696	E2	BE176	ascla o fragment	quars	463,4	311,1	-876,2	NE-SW	V	24	17	5
12697	E2	BE176	fragment	quars	460,3	314,5	-875,4	E-W	E	34	31	17
12698	E2	BE176	fragment	quars	457,6	320,2	-875,1	-	-	17	14	4
12699	E2	BE176	ascla o fragment	quars	455,6	324,5	-872,9	-	SE	26	25	8
12700	E2	BE176	ascla o fragment	quars	458,4	327,7	-875	E-W	VSC	43	41	14
12701	E2	BE176	ascla o fragment	quarsita	452,1	333,7	-872,8	-	V	45	35	9
12702	E2	BE176	indeterminable	os indeterminable	439,9	335,7	-867,2	-	NE	36	18	6
12703	E2	BE176	fragment	quars	443,3	314,4	-870,1	-	-	16	16	9
12704	E2	BE176	ascla o fragment	quars	446,8	316,1	-870,1	-	NW	21	17	9
12705	E2	BE176	fragment de còdol	corniana	452,2	308,2	-870	E-W	E	43	36	11
12706	E2	BE175	ascla o fragment	quars	445,6	306,2	-861,2	-	-	31	26	13
12707	E2	BE174	ascla o fragment	quars	444,7	307	-859,5	N-S	N	62	56	31
12708	E2	BE176	fragment	quars	441,1	309,1	-869,5	E-W	E	20	15	9
12709	E2	BE176	fragment	quars	432,1	314,6	-866,8	-	-	25	19	12
12710	E2	BE176	rascadora	quars	423,1	310,1	-865	NE-SW	NE	38	29	10
12711	E2	BE176	indeterminable	os indeterminable	419,6	309,4	-863,4	E-W	NW	45	13	8
12712	E2	BE176	indeterminable	os indeterminable	416,1	312	-862,3	E-W	E	47	21	12
12713	E2	BE176	ascla o fragment	quars	415,8	307,1	-862,3	E-W	VSC	27	18	11
12714	E2	BE176	ascla o fragment	quars	410,4	310	-861,4	E-W	W	36	25	11
12715	E2	BE174	cérvol	dent	427,2	306,6	-850,8	-	-	17	13	9
12716	E2	BE176	indeterminable	os indeterminable	453,1	328,9	-873,9	E-W	E	42	23	11
12717	E2	BE176	ascla o fragment	filoniana	445,3	331,3	-870,6	-	NE	37	28	11
12718	E2	BE177	indeterminable	os indeterminable	481,8	328,7	-881	N-S	VSC	55	25	12
12719	E2	BE177	fragment	quars	482,9	324,2	-881,9	-	-	15	15	7
12720	E2	BE177	ascla o fragment	sílex o jaspi	481,4	323,9	-880	NE-SW	VSC	33	28	10
12721	E2	BE177	indeterminable	os indeterminable	477,8	329,4	-880,2	NE-SW	SW	55	21	11
12722	E2	BE177	ascla o fragment	quars	471,6	324,6	-878,8	E-W	E	30	24	10
12723	E2	BE177	indeterminable	os indeterminable	478,2	322	-880,5	NE-SW	VSC	39	15	9
12724	E2	BE177	plaqueta o similars	sorrenca	474,8	321,3	-881,7	NW-SE	-	95	58	12

numero	quadre	TallaMar...	natura1	natura2	xew	yns	z	orientacio	pendent	longitud	amplada	gruix
12725	E2	BE177	indeterminable	os indeterminable	477,5	323,2	-882,7	NW-SE	NW	70	25	18
12726	E2	BE177	indeterminable	os indeterminable	482,6	312	-879,2	E-W	W	41	13	12
12727	E2	BE177	fragment	quars	473,4	313,1	-878,9	-	SE	27	24	12
12728	E2	BE177	fragment	quars	472,6	313,1	-878,3	-	SE	25	22	13
12729	E2	BE177	ascla o fragment	quarsita	469,6	317,4	-879	NE-SW	SW	49	35	11
12730	E2	BE177	ascla o fragment	quarsita	465,1	313,5	-878,5	E-W	SE	36	29	9
12731	E2	BE177	fragment	quars	457,8	314,7	-875,2	-	E	27	22	14
12732	E2	BE177	indeterminable	os indeterminable	453,1	315,5	-874,2	E-W	E	45	38	10
12733	E2	BE177	indeterminable	os indeterminable	449,4	325,6	-873,9	NE-SW	NE	45	35	10
12734	E2	BE177	indeterminable	os indeterminable	447,5	325,4	-870,9	E-W	E	46	15	5
12735	E2	BE177	ascla o fragment	quars	451,9	340,1	-871,3	-	NE	31	22	10
12736	E2	BE177	ascla o fragment	quarsita	438,7	338	-868,9	-	SW	47	47	13
12737	E2	BE177	indeterminable	os indeterminable	426,8	325,5	-866,7	NW-SE	pla	63	15	12
12738	E2	BE177	fragment	quars	420	314	-866,5	-	pla	11	15	9
12739	E2	BE177	indeterminable	os indeterminable	414,5	317,1	-865,2	-	V	55	30	14
12740	E2	BE177	fragment	quars	412	319,2	-865,8	-	pla	15	12	6
12741	E2	BE177	indeterminable	os indeterminable	409,7	315,2	-863,3	-	V	45	14	11
12742	E2	BE177	ascla o fragment	quarsita	416,9	319,7	-864,9	NW-SE	SW	37	23	7
12743	E2	BE177	ascla o fragment	quarsita	415,1	315,1	-864,6	NW-SE	SW	32	20	7
12744	E2	BE177	fragment	quars	416,3	318,1	-864,6	NW-SE	pla	28	17	13
12745	E2	BE177	ascla o fragment	quars	411,4	311,6	-863,6	NE-SW	SW	37	19	6
12746	E2	BE177	indeterminable	os indeterminable	417,2	312,9	-864,5	NE-SW	VSC	57	20	9
12747	E2	BE177	ascla o fragment	quarsita	415,9	313,6	-864,6	E-W	E	24	17	12
12748	E2	BE177	denticulat o osca	quarsita	409,9	311,7	-863,9	NW-SE	SW	58	44	13
12749	E2	BE177	ascla o fragment	filoniana	405,2	317,2	-863,7	N-S	VSC	36	24	11
12750	E2	BE177	indeterminable	os indeterminable	466,6	322,6	-882	N-S	NE	62	23	10
12751	E2	BE177	fragment	quarsita	474,2	325,9	-881,5	-	S	30	25	12
12752	E2	BE177	fragment	quars	478	321,3	-884,9	E-W	E	29	20	12
12753	E2	BE177	ascla o fragment	quars	470,6	325,2	-880,3	-	NW	24	22	8
12754	E2	BE177	ascla o fragment	quars	470,2	326,2	-878,5	NW-SE	SE	43	33	11
12755	E2	BE177	ascla o fragment	quars	466,5	324,2	-879,9	NW-SE	SE	37	20	8
12756	E2	BE177	fragment	quarsita	466,9	321,2	-881,9	-	SE	22	21	16
12757	E2	BE177	ascla o fragment	quars	460,1	330,6	-876,2	-	SE	34	32	14
12758	E2	BE177	os no determinat	dent	460,9	328,6	-879	E-W	E	66	26	10
12759	E2	BE177	indeterminable	os indeterminable	451,9	328,2	-873,7	E-W	E	39	14	7
12760	E2	BE177	ascla o fragment	quars	452,6	325	-875	-	E	22	22	10

numero	quadre	TallaMar...	natura1	natura2	xew	yns	z	orientacio	pendent	longitud	amplada	gruix
12761	E2	BE177	fragment	quars	456,9	320,2	-876,3	E-W	E	22	10	8
12762	E2	BE177	ascla o fragment	quars	462	321,9	-877,5	E-W	E	24	17	6
12763	E2	BE177	indeterminable	os indeterminable	445,4	324,8	-871,3	E-W	pla	50	23	9
12764	E2	BE177	ascla o fragment	quars	442,6	326,7	-869	E-W	E	25	14	5
12765	E2	BE177	indeterminable	os indeterminable	405,3	326,8	-865,9	E-W	N	36	20	11
12766	E2	BE177	ascla o fragment	quarsita	406	311,2	-865,4	E-W	VSC	43	26	6
12767	E2	BE177	gran bòvid	dent	411,7	311,1	-865,3	-	V	32	15	4
12768	E2	BE175	ascla o fragment	quarsita	481,9	322,7	-863,2	-	-	35	21	8
12769	E2	BE177	indeterminable	os indeterminable	481,8	333,6	-882,4	N-S	W	54	24	8
12770	E2	BE177	indeterminable	os indeterminable	479,4	326,3	-882,9	E-W	W	42	30	21
12771	E2	BE177	ascla o fragment	quars	474,3	326,7	-882,8	N-S	S	38	27	12
12772	E2	BE177	indeterminable	os indeterminable	470,3	317,2	-883,3	NW-SE	NW	108	33	18
12773	E2	BE177	ascla o fragment	quarsita	471,1	328,8	-881,4	-	-	25	24	5
12774	E2	BE177	fragment	quars	466,5	329,3	-879,2	-	E	34	32	21
12775	E2	BE177	indeterminable	os indeterminable	462,6	330,4	-880,1	E-W	VSC	48	30	17
12776	E2	BE177	indeterminable	os indeterminable	459,4	334,3	-877,9	NW-SE	NW	83	25	14
12777	E2	BE177	indeterminable	os indeterminable	454,3	333,6	-875,9	NW-SE	NW	76	24	12
12778	E2	BE177	ascla o fragment	quarsita	455,2	333,2	-877,9	E-W	E	33	25	10
12779	E2	BE177	fragment	quars	454,7	326,5	-876,4	-	N	27	20	9
12780	E2	BE177	indeterminable	os indeterminable	457,5	321	-878,2	N-S	VSC	71	21	8
12781	E2	BE177	indeterminable	os indeterminable	456,6	320,5	-878	N-S	VSC	46	26	11
12782	E2	BE177	fragment	quars	461,6	319,2	-880,4	-	E	46	40	31
12783	E2	BE177	ascla o fragment	quars	455	318,8	-875,4	E-W	E	28	22	9
12784	E2	BE177	indeterminable	os indeterminable	443,2	322	-872,9	E-W	W	37	19	11
12785	E2	BE177	indeterminable	os indeterminable	448,3	319,3	-875,1	E-W	E	52	29	19
12786	E2	BE177	fragment	quars	449,1	336,2	-873,2	-	-	27	27	17
12787	E2	BE177	os no determinat	dent	443,1	334,1	-870,8	NE-SW	SE	36	25	22
12788	E2	BE177	ascla o fragment	quarsita	439,3	335,2	-869,9	NE-SW	SW	52	47	9
12789	E2	BE177	fragment	altres	440,2	325,1	-871,8	-	SE	27	26	19
12790	E2	BE177	ascla o fragment	sorrenca	445,2	317,3	-871,5	E-W	E	31	23	6
12791	E2	BE177	ascla o fragment	quarsita	438,3	323,6	-870,7	E-W	W	42	25	10
12792	E2	BE177	ascla o fragment	quars	435,3	325,1	-870,3	E-W	E	42	34	14
12793	E2	BE177	ascla o fragment	quarsita	429,1	308,9	-870,3	E-W	E	26	18	6
12794	E2	BE177	fragment	quars	420,1	319,8	-868,2	N-S	N	20	10	6
12795	E2	BE177	fragment	quars	419,6	319,4	-866,6	E-W	VSC	20	14	9
12796	E2	BE177	ascla o fragment	quars	417,6	309,8	-867,1	E-W	pla	24	20	5

numero	quadre	TallaMar...	natura1	natura2	xew	yns	z	orientacio	pendent	longitud	amplada	gruix
12797	E2	BE177	ascla o fragment	quars	406,8	310,6	-864,7	NW-SE	pla	24	20	6
12798	E2	BE177	ascla o fragment	filoniana	408,7	312,3	-864,9	NW-SE	pla	44	35	6
12799	E2	BE177	rascadora	sílex o jaspi	405	313,6	-864,5	NW-SE	SE	45	31	10
12800	E2	BE177	ascla o fragment	filoniana	411	327,7	-868,7	E-W	pla	72	51	24
12801	E2	BE177	fragment	quars	472,2	315,5	-883,1	-	-	22	12	8
12802	E2	BE177	ascla o fragment	quarsita	474,9	332,7	-882,3	NW-SE	NW	32	21	13
12803	E2	BE177	indeterminable	os indeterminable	480,6	330,9	-882,5	E-W	E	59	12	5
12804	E2	BE177	ascla o fragment	quars	476	328,1	-882,9	-	-	20	18	7
12805	E2	BE177	fragment	quars	478,8	327,4	-882,8	-	SW	26	26	21
12806	E2	BE177	os no determinat	os no determinat	486,2	321,7	-883,7	-	-	32	21	13
12807	E2	BE177	indeterminable	os indeterminable	487,8	323,4	-882,5	-	-	40	13	13
12808	E2	BE177	indeterminable	os indeterminable	481,3	323	-884,1	-	V	39	24	12
12809	E2	BE177	ascla o fragment	quars	476	323,8	-884,7	N-S	S	49	41	18
12810	E2	BE177	ascla o fragment	quars	472,6	322	-884,9	-	-	29	18	13
12811	E2	BE177	fragment	quars	460,7	322,2	-879,3	-	E	31	25	17
12812	E2	BE177	indeterminable	os indeterminable	466	320	-879,9	N-S	S	46	27	12
12813	E2	BE177	indeterminable	os indeterminable	465,7	332,3	-881	N-S	N	73	26	12
12814	E2	BE177	indeterminable	os indeterminable	466,9	332	-880,9	E-W	W	37	26	18
12815	E2	BE177	ascla o fragment	quars	449,3	328,9	-875,2	-	-	34	31	14
12816	E2	BE177	ascla o fragment	quars	455	322,5	-875,9	E-W	E	29	19	9
12817	E2	BE177	ascla o fragment	quars	460,3	316,7	-877,1	E-W	VSC	30	21	7
12818	E2	BE177	indeterminable	os indeterminable	455,1	312,1	-877,6	-	V	75	20	12
12819	E2	BE177	ascla o fragment	quars	459,1	312,9	-877,1	E-W	E	33	16	7
12820	E2	BE177	indeterminable	os indeterminable	443,6	313,8	-870,4	-	V	52	15	7
12821	E2	BE177	ascla o fragment	quars	443,9	322	-873,1	E-W	NW	43	18	11
12822	E2	BE177	os no determinat	os no determinat	453,5	328,5	-873,5	-	W	30	28	15
12823	E2	BE177	au	os no determinat	445,9	335	-871	NE-SW	SW	40	8	7
12824	E2	BE177	indeterminable	os indeterminable	440,4	329,9	-871,9	N-S	N	68	26	15
12825	E2	BE177	indeterminable	os indeterminable	441,2	329,8	-872,2	NW-SE	SE	57	17	10
12826	E2	BE177	plaqueta o similars	sorrenca	441,5	329,3	-872	N-S	N	80	54	17
12827	E2	BE177	indeterminable	os indeterminable	432,4	336,3	-868,7	NW-SE	SE	46	13	7
12828	E2	BE177	indeterminable	os indeterminable	435	334,3	-869	-	E	45	39	11
12829	E2	BE177	indeterminable	os indeterminable	436,6	330,8	-868,5	NE-SW	NE	51	14	9
12830	E2	BE177	ascla o fragment	quars	432,4	326,4	-869,3	-	NE	41	18	9
12831	E2	BE177	indeterminable	os indeterminable	435,1	312	-869,8	NW-SE	SE	41	12	7
12832	E2	BE177	ascla o fragment	quarsita	410,9	309,2	-864,8	-	V	38	24	10

numero	quadre	TallaMar...	natura1	natura2	xew	yns	z	orientacio	pendent	longitud	amplada	gruix
12833	E2	BE177	fragment	quars	410,9	309,9	-865,5	-	V	29	18	16
12834	E2	BE177	ascla o fragment	quars	408,2	306,8	-864,8	N-S	N	51	26	20
12835	E2	BE177	ascla o fragment	quars	413,4	311,4	-865,7	N-S	pla	37	29	13
12836	E2	BE177	fragment	quars	447,1	324,8	-872,7	N-S	S	29	21	13
12837	E2	BE177	os no determinat	os no determinat	444	331,2	-871,4	-	-	31	12	12
12838	E2	BE177	ascla o fragment	quars	459,5	325,1	-876,2	NW-SE	SE	43	30	14
12839	E2	BE177	ascla o fragment	quars	460,6	319	-877,9	N-S	S	41	27	13
12840	E2	BE177	ascla o fragment	quars	472,2	330,3	-885,4	N-S	N	45	38	10
12841	E2	BE177	ascla o fragment	quars	478,5	328,7	-884,9	-	-	27	25	11
12842	E2	BE177	ascla o fragment	quars	478,9	329	-885,2	-	-	22	15	9
12843	E2	BE177	indeterminable	os indeterminable	482,4	322,2	-886,5	E-W	VSC	38	27	9
12844	E2	BE177	indeterminable	os indeterminable	476,6	317,8	-886,1	E-W	E	64	42	23
12845	E2	BE177	indeterminable	os indeterminable	469,4	324,3	-882,6	N-S	VSC	62	24	13
12846	E2	BE177	os no determinat	os no determinat	466,3	331,3	-880,6	NW-SE	pla	122	61	43
12847	E2	BE177	indeterminable	os indeterminable	462,3	331,7	-879	E-W	S	79	30	9
12848	E2	BE177	fragment	quars	460,7	335,2	-876,8	NE-SW	NE	27	18	12
12849	E2	BE177	fragment	quars	447	335,1	-873,7	E-W	W	33	16	18
12850	E2	BE177	ascla o fragment	quars	447	333,4	-873,6	-	-	22	22	8
12851	E2	BE177	ascla o fragment	quarsita	443,6	333,1	-872,4	-	SE	35	30	7
12852	E2	BE177	indeterminable	os indeterminable	428,4	325,6	-869,5	E-W	E	46	35	12
12853	E2	BE177	indeterminable	os indeterminable	437,2	311,5	-872,5	NW-SE	NE	48	20	23
12854	E2	BE177	indeterminable	os indeterminable	449,8	317,8	-875,7	E-W	E	54	21	9
12855	E2	BE177	indeterminable	os indeterminable	456,3	325,3	-875,9	NE-SW	SE	50	19	9
12856	E2	BE177	fragment	quars	462,7	324,5	-878,5	-	-	48	31	23
12857	E2	BE177	indeterminable	os indeterminable	464,3	322,9	-880,2	E-W	E	47	25	16
12858	E2	BE177	fragment	quars	462,5	325,5	-878,8	-	SE	23	22	10
12859	E2	BE177	indeterminable	os indeterminable	465,9	324,4	-880,7	E-W	E	46	15	7
12860	E2	BE177	ascla o fragment	quars	465,1	324,7	-880,2	N-S	N	31	22	14
12861	E2	BE177	fragment	quars	464,7	321,4	-881,3	-	E	38	35	31
12862	E2	BE177	indeterminable	os indeterminable	462,4	323,4	-878,9	-	-	34	32	7
12863	E2	BE177	cérvol	dent	467	321,9	-879,7	-	-	24	8	7
12864	E2	BE178	ascla o fragment	quarsita	491,2	324,2	-886,3	NE-SW	VSC	46	42	11
12865	E2	BE178	indeterminable	os indeterminable	476,4	322,3	-887,7	-	-	32	22	11
12866	E2	BE178	indeterminable	os indeterminable	469,3	321,5	-886,9	N-S	S	123	38	23
12867	E2	BE178	fragment	quars	466,5	318,5	-882,5	-	E	30	27	18
12868	E2	BE178	fragment	quars	461,9	321,4	-881,5	-	NW	33	31	19

numero	quadre	TallaMar...	natura1	natura2	xew	yns	z	orientacio	pendent	longitud	amplada	gruix
12869	E2	BE179	fragment	quarsita	461,6	320,1	-882,1	-	N	35	31	22
12870	E2	BE178	fragment	quars	459	314,2	-879,4	NW-SE	NW	33	15	10
12871	E2	BE178	indeterminable	os indeterminable	461,1	321,6	-881,7	N-S	N	48	30	9
12872	E2	BE178	ascla o fragment	quars	457,8	327,1	-879,2	N-S	S	37	24	15
12873	E2	BE178	indeterminable	os indeterminable	460	329,8	-880,4	E-W	W	40	7	7
12874	E2	BE178	indeterminable	os indeterminable	459,2	336,4	-882,3	E-W	E	102	14	6
12875	E2	BE178	indeterminable	os indeterminable	457,8	335,5	-878,2	E-W	E	43	14	6
12876	E2	BE178	indeterminable	os indeterminable	455	339,9	-875,7	N-S	N	47	15	12
12877	E2	BE178	indeterminable	os indeterminable	447,8	330,8	-874,8	N-S	W	139	46	24
12878	E2	BE178	fragment	quarsita	453,6	327	-877,3	NE-SW	NE	23	22	11
12879	E2	BE178	indeterminable	os indeterminable	455,2	321,7	-876,9	NW-SE	SE	42	15	9
12880	E2	BE178	indeterminable	os indeterminable	441,9	325,6	-877,2	E-W	W	69	17	10
12881	E2	BE178	indeterminable	os indeterminable	449	322,3	-876,4	-	-	40	18	5
12882	E2	BE178	fragment	quars	442,4	330,8	-875,8	-	-	36	21	13
12883	E2	BE178	fragment	quars	439,5	327,1	-875,7	N-S	pla	26	17	15
12884	E2	BE178	fragment	quars	441,2	329	-874,5	N-S	N	32	11	10
12885	E2	BE178	indeterminable	os indeterminable	438,7	334,7	-874,7	N-S	N	45	16	11
12886	E2	BE178	fragment	quars	431,7	338,2	-872,1	-	-	23	14	10
12887	E2	BE178	indeterminable	os indeterminable	432,1	331,3	-873,7	E-W	W	76	15	8
12888	E2	BE178	indeterminable	os indeterminable	427,4	325,8	-873,1	E-W	W	39	17	9
12889	E2	BE178	os no determinat	os no determinat	434,7	331,3	-874,2	-	-	30	18	9
12890	E2	BE178	ascla o fragment	quarsita	449,4	316,7	-876,9	N-S	N	27	18	10
12891	E2	BE178	indeterminable	os indeterminable	436,1	317,7	-876,1	E-W	VSC	61	16	13
12892	E2	BE178	indeterminable	os indeterminable	425,9	322,3	-870,1	N-S	N	49	15	7
12893	E2	BE178	indeterminable	os indeterminable	413,9	314,7	-870,1	E-W	pla	63	11	8
12894	E2	BE178	ascla o fragment	quars	415,3	325,3	-869,2	NW-SE	pla	18	16	6
12895	E2	BE178	os no determinat	dent	410,7	321,5	-869,5	-	-	20	7	6
12896	E2	BE178	indeterminable	os indeterminable	406,1	320,4	-869	E-W	E	52	21	10
12897	E2	BE178	fragment	quars	413,6	310,2	-867,6	-	pla	22	21	12
12898	E2	BE178	ascla o fragment	quars	407,6	310,8	-867,2	NW-SE	pla	33	24	6
12899	E2	BE178	fragment	quars	409,3	305,5	-866,8	N-S	N	21	14	7
12900	E2	BE178	ascla o fragment	quars	409,4	307,8	-867,6	-	V	37	27	12
12901	E2	BE178	fragment	quars	484,8	329,9	-886,5	-	-	28	22	14
12902	E2	BE178	indeterminable	os indeterminable	481,1	334,6	-886,2	E-W	W	48	20	6
12903	E2	BE178	fragment	quars	467,8	322,8	-883,2	-	-	29	24	15
12904	E2	BE178	fragment	quarsita	463,4	326	-884	-	SE	37	30	16

numero	quadre	TallaMar...	natura1	natura2	xew	yns	z	orientacio	pendent	longitud	amplada	gruix
12905	E2	BE178	ascla o fragment	filoniana	460,8	317,9	-882,5	-	-	24	14	6
12906	E2	BE178	ascla o fragment	quars	462,5	315,3	-881,2	NW-SE	SE	22	14	8
12907	E2	BE178	ascla o fragment	quarsita	460,1	322,8	-882,4	-	V	38	36	8
12908	E2	BE178	indeterminable	os indeterminable	464,3	325,7	-883	N-S	S	59	13	12
12909	E2	BE178	indeterminable	os indeterminable	451,6	321,2	-880,4	N-S	S	58	15	10
12910	E2	BE178	ascla o fragment	quarsita	452,7	322,5	-880,8	-	-	25	19	8
12911	E2	BE178	fragment	quars	484,8	329,9	-886,5	-	-	24	20	9
12912	E2	BE178	ascla o fragment	quarsita	448,5	326,8	-878,6	E-W	E	54	42	13
12913	E2	BE178	indeterminable	os indeterminable	447,7	327,1	-877,8	E-W	W	37	26	15
12914	E2	BE178	indeterminable	os indeterminable	441,5	325,7	-877,8	N-S	S	61	11	10
12915	E2	BE178	indeterminable	os indeterminable	442,9	326,8	-877,4	N-S	S	56	16	7
12916	E2	BE178	ascla o fragment	quarsita	445,3	321,1	-878,9	N-S	S	65	26	7
12917	E2	BE178	indeterminable	os indeterminable	442,7	320,6	-878,4	N-S	S	78	21	13
12918	E2	BE178	plaqueta o similars	sorrenca	450,4	309,4	-879,6	E-W	E	89	56	20
12919	E2	BE178	indeterminable	os indeterminable	435,2	316,4	-876,2	N-S	N	63	30	11
12920	E2	BE178	indeterminable	os indeterminable	430,8	318,2	-874,1	E-W	E	58	11	.8
12921	E2	BE178	indeterminable	os indeterminable	429,3	316,1	-871,8	N-S	pla	48	25	8
12922	E2	BE178	ascla o fragment	quars	414,7	321,8	-869,2	NE-SW	pla	32	23	9
12923	E2	BE178	indeterminable	os indeterminable	426,5	329,4	-871,7	E-W	W	35	11	8
12924	E2	BE178	fragment	quars	434,9	331,4	-872,9	-	-	18	17	16
12925	E2	BE178	indeterminable	os indeterminable	434	339,7	-872,6	NE-SW	NE	44	12	15
12926	E2	BE178	ascla o fragment	calcària	440,6	339,9	-876,3	NE-SW	NE	43	35	15
12927	E2	BE178	ascla o fragment	quars	451,8	342	-878,8	NE-SW	NE	65	46	26
12928	E2	BE178	ascla o fragment	quarsita	448,7	331,8	-877	-	V	29	18	11
12929	E2	BE178	indeterminable	os indeterminable	444,8	325,5	-876,6	E-W	W	73	22	14
12930	E2	BE178	fragment	quarsita	436,8	332,4	-875,8	-	-	25	13	12
12931	E2	BE178	indeterminable	os indeterminable	440,9	327,5	-877	-	-	33	21	11
12932	E2	BE178	fragment	quars	438,3	329,6	-874,3	NE-SW	SE	21	18	8
12933	E2	BE178	ascla o fragment	quars	438,9	328,2	-874,9	E-W	VSC	44	33	18
12934	E2	BE178	indeterminable	os indeterminable	437,4	321,6	-876	E-W	VSC	44	20	7
12935	E2	BE178	ascla o fragment	quarsita	448,3	317,9	-877,9	NW-SE	VSC	30	22	11
12936	E2	BE178	indeterminable	os indeterminable	430,7	321,5	-872,6	N-S	S	43	11	7
12937	E2	BE179	indeterminable	os indeterminable	441,9	315,1	-882,7	-	V	137	47	17
12938	E2	BE178	ascla o fragment	quars	446,4	322,4	-878	-	V	51	25	8
12939	E2	BE175	ascla o fragment	quars	478,3	319,9	-869,1	-	-	44	30	18
12940	E2	BE174	ascla o fragment	filoniana	464,4	316	-862,8	-	-	28	23	7

numero	quadre	TallaMar...	natura1	natura2	xew	yns	z	orientacio	pendent	longitud	amplada	gruix
12941	E2	BE178	indeterminable	os indeterminable	494,9	327	-888,3	E-W	W	41	14	8
12942	E2	BE178	ascla o fragment	quars	481,9	319,1	-886,9	-	-	22	20	10
12943	E2	BE178	os no determinat	os no determinat	467,1	329,9	-883,3	E-W	E	41	16	8
12944	E2	BE178	ascla o fragment	quarsita	463,4	319,5	-884,8	-	-	29	17	8
12945	E2	BE178	fragment	quars	465,1	329,1	-884,2	E-W	E	26	10	10
12946	E2	BE178	ascla o fragment	quars	464,2	328,6	-883,5	E-W	E	32	24	4
12947	E2	BE178	fragment	quars	458,2	325,7	-883	E-W	E	36	16	14
12948	E2	BE178	indeterminable	os indeterminable	461,6	315,1	-881,8	E-W	E	40	12	5
12949	E2	BE178	fragment	quars	458,4	331,4	-880,9	N-S	S	32	19	12
12950	E2	BE178	ascla o fragment	quars	455,4	329,2	-878,9	-	NE	27	21	10
12952	E2	BE178	indeterminable	os indeterminable	448,3	307,2	-877,5	NE-SW	N	40	21	9
12953	E2	BE178	indeterminable	os no determinat	450,8	309,5	-877,7	NE-SW	NE	50	25	12
12954	E2	BE178	fragment	quarsita	441,1	317,1	-874,9	-	-	12	20	6
12955	E2	BE178	indeterminable	os no determinat	428,5	314,3	-870,3	NE-SW	NE	55	18	7
12956	E2	BE178	indeterminable	os no determinat	414,1	320,4	-869,3	NW-SE	VSC	52	18	13
12957	E2	BE178	indeterminable	os indeterminable	408,9	326,2	-869,7	N-S	NE	47	13	8
12958	E2	BE178	indeterminable	os indeterminable	426,9	339,1	-873	NE-SW	NE	75	17	8
12959	E2	BE178	indeterminable	os indeterminable	438,2	340	-875,9	E-W	N	55	18	8
12960	E2	BE178	indeterminable	os indeterminable	434,4	334,5	-875,9	NW-SE	W	42	26	20
12961	E2	BE178	indeterminable	os indeterminable	406	343,2	-869,3			59	19	12
12962	E2	BE178	indeterminable	os indeterminable	401,3	345,8	-869,8	E-W	pla	40	26	6
12963	E2	BE178	ascla o fragment	quars	442,2	340,4	-878,8	NE-SW	NW	40	32	14
12964	E2	BE178	indeterminable	os indeterminable	481,7	330	-887,3	E-W	W	65	22	12
12965	E2	BE178	indeterminable	os indeterminable	484	322,9	-888,1	E-W	W	120	27	19
12966	E2	BE177	ascla o fragment	quars	473,1	310,9	-879,7	-	N	46	42	8
12967	E2	BE177	indeterminable	os indeterminable	473	310,9	-879,6	-	-	37	18	10
12968	E2	BE178	ascla o fragment	quars	465,6	310	-882,7	E-W	W	36	28	12
12969	E2	BE178	ascla o fragment	quarsita	460	316,7	-883,9	E-W	E	20	14	4
12970	E2	BE178	ascla o fragment	quars	457,4	321,6	-883,5	-	SE	20	15	4
12971	E2	BE178	fragment	quars	459,3	321,3	-882,6	-	E	23	19	17
12972	E2	BE178	ascla o fragment	quars	457,1	314,7	-882,3	E-W	E	23	17	7
12973	E2	BE178	ascla o fragment	quars	452,8	318,3	-882,1	N-S	VSC	52	43	22
12974	E2	BE178	ascla o fragment	quars	456,2	327,9	-882,8	-	E	23	18	8
12975	E2	BE178	indeterminable	os indeterminable	455,3	321,2	-884	NW-SE	SE	48	16	6
12976	E2	BE178	ascla o fragment	quarsita	454	324,3	-880,6	NW-SE	VSC	33	26	13
12977	E2	BE177	ascla o fragment	quars	447,2	315,9	-879	-	E	19	17	7

numero	quadre	TallaMar...	natura1	natura2	xew	yns	z	orientacio	pendent	longitud	amplada	gruix
12978	E2	BE178	fragment	quars	442,7	313,9	-878,1	E-W	E	29	23	13
12979	E2	BE178	cavall o ase	dent	444,2	313,2	-874,8	N-S	N	35	14	11
12980	E2	BE178	ascla o fragment	quars	434,6	313,4	-874,6	N-S	N	57	49	19
12981	E2	BE178	indeterminable	os indeterminable	435,6	308,7	-874,6	NW-SE	VSC	41	19	6
12982	E2	BE178	indeterminable	os indeterminable	428,1	310,6	-872,9	NW-SE	SE	36	17	7
12983	E2	BE178	ascla o fragment	quars	424,1	314,9	-865,5	-	-	35	25	7
12984	E2	BE178	indeterminable	os indeterminable	425,7	318	-874,3	NE-SW	SW	48	15	9
12985	E2	BE178	indeterminable	os indeterminable	427,7	311,9	-874,4	NE-SW	SW	67	8	6
12986	E2	BE178	ascla o fragment	quars	437,4	318,4	-878,7	-	pla	52	44	24
12987	E2	BE178	indeterminable	os indeterminable	439,6	316,3	-877,8	E-W	pla	39	7	7
12988	E2	BE178	fragment	quars	440,2	318,1	-877,8	-	pla	39	39	19
12989	E2	BE178	ascla o fragment	quarsita	442,4	325,8	-878,6	-	-	24	22	10
12990	E2	BE178	indeterminable	os indeterminable	442,2	329,6	-878,1	NE-SW	SW	55	14	8
12991	E2	BE178	indeterminable	os indeterminable	448,3	331,3	-879,4	N-S	S	39	10	8
12992	E2	BE178	ascla o fragment	quars	444,2	335,2	-878,9	E-W	VSC	36	27	11
12993	E2	BE178	indeterminable	os indeterminable	431	340,6	-875,8	NE-SW	SW	39	12	10
12995	E2	BE178	ascla o fragment	quars	423,5	341,3	-873,3	-	SW	59	54	17
12996	E2	BE178	fragment	quars	429,5	322,4	-875,7	NW-SE	SE	32	26	13
12997	E2	BE178	fragment	quars	434,2	323,7	-874,6	E-W	VSC	27	19	19
12998	E2	BE178	indeterminable	os indeterminable	426,6	321,9	-874,7	NE-SW	SW	44	10	5
12999	E2	BE178	indeterminable	os indeterminable	421,2	323,9	-873,7	E-W	E	50	13	11
13000	E2	BE178	cérvol	dent	411,2	326	-870,6	NW-SE	NE	20	12	7
13001	E2	BE178	fragment de còdol	sorrenca	421,1	317,5	-872,9	-	pla	71	57	22
13002	E2	BE178	indeterminable	os indeterminable	409,3	317	-870,3	NW-SE	SE	59	21	14
5134	E3	CE135	úrsid	dent	409,4	233,3	-673,7	N-S	pla	31	30	17
5135	E3	CE134	indeterminable	os indeterminable	400,5	204,7	-670,2	NE-SW	NE	46	13	5
5136	E3	CE135	os no determinat	os no determinat	411,4	245,9	-673,8	NW-SE	SE	64	25	17
5137	E3	CE134	fragment	quars	486	217,6	-673,4	-	pla	16	13	6
5138	E3	CE135	altres	altres	407	243,9	-674,2	-	pla	26	22	24
3489	E4	DE131	os no determinat	os no determinat	416,1	186,8	-651,3	NE-SW	NE	24	9	8
3490	E4	DE131	úrsid	dent	425,7	190,2	-651,9	N-S	S	11	11	9
3491	E4	DE131	úrsid	dent	419,9	179,7	-653	NE-SW	pla	10	7	6
3492	E4	DE131	ascla o fragment	quars	415,7	179	-652,7	NE-SW	SW	20	13	
3493	E4	DE132	ascla o fragment	quars	418,4	169,2	-655,6	NW-SE	SE	22	13	7
3494	E4	DE132	indeterminable	os indeterminable	431,3	176,3	-656,2	NE-SW	NE	42	11	5
3495	E4	DE132	os no determinat	os no determinat	454,9	194,1	-657,9	NW-SE	SE	37	7	7

numero	quadre	TallaMar...	natura1	natura2	xew	yns	z	orientacio	pendent	longitud	amplada	gruix
3496	E4	DE132	úrsid	dent	445,4	186,2	-656,3	NE-SW	pla	16	10	8
3497	E4	DE132	ascla o fragment	quars	483,6	184,2	-657,2	NE-SW	SW	21	9	4
3498	E4	DE132	ascla o fragment	quars	456,2	169,2	-657,7	NE-SW	NW	22	21	4
3499	E4	DE132	úrsid	dent	479,8	154,8	-660,4	NE-SW	NE	41	15	12
3500	E4	DE131	ascla o fragment	quars	488,3	134,3	-654,5	NE-SW	NE	25	24	10
3501	E4	DE131	ascla o fragment	quars	481,9	121,8	-654,3	N-S	V	24	19	8
3502	E4	DE131	ascla o fragment	quars	491	111,5	-651	NW-SE	NW	26	23	4
3503	E4	DE131	ascla o fragment	quars	483,8	109,7	-653,3	NE-SW	SE	26	16	12
3504	E4	DE131	indeterminable	os indeterminable	411,9	190,8	-653,8	NE-SW	NE	40	33	9
3505	E4	DE132	ascla o fragment	quars	415,4	188,5	-655,2	NE-SW	SE	31	24	11
3506	E4	DE132	ascla o fragment	quars	408,1	182,8	-656	NW-SE	SE	21	14	9
3507	E4	DE132	úrsid	dent	405,7	174,4	-656,5	NE-SW	pla	16	4	4
3508	E4	DE132	fragment	quars	427,7	178,8	-657,3	E-W	pla	22	16	8
3509	E4	DE132	fragment	quars	425,6	170,8	-657,8	N-S	pla	13	12	3
3510	E4	DE132	fragment	quars	437,6	192,1	-656,9	E-W	pla	14	7	4
3511	E4	DE132	fragment	quars	452,1	186	-658,3	NE-SW	pla	22	17	10
3512	E4	DE132	indeterminable	os indeterminable	460,3	185,6	-657,6	E-W	pla	32	12	6
3513	E4	DE132	úrsid	dent	455,4	172,1	-658,4	NW-SE	SE	15	6	6
3514	E4	DE132	indeterminable	os indeterminable	444,5	169,3	-658,8	NE-SW	SW	42	28	12
3515	E4	DE132	indeterminable	os indeterminable	435,7	170,4	-658,9	NW-SE	SE	36	21	6
3516	E4	DE132	fragment	quars	426,8	157,1	-657,2	E-W	pla	13	11	4
3517	E4	DE132	indeterminable	os indeterminable	488,1	145	-658,8	E-W	VSC	45	25	9
3518	E4	DE132	ascla o fragment	quars	466,5	115,8	-656,9	E-W	W	29	13	6
3519	E4	DE131	ascla o fragment	quars	477,3	116,3	-654,4	E-W	E	33	30	7
3520	E4	DE131	úrsid	dent	477,9	114	-654,6	E-W	pla	19	7	7
3521	E4	DE131	conill o llebre	os no determinat	493,5	112,7	-654,5	NE-SW	NE	35	5	4
3522	E4	DE132	ascla o fragment	sílex o jaspi	455,1	103,7	-656,6	E-W	pla	31	22	5
3523	E4	DE132	indeterminable	os indeterminable	422,2	193,8	-658,7	NW-SE	NE	59	11	11
3524	E4	DE132	úrsid	dent	404,6	179,5	-657,6	NE-SW	pla	7	4	3
3525	E4	DE132	úrsid	dent	419,7	163,5	-659	NE-SW	SE	19	8	6
3526	E4	DE132	fragment	quars	426,4	177,3	-659,1	NW-SE	NE	18	4	3
3527	E4	DE132	indeterminable	os indeterminable	435,9	165,8	-658,4	NE-SW	pla	33	19	6
3528	E4	DE132	os no determinat	crani	469,8	193,1	-656,2	NE-SW	SE	61	30	6
3529	E4	DE132	fragment	quars	461,4	169,1	-658,5	NW-SE	pla	12	7	4
3530	E4	DE132	os no determinat	crani	470,4	175,7	-658,3	N-S	S	36	26	3
3531	E4	DE132	os no determinat	crani	475,5	142,6	-657,8	NW-SE	E	20	21	3

numero	quadre	TallaMar...	natura1	natura2	xew	yns	z	orientacio	pendent	longitud	amplada	gruix
3532	E4	DE132	úrsid	dent	447,7	108,8	-656,1	NW-SE	NW	18	7	5
3533	E4	DE132	úrsid	dent	465,1	99,9	-655,7	NE-SW	NE	16	6	5
3534	E4	DE132	indeterminable	os indeterminable	468,7	101,4	-656,1	NW-SE	NW	43	21	9
3535	E4	DE132	ascla o fragment	quars	486,9	99,6	-657,7	NE-SW	SW	23	17	6
3536	E4	DE132	fragment	quars	467,1	124,6	-658,5	NE-SW	SW	23	17	12
3537	E4	DE132	indeterminable	os indeterminable	471,1	125,7	-657,8	E-W	pla	41	10	8
3538	E4	DE132	fragment	quars	481	106,9	-655,1	NE-SW	NW	22	12	6
3539	E4	DE132	os no determinat	crani	487	106,8	-655,4	N-S	pla	25	18	5
3540	E4	DE132	fragment	quars	484,9	119	-655,8	NW-SE	V	11	7	7
3541	E4	DE132	fragment	quars	479,6	121,6	-656,2	NE-SW	pla	17	13	5
3542	E4	DE131	úrsid	dent	498,6	113,3	-652,6	NE-SW	SW	24	15	13
3543	E4	DE132	fragment	quars	414,6	140,2	-659,6	NE-SW	pla	18	13	7
3544	E4	DE132	fragment	quars	425,4	148,6	-658,5	E-W	pla	12	9	8
3545	E4	DE132	indeterminable	os indeterminable	424,6	149,7	-658,8	E-W	pla	30	12	2
3546	E4	DE132	úrsid	dent	421,7	153,8	-659,4	NW-SE	pla	16	9	7
3547	E4	DE132	úrsid	dent	416,4	165,1	-659,5	NE-SW	pla	27	7	5
3548	E4	DE132	ascla o fragment	quars	429,8	165,8	-660,4	NE-SW	pla	26	20	10
3549	E4	DE132	indeterminable	os indeterminable	471,8	195,9	-656,7	NE-SW	N	32	9	7
3550	E4	DE132	indeterminable	os indeterminable	473,3	183,1	-658	N-S	V	36	23	9
3551	E4	DE132	fragment	quarsita	443	109	-656,9	E-W	NW	12	12	7
3552	E4	DE132	cérvol	dent	454,7	100,1	-656,1	-	-	18	10	6
3553	E4	DE132	ascla o fragment	corniana	434,7	179	-661,3	N-S	S	35	26	10
3554	E4	DE132	úrsid	dent	439,7	163,3	-660,7	NE-SW	pla	16	6	5
3555	E4	DE132	indeterminable	os indeterminable	440,5	146,9	-659,5	NW-SE	NW	40	14	7
3556	E4	DE132	indeterminable	os indeterminable	450,1	140,9	-658,9	NW-SE	pla	40	11	5
3557	E4	DE132	os no determinat	dent	456,2	154,3	-660,6	NW-SE	SE	23	13	9
3558	E4	DE132	ascla o fragment	quars	462	153,3	-658,3	NE-SW	VSC	33	38	12
3559	E4	DE132	ascla o fragment	quars	468	156,4	-659,9	NE-SW	NE	22	18	8
3560	E4	DE132	conill o llebre	os no determinat	463,8	168,5	-660,9	NW-SE	SE	22	8	5
3561	E4	DE132	indeterminable	os indeterminable	476	175,5	-660,3	N-S	S	62	38	12
3562	E4	DE132	fragment	quars	494,5	185,5	-656,9	-	-	19	14	8
3563	E4	DE132	os no determinat	dent	455,4	116,9	-658	E-W	E	18	11	6
3564	E4	DE132	ascla o fragment	quars	412	125,2	-659,2	NW-SE	SE	28	17	9
3565	E4	DE132	indeterminable	os indeterminable	479,6	197,1	-659,1	NW-SE	NW	32	14	.2
3566	E4	DE132	os no determinat	mandíbula	495,7	170,9	-658	NW-SE	NE	29	25	13
3567	E4	DE132	úrsid	dent	491,2	168,2	-660,6	N-S	pla	31	17	15

numero	quadre	TallaMar...	natura1	natura2	xew	yws	z	orientacio	pendent	longitud	amplada	gruix
3568	E4	DE132	nucli	quarsita	443,5	152,9	-659,9	NE-SW	SW	43	35	18
3569	E4	DE132	úrsid	falange	436,7	138	-659,8	NW-SE	NW	24	12	10
3570	E4	DE132	úrsid	dent	422,4	130,2	-660	-	-	22	9	8
3571	E4	DE132	fragment	quars	426,4	121,1	-657,9	NW-SE	SE	29	18	6
3572	E4	DE132	os no determinat	crani	430,5	123,2	-659	-	pla	37	42	4
3573	E4	DE132	fragment	quars	434	124,7	-658,9	E-W	S	19	14	8
3574	E4	DE132	fragment	quarsita	438,2	125,7	-658,7	-	-	19	13	2
3575	E4	DE132	os no determinat	dent	430,3	115,1	-657,7	-	-	11	7	4
3576	E4	DE132	fragment	quars	425,6	113,6	-657,3	-	-	15	12	7
3577	E4	DE132	os no determinat	crani	413,3	102,7	-656,6	NW-SE	NW	33	22	5
3578	E4	DE132	úrsid	dent	433,2	108,6	-658,5	-	-	15	7	5
3579	E4	DE132	úrsid	dent	453,5	114,3	-658,1	E-W	pla	12	7	5
3580	E4	DE132	fragment	quars	438,5	108,8	-659,6	NW-SE	pla	16	11	4
3581	E4	DE132	fragment	quars	441,7	128	-660,2	-	-	14	8	5
3582	E4	DE132	ascla o fragment	quarsita	452,6	135,2	-660,7	NE-SW	NE	18	24	11
3583	E4	DE132	ascla o fragment	quars	450,1	139,3	-661,2	N-S	N	39	24	8
3584	E4	DE132	fragment	quars	473	132,6	-660	NW-SE	NE	26	19	9
3585	E4	DE132	indeterminable	os indeterminable	473,6	136,8	-660,5	NE-SW	N	40	11	8
3586	E4	DE132	indeterminable	os indeterminable	475,7	126,7	-660	NE-SW	pla	28	13	5
3587	E4	DE132	ascla o fragment	quars	481,1	123,5	-659,2	NE-SW	pla	23	12	7
3588	E4	DE132	úrsid	vèrtebra	484,7	110,3	-657,4	-	pla	30	32	20
3589	E4	DE132	úrsid	dent	475,5	98,9	-659,4	-	V	9	5	4
3590	E4	DE132	ascla o fragment	quars	452,2	110,9	-659,4	E-W	pla	21	11	9
3591	E4	DE132	indeterminable	os indeterminable	474	114,2	-658,9	NW-SE	pla	30	8	4
3592	E4	DE132	fragment	quars	469,9	111	-659,3	NW-SE	NE	14	11	6
3593	E4	DE132	úrsid	dent	476,8	109,3	-659,2	N-S	pla	25	12	10
3594	E4	DE132	fragment	quars	451,4	135,3	-660,4	NW-SE	V	15	8	6
3595	E4	DE132	úrsid	dent	433	133,2	-659,9	NW-SE	pla	12	4	4
3596	E4	DE132	úrsid	dent	406,5	102,5	-658,3	-	-	10	5	5
3597	E4	DE132	úrsid	dent	183,2	137,6	-647,1	-	pla	10	5	5
3598	E4	DE132	fragment	quars	192,2	157	-647,6	NW-SE	pla	12	8	4
3599	E4	DE132	os no determinat	metàpode	194,8	167,8	-648,3	E-W	pla	30	32	26
3600	E4	DE132	indeterminable	os indeterminable	179,6	163,5	-648,4	N-S	S	33	15	11
3601	E4	DE132	os no determinat	crani	483,4	111,8	-660,5	E-W	W	33	30	14
3602	E4	DE133	úrsid	falange	452,5	127,6	-661,1	E-W	N	38	23	13
3603	E4	DE132	ascla o fragment	filoniana	411,7	185	-659,9	NE-SW	pla	43	18	8

numero	quadre	TallaMar...	natura1	natura2	xew	yns	z	orientacio	pendent	longitud	amplada	gruix
3604	E4	DE132	fragment	quars	435	188,4	-660,1	N-S	S	15	12	7
3605	E4	DE132	úrsid	dent	422,7	193,8	-659,2	NW-SE	N	8	4	4
3606	E4	DE132	os no determinat	dent	422,2	201,2	-641,7	NW-SE	S	11	6	2
3607	E4	DE132	indeterminable	os indeterminable	479,5	192,5	-660,9	NW-SE	SE	31	17	9
3608	E4	DE133	fragment	quars	478,6	177,7	-661,7	NW-SE	SE	17	11	4
3609	E4	DE133	indeterminable	os indeterminable	476,4	171,5	-662,2	NE-SW	pla	55	26	12
3610	E4	DE133	fragment	quarsita	478,2	166,6	-661,5	N-S	pla	36	29	8
3611	E4	DE133	fragment	quars	472,6	154	-662,3	-	-	11	8	5
3612	E4	DE133	os no determinat	dent	451,3	171,7	-661,3			25	10	4
3613	E4	DE133	fragment	quarsita	439,7	164,7	-662,4	N-S	pla	22	20	7
3614	E4	DE133	os no determinat	dent	418	164,8	-660,7	E-W	E	10	7	2
3615	E4	DE133	fragment	quars	418,5	142,1	-661,3	E-W	pla	11	10	4
3616	E4	DE133	os no determinat	os no determinat	445,4	142,9	-661,6	E-W	E	36	18	14
3617	E4	DE133	os no determinat	dent	471,2	146,5	-661,4	NE-SW	SW	16	9	6
3618	E4	DE133	úrsid	os no determinat	467	145	-662,1	NW-SE	SW	34	28	11
3619	E4	DE133	úrsid	dent	441,7	128	-660,6	E-W	SE	15	8	6
3620	E4	DE133	úrsid	dent	440,6	108,1	-660,6	N-S	SW	12	9	5
3621	E4	DE133	úrsid	dent	489,7	106,6	-660,4	NE-SW	S	48	26	22
3622	E4	DE132	fragment	quars	488	98,7	-659,2	NE-SW	pla	20	13	5
3623	E4	DE137	fragment	quars	498	114,1	-658,7	E-W	W	14	8	7
3624	E4	DE133	indeterminable	os indeterminable	485,6	125,9	-661,5	E-W		36	20	14
3625	E4	DE133	fragment	quarsita	484,6	104,5	-659,5	N-S	pla	12	10	8
3626	E4	DE133	fragment	quars	476,6	115,3	-660,6	E-W	NW	21	21	10
3627	E4	DE133	indeterminable	os indeterminable	454	109,4	-661,9	NE-SW	pla	37	7	5
3628	E4	DE137	úrsid	dent	449,3	117,7	-663	-	-	9	3	3
3629	E4	DE133	ascla o fragment	quarsita	441	111	-662,6	E-W	E	37	35	8
3630	E4	DE133	indeterminable	os indeterminable	426,6	107	-662	NE-SW	NW	25	14	9
3631	E4	DE133	ascla o fragment	quarsita	426,6	102,7	-661,2	E-W	pla	41	21	12
3632	E4	DE133	indeterminable	os indeterminable	422,2	113	-662,2	NE-SW	NE	40	14	6
3633	E4	DE133	úrsid	falange	425,2	126,3	-663	NE-SW	VSC	32	13	12
3634	E4	DE133	fragment	quarsita	430,8	142,5	-661,8	E-W	pla	13	8	4
3635	E4	DE133	fragment	quars	411,1	147,1	-662,5	NE-SW	NE	21	9	6
3636	E4	DE133	ascla o fragment	quars	445	163	-664	NE-SW	VSC	37	22	10
3637	E4	DE133	ascla o fragment	quars	428,2	166,1	-664	-	V	20	20	4
3638	E4	DE133	úrsid	dent	408,5	172,2	-662,8	N-S	-	11	5	5
3639	E4	DE133	úrsid	dent	401	185,7	-661,1	NW-SE	SW	13	6	5

numero	quadre	TallaMar...	natura1	natura2	xew	yns	z	orientacio	pendent	longitud	amplada	gruix
3640	E4	DE133	indeterminable	os indeterminable	432,1	194,2	-662	NE-SW	SW	53	16	5
3641	E4	DE133	os no determinat	os no determinat	460,1	178,1	-663	NE-SW	pla	24	10	8
3643	E4	DE133	fragment	quars	492,5	100,6	-660,1	NE-SW	NW	15	8	6
3644	E4	DE133	fragment	quars	486,9	104,4	-660,2	NW-SE	SE	17	13	7
3645	E4	DE133	fragment	quars	481,2	106,9	-660,1	N-S	S	20	11	7
3646	E4	DE133	ascla o fragment	quarsita	478,8	106,7	-660,9	NW-SE	pla	25	21	8
3647	E4	DE133	indeterminable	os indeterminable	469,3	109,5	-662,1	NW-SE	NW	30	13	8
3648	E4	DE133	conill o llebre	costella	454,6	108,6	-661,8	N-S	N	34	7	4
3649	E4	DE133	ascla o fragment	quars	442,4	111,8	-661,7	E-W	NW	18	9	3
3650	E4	DE133	fragment	quars	430,4	110,9	-662,5	N-S	pla	11	7	4
3651	E4	DE133	ascla o fragment	quars	437,4	125,6	-661,7	NE-SW	SW	24	11	5
3652	E4	DE133	fragment	quars	459,5	132,4	-661,8	N-S	pla	20	13	6
3653	E4	DE133	indeterminable	os indeterminable	473,4	136,4	-662,2	E-W	pla	37	18	14
3654	E4	DE133	indeterminable	os indeterminable	476,4	146	-661,8	NW-SE	SE	32	11	4
3655	E4	DE133	indeterminable	os indeterminable	454,3	143,3	-662,6	NW-SE	pla	36	25	8
3656	E4	DE133	indeterminable	os indeterminable	427,1	141	-663	NW-SE	NE	30	8	8
3657	E4	DE133	fragment	quars	402,6	160,1	-661,2	E-W	pla	14	7	4
3658	E4	DE133	úrsid	dent	401,3	181	-661,6	-	-	12	3	3
3659	E4	DE133	os no determinat	dent	404,5	189,2	-661,5	-	-	30	14	6
3660	E4	DE133	os no determinat	costella	476,7	191,5	-662,4	NE-SW	pla	107	12	8
3661	E4	DE133	ascla o fragment	quarsita	478,6	194,3	-661,5	E-W		30	19	7
3662	E4	DE133	indeterminable	os indeterminable	485	193,3	-662,4	NE-SW	pla	33	12	8
3663	E4	DE133	conill o llebre	costella	464,3	170,7	-662,3	NE-SW	pla	19	5	3
3664	E4	DE133	os no determinat	húmer o radi	466,4	168,7	-662,6	NE-SW	VSC	22	15	7
3665	E4	DE133	ascla o fragment	quarsita	484	156,9	-663,4	E-W	pla	24	27	6
3666	E4	DE133	indeterminable	os indeterminable	492,8	128,2	-661,2	N-S	E	48	15	8
3667	E4	DE133	os no determinat	costella	491,4	123,4	-660,5	N-S	pla	23	10	5
3669	E4	DE133	indeterminable	os indeterminable	490,9	107,3	-661,1	NE-SW	pla	31	18	11
3670	E4	DE133	úrsid	dent	478,8	103,3	-661,3	NE-SW	SW	28	9	7
3671	E4	DE133	os no determinat	dent	475,4	111	-660,9	-	-	7	6	2
3672	E4	DE133	indeterminable	os indeterminable	478,1	113,4	-661	N-S	N	41	15	4
3673	E4	DE133	indeterminable	os indeterminable	483,5	110,7	-660,5	-	-	30	12	10
3674	E4	DE133	fragment	quars	493,6	115,2	-661	-	-	10	5	3
3675	E4	DE133	indeterminable	os indeterminable	497,6	118,9	-659,9	E-W	pla	48	16	11
3676	E4	DE133	cérvol	dent	478,6	117,6	-662,3	-	-	25	16	11
3677	E4	DE133	ascla o fragment	quars	471	118,2	-662,7	N-S	pla	23	18	6

numero	quadre	TallaMar...	natura1	natura2	xew	yns	z	orientacio	pendent	longitud	amplada	gruix
3678	E4	DE133	os no determinat	crani	466,3	121	-662,5	N-S	S	26	12	7
3679	E4	DE133	os no determinat	húmer o radi	468,3	128,7	-661,1	NW-SE	pla	30	14	11
3680	E4	DE133	fragment	quars	476,3	130	-662,9	-	pla	20	16	10
3681	E4	DE133	os no determinat	dent	456,2	113,6	-664,1	N-S	pla	14	11	6
3682	E4	DE133	úrsid	dent	450,3	115,4	-662,7	-	-	14	6	6
3683	E4	DE133	conill o llebre	calcani	432,3	115,4	-661,9	NW-SE	SE	26	9	6
3684	E4	DE133	os no determinat	os no determinat	409,9	105,6	-661,1	-	-	15	10	4
3685	E4	DE133	fragment	quars	494,5	136,7	-660,2	E-W	VSC	12	14	7
3686	E4	DE133	úrsid	dent	484,7	180,5	-664	NW-SE	SE	11	6	5
3687	E4	DE133	conill o llebre	falange	480,3	184,9	-663,8	-	pla	19	6	8
3688	E4	DE133	úrsid	dent	475,9	189,7	-663,9	NW-SE	SE	18	9	6
3689	E4	DE133	úrsid	dent	472,3	191,9	-663,2	E-W	pla	30	8	6
3690	E4	DE133	os no determinat	dent	411,3	185,2	-662,6	-	-	11	4	3
3691	E4	DE133	úrsid	dent	482,4	160,6	-663,9	N-S	SE	16	6	6
3693	E4	DE133	fragment	quars	495,5	157	-661,3	NE-SW	SW	15	11	5
3694	E4	DE133	úrsid	dent	491,2	151	-664,4	-	-	12	5	5
3695	E4	DE133	indeterminable	os indeterminable	495	145,1	-658,7	NE-SW	SW	33	10	5
3696	E4	DE133	indeterminable	os indeterminable	489	133,9	-663,8	NW-SE	NE	40	11	5
3697	E4	DE133	indeterminable	os indeterminable	489	122,4	-662,2	N-S	VSC	32	19	3
3698	E4	DE134	úrsid	dent	485,4	166,4	-665,8	NW-SE	SE	47	24	19
3699	E4	DE133	ascla o fragment	quars	485,4	154,1	-664,7	-	pla	14	16	5
3700	E4	DE133	úrsid	dent	477,6	149,9	-664,6	NW-SE	SE	13	6	4
3701	E4	DE133	fragment	quars	479,4	144,4	-663,9	-	pla	12	14	4
3702	E4	DE133	úrsid	dent	475,8	142,8	-664	E-W	pla	17	7	6
3703	E4	DE133	os no determinat	crani	471,7	152,5	-664	NW-SE	pla	22	15	6
3704	E4	DE133	úrsid	dent	466	146,6	-664,3	-	-	9	4	4
3705	E4	DE133	fragment	quars	464,2	134,7	-662,7	E-W	N	21	14	11
3706	E4	DE133	indeterminable	os indeterminable	465,5	121,8	-662,9	NE-SW	pla	31	9	4
3707	E4	DE133	fragment	quarsita	460,4	123,7	-662,8	N-S	pla	38	30	11
3708	E4	DE133	úrsid	dent	449,5	122,9	-663,1	NE-SW	pla	17	7	5
3709	E4	DE133	fragment	quars	446,6	137,6	-663,4	N-S	pla	17	10	5
3710	E4	DE133	úrsid	dent	437,2	114,9	-664,3	NE-SW	SW	12	9	6
3711	E4	DE133	fragment	quars	424,4	103,4	-662,4	N-S	V	27	15	14
3712	E4	DE133	ascla o fragment	quars	420,2	116,1	-664,2	NE-SW	SW	14	9	5
3713	E4	DE133	fragment	quarsita	412,8	113,8	-663	N-S	pla	14	8	3
3714	E4	DE133	fragment	quars	411,9	119,3	-662,5	E-W	N	18	15	11

numero	quadre	TallaMar...	natura1	natura2	xew	yns	z	orientacio	pendent	longitud	amplada	gruix
3715	E4	DE133	ascla o fragment	calcària	442,4	189,1	-664,3	N-S	pla	37	35	13
3716	E4	DE133	úrsid	dent	454,1	163,8	-663,9	-	-	9	4	4
3717	E4	DE133	ascla o fragment	calcària	446,9	163	-664,8	NW-SE	pla	36	27	7
3718	E4	DE133	úrsid	dent	440,4	156,3	-664,2	-	-	11	7	7
3719	E4	DE133	ascla o fragment	quars	406,3	154	-663,1	N-S	pla	23	10	7
3720	E4	DE133	ascla o fragment	quars	403,1	181,7	-664	N-S	pla	14	10	4
3721	E4	DE133	fragment	quars	402,2	131,7	-662,4	-	pla	15	11	4
3722	E4	DE133	fragment	quars	423	150,3	-664,9	-	V	16	16	14
3723	E4	DE133	cavall o ase	astràgal	406,3	117,7	-664,6	N-S	pla	55	52	59
3724	E4	DE133	indeterminable	os indeterminable	412,3	117,1	-664	E-W	E	37	9	4
3725	E4	DE133	úrsid	dent	405,5	102,6	-662,9	NE-SW	NE	18	8	6
3726	E4	DE133	úrsid	dent	415,5	115,2	-663,6	-	-	12	5	4
3727	E4	DE133	fragment	quarsita	422	112,3	-665	-	-	41	25	10
3728	E4	DE133	úrsid	dent	432,2	99,5	-665,2	NW-SE	SE	48	14	14
3729	E4	DE133	indeterminable	os indeterminable	438,9	99,9	-664,5	NW-SE	pla	30	13	6
3730	E4	DE133	fragment	quars	442	108,3	-664,8	NE-SW	pla	17	9	5
3731	E4	DE133	ascla o fragment	quars	445,8	106,8	-664,8	-	pla	8	12	4
3732	E4	DE133	indeterminable	os indeterminable	445,6	114,2	-665,1	NW-SE	SW	32	17	11
3733	E4	DE133	os no determinat	dent	443,2	118,3	-665,4	NW-SE	SE	26	10	7
3734	E4	DE133	ascla o fragment	filoniana	453,1	121,3	-664,9	NW-SE	SE	30	29	11
3735	E4	DE133	os no determinat	os no determinat	458,4	122,4	-665,1	NE-SW	SW	37	33	20
3736	E4	DE133	os no determinat	os no determinat	463,8	129,1	-665,2	NW-SE	SE	37	9	6
3737	E4	DE133	úrsid	dent	460,6	130,8	-664,8	-	-	15	7	6
3738	E4	DE133	os no determinat	dent	470,8	120,7	-664,7	NW-SE	SE	28	11	8
3739	E4	DE133	indeterminable	os indeterminable	474,8	129,7	-665	E-W	pla	45	12	5
3740	E4	DE133	fragment	quars	472	136,8	-663,9	E-W	E	17	13	9
3741	E4	DE133	ascla o fragment	quars	487,4	134,8	-665	NW-SE	SE	35	23	10
3742	E4	DE133	os no determinat	dent	491,2	126,6	-663,4	NE-SW	SW	25	14	8
3743	E4	DE133	fragment de còdol	quars	495,4	122,9	-661,9	-	-	24	21	18
3744	E4	DE133	fragment	quars	496,9	114	-663,5	N-S	S	15	8	3
3745	E4	DE133	indeterminable	os indeterminable	495,5	99,9	-661,7	E-W	pla	40	11	6
3746	E4	DE133	ascla o fragment	quarsita	486,1	105,3	-664,9	E-W	E	45	40	12
3747	E4	DE133	indeterminable	os indeterminable	479,4	104,1	-663,8	N-S	E	31	23	9
3748	E4	DE134	indeterminable	os indeterminable	408,6	210,1	-625,6	NE-SW	pla	33	8	7
3749	E4	DE134	fragment	quars	485,4	185,1	-664,4	N-S	V	22	18	14
3750	E4	DE134	fragment	quars	463,3	131,5	-665,3	E-W	pla	21	14	8

numero	quadre	TallaMar...	natura1	natura2	xew	yns	z	orientacio	pendent	longitud	amplada	gruix
3751	E4	DE134	indeterminable	os indeterminable	482,7	122,8	-665,1	NE-SW	NE	32	17	8
3752	E4	DE134	nucli	quars	492,4	112,6	-665,4	-	pla	23	19	15
3753	E4	DE133	indeterminable	os indeterminable	495,2	101,6	-663,1	N-S	N	39	16	9
3754	E4	DE133	ascla o fragment	quars	489	102,4	-663,9	-	V	31	19	8
3755	E4	DE134	os no determinat	os no determinat	429,7	101,7	-665,6	NE-SW	pla	32	20	9
3756	E4	DE134	indeterminable	os indeterminable	428	100,3	-665,7	NE-SW	E	32	20	9
3757	E4	DE133	fragment	quars	402,6	103,1	-662,9	NW-SE	pla	17	22	7
3758	E4	DE133	ascla o fragment	quars	415,6	123,9	-664,9	N-S	pla	13	19	6
3759	E4	DE133	indeterminable	os indeterminable	417,6	139,4	-664,8	NE-SW	pla	42	11	10
3760	E4	DE133	os no determinat	os no determinat	403,3	115,2	-664,9	-	-	34	13	13
3766	E4	DE133	fragment	quars	422	196,8	-664,9	E-W	pla	13	13	6
3767	E4	DE134	indeterminable	os indeterminable	441,1	184,5	-665,5	NE-SW	pla	39	10	4
3768	E4	DE133	os no determinat	os no determinat	453,9	195,9	-664,6	N-S	N	21	11	9
3769	E4	DE133	úrsid	dent	465,7	190,8	-664,5	-	-	11	6	5
3770	E4	DE134	os no determinat	os no determinat	473,9	184,2	-666,6	NE-SW	NE	80	23	17
3771	E4	DE134	os no determinat	dent	476,8	184,8	-666,2	NE-SW	NE	25	19	5
3772	E4	DE133	conill o llebre	costella	475,2	191,5	-664,5	NE-SW	SW	24	3	2
3773	E4	DE134	fragment	quars	479,4	197,7	-665,2	NE-SW	NE	29	23	19
3774	E4	DE133	fragment	quars	495,8	185,6	-664,9	NE-SW	SW	23	15	9
3775	E4	DE134	fragment	quars	492,9	163,3	-665,5	-	-	15	12	6
3776	E4	DE134	fragment	quars	487,5	133,3	-666,8	NW-SE	pla	11	7	3
3778	E4	DE134	ascla o fragment	quars	483	130	-667	NE-SW	pla	27	16	6
3779	E4	DE134	fragment	quars	470,4	138,4	-666,3	NE-SW	pla	14	9	7
3780	E4	DE134	úrsid	dent	452,7	130,7	-665,9	-	-	8	4	2
3781	E4	DE134	indeterminable	os indeterminable	471	123,9	-667,1	NE-SW	pla	49	29	7
3782	E4	DE134	fragment	quars	465	121,7	-666	NW-SE	NW	19	20	8
3783	E4	DE134	fragment	quars	454	110,9	-665,7	-	-	19	13	14
3784	E4	DE134	úrsid	dent	469,2	105,6	-665,8	NW-SE	SE	18	7	6
3785	E4	DE134	fragment	quars	474,8	108,3	-665	-	-	12	8	4
3786	E4	DE134	indeterminable	os indeterminable	478	105,1	-665,5	NE-SW	NE	32	14	6
3787	E4	DE134	fragment	quars	485,9	105,8	-666,3	NE-SW	SW	21	16	11
3788	E4	DE134	indeterminable	os indeterminable	486,7	114	-667	E-W	pla	39	10	5
3789	E4	DE134	ascla o fragment	quars	490,7	115,5	-666,6	-	V	22	17	4
3790	E4	DE133	fragment	quars	498,5	109,8	-664,8	-	-	17	10	5
3791	E4	DE134	fragment	quars	427,3	107,8	-665,8	N-S	W	26	24	11
3792	E4	DE134	os no determinat	crani	487,8	190,7	-668,4	NW-SE	NW	44	34	12

numero	quadre	TallaMar...	natura1	natura2	xew	yns	z	orientacio	pendent	longitud	amplada	gruix
3793	E4	DE134	os no determinat	dent	488,1	177,2	-667,8	NW-SE	NW	34	15	3
3794	E4	DE134	indeterminable	os indeterminable	482,9	178,9	-667,3	NW-SE	SE	45	17	15
3795	E4	DE134	fragment	quars	477,9	183	-666,9	N-S	V	16	12	7
3796	E4	DE134	úrsid	dent	480,1	178,4	-668,1	N-S	N	34	19	17
3797	E4	DE134	úrsid	dent	466,8	178,5	-665,3	NW-SE	SE	20	7	6
3798	E4	DE134	úrsid	dent	471,4	163,6	-665,9	N-S	N	10	5	4
3799	E4	DE134	indeterminable	os indeterminable	466,1	166,2	-667,2	E-W	pla	46	18	10
3800	E4	DE134	fragment	quars	453,9	164,7	-665,9	NW-SE	NW	22	16	8
3801	E4	DE134	fragment	quars	441	173,2	-665,8	NW-SE	SE	18	7	4
3802	E4	DE134	os no determinat	falange	404,6	179,5	-665,9	NW-SE	NW	31	20	15
3803	E4	DE134	úrsid	dent	410,7	171,7	-665,6	NW-SE	SE	13	12	6
3804	E4	DE134	indeterminable	os indeterminable	404	169,8	-665,5	NW-SE	NE	37	7	2
3805	E4	DE134	os no determinat	os no determinat	401,7	156,5	-665,5	NW-SE	NW	26	12	7
3806	E4	DE134	fragment	quars	408,6	146,2	-665,1	NW-SE	SE	17	14	8
3807	E4	DE134	ascla o fragment	quars	491,7	114,8	-666,4	E-W	W	41	40	12
3808	E4	DE134	ascla o fragment	quarsita	491,9	107,1	-665,5	N-S	N	18	22	8
3809	E4	DE134	ascla o fragment	quars	484,3	116	-667,4	NW-SE	SW	32	30	9
3810	E4	DE134	indeterminable	os indeterminable	465,4	116,1	-668,5	NW-SE	NW	87	35	15
3811	E4	DE134	fragment	quars	439,7	115,1	-665,5	-	-	12	10	6
3812	E4	DE134	os no determinat	crani	438,7	100,5	-665,4	-	-	29	18	2
3813	E4	DE134	os no determinat	crani	424,5	103	-665,6	-	-	22	12	2
3814	E4	DE134	fragment	quars	407,1	102,9	-664,6	E-W	pla	20	13	10
3815	E4	DE134	ascla o fragment	quars	463,2	190,8	-666,4	NE-SW	NW	23	11	8
3816	E4	DE134	ascla o fragment	quars	460	192,2	-667	NW-SE	pla	32	23	12
3817	E4	DE134	os no determinat	os no determinat	429,7	188,9	-665,7	N-S	S	25	16	2
3818	E4	DE134	úrsid	dent	422,6	189,5	-665,8	N-S	pla	9	5	4
3819	E4	DE134	úrsid	dent	406,6	174,7	-666,9	NE-SW	SW	26	11	9
3820	E4	DE134	os no determinat	os no determinat	410	175,7	-666,9	-	pla	16	14	3
3821	E4	DE134	altres	altres	443	161,3	-667,4	-	SE	54	36	39
3822	E4	DE134	fragment	quars	456,9	176,5	-666,8	N-S	SE	16	9	4
3823	E4	DE134	fragment	quars	470,6	178,3	-666,8	N-S	VSC	20	14	11
3824	E4	DE134	indeterminable	os indeterminable	474,4	158,8	-667,4	NE-SW	NE	42	20	12
3825	E4	DE134	úrsid	dent	480,1	131,9	-667,5	-	-	8	4	3
3826	E4	DE134	indeterminable	os indeterminable	459,7	106,7	-667	E-W	V	47	8	5
3827	E4	DE134	os no determinat	os no determinat	436,3	108,5	-666,4	-	pla	26	27	11
3828	E4	DE134	os no determinat	os no determinat	405,6	198,5	-665,3	N-S	pla	20	9	6

numero	quadre	TallaMar...	natura1	natura2	xew	yns	z	orientacio	pendent	longitud	amplada	gruix
3829	E4	DE134	fragment	quars	429,4	182,2	-666,4	N-S	pla	12	9	5
3830	E4	DE134	úrsid	dent	405,6	176,7	-666,2	N-S	pla	8	5	4
3831	E4	DE134	os no determinat	os no determinat	411,8	157,3	-665,3	-	pla	16	7	5
3832	E4	DE134	fragment	quars	436,3	132,7	-666,2	N-S	pla	12	10	4
3833	E4	DE134	os no determinat	os no determinat	459,1	132,6	-667,9	-	pla	21	23	13
3834	E4	DE134	ascla o fragment	quars	461,4	130,8	-668,3	NE-SW	V	45	32	9
3835	E4	DE134	ascla o fragment	quars	486,1	149,1	-667,9	E-W	E	37	32	7
3836	E4	DE134	indeterminable	os indeterminable	491,5	155,2	-667,2	-	-	31	13	12
3837	E4	DE134	os no determinat	rötula	408,7	193,2	-667	-	pla	16	14	7
3838	E4	DE134	os no determinat	dent	435,9	194,4	-666,6	E-W	pla	23	8	4
3839	E4	DE134	úrsid	dent	442,1	197,7	-668,1	N-S	pla	40	10	4
3840	E4	DE134	úrsid	dent	456,4	185,7	-666,3	NE-SW	pla	16	8	5
3841	E4	DE134	os no determinat	dent	465,8	179,2	-667,4	NW-SE	NE	20	16	5
3842	E4	DE134	conill o llebre	costella	467,8	171,7	-667,1	NW-SE	pla	27	6	4
3843	E4	DE134	os no determinat	dent	446	152,9	-667,3	N-S	N	20	15	5
3844	E4	DE134	os no determinat	dent	428,7	127	-666,1	-	-	19	7	2
3845	E4	DE133	fragment	quars	452,3	99,4	-664,6	-	-	16	14	9
3846	E4	DE133	ascla o fragment	filoniana	459,2	99,1	-664,7	N-S	pla	46	44	12
3847	E4	DE134	os no determinat	os no determinat	405,4	104	-666,9	NW-SE	pla	55	9	5
3848	E4	DE134	úrsid	dent	405,7	116	-667	N-S		11	8	6
3849	E4	DE134	úrsid	dent	420	133,5	-666,4	NW-SE	SE	17	6	6
3850	E4	DE134	indeterminable	os indeterminable	428,7	141,6	-668,2	-	pla	23	24	16
3851	E4	DE134	os no determinat	dent	431,3	153,7	-666,6	E-W	pla	26	11	4
3852	E4	DE134	indeterminable	os indeterminable	426,7	176,9	-667,5	E-W	VSC	40	20	12
3853	E4	DE134	fragment	quars	433,7	189,6	-667,6	N-S	E	21	15	8
3854	E4	DE134	plaqueta o similars	sorrenca	462,1	203	-667,6	NE-SW	NE	86	77	28
3855	E4	DE134	fragment	quars	473	195,5	-666,8	NE-SW	NE	18	15	9
3856	E4	DE134	úrsid	dent	466,1	151,3	-667,7	-	-	8	3	3
3857	E4	DE134	ascla o fragment	quarsita	482,8	117,7	-668,4	NW-SE	VSC	26	22	8
3858	E4	DE134	úrsid	dent	466,9	108,3	-667,6	N-S	S	12	5	5
3859	E4	DE133	indeterminable	os indeterminable	477,2	99,2	-665,5	E-W	W	84	23	7
3860	E4	DE134	úrsid	dent	487,7	138,8	-668,3	-	-	8	4	5
3861	E4	DE134	os no determinat	os indeterminable	480,5	110,9	-670,3	E-W	SW	100	54	15
3862	E4	DE134	indeterminable	os indeterminable	485,3	105,4	-666,9	-	-	31	8	5
3863	E4	DE134	indeterminable	os indeterminable	473,4	114,6	-669	NW-SE	pla	33	8	4
3864	E4	DE134	fragment	quars	439,2	103,4	-667,1	NW-SE	SE	31	17	13

numero	quadre	TallaMar...	natura1	natura2	xew	yns	z	orientacio	pendent	longitud	amplada	gruix
3865	E4	DE134	fragment	quars	423,9	138	-668,1	NE-SW	SW	15	14	5
3866	E4	DE134	fragment	quars	415,6	138,3	-667	N-S	SW	11	8	5
3867	E4	DE134	indeterminable	os indeterminable	401,5	124,5	-666,6	NE-SW	SE	47	18	4
3868	E4	DE134	indeterminable	os indeterminable	401	181,9	-667,8	E-W	NE	37	10	7
3869	E4	DE134	úrsid	dent	469,2	179,7	-668	N-S	pla	14	4	3
3870	E4	DE134	indeterminable	os indeterminable	486,2	188	-668,4	N-S	pla	48	18	5
3871	E4	DE134	indeterminable	os indeterminable	478,8	141,8	-667,8	E-W	VSC	32	12	4
3873	E4	DE134	indeterminable	os indeterminable	422	182,3	-668,9	E-W	E	45	25	20
3874	E4	DE134	fragment	quarsita	474,6	197,6	-668,3	NW-SE	SW	28	24	11
3875	E4	DE134	fragment	quars	492,7	173,6	-668,6	-	-	14	10	7
3876	E4	DE134	ascla o fragment	filoniana	481,4	175,3	-669,2	NW-SE	pla	50	45	11
3877	E4	DE134	indeterminable	os indeterminable	475,2	177,3	-669	NW-SE	SE	43	11	16
3878	E4	DE134	fragment	quars	452,5	174,8	-668,1	NE-SW	SW	23	16	9
3879	E4	DE134	indeterminable	os indeterminable	446	175,4	-668,1	E-W	N	44	21	12
3880	E4	DE134	fragment	corniana	447	181,4	-668,1	NW-SE	VSC	26	33	9
3881	E4	DE134	indeterminable	os indeterminable	401,8	183,6	-667,5	NW-SE	pla	46	20	6
3882	E4	DE134	indeterminable	os indeterminable	496,1	106,3	-668,4	NW-SE	SE	31	19	10
3883	E4	DE134	indeterminable	os indeterminable	491,4	101,5	-665,9	N-S	pla	31	13	9
3884	E4	DE134	ascla o fragment	quars	487,7	108,1	-668,5	N-S	VSC	34	16	6
3885	E4	DE134	conill o llebre	vèrtebra	483,1	114,5	-669,7	NW-SE	pla	16	14	8
3886	E4	DE134	fragment	quars	477,1	112,1	-670,2	NW-SE	SE	20	14	6
3887	E4	DE134	fragment	quars	471,9	109	-668,7	NW-SE	VSC	24	14	8
3888	E4	DE134	fragment	quars	415,2	117,4	-668,6	E-W	N	11	7	3
3889	E4	DE134	fragment	quars	408,3	118,8	-668	NE-SW	pla	13	10	7
3890	E4	DE134	os no determinat	crani	462,5	137,2	-668,7	-	pla	0	0	
3891	E4	DE134	fragment	quars	429	150,3	-669,4	E-W	pla	21	17	15
3892	E4	DE134	fragment	quars	406,7	165,6	-668,5	E-W	S	14	10	3
3893	E4	DE134	fragment	quars	412,2	184,9	-668	NW-SE	SW	20	16	9
3894	E4	DE134	úrsid	dent	418,6	192,3	-667,2	E-W	pla	25	17	9
3895	E4	DE134	úrsid	dent	449,1	172,6	-668,8	E-W	pla	28	12	9
3896	E4	DE134	indeterminable	os indeterminable	481,3	169,4	-667,9	N-S	VSC	30	25	4
3897	E4	DE134	fragment	quars	485,7	181,1	-668,2	N-S	pla	15	6	3
3898	E4	DE134	úrsid	dent	452,1	108,4	-669,4	N-S	pla	15	5	3
3899	E4	DE134	indeterminable	os indeterminable	439,9	107,4	-669,8	NW-SE	SE	45	19	4
3900	E4	DE134	os no determinat	costella	437,9	102,5	-668,8	NW-SE	SE	62	17	5
3901	E4	DE134	indeterminable	os indeterminable	430,2	115,9	-669,2	NE-SW	pla	31	17	8

numero	quadre	TallaMar...	natura1	natura2	xew	yns	z	orientacio	pendent	longitud	amplada	gruix
3902	E4	DE134	úrsid	dent	422,8	102,2	-668,6	E-W	W	31	10	6
3903	E4	DE134	fragment	quars	409,4	102,3	-668,4	-	-	10	14	5
3904	E4	DE134	os no determinat	os no determinat	430,6	140,5	-670,1	NE-SW	SW	26	14	3
3905	E4	DE134	fragment	quarsita	424,1	143,7	-669,8	-	pla	13	12	3
3906	E4	DE134	úrsid	dent	410,5	168,2	-669,1	NE-SW	NE	15	6	4
3907	E4	DE134	úrsid	dent	441,2	190,8	-668,3	NE-SW	pla	13	6	4
3908	E4	DE134	ascla o fragment	quars	457,5	174,1	-669,8	NW-SE	SE	33	25	10
3909	E4	DE134	úrsid	dent	472,6	162,8	-668,6	NW-SE	NW	32	18	19
3910	E4	DE134	ascla o fragment	quars	488,5	177,4	-669,8	NE-SW	NE	37	32	13
3911	E4	DE134	os no determinat	os no determinat	485	183,9	-670	N-S	pla	39	30	10
3912	E4	DE134	ascla o fragment	filoniana	470	104,5	-669,2	NE-SW	pla	41	21	14
3913	E4	DE134	úrsid	dent	437,9	102,2	-669,1	NW-SE	NW	12	9	8
3914	E4	DE134	úrsid	dent	494,6	118,3	-669,7	NW-SE	NW	21	18	5
3915	E4	DE135	indeterminable	os indeterminable	470,1	111,7	-670,6	NE-SW	SW	52	20	5
3916	E4	DE135	fragment	quars	429,9	103,2	-669,7	NE-SW	V	18	14	10
3917	E4	DE139	fragment	quars	431,2	110	-670,1	E-W	pla	18	16	7
3918	E4	DE135	indeterminable	os indeterminable	403,9	188,1	-671,2	E-W	E	60	20	7
3919	E4	DE135	os no determinat	os no determinat	415,9	186,6	-670,1	NW-SE	SE	77	14	10
3920	E4	DE135	os no determinat	falange	415,8	188,8	-670,4	-	-	15	11	7
3921	E4	DE135	úrsid	dent	414,5	199,8	-669,1	NE-SW	pla	12	5	5
3922	E4	DE135	úrsid	falange	427,7	198,4	-670,6	N-S	N	17	16	5
3923	E4	DE135	úrsid	dent	427,8	189,1	-669,9	NE-SW	SW	19	7	5
3924	E4	DE135	indeterminable	os indeterminable	432,4	189,9	-669,9	N-S	pla	33	10	8
3925	E4	DE135	úrsid	dent	442,7	182,3	-670,1	NE-SW	E	8	4	4
3926	E4	DE135	úrsid	dent	442,4	191,9	-669,2	NW-SE	SE	9	5	4
3927	E4	DE135	fragment	quars	440,7	197,2	-669,1	NE-SW	SW	14	11	4
3928	E4	DE135	indeterminable	os indeterminable	467,3	203,8	-668	NE-SW	NE	45	17	4
3930	E4	DE134	fragment	quars	495,2	163,6	-667,9	N-S	N	21	17	7
3931	E4	DE135	os no determinat	os no determinat	491,1	168,1	-670,2	NW-SE	pla	32	15	9
3932	E4	DE135	fragment	quars	490,3	170,6	-670,2	-	SW	16	13	11
3933	E4	DE135	úrsid	dent	483,3	185,4	-671,7	NW-SE	NE	32	31	15
3934	E4	DE134	ascla o fragment	quars	476,6	188,4	-669,7	NE-SW	NE	21	13	7
3935	E4	DE135	indeterminable	os indeterminable	481,3	192,9	-671,5	NW-SE	SE	34	20	8
3936	E4	DE134	indeterminable	os indeterminable	467	202,2	-669,3	E-W	V	37	13	5
3937	E4	DE135	ascla o fragment	quars	458,1	194,5	-670,5	NE-SW	NE	34	26	12
3938	E4	DE134	úrsid	dent	463,2	177,8	-669,6	E-W	pla	19	7	5

numero	quadre	TallaMar...	natura1	natura2	xew	yns	z	orientacio	pendent	longitud	amplada	gruix
3939	E4	DE135	fragment	quars	450,5	167,5	-671,7	NE-SW	NE	20	16	7
3940	E4	DE135	indeterminable	os indeterminable	437,5	199,8	-671,5	NE-SW	pla	55	11	4
3941	E4	DE135	ascla o fragment	quars	435,2	192,7	-673	E-W	pla	47	26	14
3942	E4	DE135	os no determinat	os no determinat	429,4	188,2	-670	N-S	pla	24	12	14
3943	E4	DE135	ascla o fragment	filoniana	407,5	184,4	-670,9	NE-SW	NE	33	25	8
3944	E4	DE135	úrsid	dent	425,7	161,9	-670,8	E-W	E	14	6	5
3945	E4	DE135	úrsid	dent	421,3	154,1	-671,3	-	-	10	5	6
3946	E4	DE135	úrsid	dent	414,2	136,6	-670,4	NE-SW	pla	17	8	6
3947	E4	DE135	indeterminable	os indeterminable	425,6	115,4	-670,8	NW-SE	pla	45	8	5
3948	E4	DE135	os no determinat	os no determinat	454,3	114,3	-670,5	NW-SE	pla	23	11	9
3949	E4	DE135	fragment	quars	472,6	107,7	-671,1	NW-SE	NW	15	9	5
3950	E4	DE135	os no determinat	dent	483,5	102,6	-670,2	-	-	23	10	5
3951	E4	DE135	fragment	quars	474,9	121,3	-672	NE-SW	SW	23	15	12
3952	E4	DE135	fragment	quars	466	134,3	-671	N-S	pla	22	21	12
3953	E4	DE135	fragment	quars	464,6	147,6	-671	-	pla	10	8	3
3954	E4	DE135	ascla o fragment	quars	480,9	157	-671,1	NW-SE	NW	30	24	12
3955	E4	DE135	fragment	quars	482,3	138,8	-671,2	E-W	pla	23	15	7
3956	E4	DE135	ascla o fragment	quars	477,2	132,8	-671,4	NE-SW	SE	22	16	9
3959	E4	DE135	úrsid	dent	403,2	122,7	-672,2	NW-SE	SE	14	6	4
3960	E4	DE135	úrsid	dent	406,5	117,9	-672,4	N-S	E	10	4	3
3961	E4	DE135	ascla o fragment	quarsita	444,3	118,7	-672,1	N-S	pla	32	23	11
3962	E4	DE135	indeterminable	os indeterminable	447,3	115,6	-672,1	E-W	E	48	16	9
3963	E4	DE135	úrsid	dent	444,4	100,7	-671,2	N-S	E	17	6	2
3964	E4	DE135	conill o llebre	os no determinat	451,9	101,4	-671,9	NE-SW	pla	24	7	6
3965	E4	DE135	fragment	quars	470,2	129,5	-672,5	-	VSC	10	10	4
3966	E4	DE135	os no determinat	os no determinat	476,7	130,7	-672,5	NE-SW	W	48	25	13
3967	E4	DE135	ascla o fragment	quarsita	414,7	150,6	-673,1	NE-SW	NE	40	39	12
3968	E4	DE135	úrsid	dent	441,3	165	-672	-	-	10	4	5
3969	E4	DE135	indeterminable	os indeterminable	463,5	171	-672	NW-SE	pla	31	11	4
3970	E4	DE135	fragment	quars	482,8	189,5	-672,3	NE-SW	E	19	9	11
3971	E4	DE135	ascla o fragment	quars	452,8	195,6	-671,6	N-S	N	16	16	9
3972	E4	DE135	indeterminable	os indeterminable	478,2	197,7	-672,9	N-S	pla	50	10	5
3973	E4	DE135	ascla o fragment	quars	405,7	160,5	-674,8	-	S	30	26	9
3974	E4	DE135	úrsid	dent	421,7	166,7	-673,5	NW-SE	SE	12	7	6
3975	E4	DE135	úrsid	dent	445,4	169,5	-674,2	-	pla	9	6	6
3976	E4	DE135	fragment	quars	465,1	166,4	-673,7	NE-SW	pla	14	10	3

numero	quadre	TallaMar...	natura1	natura2	xew	yns	z	orientacio	pendent	longitud	amplada	gruix
3977	E4	DE135	os no determinat	os no determinat	475,4	162,1	-673,5	E-W	E	45	6	5
3978	E4	DE135	úrsid	falange	478,9	165,9	-673	NW-SE	SE	22	7	4
3979	E4	DE135	ascla o fragment	quars	485,5	164	-673,2	N-S	pla	29	20	15
3980	E4	DE135	fragment	quars	494,7	172	-671,8	N-S	W	16	11	5
3981	E4	DE135	os no determinat	os no determinat	494,2	166,3	-670,9	NW-SE	SW	85	85	
3982	E4	DE135	fragment	quars	490,7	164,1	-672,5	N-S	pla	19	11	5
3983	E4	DE135	indeterminable	os indeterminable	466,9	155,9	-673,3	NW-SE	pla	50	31	6
3984	E4	DE135	indeterminable	os indeterminable	472,6	145,5	-673,5	N-S	S	27	20	6
3985	E4	DE135	ascla o fragment	quars	485,2	133,3	-672,1	E-W	pla	35	30	6
3986	E4	DE135	ascla o fragment	quars	478,2	131,5	-673,3	E-W	pla	28	16	4
3987	E4	DE135	os no determinat	dent	445,6	114,5	-672,5	NE-SW	N	20	15	6
3988	E4	DE135	úrsid	dent	432,3	125	-673,4	NE-SW	SW	26	6	5
3989	E4	DE135	indeterminable	os indeterminable	429,9	111,6	-674,1	N-S	N	45	20	5
3990	E4	DE135	os no determinat	os no determinat	420,9	116,6	-673,8	-	pla	40	30	20
3991	E4	DE135	fragment	quars	419,7	112,2	-674,4	NW-SE	SW	14	12	3
3992	E4	DE135	úrsid	metàpode	431,4	319,4	-642,7	E-W	E	60	25	21
3993	E4	DE135	indeterminable	os indeterminable	416,9	190,6	-673,7	NE-SW	pla	38	15	4
3994	E4	DE135	úrsid	dent	417,9	182	-673,8	-	pla	11	9	5
3995	E4	DE135	indeterminable	os indeterminable	418,1	162,5	-673,7	E-W	pla	31	15	4
3996	E4	DE135	indeterminable	os indeterminable	424,4	144,8	-674,2	E-W	pla	69	21	16
3997	E4	DE135	fragment	quars	414,5	133	-673,7	E-W	pla	16	14	19
3998	E4	DE135	indeterminable	os indeterminable	476	146,9	-674,1	N-S	pla	47	15	4
3999	E4	DE135	ascla o fragment	quars	445,5	111,7	-673,6	NW-SE	SE	29	14	6
4000	E4	DE135	fragment	quars	449,1	108,6	-674,2	N-S	S	21	14	14
4001	E4	DE135	úrsid	dent	452	103,3	-673,6	NE-SW	NE	16	6	7
4002	E4	DE135	os no determinat	dent	399,6	185,6	-675	E-W	S	32	12	8
4003	E4	DE135	úrsid	dent	401,2	189,9	-674,6	E-W	pla	12	8	7
4004	E4	DE136	indeterminable	os indeterminable	415,8	194,6	-675,7	E-W	S	42	9	3
4005	E4	DE135	os no determinat	crani	430,4	190,1	-675	-	pla	19	15	4
4006	E4	DE135	fragment	quars	418,7	168	-675,2	N-S	SE	29	17	15
4007	E4	DE135	ascla o fragment	quars	490,4	166,8	-673,7	E-W	pla	19	11	5
4008	E4	DE135	indeterminable	os indeterminable	454,2	169,3	-674,4	NE-SW	NE	124	21	9
4009	E4	DE135	úrsid	dent	450,3	158,3	-673,6	-	V	16	6	5
4010	E4	DE135	os no determinat	dent	409,3	150,1	-674,7	NE-SW	SW	16	10	6
4011	E4	DE135	conill o llebre	costella	413	138,7	-674,3	NE-SW	pla	31	6	3
4012	E4	DE135	fragment	quars	424,8	131,9	-673,6	N-S	SW	25	15	6

numero	quadre	TallaMar...	natura1	natura2	xew	yns	z	orientacio	pendent	longitud	amplada	gruix
4013	E4	DE135	úrsid	dent	435,8	130,2	-674,1	NW-SE	SW	15	6	5
4014	E4	DE135	indeterminable	os indeterminable	484	119,7	-674,7	NW-SE	SW	79	36	16
4016	E4	DE135	ascla o fragment	corniana	414,5	110,4	-673,4	NE-SW	NE	50	36	7
4017	E4	DE135	fragment	quars	413	116,2	-674,6	-	pla	12	10	6
4018	E4	DE135	ascla o fragment	corniana	409,1	125,1	-675,1	NE-SW	SE	48	37	13
4019	E4	DE135	fragment	quars	443,5	137,6	-674	NW-SE	pla	22	7	9
4020	E4	DE135	ascla o fragment	corniana	476,8	118,9	-674,7	NE-SW	SE	42	38	13
4021	E4	DE135	úrsid	dent	472,1	139,8	-674,9	NE-SW	pla	15	8	6
4022	E4	DE135	indeterminable	os indeterminable	491,9	154,5	-674,3	NE-SW	NE	31	12	10
4023	E4	DE135	ascla o fragment	quars	474	155,5	-674,7	-	-	21	19	5
4024	E4	DE135	ascla o fragment	sílex o jaspi	479,9	164,4	-674,6	N-S	S	28	20	4
4025	E4	DE135	úrsid	dent	469,3	174,4	-674,6	NW-SE	pla	15	4	3
4026	E4	DE135	ascla o fragment	quars	488,7	180,5	-673,7	NE-SW	NW	20	17	5
4027	E4	DE135	fragment	quars	495	185,2	-671,7	NE-SW	SW	12	9	5
4028	E4	DE135	indeterminable	os indeterminable	483,4	193,2	-674,1	NW-SE	pla	36	25	16
4029	E4	DE135	indeterminable	os indeterminable	421,6	198,2	-675,4	NE-SW	pla	34	24	8
4030	E4	DE136	fragment	quars	399,5	200,2	-675,5	-	E	11	9	4
4031	E4	DE135	os no determinat	dent	490,3	111,4	-674	NE-SW	NE	11	5	3
4032	E4	DE136	úrsid	dent	466,8	111,4	-675,8	-	-	4	2	1
4033	E4	DE136	ascla o fragment	quars	459,9	102,4	-677,2	E-W	pla	50	35	16
4034	E4	DE136	úrsid	dent	456,5	111,5	-676,5	-	-	11	4	3
4035	E4	DE136	ascla o fragment	quarsita	408	113	-675,9	-	E	11	9	3
4036	E4	DE136	os no determinat	os no determinat	404	126,7	-674,6	E-W	E	40	13	11
4037	E4	DE136	úrsid	dent	451,9	169,5	-676,5	-	-	9	3	4
4038	E4	DE136	fragment	quars	484,7	184,8	-676,2	N-S	N	12	6	3
4039	E4	DE136	os no determinat	os no determinat	436,4	185,9	-676,1	NE-SW	SW	78	19	13
4040	E4	DE136	indeterminable	os indeterminable	422,4	113,4	-676,6	N-S	S	37	18	7
4041	E4	DE136	úrsid	dent	449,9	103,9	-677,4	NW-SE	NW	14	6	5
4042	E4	DE136	ascla o fragment	quars	474,4	117,9	-677,3	-	-	15	8	5
4043	E4	DE136	fragment	quars	486	125,4	-676	-	-	14	13	7
4044	E4	DE135	indeterminable	os indeterminable	496,6	113,4	-672,4	-	-	36	13	5
4045	E4	DE134	indeterminable	os indeterminable	496,6	136,9	-665,8	N-S	S	32	13	8
4046	E4	DE134	ascla o fragment	quars	496,5	136,9	-666,3	N-S	pla	29	37	15
4047	E4	DE136	fragment	quars	466,4	165,6	-676,2	E-W	S	19	16	7
4048	E4	DE136	conill o llebre	costella	450,7	179,2	-677,9	NW-SE	pla	24	8	5
4049	E4	DE136	os no determinat	crani	444,4	199,3	-675,1	E-W	pla	28	20	4

numero	quadre	TallaMar...	natura1	natura2	xew	yns	z	orientacio	pendent	longitud	amplada	gruix
4050	E4	DE136	os no determinat	os no determinat	433,8	191,3	-675,6	-	-	20	11	11
4051	E4	DE136	os no determinat	crani	435,5	164,8	-676,2	NE-SW	SW	31	16	11
4052	E4	DE136	indeterminable	os indeterminable	428,8	170	-676,2	NE-SW	SW	32	13	6
4053	E4	DE136	os no determinat	húmer o radi	418,4	168,6	-676,1	-	-	20	17	8
4054	E4	DE136	indeterminable	os indeterminable	411,5	148,2	-676	N-S	pla	38	11	10
4055	E4	DE136	ascla o fragment	filoniana	480,6	114	-677,3	-	-	33	22	4
4056	E4	DE136	fragment	quars	458,7	149,5	-676,9	NW-SE	pla	11	6	4
4057	E4	DE138	ascla o fragment	quars	478,7	153,1	-677,3	NE-SW	SW	26	20	5
4058	E4	DE138	indeterminable	os indeterminable	490,8	156,2	-676,1	NE-SW	pla	33	8	6
4059	E4	DE138	conill o llebre	os no determinat	470,7	163,9	-677	NW-SE	SE	21	6	5
4060	E4	DE138	conill o llebre	os no determinat	458,7	168,5	-677,9	NE-SW	SW	25	8	4
4061	E4	DE138	os no determinat	os no determinat	422	161,7	-677,9	N-S	E	64	40	12
4062	E4	DE138	úrsid	dent	411,2	172,8	-677,8	-	-	9	5	4
4063	E4	DE138	os no determinat	dent	409,1	169	-677,4	-	-	16	12	6
4066	E4	DE136	úrsid	dent	477,1	192,4	-676,5	N-S	pla	13	6	5
4067	E4	DE136	os no determinat	dent	470,8	190,1	-677,4	NE-SW	V	12	9	7
4068	E4	DE136	indeterminable	os indeterminable	459,2	190,1	-676,3	E-W	pla	30	16	12
4069	E4	DE136	os no determinat	os no determinat	473,3	183,5	-676,9	N-S	N	42	21	15
4070	E4	DE136	úrsid	dent	463,5	178,4	-678,2	-	V	17	11	10
4071	E4	DE136	ascla o fragment	corniana	468,9	170,6	-677,9	N-S	pla	18	19	5
4072	E4	DE136	fragment	quars	463,8	150,3	-677,4	NE-SW	SW	23	15	9
4073	E4	DE136	úrsid	dent	427,5	163,4	-677,5	-	-	7	5	4
4074	E4	DE136	os no determinat	falange	410,2	160,3	-676,7	N-S	pla	14	11	7
4075	E4	DE136	fragment de còdol	quarsita	424	138,5	-679	NW-SE	SE	42	33	20
4076	E4	DE136	fragment	quars	437,4	135,5	-676,3	NE-SW	pla	20	8	5
4077	E4	DE136	os no determinat	dent	414,2	124	-677,9	N-S	N	9	6	3
4078	E4	DE136	fragment	quars	417,4	104,8	-679,2	N-S	N	22	15	9
4079	E4	DE136	os no determinat	dent	439,8	120,7	-679,1	NE-SW	SW	19	11	7
4080	E4	DE136	indeterminable	os indeterminable	454,1	111,3	-679,5	NE-SW	SW	37	17	5
4081	E4	DE136	úrsid	dent	456	104,9	-677,5	N-S	N	19	8	6
4082	E4	DE136	os no determinat	falange	404,6	127,6	-678,6	E-W	pla	28	11	9
4083	E4	DE136	fragment	quars	409,7	163,4	-678,4	NE-SW	SW	15	14	5
4084	E4	DE136	úrsid	dent	408,4	196,4	-678,4	-	pla	13	5	5
4085	E4	DE136	ascla o fragment	quarsita	423,5	194,7	-677,4	N-S	N	49	44	11
4086	E4	DE136	fragment	quars	430,5	199,8	-677,7	E-W	S	18	10	6
4087	E4	DE136	fragment	quars	432,6	185,7	-678,4	E-W	S	26	16	12

numero	quadre	TallaMar...	natura1	natura2	xew	yns	z	orientacio	pendent	longitud	amplada	gruix
4088	E4	DE136	úrsid	dent	429,8	167,6	-679,5	NW-SE	VSC	14	8	7
4089	E4	DE136	fragment	quars	432,6	134,3	-679,7	-	-	19	8	6
4090	E4	DE136	fragment	quars	439,1	133,5	-678,5	N-S	pla	18	16	10
4091	E4	DE136	os no determinat	falange	446,5	150,1	-678,3	E-W	N	17	11	8
4092	E4	DE136	conill o llebre	costella	446,2	180,5	-679,4	E-W	pla	24	9	5
4093	E4	DE136	indeterminable	os no determinat	475,5	166,7	-679	NE-SW	SW	23	15	10
4094	E4	DE136	fragment	quars	489,1	145,4	-677,4	E-W	N	24	19	11
4095	E4	DE137	os no determinat	vèrtebra	407	187,3	-680,9	-	-	9	8	8
4096	E4	DE136	fragment	quars	405,8	181,6	-680,3	N-S	S	12	12	7
4097	E4	DE136	indeterminable	os indeterminable	406,3	175,5	-680,2	N-S	N	30	9	5
4098	E4	DE136	úrsid	falange	419,9	158,6	-679	NW-SE	SE	18	11	7
4099	E4	DE136	os no determinat	dent	424,8	170,6	-679,8	-	-	9	6	3
4100	E4	DE136	conill o llebre	os no determinat	433,5	183,8	-679	NE-SW	pla	20	8	6
4101	E4	DE136	úrsid	dent	435,9	185,9	-679,6	NE-SW	NE	22	12	12
4102	E4	DE136	úrsid	dent	435	193,7	-679	-	pla	8	4	3
4103	E4	DE136	indeterminable	os indeterminable	476,2	194,5	-678,4	NE-SW	SW	41	5	3
4104	E4	DE136	conill o llebre	os no determinat	489,6	179,8	-678,7	NW-SE	NW	25	10	6
4105	E4	DE136	ascla o fragment	filoniana	475,2	164,4	-680,1	N-S	S	30	27	7
4106	E4	DE136	ascla o fragment	corniana	480,2	157	-679,2	-	pla	15	15	4
4107	E4	DE136	indeterminable	os indeterminable	481,3	147,3	-679,6	NW-SE	VSC	32	15	'10
4108	E4	DE136	fragment	quars	491,6	122,6	-679,1	-	pla	11	11	7
4109	E4	DE136	os no determinat	dent	459	105,9	-679,4	NW-SE	NW	28	13	7
4110	E4	DE136	os no determinat	os no determinat	453,7	99,3	-678,7	NW-SE	NW	45	11	7
4111	E4	DE136	úrsid	dent	488,6	144,4	-679,4	-	pla	11	8	5
4112	E4	DE136	os no determinat	os no determinat	435,9	171	-680,2	NE-SW	NE	28	13	10
4113	E4	DE136	conill o llebre	os no determinat	410,2	158,2	-679	NW-SE	SE	22	9	8p
4116	E4	DE137	indeterminable	os indeterminable	472,5	201,1	-678,8	NE-SW	SW	33	14	7
4117	E4	DE137	indeterminable	os indeterminable	454,8	176,7	-680,1	NE-SW	SW	44	9	3
4118	E4	DE137	fragment	quars	438,8	198,5	-678,6	NE-SW	N	25	17	8
4119	E4	DE137	fragment	quarsita	433,4	183,9	-669,9	E-W	pla	29	12	7
4120	E4	DE137	conill o llebre	os no determinat	436,5	172,9	-679,6	N-S	pla	20	9	8
4121	E4	DE137	ascla o fragment	filoniana	440,7	167,6	-682,5	N-S	S	45	45	12
4122	E4	DE137	indeterminable	os indeterminable	443,3	157,4	-680,3	NW-SE	SE	62	25	15
4123	E4	DE137	úrsid	dent	434,6	153,8	-680,6	E-W	pla	19	5	4
4124	E4	DE137	ascla o fragment	quars	425,1	177,5	-681,5	NE-SW	VSC	31	21	9
4125	E4	DE136	conill o llebre	os no determinat	421,8	181,4	-679,8	NE-SW	SW	22	11	8

numero	quadre	TallaMar...	natura1	natura2	xew	yns	z	orientacio	pendent	longitud	amplada	gruix
4126	E4	DE137	indeterminable	os indeterminable	411,5	171,5	-681,3	NE-SW	SW	33	7	4
4127	E4	DE137	ascla o fragment	quars	451,9	134,5	-676,8	N-S	S	18	15	6
4128	E4	DE136	ascla o fragment	corniana	478,1	109,4	-678,8	NE-SW	SE	51	44	8
4129	E4	DE136	os no determinat	os indeterminable	463,3	189,4	-679,9	N-S	pla	15	15	8
4130	E4	DE136	indeterminable	os no determinat	486,3	152,4	-680	NW-SE	pla	45	27	8
4131	E4	DE136	fragment	quars	451,8	158,3	-681,3	N-S	E	28	27	11
4132	E4	DE136	conill o llebre	os no determinat	440,4	157,8	-680,5	NW-SE	NW	27	13	4
4133	E4	DE136	os no determinat	os no determinat	458,7	148,6	-680	N-S	NW	29	15	5
4134	E4	DE136	fragment	quars	442,3	145,3	-679,4	NW-SE	pla	16	12	6
4135	E4	DE136	fragment	quars	442,6	129,8	-679,6	NW-SE	pla	20	16	7
4136	E4	DE136	fragment	quars	453,4	113,4	-680,9	NE-SW	pla	20	8	7
4137	E4	DE136	fragment	quars	483,1	101,1	-677,3	-	VSC	19	15	6
4138	E4	DE136	úrsid	dent	419,9	161,6	-681,2	N-S	pla	28	21	15
4139	E4	DE137	os no determinat	os no determinat	480,9	159,7	-681,1	N-S	pla	49	8	7
4140	E4	DE137	os no determinat	os no determinat	477,2	157,2	-680,8	NE-SW	pla	35	16	10
4141	E4	DE137	ascla o fragment	quars	461,4	139,3	-681,3	N-S	pla	34	21	15
4142	E4	DE137	úrsid	dent	406,4	107,5	-682,1	E-W	pla	17	8	6
4143	E4	DE137	fragment	quars	445,9	106	-682,7	-	-	15	17	10
4144	E4	DE137	ascla o fragment	quarsita	458,1	101,5	-682,1	-	SE	28	24	8
4145	E4	DE137	indeterminable	os indeterminable	494,3	111,7	-681,9	E-W	pla	60	30	10
4147	E4	DE137	indeterminable	os indeterminable	415,5	171	-684,8	N-S	pla	25	16	4
4148	E4	DE137	os no determinat	os no determinat	430	166,2	-683	E-W	E	55	14	5
4149	E4	DE137	indeterminable	os indeterminable	435,2	162,8	-683,8	NE-SW	pla	38	11	7
4150	E4	DE137	indeterminable	os indeterminable	449	159,3	-682,2	NE-SW	pla	30	9	5
4151	E4	DE137	fragment	quars	468,6	148,1	-682,5	E-W	V	20	13	7
4152	E4	DE137	úrsid	dent	463,1	141,7	-682,6		V	10	9	8
4153	E4	DE137	indeterminable	os indeterminable	451,5	142,7	-682,9	N-S	W	70	29	19
4154	E4	DE137	úrsid	dent	415,3	143,4	-683,3		pla	11	9	6
4155	E4	DE137	indeterminable	os indeterminable	417,4	135,2	-683,2	E-W	pla	43	18	9
4156	E4	DE137	úrsid	dent	452,1	101,6	-681,7	NW-SE	pla	29	12	11
4157	E4	DE137	indeterminable	os indeterminable	485,4	168,4	-681,7	N-S	pla	33	7	3
4158	E4	DE137	fragment	quars	440,7	199,1	-682,6	E-W	pla	19	15	10
4159	E4	DE137	ascla o fragment	sílex o jaspi	464,9	190,9	-681,6	-	pla	22	20	3
4160	E4	DE137	indeterminable	os indeterminable	426,5	166,3	-684	N-S	pla	25	25	9
4161	E4	DE137	úrsid	dent	486,8	159,3	-682,8	-	V	10	7	5
4162	E4	DE137	ascla o fragment	lidita	480,8	149,4	-683,3	-	pla	15	10	2

numero	quadre	TallaMar...	natura1	natura2	xew	yns	z	orientacio	pendent	longitud	amplada	gruix
4163	E4	DE137	ascla o fragment	quars	483,3	147,4	-683,7	N-S	pla	19	7	2
4164	E4	DE137	úrsid	dent	453,2	142	-683,5	N-S	pla	11	6	4
4165	E4	DE137	úrsid	dent	443,9	139,3	-684,1	-	V	19	8	6
4166	E4	DE137	indeterminable	os indeterminable	423,1	141,4	-684,3	NE-SW	pla	55	24	6
4167	E4	DE137	indeterminable	os indeterminable	494,1	119,8	-683,7	NW-SE	pla	34	15	12
4168	E4	DE136	os no determinat	crani	481,3	197,4	-679,1	N-S	V	69	63	35
4169	E4	DE137	indeterminable	os indeterminable	472,7	186,1	-682,9	NE-SW	NE	35	21	7
4170	E4	DE137	úrsid	dent	479	180,9	-683	N-S	pla	17	10	6
4171	E4	DE137	úrsid	dent	485,8	174,3	-683,4	E-W	pla	19	8	6
4172	E4	DE137	úrsid	dent	491,8	166,6	-683,4	N-S	pla	14	5	5
4173	E4	DE137	indeterminable	os indeterminable	476,8	169,7	-683,6	E-W	pla	35	13	7
4174	E4	DE137	os no determinat	dent	462,6	167	-682,9	N-S	pla	9	4	4
4175	E4	DE137	úrsid	dent	457,7	156,6	-683,7	E-W	pla	26	25	15
4176	E4	DE137	os no determinat	os no determinat	439,1	172,2	-683,9	NE-SW	pla	140	42	22
4177	E4	DE137	úrsid	dent	433,7	189,3	-684,1	N-S	pla	53	18	11
4178	E4	DE137	indeterminable	os indeterminable	491,5	145,9	-683,9	NW-SE	pla	49	17	7
4179	E4	DE137	os no determinat	os no determinat	491	129	-685,5	E-W	pla	105	21	25
4180	E4	DE137	indeterminable	os indeterminable	491,8	120,9	-683,5	E-W	pla	39	11	4
4181	E4	DE137	indeterminable	os indeterminable	417,2	174,7	-684	N-S	pla	36	10	6
4182	E4	DE137	úrsid	dent	418,1	190,1	-683,9	-	-	12	6	5
4183	E4	DE137	indeterminable	os indeterminable	430,4	196,6	-685	E-W	pla	42	21	13
4184	E4	DE137	conill o llebre	os no determinat	469,8	191,4	-683,5	NW-SE	SE	35	13	10
4185	E4	DE137	fragment	quars	478,9	197,1	-683,3	-	-	13	10	4
4186	E4	DE137	úrsid	dent	482,1	191,4	-684,4	E-W	W	15	6	5
4187	E4	DE137	ascla o fragment	sílex o jaspi	479,1	167,6	-684,7	-	-	11	10	2
4188	E4	DE137	úrsid	dent	487,7	108,9	-684,5	NW-SE	SE	32	31	15
4189	E4	DE137	os no determinat	os no determinat	411,1	106,7	-685	N-S	N	58	26	12
4190	E4	DE137	fragment	quars	463,9	163,2	-685	NW-SE	pla	16	11	6
4191	E4	DE137	úrsid	dent	488,9	150,1	-685,2	-	-	15	7	6
4192	E4	DE137	ascla o fragment	quars	492,6	112,2	-685,1	-	-	26	15	9
4193	E4	DE137	fragment	quars	477,7	174,6	-685,5	-	pla	14	12	4
4194	E4	DE136	os no determinat	os no determinat	486,9	204	-678,9	E-W	VSC	38	25	9
4199	E4	DE138	conill o llebre	os no determinat	483,4	196,4	-686,3	E-W	pla	26	11	8
4200	E4	DE138	conill o llebre	os no determinat	492,8	178,7	-686,4	-	V	17	13	5
4201	E4	DE138	úrsid	dent	461,1	185,1	-686	NE-SW	pla	22	11	9
4202	E4	DE138	os no determinat	os no determinat	425,5	195,9	-685	E-W	pla	29	11	7

numero	quadre	TallaMar...	natura1	natura2	xew	yns	z	orientacio	pendent	longitud	amplada	gruix
4203	E4	DE138	úrsid	metàpode	408,9	197,7	-686,6	N-S	pla	85	31	29
4204	E4	DE138	os no determinat	os no determinat	418,8	165,9	-685,5	NE-SW	pla	43	6	6
4205	E4	DE138	os no determinat	os no determinat	450,5	168	-686,6	NW-SE	VSC	17	14	7
4206	E4	DE138	fragment	quars	465,3	163,4	-686,4	E-W	pla	14	9	6
4207	E4	DE138	indeterminable	os indeterminable	471,4	151,8	-685,5	E-W	pla	31	16	7
4208	E4	DE138	úrsid	dent	468,6	148,7	-685,5	-	V	9	4	4
4209	E4	DE138	fragment	quars	443,9	138,2	-686,9	NE-SW	SW	34	20	12
4210	E4	DE138	indeterminable	os indeterminable	422,8	146,4	-685,9	NW-SE	pla	95	17	9
4211	E4	DE138	fragment	quars	421,4	187,8	-685,7	-	pla	13	12	12
4212	E4	DE138	os no determinat	crani	428,5	180,1	-686,9	E-W	S	25	14	4
4213	E4	DE138	conill o llebre	costella	422,4	169,5	-686,4	E-W	W	25	5	3
4214	E4	DE138	indeterminable	os indeterminable	410,5	168,6	-687	N-S	pla	34	19	4
4215	E4	DE138	fragment	quars	409,4	140,9	-685,8	N-S	pla	16	13	7
4216	E4	DE138	úrsid	dent	431	101	-686,1	E-W	E	14	8	5
4217	E4	DE138	fragment	quars	427,8	122,1	-688,6	NE-SW	SW	25	12	7
4218	E4	DE138	ascla o fragment	quarsita	440,7	115,8	-689,8	NE-SW	NE	48	31	15
4219	E4	DE138	úrsid	dent	454,6	101,7	-686,4	N-S	pla	10	6	3
4220	E4	DE138	fragment	quars	484	125,3	-686	NE-SW	NW	22	17	11
4221	E4	DE138	os no determinat	os no determinat	472,4	138,1	-686,4	NE-SW	pla	33	27	8
4222	E4	DE138	os no determinat	costella	483,2	150,1	-687,1	E-W	W	45	8	6
4223	E4	DE135	fragment	quars	496,7	196	-673,4	E-W	S	22	13	9
4224	E4	DE137	fragment	lidita	498,6	184,1	-680,2	-	-	23	28	9
4225	E4	DE138	os no determinat	costella	496,3	134	-664,2	NE-SW	SW	32	11	6
4226	E4	DE137	úrsid	dent	500,6	127,6	-683,3	-	-	18	8	6
4227	E4	DE138	ascla o fragment	sílex o jaspí	411,1	182,2	-687	-	N	18	15	5
4228	E4	DE138	os no determinat	os no determinat	459,1	161,4	-686,3	N-S	pla	22	19	8
4229	E4	DE138	indeterminable	os indeterminable	475,9	167,5	-687,9	N-S	N	37	18	15
4230	E4	DE138	altres (ind. lítica)	sorrenca	469	191	-686,4	NE-SW	SW	100	26	20
4231	E4	DE138	ascla o fragment	quars	454,8	100,6	-686,4	NW-SE	SE	24	20	11
4232	E4	DE138	fragment	quars	495,5	110	-685,7	NW-SE	SE	14	10	3
4233	E4	DE134	indeterminable	os indeterminable	498,9	183,3	-670,4	N-S	pla	58	17	11
4234	E4	DE134	fragment	quars	500,2	165,4	-670,1	-	-	17	12	5
4235	E4	DE135	ascla o fragment	quars	498,9	163,7	-671,7	-	-	30	31	11
4236	E4	DE136	rascadora	quars	499,3	165,6	-677,2	-	-	23	20	8
4237	E4	DE134	fragment	quars	498,8	138,9	-669,6	NE-SW	SW	35	20	16
4238	E4	DE135	ascla o fragment	quars	500,4	160,9	-672,4	NE-SW	NW	27	13	6

numero	quadre	TallaMar...	natura1	natura2	xew	yns	z	orientacio	pendent	longitud	amplada	gruix
2914	E5	EE132	fragment	quars	458,2	80,3	-660,6	N-S	S	33	33	17
2915	E5	EE132	úrsid	dent	474,1	88,6	-659,5	N-S	pla	32	7	5
2916	E5	EE132	os no determinat	dent	477,5	90,8	-659,4	-	-	25	10	7
2917	E5	EE132	ascla o fragment	quarsita	464,3	92,1	-659,5	-	-	26	24	6
2918	E5	EE132	denticulat o osca	sílex o jaspi	444,6	91,5	-660,1	N-S	pla	41	48	15
2919	E5	EE132	os no determinat	dent	452	92,8	-659,8	N-S	pla	13	7	4
2920	E5	EE132	indeterminable	os indeterminable	449,1	80,4	-660,6	E-W	N	25	16	7